



การพัฒนาไปสู่เช่นเชอร์ เพื่อตรวจสอบความไม่แมลงโดยใช้่อนไชม์  
เมทซิลพาราไซด์อนไอก็อดเรลสาจากโคลน mpd ลูกผสม

# มหาวิทยาลัยศิลปากร สงขลาศึกษา

โดย

นายอนิรุทธิ์ เอกคุณธรรม

วิทยานิพนธ์นี้เป็นส่วนหนึ่งของการศึกษาตามหลักสูตรปริญญาวิทยาศาสตรมหาบัณฑิต

สาขาวิชาเทคโนโลยีชีวภาพ

ภาควิชาเทคโนโลยีชีวภาพ

บัณฑิตวิทยาลัย มหาวิทยาลัยศิลปากร

ปีการศึกษา 2552

ลิขสิทธิ์ของบัณฑิตวิทยาลัย มหาวิทยาลัยศิลปากร

การพัฒนาไปโอลิมปิกส์เพื่อตรวจสอบความแม่นยำโดยใช้เครื่องมือ  
เมทัลลิการ่าไซด์อย่างมีประสิทธิภาพ

โดย

นายอนันต์ชัย เอกคุณธรรม

# มหาวิทยาลัยศิลปากร สงขลา

วิทยานิพนธ์นี้เป็นส่วนหนึ่งของการศึกษาตามหลักสูตรปริญญาวิทยาศาสตรมหาบัณฑิต  
สาขาวิชาเทคโนโลยีชีวภาพ  
ภาควิชาเทคโนโลยีชีวภาพ  
บัณฑิตวิทยาลัย มหาวิทยาลัยศิลปากร  
ปีการศึกษา 2552  
ลิขสิทธิ์ของบัณฑิตวิทยาลัย มหาวิทยาลัยศิลปากร

**DEVELOPMENT OF BIOSENSOR FOR PESTICIDE DETECTION USING METHYL  
PARATHION HYDROLASE FROM RECOMBINANT MPD CLONE**

**By**

**Anirut Ekkhuntham**

**มหาวิทยาลัยศิลปากร สงขลาศึกษา**

**A Thesis Submitted in Partial Fulfillment of the Requirements for the Degree of**

**MASTER OF SCIENCE**

**Department of Biotechnology**

**Graduate School**

**SILPAKORN UNIVERSITY**

**2009**

บัณฑิตวิทยาลัย มหาวิทยาลัยศิลปากร อนุมัติให้วิทยานิพนธ์เรื่อง “การพัฒนาใบโอเซนเซอร์ เพื่อตรวจวัดความม่าແเมลงโดยใช้ออนไซม์เมทชิลพาราไนโอดเรสจากโคลน mpd ลูกผสม” เสนอโดย นายอนรุทธ เอกคุณธรรม เป็นส่วนหนึ่งของการศึกษาตามหลักสูตรปริญญา วิทยาศาสตรมหาบัณฑิต สาขาวิชาเทคโนโลยีชีวภาพ

(รองศาสตราจารย์ ดร. ศิริชัย ชินะตั้งกุร)

คณบดีบัณฑิตวิทยาลัย

วันที่.....เดือน..... พ.ศ.....

อาจารย์ที่ปรึกษาวิทยานิพนธ์

- ผู้ช่วยศาสตราจารย์ ดร. เจริญวรรณ วิจิตรเวชกุล
- อาจารย์ ดร. วนิดา วัฒนาภรณ์
- ผู้ช่วยศาสตราจารย์ ดร. พิพยา หลิวเสรี

# มหาวิทยาลัยศิลปากร สงวนลิขสิทธิ์

คณะกรรมการตรวจสอบวิทยานิพนธ์

..... ประธานกรรมการ

(รองศาสตราจารย์ ดร. ธนิต ผิวนิม)

...../...../.....

..... กรรมการ

(รองศาสตราจารย์ ดร. วีระศักดิ์ สุระเรืองชัย)

...../...../.....

..... กรรมการ

(ผู้ช่วยศาสตราจารย์ ดร. เจริญวรรณ วิจิตรเวชกุล)

...../...../.....

..... กรรมการ

(อาจารย์ ดร. วนิดา วัฒนาภรณ์)

...../...../.....

..... กรรมการ

(ผู้ช่วยศาสตราจารย์ ดร. พิพยา หลิวเสรี)

...../...../.....

50401207 : สาขาวิชาเทคโนโลยีชีวภาพ

คำสำคัญ : เมทัลโลฟาราไซโอนไโซโครเลส/แอมเพอร์โรมิตริก/ไบโอดิเซนเซอร์

อนิรุทธ เอกคุณธรรม: การพัฒนาไบโอดิเซนเซอร์เพื่อตรวจวัดยาฆ่าแมลงโดยใช้เอนไซม์เมทัลโลฟาราไซโอนไโซโครเลสจากโคลน *mpd* ลูกผสม. อาจารย์ที่ปรึกษาวิทยานิพนธ์: พศ. ดร. เจริญวารรณ วิจิตรเวชกุล, อ. ดร.วนิดา วัฒนาการุณ. และ พศ. ดร. พิพิยา หลิวเสรี. 170 หน้า.

งานวิจัยนี้ได้ทำการพัฒนาวิธีการตรวจวัดยาฆ่าแมลงในกลุ่มของการ์โนฟอสเฟต โดยการนำรีคอมบินантเอนไซม์เมทัลโลฟาราไซโอนไโซโครเลส ซึ่งสามารถย่อยสลายสารในกลุ่มนี้ได้เป็นพาราไนโตรฟีนอล มาสร้างเป็นไบโอดิเซนเซอร์ รีคอมบินантเอนไซม์นี้ถูกแยกบริสุทธิ์จาก *Escherichia coli* ที่มียีน *mpd* โคลนอยู่ในพลาสมิด pGEX 4T-2 จากนั้นศึกษาคุณลักษณะโดยทำการศึกษาผลของอุณหภูมิและพิ效ต่อกรรมของเอนไซม์และความเสถียรของเอนไซม์ พบว่า อุณหภูมิที่เหมาะสมที่สุดที่ทำให้เอนไซม์มีกิจกรรมสูงสุดคือ  $25^{\circ}\text{C}$  โดยที่กิจกรรมเอนไซม์ยังคงเสถียร แม่เวลาจะผ่านไป 48 ชั่วโมง ที่อุณหภูมิ  $4^{\circ}\text{C}$  และกิจกรรมเอนไซม์ลดลงเหลือประมาณ 50 และ 45 % เมื่อเวลาผ่านไป 5 และ 48 ชั่วโมง ตามลำดับ พิ效ที่เหมาะสมที่สุดที่ทำให้เอนไซม์มีกิจกรรมสูงสุดคือ 9 โดยที่กิจกรรมเอนไซม์ค่อนข้างเสถียร คือยังมีกิจกรรมคงอยู่ถึง 80-90 % เมื่อเวลาผ่านไป 8-15 ชั่วโมง ที่พิ效 6-7 เมื่อทำการศึกษาผลของไบโอนโลหะและสารเคมีต่อกรรมเอนไซม์ พบว่า  $\text{Cd}^{2+}$ ,  $\text{Co}^{2+}$ , และ  $\text{Zn}^{2+}$  ที่ความเข้มข้น  $1\text{ mM}$  จะทำให้กิจกรรมเอนไซม์เพิ่มขึ้นเป็น 226, 131 และ 128 % ตามลำดับ ส่วน SDS, DTT และ EDTA มีผลต่อการยับยั้งการทำงานของเอนไซม์ จากนั้นนำเอนไซม์ที่ได้มาตั้งบนคาร์บอนนาโนทิวป์โดยอาศัยแรงระหว่างประจุ ซึ่งสามารถใช้ตรวจวัดยาฆ่าแมลงโดยการตรวจหาปฏิกิริยาออกซิเดชันของพาราไตรีฟีนอลที่เป็นผลผลิตจากการย่อยสลายของเอนไซม์ด้วยวิธีแอมเพอร์โรมิตริก ซึ่งภายใต้สภาวะที่เหมาะสม ไบโอดิเซนเซอร์นี้สามารถตรวจวัดปริมาณเมทัลโลฟาราไซโอน, พาราไซโอน, และพาราออกซอนในช่วง 10-90, 20-240, และ 3.3-40  $\text{nM}$  โดยให้ค่า detection limits เท่ากับ 10, 20, และ 3.3  $\text{nM}$  ตามลำดับ ไบโอดิเซนเซอร์นี้ให้ค่าการวิเคราะห์ที่มีความแม่นยำสูงสำหรับเอนไซม์ฟาราไซโอน, พาราไซโอน, และพาราออกซอน คือ 616, 301, และ 1547  $\text{nA/uM}$  ตามลำดับ เมื่อทดสอบความสามารถในการวัดซ้ำของไบโอดิเซนเซอร์โดยทำการวัดเมทัลโลฟาราไซโอนทั้งหมด 15 ครั้ง ได้ค่า RSD เท่ากับ 9.19 % ซึ่งชี้ให้เห็นว่าไบโอดิเซนเซอร์นี้สามารถวัดซ้ำได้โดยสามารถตอบสนองได้ไวภายในเวลา 10 วินาที

ภาควิชาเทคโนโลยีชีวภาพ

ลายมือชื่อนักศึกษา.....

ลายมือชื่ออาจารย์ผู้ควบคุมวิทยานิพนธ์ 1. .... 2. .... 3. ....

บัณฑิตวิทยาลัย มหาวิทยาลัยศิลปากร

ปีการศึกษา 2552

50401207 : MAJOR : BIOTECHNOLOGY

KEY WORDS : METHYL PARATHION HYDROLASE/AMPEROMETRIC/BIOSENSOR

ANIRUT EKKHUNTHAM : DEVELOPMENT OF BIOSENSOR FOR PESTICIDE DETECTION USING METHYL PARATHION HYDROLASE FROM RECOMBINANT MPD CLONE. THESIS ADVISORS: ASST. PROF. JESDAWAN WICHITWECHKARN, Ph.D., WANIDA WATTANAKAROON, Ph.D., AND ASST. PROF. PITTA YA LIEWSAREE, Ph.D. 170 pp.

A highly sensitive detection of organophosphate (OP) compounds was developed. Recombinant methyl parathion hydrolase (MPH) capable of hydrolyzing OP to *p*-nitrophenol (PNP) was used to develop a biosensor. This recombinant enzyme was purified from *Escherichia coli* harboring *mpdB* gene cloned into expression plasmid pGEX-4T-2, and characterized. The effects of temperature and pH on the enzyme activity and stability were analyzed. Its optimum temperature was 25°C. The enzyme activity was unchanged for 48 h at 4°C, and remained above 50% within 5 h and about 45% throughout 48 h at 25°C. Its optimum pH was 9.0, and the enzyme was stable at pH 6-7, with 80-90% activity remaining for 8-15 h. The effects of metal ions and certain reagents on enzyme activity were also investigated. It was found that Cd<sup>2+</sup>, Co<sup>2+</sup>, and Zn<sup>2+</sup> ions at the concentration of 1 mM enhanced the activity to about 226 %, 131 %, and 128 %, respectively. Sodium dodecyl sulfate (SDS) dramatically reduced the enzyme activity, while dithiothreitol (DTT) and ethylenediaminetetraacetate (EDTA) had slight negative effect. After that the MPH was immobilized on multi-walled carbon nanotubes (MWNTs) via electrostatic self-assembly, and the detection was performed by direct oxidation of biocatalytically liberated PNP using amperometry. Under the optimized conditions, the biosensor exhibited responses to methyl parathion (MP), parathion, and paraoxon with the linear ranges of 10-90 nM, 20-240 nM, and 3.3-40 nM, and the detection limits of 10 nM, 20 nM, and 3.3 nM, respectively. The biosensor also provided high sensitivities to MP, parathion, and paraoxon at 616 nA/μM, 301 nA/μM, and 1547 nA/μM, respectively. Reproducibility assay using repetitive standards (n=15) of 200 nM showed the RSD of 9.19%, indicating high reproducibility. The response time was 10 s.

---

Department of Biotechnology   Graduate School, Silpakorn University   Academic Year 2009  
Student's signature .....

Thesis Advisors' signatures 1 ..... 2 ..... 3 .....

## กิตติกรรมประกาศ

ผู้วิจัยขอกราบขอบพระคุณ พศ. ดร. เจริญภารรณ วิจิตรเวชกุล อาจารย์ที่ปรึกษา  
วิทยานิพนธ์, รศ. ดร. วีระศักดิ์ สุระเรืองชัย อาจารย์ที่ปรึกษาร่วม และ Dr. Mithran Somasundrum  
ที่ได้ให้ความรู้ คำปรึกษาแนะนำต่างๆ และช่วยเหลือในการวางแผนงานวิจัย ตลอดจนตรวจสอบแก้ไข  
วิทยานิพนธ์ฉบับนี้ให้มีความสมบูรณ์ยิ่งขึ้น

ขอกราบขอบพระคุณ รศ. ดร. ธนิต ผิวนิม, พศ. ดร. พิพิยา หลิวเสรี, และอาจารย์  
ดร. วนิดา วัฒนการุณ คณะกรรมการตรวจสอบวิทยานิพนธ์ ที่กรุณาให้คำปรึกษาแนะนำในการ  
ทำงานวิจัยและตรวจแก้ไขวิทยานิพนธ์จนเสร็จสมบูรณ์

ขอขอบพระคุณคณาจารย์ภาควิชาเทคโนโลยีชีวภาพทุกท่านที่มอบวิชาความรู้ที่เป็น  
ประโยชน์ต่อการศึกษาและการวิจัยในครั้งนี้

ขอขอบพระคุณพี่ๆ และนักวิทยาศาสตร์ ในสำนักงานภาควิชาเทคโนโลยีชีวภาพทุก  
ท่านที่กรุณาให้คำแนะนำให้ความช่วยเหลือ และอำนวยความสะดวกในการใช้อุปกรณ์ เครื่องมือ <sup>\*</sup>  
และสารเคมีที่ใช้ตลอดการทำวิจัยในการทำวิจัยครั้งนี้

ขอขอบพระคุณพี่ๆ เพื่อนๆ น้องๆ และนักวิจัย ที่สถาบันพัฒนาและฝึกอบรมโรงงาน  
ต้นแบบ หน่วยวิจัย sensor technology มหาวิทยาลัยเทคโนโลยีพระจอมเกล้าธนบุรีทุกท่านที่กรุณา  
ให้คำแนะนำ ให้ความช่วยเหลือ และอำนวยความสะดวกในการใช้อุปกรณ์ เครื่องมือ และสารเคมีที่  
ใช้ตลอดการทำวิจัยในการทำวิจัยครั้งนี้

ขอขอบพระคุณคุณยุทธ ไผ่แก้ว นักวิทยาศาสตร์ชำนาญการพิเศษ กลุ่มงานวิจัย  
สารพิษตกค้าง กองวัตถุมีพิษการเกษตร กรมวิชาการเกษตร สำหรับความช่วยเหลือในการวิเคราะห์  
ยาฆ่าแมลงจากน้ำตัวอย่าง โดยวิธีแก๊สโคลร์มาโทกราฟี

ขอขอบพระคุณศูนย์นานาเทคโนโลยีแห่งชาติ, สำนักงานโครงการทุนวิจัยมหาบัณฑิต  
สก. สาขาวิทยาศาสตร์และเทคโนโลยี, ภาควิชาเทคโนโลยีชีวภาพ และบัณฑิตวิทยาลัย มหาวิทยาลัย  
ศิลปากรที่ได้ให้ทุนสนับสนุนค่าใช้จ่ายในการทำวิจัยและการจัดทำรูปเล่มวิทยานิพนธ์

ขอขอบคุณพี่ๆ เพื่อนๆ นักศึกษาปริญญาโทที่เคยช่วยเหลือและให้คำปรึกษาในหลายๆ  
เรื่องรวมทั้งน้องๆ ในห้องแล็บทุกคนที่ทำให้เกิดบรรยายกาศในการทำงานวิจัยที่ดี

และที่สำคัญยิ่งขอกราบขอบพระคุณ คุณพ่อ คุณแม่ คุณย่า และทุกคนในครอบครัว  
รวมทั้งเพื่อนๆ สำหรับกำลังใจและความช่วยเหลือในด้านต่างๆ ในการทำวิทยานิพนธ์สำเร็จลุล่วง  
ได้ด้วยดี

# มหาวิทยาลัยเทคโนโลยีราชมงคลล้านนา

	หน้า
<b>สารบัญ</b>	<b>๑</b>
บทคัดย่อภาษาไทย .....	๔
บทคัดย่อภาษาอังกฤษ .....	๖
กิตติกรรมประกาศ .....	๗
สารบัญตาราง .....	๘
สารบัญภาพ .....	๙
<b>บทที่</b>	
<b>1 บทนำ</b> .....	<b>1</b>
ความเป็นมาและความสำคัญของปัจจุบัน .....	1
วัตถุประสงค์การวิจัย .....	5
ประโยชน์ที่คาดว่าจะได้รับ .....	5
<b>2 เอกสารและงานวิจัยที่เกี่ยวข้อง</b> .....	<b>6</b>
ยาฆ่าแมลงประเพณีท้องถิ่นฟอสเฟต เมธิลพาราไซดอน .....	6
เชื้อแบคทีเรีย <i>Burkholderia cepacia</i> ที่สามารถย่อยสลายยาฆ่าแมลง เมธิลพาราไซดอน .....	30
รายงานการวิจัยที่เกี่ยวข้องเกี่ยวกับการศึกษาจุลินทรีย์ที่สามารถย่อย สลายยาฆ่าแมลง .....	30
การตรวจวัดการปนเปื้อนของยาฆ่าแมลง .....	36
รายงานวิจัยที่เกี่ยวข้องเกี่ยวกับการพัฒนาใบโฉเชนเซอร์เพื่อตรวจ วัดยาฆ่าแมลง .....	48
<b>3 อุปกรณ์และวิธีการดำเนินงานวิจัย</b> .....	<b>55</b>
อุปกรณ์ที่ใช้ในการวิจัย .....	55
เชื้อแบคทีเรียที่ใช้ในการวิจัย .....	55
ดีเอ็นเอพาหะ .....	56
ไพรเมอร์ที่ใช้ในการวิจัย .....	60

# มหาวิทยาลัยเทคโนโลยีราชมงคลธัญบุรี

บทที่	หน้า
ดีเย็นเอนามาตรฐาน .....	60
โปรตีนมาตรฐาน .....	60
เอนไซม์ .....	60
ชุดทดสอบสำเร็จรูป .....	61
อิเลค trod .....	61
สารเคมี .....	62
เครื่องมือ .....	64
อุปกรณ์อื่นๆ .....	65
วิธีดำเนินการวิจัย .....	66
การสร้างรีคอมบิแนนท์โคลนใน expression vector pGEX-4T-2 .....	66
การทำการตรวจสอบทรานส์ฟอร์เม้นท์ (transformants) .....	73
การผลิตรีคอมบิแนนท์เอนไซม์เมทธิลพาราไนโซนไฮโดรเลส .....	74
การแยกบริสุทธิ์รีคอมบิแนนท์เอนไซม์เมทธิลพาราไนโซนไฮโดรเลส .....	74
การแยกวิเคราะห์โปรตีนด้วยเทคนิค SDS-Polyacrylamide Gel Electrophoresis (SDS-PAGE) .....	77
การหาค่ากิจกรรม (activity) ของเอนไซม์เมทธิลพาราไนโซนไฮโดรเลส ด้วยวิธี spectrophotometry .....	78
การหาค่าปริมาณ โปรตีน โดย Bio-Rad Bradford Protein Assay .....	79
การหาสภาวะที่เหมาะสมในการผลิตเอนไซม์เมทธิลพาราไนโซนไฮโดรเลส .....	80
การศึกษาหาคุณลักษณะของเอนไซม์เมทธิลพาราไนโซนไฮโดรเลส .....	82
การนำรีคอมบิแนนท์เอนไซม์มาประยุกต์ใช้โดยการทำใบไบโอเซนเซอร์ .....	84
การหาปริมาณยาฆ่าแมลงในน้ำตัวอย่างโดยวิธีแก๊สโครโนมัทกราฟี .....	95
4 ผลและวิเคราะห์ผลการทดลอง .....	97
5 สรุปผลการวิจัย .....	135
บรรณานุกรม .....	146
ภาคผนวก .....	154

บทที่	หน้า
ภาคผนวก ก อาหารเลี้ยงเชื้อแบคทีเรีย	154
ภาคผนวก ข สารเคมี	157
ภาคผนวก ค การคำนวณค่าพารามิเตอร์ต่างๆ	163
ภาคผนวก ง คำย่อ	166
<b>ประวัติผู้วิจัย</b>	<b>169</b>

# มหาวิทยาลัยศิลปากร สงวนลิขสิทธิ์

## สารบัญตาราง

ตารางที่	หน้า
1 ระดับอันตรายของยาฆ่าแมลงประเภทօร์กานิฟอสเฟต	8
2 รายชื่อสารกำจัดแมลงนำเข้าในปี พ.ศ. 2530 ที่มีปริมาณสูงสุด 10 ชนิดแรก	15
3 ระดับสารพิษตกค้างประเภทօร์กานิฟอสเฟตในดินเป็น ppm (mg/kg) จากแหล่งเกย์ตระกรรມทั่วประเทศไทยและวิเคราะห์ผลกระทบว่างปี พ.ศ. 2530-2531	16
4 ระดับสารพิษตกค้างประเภทօร์กานิฟอสเฟตในน้ำจากแหล่งน้ำทั่วไป และแหล่งเกย์ตระกรรມเป็น ppb สำรวจและวิเคราะห์ผลกระทบว่างปี พ.ศ. 2530-2531	17
5 ชนิดของจุลินทรีย์ที่สามารถย่อยสลายยาฆ่าแมลงได้	26
6 จำนวนตัวอย่างของผักและผลไม้ที่ตรวจพบสารพิษตกค้าง	28
7 ชนิดและปริมาณของสารพิษตกค้างที่ตรวจพบในผักและผลไม้	29
8 เชื้อแบคทีเรียที่ใช้เป็นเชลล์เจ็บ้านเพื่อเพิ่มปริมาณพลาสมิด	55
9 ไฟเมอร์ที่ใช้ในงานวิจัย	60
10 การแยกบริสุทธิ์เอนไซม์เมทชิลพาราไฮอ่อนไฮโครเลสก่อนการหาสภาพะที่ เหมาะสมในการผลิตเอนไซม์	106
11 การแยกบริสุทธิ์เอนไซม์เมทชิลพาราไฮอ่อนไฮโครเลสภายหลังจากการหาสภาพะที่ เหมาะสมในการผลิตเอนไซม์	112
12 สรุปผลของไฮอ่อนของโลหะและสารเคมีต่อกรรมของเอนไซม์	138
13 สรุปผลของการหาค่าทางจนพอกษาสตร์ของเอนไซม์	140
14 สรุปผลของการหาค่าลักษณะเมทชิลพาราไฮอ่อนไฮโครเลสอิเลคโทรด	143
15 เปรียบผลการหาค่าลักษณะเมทชิลพาราไฮอ่อนไฮโครเลสอิเลคโทรดกับงาน วิจัยก่อนหน้านี้	144

## สารบัญภาพ

ภาพที่	หน้า
1 โครงสร้างของสารออร์กานิฟอสเฟต	1
2 ปฏิกิริยาในการย่อยสลายเมทธิลพาราไซโอนโดย เมทธิลพาราไซโอนไชโตรเลส	3
3 หลักการ โพเทนซิโอมทริกไบโอดีเซนเซอร์	3
4 หลักการออบดิคอลไบโอดีเซนเซอร์	4
5 หลักการแ xenometrictic ไบโอดีเซนเซอร์	4
6 สูตรโครงสร้างทั่วไปของยาฆ่าแมลงประเกตออร์กานิฟอสเฟต	6
7 ตัวอย่างสูตร โครงสร้างของยาฆ่าแมลงประเกตออร์กานิฟอสเฟต	7
8 การเปลี่ยนแปลงสูตร โครงสร้างของยาฆ่าแมลงฟอสฟอร์ไชโอดีเซนท์เป็นสาร ในรูปที่ออกฤทธิ์	10
9 การสลายตัวของยาฆ่าแมลงฟอสฟามิค่อนและไดเมโซเอท	10
10 การสลายตัวของยาฆ่าแมลงไฟเรต	11
11 ปฏิกิริยาการเปลี่ยนแปลงของยาฆ่าแมลงพาราไซโอน	11
12 การยับยั้งการทำงานของเอนไซม์อสเตอเรสโดยสารประกอบของออร์กานิฟอสเฟต	13
13 สูตรโครงสร้าง (structure formula) ของเมทธิลพาราไซโอน	19
14 กระบวนการเมตตาบolic ของเมทธิลพาราไซโอนในสัตว์เลี้ยงสูกัดวัยนม	20
15 proposed pathways ของเมทธิลพาราไซโอนในจุลินทรีย์โดยทั่วไป	23
16 การกระตุ้น (activation) ของเมทธิลพาราไซโอนให้เปลี่ยนเป็น active metabolite ซึ่งออกฤทธิ์โดยการจับกับเอนไซม์ acetylcholinesterase และยับยั้งการทำงาน ของเอนไซม์	25
17 โครงสร้างและการทำงานของไบโอดีเซนเซอร์	37
18 แสดงชนิดของสารชีวภาพที่นำมาใช้กับไบโอดีเซนเซอร์และลักษณะของสัญญาณ ชี้นำ	38
19 การจับกันระหว่างสารชีวภาพที่อยู่บนทรายสีขาวเซอร์ กับสารที่ต้องการวิเคราะห์ เกิดเป็นสัญญาณที่จับได้โดยทรายดิวเซอร์	38

# มหาวิทยาลัยราชภัฏสกลนคร

ภาคที่	หน้า
20 สำหรับขั้นตอนของการส่งผ่านอิเลคตรอนจากชั้นสเตรทเข้าสู่อิเลคโทรดโดยการ ทำปฏิกิริยาทางเอนไซม์และสารตัวกลาง .....	42
21 ออกแบบชั้นของกลูโครสโดยกลูโครสออกซิเดส โดยแสดงสัญญาณชี้นำต่างๆ ที่สามารถตรวจจับได้เพื่อใช้หาปริมาณกลูโครส .....	43
22 โครงสร้างดีเอ็นเอพาหะ pCR®-Blunt แสดง multiple cloning sites .....	57
23 โครงสร้างดีเอ็นเอพาหะ pGEX-4T-2 .....	58
24 โครงสร้างดีเอ็นเอพาหะ pGEX-6P-1 .....	59
25 glassy carbon electrode และ Ag/AgCl electrode .....	61
26 การตรึงรีคอมบิแนนท์เอนไซม์เมทธิลพาราไธอ่อนไสโครเลส โดยอาศัยแรงระหว่างประจุในลักษณะชั้นต่อชั้น .....	85
27 การต่อข้ออิเลคโทรดทั้ง 3 ชนิด เข้ากับเครื่องควบคุมกระแสไฟฟ้า .....	87
28 GC-PAA-GST-MPH โมดิฟายด์อิเลคโทรด .....	89
29 GC-MPH-GST โมดิฟายด์อิเลคโทรด .....	90
30 GC-PAA-CNT-PAA-GST-MPH โมดิฟายด์อิเลคโทรด .....	90
31 GC-PAA-CNT-MPH-GST โมดิฟายด์อิเลคโทรด .....	91
32 การแยกบริสุทธิ์ชิ้นดีเอ็นเอและพลาสมิด pGEX-4T-2 ที่ผ่านการตัดด้วย เอนไซม์ตัดจำพวก BamHI และ XhoI .....	98
33 การสักครีคอมบิแนนท์พลาสมิด pGEX-4T-2 ที่มีeinที่สร้างเอนไซม์ เมทธิลพาราไธอ่อนไสโครเลส .....	99
34 การทำ restriction analysis ของรีคอมบิแนนท์พลาสมิด pGEX-4T-2 ที่มีein ที่สร้างเอนไซม์เมทธิลพาราไธอ่อนไสโครเลส โดยการตัดด้วยเอนไซม์ ตัดจำพวก BamHI และ XhoI .....	100
35 การทดสอบกิจกรรมของเอนไซม์เมทธิลพาราไธอ่อนไสโครเลสใน รีคอมบิแนนท์โคลนต่างๆ .....	101
36 การทดสอบกิจกรรมของเอนไซม์เมทธิลพาราไธอ่อนไสโครเลสใน รีคอมบิแนนท์โคลน BpGT .....	102

# มหาวิทยาลัยเชียงใหม่

ภาพที่	หน้า
37 SDS-polyacrylamide gel electrophoresis ของรีคอมบิแนนท์โคลนที่แสดงออกของ ยีนเมทชิลพาราไซอ่อน ไอโครเลสในรีคอมบิแนนท์พลาสมิด pGEX-4T-2 .....	103
38 SDS-polyacrylamide gel electrophoresis ของโปรตีนที่แสดงออกจากรีคอมบิแนนท์ โคลน BpGT ในส่วนของเหลวและส่วนของตะกอน และแต่ละขั้นตอนของ การแยกบริสุทธิ์เงิน ไซม์ .....	104
39 กราฟแสดงค่าการดูดกลืนแสงของโปรตีนที่ความยาวคลื่น 280 นาโนเมตร และ ค่ากิจกรรมของรีคอมบิแนนท์เงิน ไซม์เมทชิลพาราไซอ่อน ไอโครเลส .....	105
40 ผลของอุณหภูมิที่เหมาะสมที่สุดในการเลี้ยงรีคอมบิแนนท์โคลน BpGT พลิตเงิน ไซม์เมทชิลพาราไซอ่อน ไอโครเลส .....	107
41 ผลของความเข้มข้นของ IPTG ที่เหมาะสมที่สุดในการเหนี่ยวนำให้รีคอมบิแนนท์ โคลน BpGT พลิตเงิน ไซม์เมทชิลพาราไซอ่อน ไอโครเลส .....	108
42 ผลกระทบที่เหมาะสมที่สุดสำหรับการเหนี่ยวนำรีคอมบิแนนท์โคลน BpGT ด้วย IPTG ในการผลิตเงิน ไซม์เมทชิลพาราไซอ่อน ไอโครเลส .....	109
43 ผลของไออกอน โลหะและสารเคมีที่เหมาะสมที่สุดในการเหนี่ยวนำให้ รีคอมบิแนนท์โคลน BpGT พลิตเงิน ไซม์เมทชิลพาราไซอ่อน ไอโครเลส .....	110
44 ผลของความเข้มข้นของ โคนอลท์คลอไรด์ที่เหมาะสมที่สุดในการเหนี่ยวนำให้ รีคอมบิแนนท์โคลน BpGT พลิตเงิน ไซม์เมทชิลพาราไซอ่อน ไอโครเลส .....	111
45 SDS-polyacrylamide gel electrophoresis ของรีคอมบิแนนท์โคลนที่มีการ แสดงออกของยีนเมทชิลพาราไซอ่อน ไอโครเลสจากรีคอมบิแนนท์ พลาสมิด pGEX-4T-2 .....	112
46 อุณหภูมิที่เหมาะสมที่สุดที่ทำให้กิจกรรมของเงิน ไซม์สูงที่สุด .....	113
47 พีเอชที่เหมาะสมที่สุดที่ทำให้กิจกรรมของเงิน ไซม์สูงที่สุด .....	114
48 อุณหภูมิที่เหมาะสมที่สุดที่ทำให้กิจกรรมของเงิน ไซม์สูงที่สุด .....	115
49 pH ที่เหมาะสมที่สุดที่ทำให้กิจกรรมของเงิน ไซม์สูงที่สุด .....	116
50 ผลของไออกอนของ โลหะและสารเคมีที่มีผลต่อ กิจกรรมของเงิน ไซม์ .....	117
51 Lineweaver-Burk plot ของเมทชิลพาราไซอ่อน .....	118

# มหาวิทยาลัยศรีนครินทรวิโรฒ สอนวิชาชีพศิริรัตน์

ภาคที่	หน้า
52 Lineweaver-Burk plot ของพาราออกซอน .....	118
53 Lineweaver-Burk plot ของพาราไชโอน .....	119
54 Lineweaver-Burk ของเพนิໂໂກ ໄທອອນ .....	119
55 Lineweaver-Burk plot ของคุมาฟอส .....	120
56 Lineweaver-Burk plot ของคลอร์ไฟริฟอส .....	120
57 Lineweaver-Burk plot ของมาลาไชโอน .....	121
58 ไซคลิกໄວලແທມເມຕີສໍາຫວັບກາຣອອກຊີເດັ່ນຂອງພາຣາໄນໂໂກຣິຟຶນອລໂດຍໃໝ່ ອີເລັກໂທຣດ້ວຍເປົ່າ .....	122
59 ไซคลิกໄວລແທມເມຕີສໍາຫວັບກາຣອອກຊີເດັ່ນຂອງພາຣາໄນໂໂກຣິຟຶນອລໂດຍໃໝ່ ໂມດີໄຟຍະດີອີເລັກໂທຣດ .....	122
60 กรາຟເທີບມາຕຽບ (calibration curve) ຈາກກາຣຕອບສັນອັບສົມຢາມທາງໄຟຟ້າ ຂອງ MPH-immobilized CNT ບັນກລາສີກາຮົບອັນອີເລັກໂທຣດ ທີ່ປົ້ມາມ ເອັນໄໝມ໌ຕ່າງໆ .....	124
61 กรາຟເທີບມາຕຽບຈາກກາຣເປົ່າຍົບເທີບກາຣຕອບສັນອັບສົມຢາມທາງໄຟຟ້າອັງ ເອັນໄໝມ໌ເມທືີລພາຣາໄຟອອນໄໝໂໂກຣເລສທີ່ຕົ້ງບັນກລາສີກາຮົບອັນອີເລັກໂທຣດ ດ້ວຍວິທີ layer by layer electrostatic self assembly immersion technique .....	125
62 กรາຟເທີບມາຕຽບຈາກກາຣເປົ່າຍົບເທີບກາຣຕອບສັນອັບສົມຢາມທາງໄຟຟ້າອັງ ເອັນໄໝມ໌ເມທືີລພາຣາໄຟອອນໄໝໂໂກຣເລສທີ່ຕົ້ງບັນກລາສີກາຮົບອັນອີເລັກໂທຣດ ດ້ວຍວິທີ layer by layer electrostatic self assembly drop dry technique .....	126
63 กรາຟເທີບມາຕຽບຈາກກາຣເປົ່າຍົບເທີບກາຣຕອບສັນອັບສົມຢາມທາງໄຟຟ້າອັງ ເອັນໄໝມ໌ເມທືີລພາຣາໄຟອອນໄໝໂໂກຣເລສທີ່ຕົ້ງບັນກລາສີກາຮົບອັນອີເລັກໂທຣດ ດ້ວຍວິທີ drop dry .....	127
64 กรາຟເທີບມາຕຽບຈາກກາຣເປົ່າຍົບເທີບກາຣຕອບສັນອັບສົມຢາມທາງໄຟຟ້າອັງ ເອັນໄໝມ໌ເມທືີລພາຣາໄຟອອນໄໝໂໂກຣເລສທີ່ຕົ້ງບັນກລາສີກາຮົບອັນອີເລັກໂທຣດ ດ້ວຍວິທີ electrostatic drop dry technique, ວິທີ electrostatic self assembly immersion techniques ແລະ ວິທີ drop dry .....	128

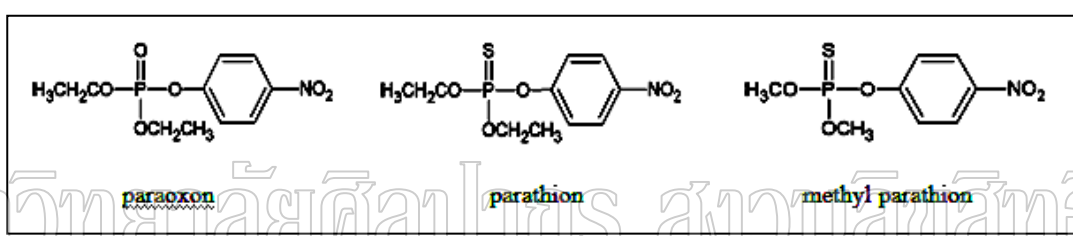
ภาพที่		หน้า
65	กราฟไฮโคล ไดนามิกโวลแกรม ไมมแกรมสำหรับวัดการเกิดออกซิเดชั่นของพาราในไตรฟีโนลด .....	129
66	แสดงผลการวัดความเสถียรของเมธิลparaไฮโซนไฮโคลเรสอิเลคไทรด .....	130
67	แสดงความสามารถในการตรวจวัดซ้ำได้อาย่างต่อเนื่องของเมธิลparaไฮโซนไฮโคลเรสอิเลคไทรด .....	130
68	กราฟการตอบสนองต่อสัญญาณไฟฟ้าและการฟามาตรฐานของเมธิลparaไฮโซน .....	131
69	กราฟการตอบสนองต่อสัญญาณไฟฟ้าและการฟามาตรฐานของพาราออกซอน .....	132
70	กราฟการตอบสนองต่อสัญญาณไฟฟ้าและการฟามาตรฐานของพาราไฮโซน .....	132
71	กราฟการตอบสนองต่อสัญญาณไฟฟ้าในการนำเมธิลparaไฮโซนไฮโคลเรสอิเลคไทรดวัดตัวอย่างจริง .....	133
72	กราฟไฮโคลมาไตรแกรมจากการวิเคราะห์ด้วยวิธีแก๊สไฮโคลมาไทรกราฟ .....	134
73	กราฟมาตรฐานของพาราในไตรฟีโนลด .....	163
74	กราฟมาตรฐานของโปรดีน .....	163

## บทที่ 1

### บทนำ

#### 1. ความเป็นมาและความสำคัญของปัจจุบัน

สารประกอบประเภทออร์กานอฟอสฟอรัส (organophosphorus compound; OP) ตัวอย่างเช่น พาราออกซอน (paraoxon), พาราไธโอน (parathion), และเมทธิลพาราไธโอน (methyl parathion) ถูกนำมาใช้เป็นยาฆ่าแมลง (insecticide) และสารกำจัดศัตรูพืช (pesticide) อย่างแพร่หลายในอุตสาหกรรมเกษตร รวมไปถึงใช้เป็นอาวุธเคมีด้วย (chemical warfare agent) โครงสร้างทางเคมีของสารออร์กานอฟอสฟेट แสดงในภาพที่ 1



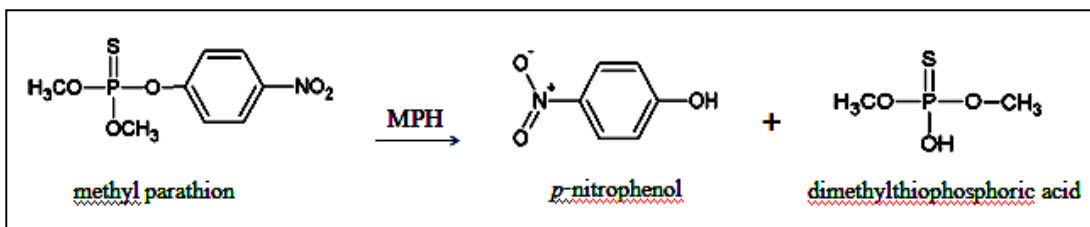
ภาพที่ 1 โครงสร้างของสารออร์กานอฟอสฟेट

สารออร์กานอฟอสฟेटเหล่านี้เป็นสารที่เป็นพิษต่อระบบประสาท (neurotoxic compound) ซึ่งมีผลขับยั้งการทำงานของเอนไซม์อะเซติลโคเลินอสเทอเรส (acetylcholinesterase; AChE) ที่เป็นเอนไซม์ที่ทำให้เกิดการไฮโดรไลซิส (hydrolysis) ของสารสื่อประสาท (neurotransmitter) อะเซติลโคเลิน (acetylcholine) ในระบบประสาทส่วนกลาง (central nervous system; CNS) และระบบประสาทรอบนอก (peripheral nervous system; PNS) ซึ่งโดยปกติเมื่อมีการส่งสัญญาณประสาทเรียบร้อยแล้ว จะต้องมีการย่อยสลายอะเซติลโคเลินด้วยเอนไซม์อะเซติลโคเลินอสเทอเรสในทันที การที่สารออร์กานอฟอสฟेटไปยับยั้งการทำงานของเอนไซม์อะเซติลโคเลินอสเทอเรสทำให้เกิดการสะสมของอะเซติลโคเลินที่ปลายประสาททำให้กล้ามเนื้อเกิดการตอบสนองตลอดเวลา เกิดผลเสียต่อระบบประสาท กล้ามเนื้อ และอวัยวะที่เกี่ยวข้อง สารเคมีเหล่านี้ มีแมลงได้โดยการออกฤทธิ์ทางการสัมผัส ทางระบบทางเดินอาหาร และทางระบบทางเดินหายใจ ซึ่งมีผลต่อทั้ง muscarinic receptors, motor nerve ending, และ central nervous system การตายเกิดขึ้นจากการล้มเหลวของระบบหายใจ (Vale *et al.*, 1998; Abou-Donia *et al.*, 2003; Schöning *et al.*, 2003)

ในช่วงหลายสิบปีที่ผ่านมาได้มีการนำสารออร์กโนฟอสเฟตมาใช้อย่างกว้างขวางในบริเวณที่เป็นแหล่งเกษตรกรรม โดยเฉพาะอย่างแมลงและสารกำจัดศัตรูพืช การใช้ยาฆ่าแมลงในภาคเกษตรกรรมมีปริมาณมากขึ้นอย่างต่อเนื่อง จนก่อให้เกิดปัญหาการตกค้างของสารเคมีในผลผลิตทางการเกษตร เช่น พัก พล ไม้ และยังสะสมอยู่ในสิ่งแวดล้อมทั้งแหล่งดิน แหล่งน้ำ นำมาซึ่งการปนเปื้อนเข้าไปในห่วงโซ่ออาหาร เช่น สัตว์น้ำด้วย สารเคมีที่ตกค้างเหล่านี้เป็นสารพิษที่เป็นอันตรายต่อสุขภาพของประชาชน ทั้งต่อเกษตรกรผู้ใช้สารเคมีเองและต่อผู้บริโภค ซึ่งในระยะยาวจะเป็นปัญหาทางสังคมและมีผลกระทบไปถึงด้านเศรษฐกิจและการส่งออกสินค้าเกษตร รวมถึงปัญหาสิ่งแวดล้อมด้วย (Konstantinou *et al.*, 2006) ดังนั้นวิธีการตรวจจับที่มีประสิทธิภาพสูง รวดเร็ว แม่นยำ และสามารถใช้งานง่ายได้หลายครั้ง รวมทั้งสามารถเข้าถึงแหล่งวัสดุได้โดยตรง เพื่อสะดวกสำหรับการใช้งานในภาคสนาม จึงเป็นที่ต้องการมากขึ้นเรื่อยๆ เพื่อนำมาใช้แทนวิธีการตรวจสอบการปนเปื้อนของสารในกลุ่ม organophosphate ดังเดิมที่ใช้อยู่ในปัจจุบันคือแก๊ส (gas) และลิควิดクロมาโทกราฟฟี่ (liquid chromatography) (Serrano *et al.*, 1999; Nakagawa *et al.*, 2001; Tethgatuk *et al.*, 2001) ซึ่งต้องใช้เครื่องมือวิเคราะห์ราคาแพง ใช้น้ำกิวเคราะห์ที่มีความชำนาญ ค่าใช้จ่ายสูง และไม่สามารถนำไปใช้วิเคราะห์ภายนอกห้องปฏิบัติการได้

การผลิตตัวตรวจวัดชีวภาพ (biosensor) สำหรับยานแม่ลงจึงเป็นทางออกที่ดีต่อปัญหาดังกล่าว โดยนอกจากจะทำให้การตรวจวัดมีประสิทธิภาพ มีความถูกต้องแม่นยำ มีความไว (sensitivity) แล้ว ยังทำให้การตรวจวัดทำได้อย่างสะดวก ง่ายดาย รวดเร็ว และที่สำคัญคือสามารถนำไปใช้ตรวจวัด ณ บริเวณที่มีการปนเปื้อนได้โดยตรง การผลิตไบโอดิเซอร์เพื่อตรวจวัดการปนเปื้อนของสารออร์กโนฟอสเฟตที่ผ่านมา มักอาศัยการยับยั้งการทำงานของอะซิตอลิโคเลน-เอสเตอเรส (Choi *et al.*, 1998; Simon *et al.*, 2006; Du *et al.*, 2007) แต่วิธีนี้ก็มีข้อเสีย คือมีความจำเพาะต่ำ เพราะนอกเหนือจากสารออร์กโนฟอสเฟตแล้ว ยังมีสารอื่น เช่น สารจำพวกคาร์บามะ (carbamate) และโลหะหนัก (heavy metal) ที่สามารถยับยั้งการทำงานของเอนไซม์อะซิตอลิโคเลน-เอสเตอเรสได้ด้วย จากการค้นพบเชื้อจุลทรรศ์ต่างๆ ที่สามารถย่อยสลายยาฆ่าแมลงออร์กโนฟอสเฟตได้ เช่น เชื้อ *Flavobacterium sp.*, *Pseudomonas sp.*, *Plesiomonas sp.* strain M6 และ *Pseudomonas sp.* strain WBC-3 เป็นต้น (Zhongli *et al.*, 2001; Fu *et al.*, 2004; Liu *et al.*, 2005) ทำให้สามารถนำเอนไซม์จากเชื้อเหล่านี้มาใช้ประโยชน์ในการผลิตไบโอดิเซอร์ที่มีความจำเพาะสูงได้ สำหรับในประเทศไทยมีการพบรเชื้อ *Burkholderia cepacia* (Keprasertsup, 2001) ที่มีเอนไซม์ย่อยสลายยาฆ่าแมลงเมทธิลพาราไธโอนได้ เช่นกัน และได้มีการโคลนยืนเมทธิลพาราไธโอนดีคราเดชั่น (methyl parathion degradation; *mpd*) ที่สามารถผลิตเอนไซม์เมทธิลพาราไธโอนไฮโดรเลส (methyl parathion hydrolase; MPH) (เสาลักษณ์, 2547; วิรุฬ, 2549) โดย

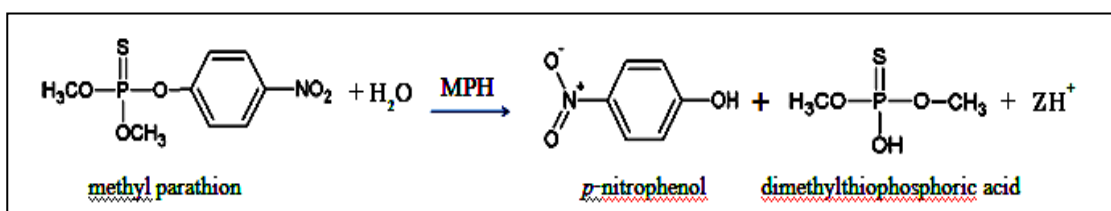
เอนไซม์ดังกล่าวสามารถย่อยสลายเมทิลพาราไนโตรอนได้เป็นพาราไนโตรฟีนอล (*p*-nitrophenol) และกรดไดเมทธิลไนโอฟอฟอริก (dimethylthiophosphoric acid) ดังแสดงในภาพที่ 2



ภาพที่ 2 ปฏิกิริยาในการย่อยสลายเมทิลพาราไนโตรอนโดยเมทิลพาราไนโตรอนไฮโดรเลส

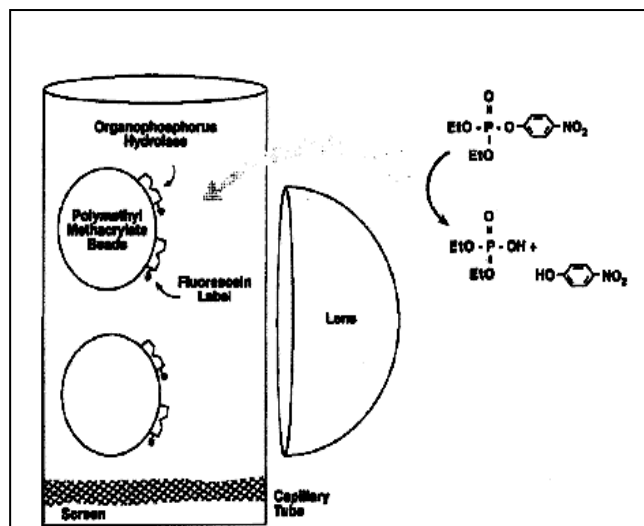
ซึ่งสามารถใช้ปฏิกิริยาการย่อยสลายฯ ผ่านแมลงดังกล่าวนี้มาใช้ในการพัฒนาไปใช้ในเชิงชีววิทยา เช่น การป้องกันแมลงในกลุ่ม OP ได้ (Mulchandani *et al.*, 2001) ซึ่งจะเป็นวิธีที่สะดวก รวดเร็ว ทึ้งขึ้น มีความจำเพาะ และความแม่นยำสูง โดยการนำเอนไซม์เมทิลพาราไนโตรอน-ไฮโดรเลสมาเชื่อมต่อกับโพเทนชิโอเมตريคทรานซิวเซอร์ (potentiometric transducer) เช่น พีเอชอิเลคโทรด (pH electrode) แล้ววัดความเข้มข้นของโปรตอน (proton) ที่เกิดขึ้นในขณะที่เกิดการย่อยสลายสาร MP เรียกวิธีการนี้ว่า โพเทนชิโอเมตريคในไฮเดนเซอร์ (potentiometric biosensor)

## มหาวิทยาลัยศรีปทุม ส่วนข้อสรุป



ภาพที่ 3 หลักการ โพเทนชิโอเมตريคในไฮเดนเซอร์

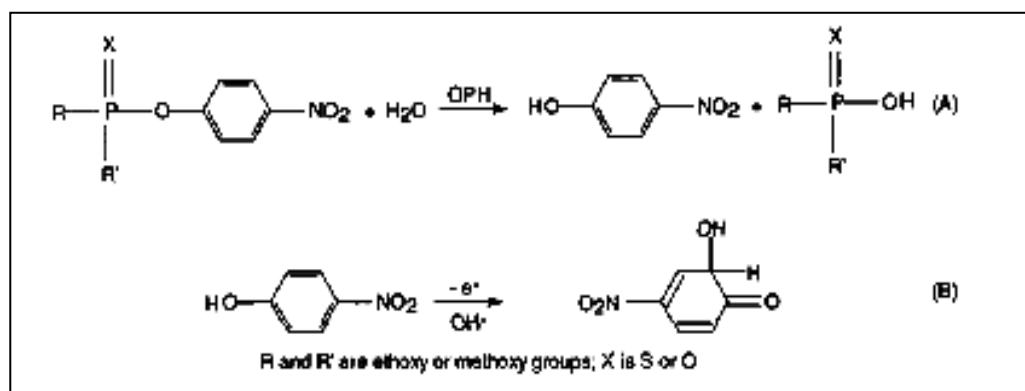
หรือการนำเอนไซม์เมทิลพาราไนโตรเลสมาเชื่อมต่อกับอปติคอลทรานซิวเซอร์ (optical transducer) โดยการวัดปริมาณการดูดกลืนแสงของผลิตภัณฑ์ที่เป็นสารจำพวกโคโรโนมฟอร์ (chromophoric product) ที่ถูกสร้างขึ้น ได้แก่ พาราไนโตรฟีนอล (*p*-nitrophenol) ซึ่งเกิดจากปฏิกิริยาการย่อยสลายเมทิลพาราไนโตรอนหรือในบางกรณีอาจจะนำเอนไซม์เมทิลพาราไนโตรเลสมาเชื่อมติดกับสารเรืองแสงแล้วทำการตรึงกับวัสดุช่วยตัวชี้ (support material) ในขณะที่ เมทิลพาราไนโตรอนถูกย่อยสลายจะเกิดการปลดปล่อยโปรตอนออกมาระบุนเดลให้พีเอชของสารละลายเกิดการเปลี่ยนแปลง สามารถวัดความเข้มแสงที่ลดลงที่ได้จากการปลดปล่อยแสงของสารเรืองแสง วิธีการนี้เรียกว่าอปติคอลไฮเดนเซอร์ (optical biosensor) ดังภาพที่ 4



ภาพที่ 4 หลักการออปติคอล ไบโอดีเซนเซอร์

ที่มา : Mulchandani *et al.*, 2001

ในทำนองเดียวกันอาจนำเออนิชเม็มทิลพาราไนโซนไอกอเรเลสนาเชื่อมต่อกับแอมเพอโรเมตريكทรานซิวเตอร์ (amperometric transducer) และทำการวัดสัญญาณไฟฟ้าที่เกิดจากปฏิกิริยาออกซิเดชั่นรีดักชั่น (oxidation/reduction) ของเม็มทิลพาราไนโซนขณะถูกย่อยสลายวิธีการนี้เรียกว่าแอมเพอโรเมต릭ไบโอดีเซนเซอร์ (amperometric biosensor) ดังภาพที่ 5



ภาพที่ 5 หลักการแอมเพอโรเมต릭ไบโอดีเซนเซอร์

ที่มา : Mulchandani *et al.*, 2001

## 2. วัตถุประสงค์

2.1 เพื่อทำการโคลนยีนที่สร้างເອນไซม์เมทชิลพาราไชօອນໄຊໂໂໂຣເລສ แล้วถ่ายເທີນດັງກລ່າວເຂົ້າໄປໃນ *E. coli* BL21

2.2 เพื่อทำการผลิตและแยกบริสุทธิ์คุณบิແນນທີ່ເອນไซມ์เมทชิลพาราไชօອນໄຊໂໂໂຣເລສ ຈາກຮີຄົມບີແນນທີ່ໂຄລນ ຮວມທີ່ສຶກຍາຄຸນສົມບັດິບາງປະກາດຂອງຮີຄົມບີແນນທີ່ເອນไซມໍທີ່ໄດ້

2.3 เพื่อนำຮີຄົມບີແນນທີ່ເອນไซມ์เมทชิลพาราไชօອນໄຊໂໂໂຣເລສທີ່ແຍກບຣິສຸທີໍໄດ້ມາພັດນາເປັນໄນໂອເຊັນເຊອຣ໌ ສໍາຫັບຕຽບຈຳການປັນເປື້ອນຂອງຍາມ່າແມລັງແມທີລັບພາຣາໄໝໂອອນ

2.4 เพื่อทดลองນຳໄນໂອເຊັນເຊອຣ໌ທີ່ພັດນາໄດ້ມາໃຫ້ໃນການຕຽບຈຳການປັນເປື້ອນຂອງຍາມ່າແມລັງແມທີລັບພາຣາໄໝໂອອນແລ້ວຍອັນດາໂລກພົມ

## 3. ประโยชน์ທີ່ຄາດວ່າຈະໄດ້ຮັບ

3.1 ສາມາດทำการໂຄລນຍືນທີ່ສ້າງເອນไซມໍເມທີລັບພາຣາໄໝໂອອນໄຊໂໂໂຣເລສ แล้วถ่ายເທີນດັງກລ່າວເຂົ້າໄປໃນ *E. coli* BL21

3.2 ສາມາດผลิตและแยกบริສุทธิ์ຮີຄົມບີແນນທີ່ເອນไซມໍເມທີລັບພາຣາໄໝໂອອນໄຊໂໂໂຣເລສ ທີ່ມີກິຈกรรมເອນໄຊມໍສູງໄດ້

3.3 ຖຽບຄຸນລັກໜ່າມະແລະຄຸນສົມບັດິທີ່ສໍາຄັນຂອງເອນໄຊມໍເມທີລັບພາຣາໄໝໂອອນ-ໄຊໂໂໂຣເລສລຸກພົມ

3.4 ສາມາດผลิตໄນໂອເຊັນເຊອຣ໌ທີ່ໃຊ້ຕຽບຈຳການປັນເປື້ອນຂອງຍາມ່າແມລັງແມທີລັບພາຣາ-ໄໝໂອອນແລ້ວຍອັນດາໂລກພົມ

## บทที่ 2

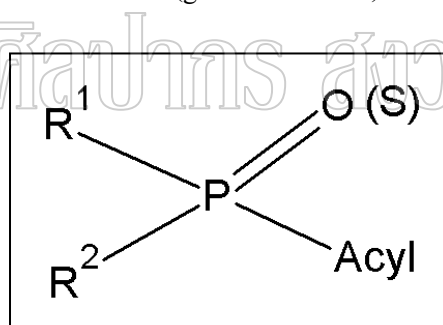
### เอกสารและงานวิจัยที่เกี่ยวข้อง

#### 1. ยาฆ่าแมลงประเภทօร์กานอฟอสเฟต (Organophosphate Insecticides)

ยาฆ่าแมลงประเภทօร์กานอฟอสเฟต เป็นยาฆ่าแมลงกลุ่มใหญ่ที่สุดที่ใช้ในปัจจุบัน แทนที่ยาฆ่าแมลงประเภทօร์กานคลอรีน (organochlorine insecticides) เนื่องจากมีความสามารถในการฆ่าแมลงได้อย่างกว้างขวางมากกว่ายาฆ่าแมลงประเภทօร์กานคลอรีน และไม่มีความคงทนอย่างไรก็ตามยาฆ่าแมลงประเภทนี้มีความเป็นพิษต่อมนุษย์และสัตว์มีกระดูกสันหลังสูงกว่ายาฆ่าแมลงประเภทօร์กานคลอรีน (ดีพร้อม ไชยวงศ์เกียรติ, 2527; Perry *et al.*, 1998)

##### 1.1 สูตรโครงสร้างของยาฆ่าแมลงประเภทօร์กานอฟอสเฟต

ยาฆ่าแมลงประเภทօร์กานอฟอสเฟตมีสารอินทรีย์ที่มีฟอสฟอรัสเป็นองค์ประกอบสำคัญ โดยมีสูตรโครงสร้างทั่วไป (general structure) ดังนี้



ภาพที่ 6 สูตรโครงสร้างทั่วไปของยาฆ่าแมลงประเภทօร์กานอฟอสเฟต

##### 1.2 คุณสมบัติของสารฟอสเฟตซึ่งจะมีฤทธิ์ฆ่าแมลงได้

1.2.1 ฟัลไฟอเรชันหรือออกซิเจนต้องเขื่อนโดยตรงกับฟอสฟอรัส ซึ่งมีวาเลนซีเป็นห้า (pentavalent phosphorus)

1.2.2 R<sup>1</sup> และ R<sup>2</sup> ต้องเป็นกลุ่มอัลกอไซด์ (alkoxy), อัลกิล (alkyl), หรืออะมิโน (amino)

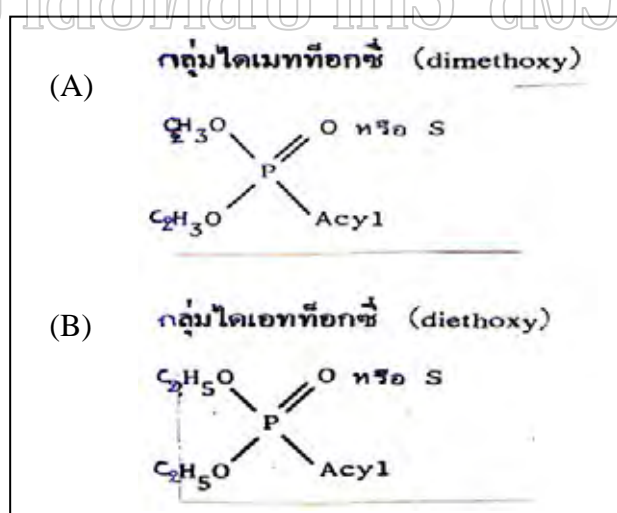
1.2.3 กลุ่มເອ່ະີລ (acyl) ต้องเป็นกลุ่มที่มีประจุลบในการคิดอินทรีย์หรืออนินทรีย์ เช่น ພູໂລຣິນ (fluorine), ໄຊຍາແນທ (cyanate), ໄຊໂໂໄຊຍາແນທ (thiocyanate) หรือต้องเป็นส่วนหนึ่งของกรด เช่น ສ່ວນອືນໂລດ (enol), ເມອແກນໂຕ (mercapto) เป็นต้น

### 1.3 ประเภทของยาฆ่าแมลงประเภทออร์กานิฟอสเฟต

ยาฆ่าแมลงประเภทออร์กานิฟอสเฟตแบ่งได้เป็น 2 กลุ่ม ได้แก่

1.3.1 กลุ่ม ไดเมททีอกซี (dimethoxy) ยาฆ่าแมลงประเภทออร์กานิฟอสเฟตกลุ่มนี้ เป็นสารแปร (derivative) ง่ายๆ ของกรดฟอฟอริกที่ประกอบด้วยโซ่อาร์บอนสันๆ ต่อเนื่องกันในทางตรง โดยมีสูตรโครงสร้างหลักดังแสดงในภาพที่ 7(A) ยาฆ่าแมลงในกลุ่มนี้คือ มาลาไซโอน (malathion), ไตรคลอร์ฟอน (trichlorfon), โนโนโครฟอส (monochlophos), คาร์บอฟโนไซโอน (carbophenothion), คูมาฟอส (coumaphos), ครูฟอยเมต (crufomate), ไดคลอร์วอส (dichlorvos), เฟนไซโอน (fenthion), เมวินฟอส (mevinphos), รอนเนล (runnel) และฟอฟามิดอน (phosphamidon) มีการนำมาใช้ในครัวเรือนและสัตว์เลี้ยง ไตรคลอร์ฟอนใช้ในทางการเกษตรกับพืชและการควบคุมแมลงวันในฟาร์ม ยาฆ่าแมลงกลุ่มนี้มีสารดูดซึมมาก เช่น ไดเมโซเอท (dimethoate), ไดโคโรโทฟอส (dicrotophos), และ ไดซัลโฟตอน (dicylphoton)

1.3.2 กลุ่ม ไดเออททีอกซี (diethoxy) ยาฆ่าแมลงในกลุ่มนี้มีสูตรโครงสร้างหลักดังแสดงในภาพที่ 7(B) ยาฆ่าแมลงในกลุ่มนี้จะมีความคงทนสูงกว่าและมีพิษต่อก้างนานกว่า ยาฆ่าแมลงในกลุ่ม ไดเมททีอกซี ตัวอย่างยาฆ่าแมลงในกลุ่มนี้คือ demeton, ไดอาเซนอน (diazinon), ไฟรอน (phorate) และ ทีอีพีพี (TEPP)



ภาพที่ 7 ตัวอย่างสูตรโครงสร้างของยาฆ่าแมลงประเภทออร์กานิฟอสเฟต

- (A) ไดเมททีอกซี (dimethoxy)
- (B) ไดเออททีอกซี (diethoxy)

#### 1.4 ระดับอันตรายของยาฆ่าแมลงประเภทօร์กานิฟอสเฟต

ปัจจุบันนี้มีการผลิตยาฆ่าแมลงประเภทօร์กานิฟอสเฟตในภาพแบบการค้าประมาณ 100 ชนิด แบ่งตามระดับอันตรายโดยใช้ค่า LD<sub>50</sub> เป็นเกณฑ์ ดังแสดงในตารางที่ 1

ตารางที่ 1 ระดับอันตรายของยาฆ่าแมลงประเภทօร์กานิฟอสเฟต

ที่มา : ดีพร้อม ไชยวงศ์เกียรติ, 2527

ประเภท	ระดับอันตราย	ค่าเออลดี 50 สำหรับหนู (mg/kg)			
		พิษทางปาก		พิษทางผิวหนัง	
		ยาพง	ยานำ้า	ยาพง	ยานำ้า
Ia	อันตรายร้ายแรงที่สุด	<5	<20	<10	<40
Ib	อันตรายร้ายแรงสูง	5-50	20-200	10-100	40-400
II	อันตรายร้ายแรงปานกลาง	50-500	200-2,000	100-1,000	400-4,000
III	อันตรายต่ำ	>500	>2,000	>1,000	>4,000

## มหาวิทยาลัยเทคโนโลยีสหศึกษา

- เดเมตตอน เช่น ซิสต็อกซ์, โซลิเวริกซ์
- ไดซัลฟอตตอน เช่น ไดซิสตตอน, โซลิเวริกซ์, โซโอดเมตตอน
- เมวินฟอส เช่น ฟอสคริน, ฟินิฟอส, ฟอสฟีน
- พาราไฮroxอน เช่น โฟลิคลอ อี 605, พาราคลอ, พาราทีอกซ์
- ฟอร์ಥ เช่น ไฮเมท, แกรนนูท็อกซ์
- ชราดาน หรือ ไอเอมพีโอ เช่น ไดแพค, เพสต็อกซ์ 3, ไฮແຕນ
- เทพพ เช่น ฟ้อสวอกซ์, นีฟอส, คิลเลกซ์
- ไฮโอนาเซ็น เช่น ไฮเนม, นีมาฟอส, ซีโนฟอส

### ตัวอย่างของยาฆ่าแมลงประเภทที่มีอันตรายร้ายแรงสูง ได้แก่

- ออคลริน เช่น ออลเดร็กซ์, ออลไดร์ท, อโกรดิน
- ไดโครโตฟอส เช่น ไบคริน, คาร์บิกรอน, เอกตาฟอส
- คาร์โนฟโนไฮroxอน เช่น ไตรไฮroxอน
- ไดโคลาอส หรือ ดีดีไฟ เช่น แอ็ทการ์ด, เดเค็บ, โนโภส
- ดีลคริน เช่น ดีลเดร็กซ์, ดีลไดร์ท, เอนโดซีน

- เอ็นคริน เช่น ไครน่าฟีอก, เอ็นเดร็กซ์, เอกชาดริน
- เมทิลพาราไธโอน เช่น อรามูต, มาลิโซล, โฟลิดอล-เอ็ม

ตัวอย่างของยาฆ่าแมลงประเภทที่มีอันตรายปานกลาง ได้แก่

- อชินฟอสเมธิล เช่น เบนไธโอน, กูชาไธโอน, ภูไธโอน
- บีเอชซี และคลินเดน
- คลอร์เดน เช่น คลอร์เดน, คลอร์ดิลล์
- คูมาฟอส เช่น โค-ราล, เบย์ออร์ 21/199
- ไດอาร์ซีโนน เช่น แอลฟ้าท็อกซ์, นาซูดิน, สเปคตราไชด์
- ไดเมโนเซอฟ เช่น ไซกอน, ริดไนฟ์, โรเกอร์
- เอ็นโอดซัลเฟน เช่น ไชโอดาน, เบโอดิท, โอดีนิกซ์
- เฟนไธโอน เช่น เบย์โทิกซ์, เลเบซิค, เมอร์แคปโตฟอส

ตัวอย่างของยาฆ่าแมลงประเภทที่มีอันตรายต่ำ ได้แก่

- เทเมฟอส เช่น อะเบท
- อราไนฟ์ เช่น อราไชด์
- คาร์บิริล เช่น เชวิน, เอส-85
- คลอโรเบนซิเลท เช่น อาการแนน, คอฟไนฟ์
- ดีดีคี
- ไดโคฟอล เช่น เคลเซน
- นาลาไธโอน

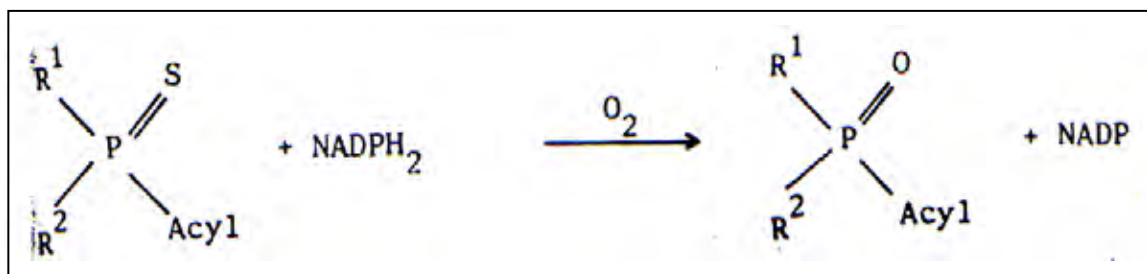
(ดีพร้อม ไชวงศ์เกียรติ, 2527)

### 1.5 การเปลี่ยนแปลงสูตรโครงสร้างของยาฆ่าแมลงประเภทօร์กานิฟอสเฟตในพืชและสัตว์

ในสัตว์เลี้ยงลูกด้วยนม มีการเปลี่ยนแปลงสารแพลกปลอมที่เข้าไปในร่างกายโดยทำให้ออยู่ในภาพซึ่งมีประจุมากขึ้น จึงละลายน้ำได้ดีขึ้น และถูกกำจัดออกจากร่างกายทางปัสสาวะ ในภาพดังกล่าว หรือในภาพของคอนจูเกตส์ (conjugates) ส่วนพืชมักจะเปลี่ยนแปลงสารแพลกปลอมให้อยู่ในภาพซึ่งจะทำปฏิกิริยากับเปปไทด์ (peptides) โปรตีนหรือคาร์โบไฮเดรต

การเปลี่ยนแปลงสูตรโครงสร้างของยาฆ่าแมลงประเภทօร์กานิฟอสเฟตในสัตว์ เลี้ยงลูกด้วยนม การเปลี่ยนแปลงส่วนใหญ่เกิดขึ้นที่ตับ ซึ่งมีเอนไซม์เอสเทอเรส (esterase) อยู่เป็นจำนวนมากปฏิกิริยาที่เกี่ยวข้องกับการเปลี่ยนแปลงสูตรโครงสร้างของยาฆ่าแมลงประเภทօร์กานิฟอสเฟตที่สำคัญ ได้แก่

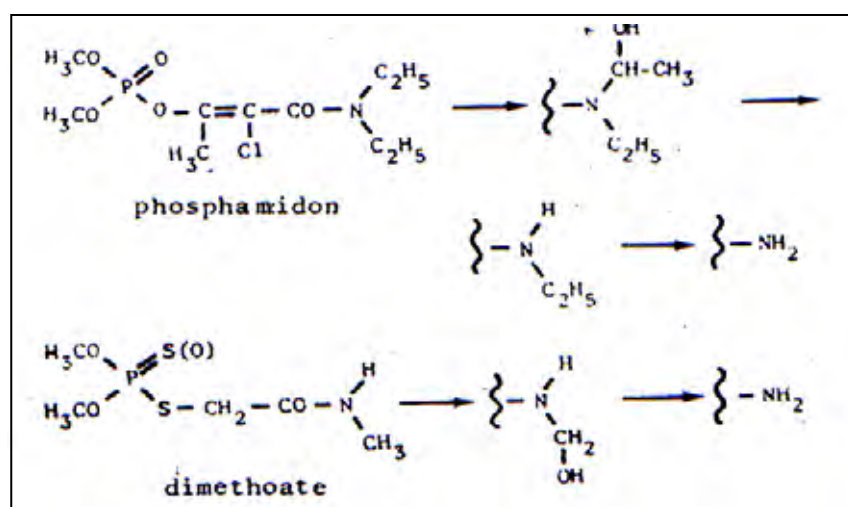
1.5.1 ปฏิกิริยาการเปลี่ยนกลุ่มไฮโวโน (thiono) เป็นกลุ่มออกไซ (oxo)  
ซึ่งปฏิกิริยาการเกิดออกซิเดชันของชั้ลเพอร์จะเปลี่ยนสารฟอสฟอโรไฮโวเนทส์ (phosphorothionates) เป็นฟอสเฟต (phosphate) ปฏิกิริยาดังกล่าวเป็นปฏิกิริยาซึ่งทำให้ได้สารมีฤทธิ์เกิดขึ้นที่ส่วนในไมโครโซเม (microsome) ของตับโดยมี NADPH<sub>2</sub> และออกซิเจน ดังภาพที่ 8



ภาพที่ 8 การเปลี่ยนแปลงสูตรโครงสร้างของยาฆ่าแมลงฟอสฟอโรไฮโวเนทส์เป็นสารในรูปที่ออกฤทธิ์ (ฟอสเฟต)

ที่มา : พาลาก สิงหนescne, 2531

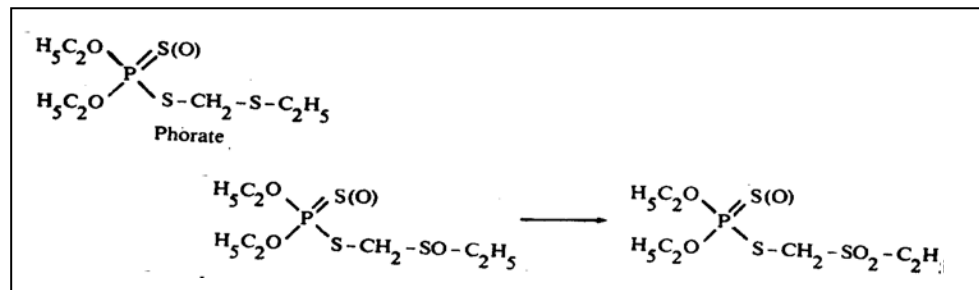
1.5.2 ปฏิกิริยาออกซิเดทีฟเด็อกซิเลชัน (oxidative dealkylation) เป็นปฏิกิริยาซึ่งกลุ่มอัลกิลเข้มกันในโครงเรん จะถูกกำจัดโดยปฏิกิริยาออกซิเดทีฟเด็อกซิเลชัน เช่น การที่ยาฆ่าแมลงไดเมโธเอท (dimethoate) และฟอสฟามิดอน (phosphamidon) ดังแสดงในภาพที่ 9 และยาฆ่าแมลง เช่น ไดโคโรโฟส (dicrotophos), โอเอ็มพีเอ (OMPA) และเอโซดริน (azodrin<sup>®</sup>) ถลายตัวได้อายุตที่ไม่มีการแทนที่



ภาพที่ 9 การถลายตัวของยาฆ่าแมลง ฟอสฟามิดอนและไดเมโธเอท

ที่มา : พาลาก สิงหนescne, 2531

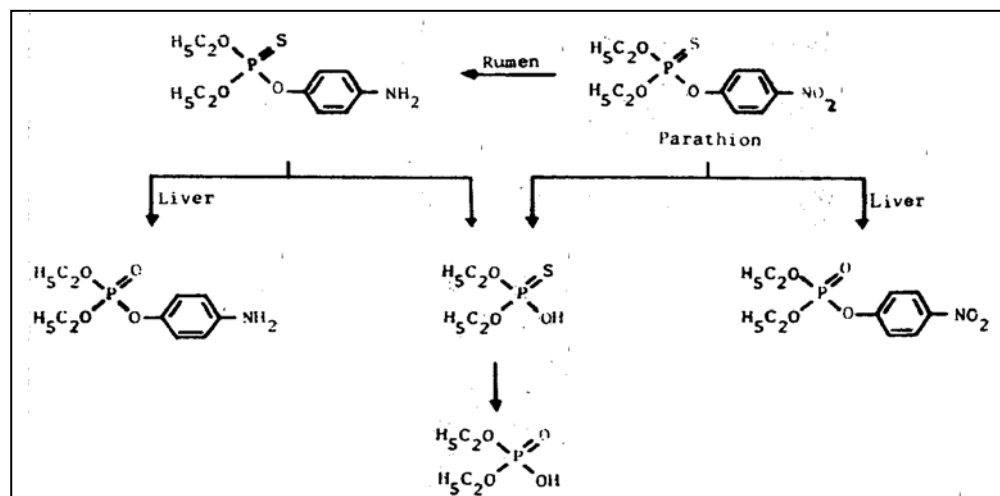
1.5.3 ปฏิกิริยาออกซิเดชันของไฮโอลีเชอร์ส (oxidation of thioethers) เป็นปฏิกิริยาการสลายตัวที่มีความสำคัญปฏิกิริยานี้ ซึ่งเป็นการเปลี่ยนยาฆ่าแมลงประเภทออร์กโนฟอสเฟตที่เป็นไฮโอลีเชอร์ให้เป็นสารชั้ฟอกไฮด์ (sulfoxides) และชั้ลไฟฟ์ (sulfones) เช่น การสลายตัวของยาฆ่าแมลงไฟเรต (phorate) ดังแสดงในภาพที่ 10



ภาพที่ 10 การสลายตัวของยาฆ่าแมลงไฟเรต

ที่มา : พาลาก สิงหเสนี, 2531

1.5.4 ปฏิกิริยาเรดักชัน (reduction) เป็นปฏิกิริยาที่เกิดขึ้นพร้อมๆ กับปฏิกิริยาออกซิเดชันของไฮโอลีเชอร์และปฏิกิริยาไฮโคลีดโรไอลซิต ตัวอย่างเช่น การเกิดปฏิกิริยาเรดักชันโดยใช้ออนไซน์ซึ่งเปลี่ยนแปลงกลุ่มไนโตรของพาราไฮอ่อน (parathion) เป็นกลุ่มอะมิโน ดังแสดงในภาพที่ 11



ภาพที่ 11 ปฏิกิริยาการเปลี่ยนแปลงยาฆ่าแมลงพาราไฮอ่อน

ที่มา : พาลาก สิงหเสนี, 2531

1.5.5 ปฏิกิริยาไฮโดรไลซีส (hydrolysis) เป็นปฏิกิริยาที่เกิดร่วมกับปฏิกิริยาการสลายตัวอื่นแบบทุกแบบ เช่น ไซน์ที่ใช้ในปฏิกิริยานี้มักเรียกว่าฟอสฟาเทส (phosphatase) หรืออาจเรียกตามชื่อของสารที่ถูกเปลี่ยนแปลง เช่น พาราออกซอนเนส (paraoxonase) เป็นต้น ปฏิกิริยาไฮโดรไลซีสโดยeron ไซน์ เป็นปฏิกิริยาที่สำคัญที่สุดในการทำให้ออร์กโนฟอสเฟตหมดฤทธิ์化解ที่ในปฏิกิริยาการเกิดพิษจะเกิดขึ้น เมื่อกลุ่มฟอสฟอริลถูกข้ายไปให้แก่กลุ่มเซรีน-แอลกอฮอล์ (serine-alcohol group) ในเอนไซม์โคลีนอเลสเตอเรส (cholinesterase) ปฏิกิริยาทั้งสองจะแข่งขันกันถูกหรือยาผ่าแมลงออร์กโนฟอสเฟตจะสูงสุดเมื่อยาผ่าแมลงเข้าสู่ร่างกาย และบนส่วนภายนอกในร่างกายในภาพที่ไม่ไวต่อการเกิดไฮโดรไลซีสที่ทำให้มดฤทธิ์ และยาผ่าแมลงในภาพที่ถูกบนส่วนภารถูกเปลี่ยนแปลงเป็นภาพที่ออกฤทธิ์ที่จุดออกฤทธิ์ (site of action)

1.5.6 ปฏิกิริยา conjugation เป็นปฏิกิริยาที่นำไปสู่การเกิดสารไวรัสิชซึ่งละลายน้ำได้และจะถูกกำจัดออกจากสัตว์หรือสะสมไว้ในพืช

### 1.6 กลไกการออกฤทธิ์ของยาผ่าแมลงประเกตออร์กโนฟอสเฟต

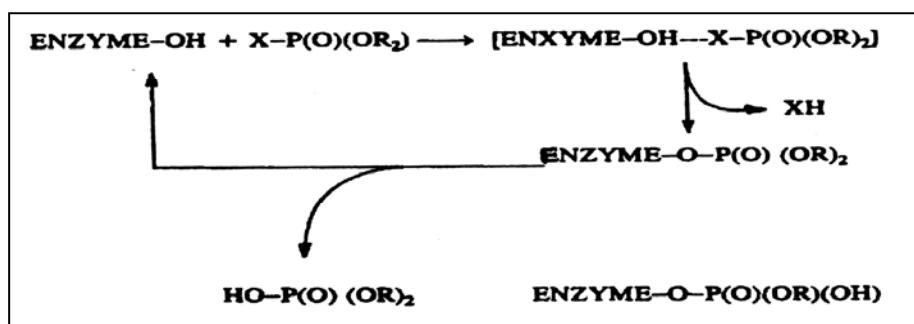
ระบบประสาทโดยส่วนของสัตว์เลี้ยงลูกด้วยนม ประกอบด้วยระบบประสาทส่วนกลาง (central nervous system) และระบบประสาทส่วนนอก (peripheral nervous system) ระบบประสาทส่วนกลางประกอบด้วยสมองและไขสันหลัง ทำหน้าที่เป็นระบบกล้องในการผลมผสาน (integration) โดยใช้เซลล์ประสาทจำนวนล้านๆเซลล์ ส่วนระบบประสาทส่วนปลายประกอบด้วยระบบบุตรอย คือ ระบบโซมาติก (somatic system) ซึ่งเป็นระบบที่ทำหน้าที่ควบคุมการเคลื่อนไหว โดยมีการทำงานของกล้ามเนื้อสนองตอบการกระตุนจากสิ่งแวดล้อม และระบบประสาทอัตโนมัติ (autonomic nervous system) ซึ่งควบคุมการทำงานของกล้ามเนื้ออย่างวัยวะภายใน และต่อมต่างๆ ระบบนี้ถูกควบคุมโดยระบบบุตรอยสองระบบซึ่งออกฤทธิ์ตรงข้ามกันและสิ่งมีชีวิตไม่สามารถบังคับได้ (involuntary) ระบบบุตรอยดังกล่าวได้แก่ ระบบประสาทซึมปานธetic (sympathetic nervous system) และระบบพาราซิมปานธetic (parasympathetic nervous system)

ระบบซึมปานธetic ประกอบด้วยปุ่มประสาท (ganglia) ขนาดใหญ่ต่อ กันอยู่นอกระบบประสาทส่วนกลาง แบ่งออกเป็นช่วงๆ โดยสัญญาณจะส่งผ่านช่องว่างชินแนปส์ที่อยู่บริเวณปุ่มประสาท (synaptic gaps) โดยสื่อเคมีอะซิติลโคลีน เส้นประสาทในช่วงที่ต่อจากสมองส่วนกลาง มากับปุ่มประสาทซึ่งเราเรียกว่าเส้นประสาแท็อกซอนก่อนปุ่มประสาท (preganglionic axon) เส้นประสาทในช่วงที่ต่อจากปุ่มประสาทไปยังอวัยวะ เช่น กล้ามเนื้อหรือต่อม เราเรียกว่าเส้นประสาแท็อกซอนหลังปุ่มประสาท (postganglionic axon) ซึ่งสื่อเคมีแอดรีนอลิน (adrenaline) หรือนอร์แอดรีนอลิน (noradrenaline) เป็นสารสื่อสัญญาณส่งผ่านช่องว่างชินแนปส์ไปยังกล้ามเนื้อหรือต่อม (ยกเว้นต่อมเหงื่อและต่อมแอดรีนัล (adrenals) ซึ่งใช้สื่อเคมีอะซิติลโคลีน) ส่วนระบบ

พาราซิมป่าเซติกจะมีขนาดของปูมประสาทเล็กกว่ากระจาอยู่ทั่วไปในส่วนต่างๆ ของร่างกาย ส่วนมากมักพบทางด้านขวาของอวัยวะต่างๆ จึงทำให้เส้นประสาแทءออกช่อนหลังปูมประสาทสั้น กว่าระบบพาราซิมป่าเซติกมีสารสื่อประสาททึบก่อนและหลังปูมประสาทเป็นอะซิติลโคลีน

ตัวอย่างการควบคุมชั่งคงกันข้ามกับระบบชิมป่าเซติกและพาราซิมป่าเซติก เช่น ระบบชิมป่าเซติกทำให้เกิดการเร่งการเดินของหัวใจ การลดการเคลื่อนไหวของทางเดินอาหาร การหรี่ม่านตา การหยุดยั้งการหลั่งน้ำลาย ในขณะที่ระบบพาราซิมป่าเซติกทำให้การเดินของหัวใจ ช้าลง เพิ่มการเคลื่อนไหวของทางเดินอาหาร เป็นต้น ในกรณีที่สื่อเคมีอะซิติลโคลีนจะทำหน้าที่ในการสื่อสัญญาณได้นั้น สื่อเคมีอะซิติลโคลีนชี้งัดทางเคมีอยู่ในพวกรถที่ต้องถูกย้ายไปที่อื่น หรือถูกทำให้หมุดทึบลงภายในเวลาอันรวดเร็วระยะเวลาหนึ่ง ชี้งัดนี้อยู่กับลักษณะเฉพาะของแหล่งออกฤทธิ์ ในส่วนของเหłatwและเนื้อเยื่ออกร่างกาย มีเอนไซม์ชี้งเรียกว่าเอนไซม์อะซิติลโคลีโนสเทอเรส (acetylcholinesterase หรือ AChE) สามารถไฮโดรไลส์อะซิติลโคลีนให้เป็นคอลีนและกรดอะซิติกพบว่าสารชี้งมีฤทธิ์ต้านเอนไซม์อะซิติลโคลีโนสเทอเรสเกือบทั้งหมด ออกฤทธิ์โดยการยับยั้งการทำงานของเอนไซม์อะซิติลโคลีโนสเทอเรสนี้

ยาฆ่าแมลงประเภทօร์กานิฟอสเฟตจะออกฤทธิ์โดยไปยับยั้งการทำงานของเอนไซม์อะซิติลโคลีโนสเทอเรส ดังแสดงในภาพที่ 12 โดยในชั้นแรกเอนไซม์จะจับกับสารประกอบօร์กานิฟอสเฟตในภาพของสารประกอบเชิงช้อนที่สามารถย้อนกลับได้ (reversible complex) จากนั้นเอนไซม์จะถูกฟอสฟอร์เลท (phosphorylated) และปล่อย (leaving group) สารประกอบօร์กานิฟอสเฟต ซึ่งในชั้นตอนนี้จะใช้ระยะเวลานาน และในชั้นสุดท้ายจะเกิดปฏิกิริยาไฮโดรไลซีสได้อ่อนเอนไซม์อะซิติลโคลีโนสเทอเรสและฟอสเฟต เนื่องจากในชั้นตอนเหล่านี้ใช้ระยะเวลานานในการเกิดปฏิกิริยา ทำให้เกิดการสะสมของอะซิติลโคลีนที่ซินแนปส์ของเส้นประสาท ดังนั้นจึงทำให้เกิดการกระตุ้นปลายประสาทเพิ่มขึ้นอย่างมากในกรณีรุนแรงจะทำให้สั่งมีชีวิตถึงแก่ชีวิตได้ (Perry et al., 1998)



ภาพที่ 12 การยับยั้งการทำงานของเอนไซม์อสเทอเรสโดยสารประกอบօร์กานิฟอสเฟต  
ที่มา : Perry et al., 1998

## 1.7 อาการพิษของยาฆ่าแมลงประเภทօร์กานฟอสเฟต

1.7.1 อาการแบบมัสคาเรนิก (muscarinic signs and symptoms) จุดรับสัมผัส มัสคาเรนิก (muscarinic receptors) สำหรับอะซิติลโคลีนพบส่วนใหญ่ที่กล้ามเนื้อเรียบ หัวใจและต่อมมีท่ออาหารที่เกิดขึ้นในระบบแรกคือ เป็นอาหาร คลื่นไส้ อาเจียน ท้องเดิน น้ำตาไหล เหงื่ออออก ม่านตาหลดตัว ถ่ายอุจจาระและปัสสาวะโดยกลืนไม่ยุ่ง การเกร็งของหลอดลม หลอดลมมีเมือกและเสมหะมาก เป็นต้น

1.7.2 อาการแบบนิโคตินิก (nicotinic signs and symptoms) อาการแบบนี้เกิดขึ้น เมื่องจากการสะสมของอะซิติลโคลีนที่ปลายประสาท末梢และที่ชิ้นแบนปลั๊กของระบบประสาท อัตโนมัติ อาการที่เกิดขึ้นคือกล้ามเนื้อถูกกระตุนมากกว่าปกติ มีการกระตุกของกล้ามเนื้อที่หน้า หนังตา ลิ้น ถ้าอาการรุนแรงขึ้นจะพบว่ากระตุกมากขึ้นทั่วร่างกาย ต่อมอาจจะมีอาการอ่อนเพลีย ตามกล้ามเนื้อทั่วไป และเกิดเป็นอัมพาตของกล้ามเนื้อในที่สุด

1.7.3 อาการทางสมอง เมื่องจากความผิดปกติของระบบประสาทส่วนกลาง อาการที่พบได้แก่ มึนศีรษะ ปวดศีรษะ ง่วง และกระสับกระส่าย ตื่นตกใจง่าย อารมณ์พลุ่งพล่าน ถ้าการมากอาจชาและหมัดสติได้ ผู้ป่วยที่มีอาการรุนแรงมากอาจถึงตาย ได้เมื่องจากระบบทายใจ ถี่นหนา (respiratory failure) ซึ่งอาจเกิดขึ้นได้จากหลอดลมตีบตัน กล้ามเนื้อของระบบหายใจเป็นอัมพาต และศูนย์การควบคุมการหายใจในสมองหยุดทำงาน ในรายที่มีอาการไม่รุนแรงนักอาการจะดีขึ้นใน 2-3 วัน แต่จะอ่อนเพลีย ไม่มีแรงเป็นเวลานาน (พาลา ก สิงหเสนี, 2531)

## 1.8 ผลกระทบของยาฆ่าแมลงประเภทօร์กานฟอสเฟตต่อสิ่งแวดล้อม

ประเทศไทยเป็นประเทศเกษตรกรรมมีพื้นที่ทั้งหมดประมาณ 320 ล้านไร่ ประชากรประมาณร้อยละ 70 มีอาชีพทางการเกษตร และมีพื้นที่เพาะปลูกประมาณ 128 ล้านไร่ เมื่องจากประเทศไทยตั้งอยู่ในเขตศูนย์สูตร ภูมิอากาศร้อนชื้น ฝนตกชุก มีความแห้งแล้งส่วนใหญ่ โรคและแมลงที่จะแพร่ขยายพันธุ์ได้อย่างดี ทั้งชนิดและปริมาณ การแก้ไขปัญหาศัตรูพืชที่ปฏิบัติกันอยู่อย่างแพร่หลายในปัจจุบันของเกษตรกร คือ การใช้สารป้องกันและกำจัดศัตรูพืชในการป้องกันและกำจัดโรค แมลงและวัชพืช ทำให้มีแนวโน้มการนำเข้าสารป้องกันกำจัดศัตรูพืชสูงขึ้นทุกปี สารกำจัดแมลงที่นิยมใช้กันมากในประเทศไทย โดยมีปริมาณนำเข้าสูงสุด 10 ชนิดแรก ในปี พ.ศ. 2530 ดังแสดงในตารางที่ 2

ตารางที่ 2 รายชื่อสารกำจัดแมลงนำเข้าในปี พ.ศ. 2530 ที่มีปริมาณสูงสุด 10 ชนิดแรก  
ที่มา : นวัตศรี ท狎พัชร, 2533

Type of Insecticide	Quantity (kg)	Value (Bath)
1. Methyl parathion	1 538 599	83 927 568
2. Monocrotophos	951 043	96 042 709
3. Methamidophos	417 452	45 273 444
4. Dimethoate	415 650	34 131 532
5. Methomyl	358 296	130 693 483
6. Malathion	309 354	17 965 900
7. Carbaryl	242 150	25 006 268
8. Mevinphos	240 691	18 803 315
9. Carbofuran	204 661	71 077 271
10. Ethyl parathion	174 038	34 131 532
Other (58 types)	1 821 361	207 920 359
Total	6 673 295	764 937 381

ปัจจุบันกับสารป้องกันกำจัดศัตรูพืชตอกค้างในสิ่งแวดล้อมนั้นมีได้เกิดขึ้น เนื่องจากพื้นที่ที่มีการใช้สารเหล่านี้เท่านั้น แต่สามารถแพร่กระจายและตกค้างในบริเวณกว้าง ได้ซึ่ง ก่อให้เกิดปัจจุบันสิ่งแวดล้อมตามมาเริ่มจากสารพิษตอกค้างในดินและลำต้นพืชหลังจากการฉีดพ่นจะ เกิดการสะสมส่วนหนึ่ง บางส่วนฟุ้งกระจายในบรรยากาศ และบางส่วนซึ่งลงไปในดิน ส่วนใหญ่ จะถูกฝนชะล้างพัดพาไปกับน้ำหน้าดิน ให้ลดลงสู่แหล่งน้ำ จากนั้นจะเกิดการถ่ายทอดสารเหล่านี้ ผ่านห่วงโซ่ออาหารเข้าสู่สิ่งมีชีวิตต่างๆต่อไป

#### 1.8.1 การแพร่กระจายของสารป้องกันกำจัดศัตรูพืชในดิน

ในการเพาะปลูกพืชนั้น เกษตรกรส่วนใหญ่ต้องใช้สารป้องกันกำจัดศัตรูพืช ทั้งก่อนปลูก ขณะที่พืชกำลังเติบโตและก่อนการเก็บเกี่ยว ดินจึงเป็นแหล่งรองรับสารเหล่านี้ โดยตรง นอกจากนี้สารป้องกันกำจัดศัตรูพืชบางชนิดยังนิยมใช้ในการบ้านเรือนด้วยทำให้ โอกาสที่สารเหล่านี้จะสะสมในดินจึงมีมากยิ่งขึ้น สารป้องกันกำจัดศัตรูพืชที่ตกค้างอยู่ในดินอาจมี การเปลี่ยนแปลงไปในหลายลักษณะ ได้แก่

##### 1.8.1.1 การสลายตัวโดยปฏิกิริยาทางเคมี (chemical decomposition)

##### 1.8.1.2 การสลายตัวโดยแสง (photodegradation)

- 1.8.1.3 การสลายตัวโดยกลุ่มทรีษย่อยสลาย (microbial degradation)
- 1.8.1.4 การระเหยจากดินสู่บรรจุภัณฑ์ (volatilization)
- 1.8.1.5 การเคลื่อนย้ายไปสู่แหล่งน้ำ (movement into water)
- 1.8.1.6 การเข้าสู่สิ่งมีชีวิต (plant or organism uptake)

จากการศึกษาปริมาณสารตกค้างของสารป้องกันและกำจัดศัตรูพืชในประเทศไทย ตรวจพบสารตกค้างในดินอยู่มากทั้งชนิดและปริมาณ กระจายไปตามดินเกยต์กรรมต่างๆ ทั่วประเทศ ดังแสดงในตารางที่ 3

ตารางที่ 3 ระดับสารพิษตกค้างประเภทออร์กานิฟอสเฟตในดินเป็น ppm (mg/kg) จากแหล่งเกยต์กรรมทั่วประเทศ สำรวจและวิเคราะห์ผลระหว่างปี พ.ศ. 2530-2531  
ที่มา : นวลดรี ทขาพัชร, 2533

Organophosphate pesticide	No. of positive sample	% of positive sample	Concentration (ppm)	
			Range	Average
Dimethoate	31	10.26	tr – 0.051	0.016
Diazinon	49	63.64	tr – 0.054	0.010
Methyl parathion	59	76.62	tr – 0.475	0.023
Malathion	10	12.99	tr – 0.009	0.004
Parathion	26	33.77	tr – 0.018	0.005

Total 77 samples; tr = trace (less than 0.001 ppm)

1.8.2 การแพร่กระจายของสารป้องกันกำจัดศัตรูพืชในแหล่งน้ำ การป้องกันกำจัดศัตรูพืชในแหล่งน้ำน้ำจากแหล่งส่าหรดดังต่อไปนี้

- 1.8.2.1 การฉีดพ่นสารป้องกันกำจัดศัตรูพืชลงสู่แหล่งน้ำโดยตรง
- 1.8.2.2 การกัดขาดินของฝนและน้ำไหลบ่าหน้าดินผ่านพื้นที่ที่มีการใช้สารป้องกันกำจัดศัตรูพืชก่อนลงสู่แหล่งน้ำ
- 1.8.2.3 การระบายน้ำทึบจากบ้านเรือนและโรงงานอุตสาหกรรมที่ใช้สารป้องกันกำจัดศัตรูพืชลงสู่แหล่งน้ำโดยมิได้มีวิธีกำจัดสารป้องกันกำจัดศัตรูพืช
- 1.8.2.4 การทิ้งหรือถางภาชนะที่บรรจุสารป้องกันกำจัดศัตรูพืชลงสู่แหล่งน้ำ
- 1.8.2.5 การใช้สารป้องกันกำจัดศัตรูพืชในบริเวณพื้นที่การเกษตรใกล้กับแหล่งน้ำ

สำหรับประเทศไทย มีการตรวจสอบชนิดและปริมาณสารพิษต่อค้างในแหล่งน้ำทั่วไปและแหล่งน้ำในแม่น้ำแม่กลองทั่วประเทศ ในปี พ.ศ. 2530-2531 จำนวน 149 ตัวอย่าง พบสารกุ่มออร์กานิฟอสเฟต 3 ชนิด โดยสารในกุ่มนี้ที่พบมากที่สุดคือ เมทิลพาราไธโอนความเข้มข้น 0.68 ppb ดังแสดงในตารางที่ 4

นอกจากนี้ยังมีการตรวจวิเคราะห์สารพิษตกค้างในดินตะกอนจากแหล่งน้ำต่างๆ ทั่วประเทศ จำนวน 71 ตัวอย่าง ตรวจพบสารตกค้างกลุ่momอร์กานิฟอสเฟต์ 5 ชนิด ได้แก่ ไดเมทโธเอท, ไดอะซีนอน, เมทธิลพาราไธอ่อน, มาลาไธอ่อนและพาราไธอ่อน

ตารางที่ 4 ระดับสารพิษตอกถังประเภทอร์กานิฟอสเฟตในน้ำจากแหล่งน้ำทั่วไป และแหล่งเก็บรวบรวมเป็น ppb ( $\mu\text{g/l}$ ) สำรวจน้ำและวิเคราะห์ผลกระทบว่างปี พ.ศ. 2530-2531

ที่มา : นวศศิริ ทယาพัชร, 2533

Organophosphate pesticide	No. of positive sample	% of positive sample	ppb ( $\mu\text{g/l}$ )	
			Range	Average
Dimethoate	1	0.67	tr-0.06	0.06
Diazinon	4	2.68	tr-0.28	0.15
Methyl parathion	5	3.36	tr-0.68	ND
Matathion	0	0	ND	ND
Parathion	0	0	ND	ND

Total 149 samples ND = Non detectable tr = trace (less than 0.01 ppb)

### 1.8.3 การตอกถี่งของสารป้องกันกำจัดศัตรพืชในพืชอาหาร

พืชสามารถรับสารป้องกันกำจัดศัตรูพืชได้หลายทาง เช่น การฉีดพ่นลงบนพืชโดยตรง พืชอาจดูดซึมจากดินหรือลมกับน้ำ หรือจากสารพิษที่ปล่อย出ในอากาศ โดยส่วนใหญ่เกยตกรากมักใช้สารป้องกันกำจัดศัตรูพืชเกินความจำเป็นจนเป็นอันตรายต่อพืชหรือเกิดการสะสมในพืชทำให้เกิดสารตกค้างในพืช

#### 1.8.4 การตอกศักราชของสารป้องกันกำจัดศัตรพืชในสัตว์

สาเหตุที่สัตว์ໄไดรับสารป้องกันกำจัดศัตรูพืช เนื่องจาก

#### 1.8.4.1 สัตว์ได้รับสารป้องกันกำจัดศัตรพืชโดยตรงจากการนิมพ์

เพื่อป้องกันหรือทำลายแมลงที่เป็นศัตรูพืช สัตว์สามารถรับสารเข้าสู่ร่างกายได้ 3 ทาง คือ ทางอาหาร ทางการหายใจและทางผิวนัง ปริมาณสารที่สัตว์ได้รับเข้าไปนั้นอาจไม่มากพอที่จะทำอันตรายกับสัตว์ แต่ก็อาจเกิดการสะสมในเนื้อเยื่อและอวัยวะต่างๆของสัตว์ได้

1.8.4.2 สัตว์ได้รับสารป้องกันกำจัดศัตรูพืชโดยทางอ้อม ก่อร้ายคือสัตว์กินอาหารตามลำดับขั้นในห่วงโซ่ออาหาร ถ้าผู้ผลิตหรือพิธีมีสารพิษตกค้างอยู่สัตว์จะได้รับสารพิษและสะสมในร่างกายได้ โดยเฉพาะในสัตว์น้ำที่มีการปนเปื้อนของสารป้องกันกำจัดศัตรูพืชจะสามารถสะสมสารพิษได้จากห่วงโซ่ออาหารของแหล่งน้ำนั้น ได้มีผู้รายงานถึงความเป็นพิษเชิงพลันของยาฆ่าแมลงประเภทออร์กานฟอสเฟตต่อปลา ได้แก่ อาการว่ายน้ำรุคเรือย่างผิดปกติ อาการชักกระตุก เป็นต้น ปลาบลูเกิล (bluegill, *Lepomis macrochirus*) ที่ได้รับยาฆ่าแมลงมาล่าไช้อน จะมีลักษณะการครึบจนสุดก่อนตาย และปลาที่ได้รับยาฆ่าแมลงชนิดนี้ขนาดตัวเพียง 10 ppm เป็นเวลานานๆ อาจให้กำเนิดลูกที่มีความผิดปกติทางโครงสร้างของครรภุสันหลังได้ นอกจากนี้ยังพบว่ายาฆ่าแมลงประเภทออร์กานฟอสเฟตมีพิษต่อสัตว์ โดยทำให้น้ำและน้ำหวานซึ่งเป็นอาหารของผึ้งปะปนด้วยสารพิษ

#### 1.8.5 การตกค้างของสารป้องกันกำจัดศัตรูพืชในมนุษย์

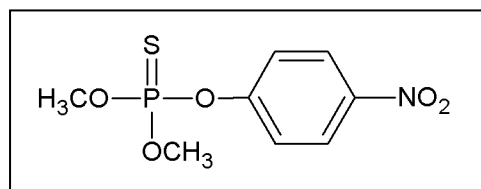
มนุษย์ก็เช่นเดียวกันกับสัตว์ทั้งหลายที่สามารถรับสารป้องกันกำจัดศัตรูพืชได้ 2 ทาง คือ โดยทางตรงจากการฉีดพ่น ได้แก่ ผู้ที่เกี่ยวข้องกับสาร เช่น เกษตรกร ประชาชนที่ใช้สารเหล่านี้ตามบ้านเรือน หรือคนงานในโรงงานที่เกี่ยวข้องกับสารพิษ เมื่อได้รับสารเข้าไปในปริมาณมากพอย่างมากแล้วจะแสดงอาการพิษโดยทางหนึ่งคือ โดยทางอ้อมจากการกินอาหารหรือดื่มน้ำที่มีสารพิษเจือปนอยู่ เช่น บริโภคข้าว ผัก ผลไม้ ในสัตว์ ไปเป็นต้น (พลาภ สิงหเสนี, 2531; นวลดรี ทยาพัชร, 2533)

## 2. เมทธิลพาราไธโอน (Methyl Parathion)

### 2.1 การบ่งชี้ลักษณะและคุณสมบัติ (Identification and Properties)

เมทธิลพาราไธโอนเป็นยาฆ่าแมลงในกลุ่มออร์กานฟอสเฟต (organophosphate) ชนิดหนึ่งมีชื่อทางเคมี (chemical name) ลายชื่อ ได้แก่ *o,o-dimethyl-o-(4-nitrophenyl) ester* หรือ *o,o-dimethyl-o-p-nitrophenyl phosphorothiate* หรือ *phosphorothioic acid* หรือ *o,o-dimethyl-o-4-nitrophenyl phosphorothiate* (IUPAC systematic name) นอกจากนี้ยังมีชื่ออื่นๆ (synonyms) อีก เช่น alenthione, Bayer E-601, carthion M, demethylfenitrothion dimethyl parathiofolidol-M, malatyr, demethylfenitrothion dimethyl parathion, folidol-M, metacid, methaphos, methylfolidol, nitrox, vofatox และชื่อทางการค้า (trade name) เช่น A-Gro, Folidol M, Metacide, Methyl-E 605, Metron, M-Parathion, Nitrox, Paratox, Paridol, Vofatox, Wofatox

สูตรโมเลกุลของเมทธิลพาราไธโอน คือ  $C_8H_{10}O_5NSP$  และมีสูตรโครงสร้างดังแสดงในภาพที่ 13



ภาพที่ 13 สูตรโครงสร้างของเมทธิลพาราไชโอน

เมทธิลพาราไชโอนที่บีบิสุทธิ์มีลักษณะเป็นผลึกไม่มีสี มีน้ำหนักโมเลกุล (molecular weight) 263.22 มีจุดหลอมเหลว (melting point) ที่อุณหภูมิ 35-36 องศาเซลเซียส มีจุดเดือด (boiling point) ที่อุณหภูมิ 160 องศาเซลเซียส ที่ความดัน 1 มิลลิเมตรของproto สามารถละลายได้ดีในสารอินทรีย์ทุกชนิด เสถียร (stability) ในสภาพสารละลายที่เป็นกลางและกรดที่อุณหภูมิปกติ แต่จะถูกไฮโดรไลซ์ (hydrolyze) โดยค่างและสลายตัวเล็กน้อยที่อุณหภูมิ 100 องศาเซลเซียส (พรพิมล เจริญส่ง, 2533)

## 2.2 กรรมวิธีการผลิตและการนำไปใช้ (Production Processes and Uses)

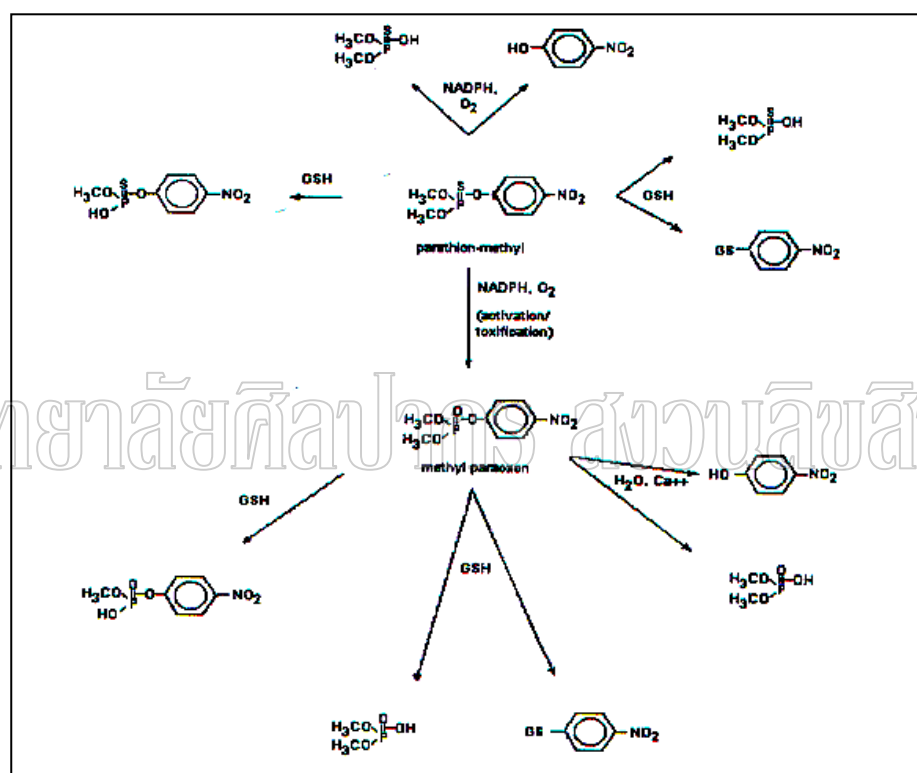
ในการอุดสาหร่ายเมทธิลพาราไชโอนได้จากปฏิกิริยาของ dimethyl chlorothiophosph-phate กับ *p*-nitrophenol โดยมีตัวเร่งปฏิกิริยาคือ hydrogen chloride หรือ sodium *p*-nitrophenolate ปฏิกิริยาจะเกิดขึ้นในน้ำในภาชนะสารที่เข้มข้นที่น้ำและน้ำมัน ที่ใช้ (emulsifier) ตัวออย่างเช่น ammonium naphthenate หรือ amines หรือสารละลายอินทรีย์

เมทธิลพาราไชโอนเป็นสารกำจัดแมลงที่ใช้ในทางการเกษตร ได้อย่างกว้างขวาง โดยมีประสิทธิภาพสูงในการป้องกันกำจัดศัตรูพืชหลายชนิดทั้งประเภทปากดูดหรือปากกัด (sucking and biting) โดยเฉพาะด้วงวง稼สมอฝ้าย (cotton bollweevil) นอกจากนี้ยังใช้กำจัดแมลง หมัด ไร หนอนผีเสื้อ หนอนกอชนิดต่างๆ หนอนมวนใบ หนอนกระทุ้ หนอนไยผัก หนอนกีบ หนอนกัดกินใบ แมลงชนิดที่มีปากดูด ได้แก่ เพลี้ยชนิดต่างๆ แมลงชนิดอื่นๆ เช่น บัว ด้วงคีด มวนต่างๆ และแมลงหัวใจ เมทธิลพาราไชโอนถูกนำไปใช้ในพืชสวน ส้ม กาแฟ อุ่น พืชไร่ แตงโม ยาสูบ อ้อย ฝ้าย สับปะรด ข้าว ข้าวโพด ข้าวฟ่าง ขัญพืช สารอเบอร์ มันฝรั่ง พืชตระกูลถั่ว เช่น ถั่วลิสง พืชผักและไม้ดอก ไม่ประดับทั่วไป (กรมควบคุมมลพิษ, 2541)

## 2.2 กระบวนการเมtabolism และการขับถ่ายในสิ่งมีชีวิต (Metabolism and Excretion)

สิ่งมีชีวิตสามารถดูดซึมเมทธิลพาราไชโอนผ่านป่า ผิวหนังและการหายใจ โดยจะแพร่กระจายอย่างรวดเร็วไปตามเนื้อเยื่อของร่างกาย ซึ่งสามารถตรวจสอบได้ภายใน 1-2 ชั่วโมง หลังจากได้รับสาร การเปลี่ยนเมทธิลพาราไชโอนเป็นเมทธิลพาราออกไซด์ (methylparaoxon) เกิดขึ้นภายในเวลาไม่กี่นาทีหลังจากได้รับสาร และกระบวนการกำจัดพิษ (metabolism and

detoxification) จากเมทิลพาราไนroxon และเมทิลพาราออกซอนจะเกิดขึ้นที่ตับเป็นส่วนใหญ่ โดยปฏิกิริยา oxidation, hydrolysis และ demethylation หรือ dealkylation ด้วยการรีดิวช์ (reduce) glutathione (GSH) ได้เป็น *o*-methyl-*o*-*p*-nitrophenyl phosphorothioate หรือ dimethyl phosphorothioic และพาราไนโตรฟีโนล ดังแสดงในภาพที่ 14 ดังนี้จึงสามารถตรวจสอบปริมาณ เมทิลพาราไนroxon ที่ได้รับ จากปริมาณพาราไนโตรฟีโนลที่ถูกขับออกมากับปั๊สสาวะ โดยพบว่า พาราไนโตรฟีโนลจะถูกขับออกมาร้อยละ 60 ภายใน 4 ชั่วโมง และขับออกมากทั้งหมดภายใน 24 ชั่วโมง



ภาพที่ 14 กระบวนการเมตาบólism ของเมทิลพาราไนroxon ในสัตว์เลี้ยงถูกด้วยนม  
ที่มา : พรพิมล เจริญส่ง, 2533

### 2.3 ความเป็นพิษต่อสัตว์เลี้ยงถูกด้วยนม (Mammalian Toxicity)

ผู้ผลเมทิลพาราไนroxon เข้าสู่ร่างกายมนุษย์โดยการสูดดมเข้าไปในปริมาณความเข้มข้นของเมทิลพาราไนroxon เท่ากับ 0.4-11 มิลลิกรัมต่อลูกบาศก์เมตร ซึ่งจะมีผลทำให้การทำงานของเอนไซม์ cholinesterase ลดลงหลายวัน

2.3.1 อาการได้รับพิษอย่างเฉียบพลันจากเมทิลพาราไนroxon แยกได้เป็น 3 กลุ่มหลักๆ ตามกลไกการออกฤทธิ์ที่เกิดขึ้นดังนี้

2.3.2.1 ฤทธิ์มัสการินิก มีผลมาจากการกระตุ้น M-cholinergic receptor เป็นการกระตุ้นระบบประสาทพาราซิมพาธิค มีผลต่อกล้ามเนื้อเรียบเกิดการหดตัวที่ระบบทางเดินอาหาร มีอาการคลื่นไส้ อาเจียน ปวดเกร็งในท้องและท้องเดิน นำ้ลายออกมากผิดปกติ เหงื่อออ ก้าวกระบากการหายใจมีอาการแย่นในอก หายใจมีเสียงหวีด มีผลต่อกล้ามเนื้อหัวใจทำให้เดินช้าลง ความดันโลหิตต่ำ และรูม่า่นตาหด

2.3.2.2 ฤทธิ์โคงตินิก มีผลมาจากการกระตุ้น N-cholinergic receptor เป็นการกระตุ้นระบบประสาทพาราซิมพาธิคและกล้ามเนื้อลาย ทำให้มีฤทธิ์ตรงข้ามกับการกระตุ้นระบบพาราซิมพาธิค ซึ่งอาการของผู้ได้รับพิษที่แสดงอาการซิมพาธิค จะมีอาการหัวใจเต้นเร็ว รูม่า่นตาหด ความดันโลหิตสูงมีการกระตุกของกล้ามเนื้อบริเวณเปลือกตา ในหน้าและคอ กล้ามเนื้ออ่อนแอ โดยในระยะแรกจะแสดงอาการเด่นทางซิมพาธิค แต่ต่อมาจะแสดงอาการเด่นทางพาราซิมพาธิค ส่วนการกระตุ้นกล้ามเนื้อที่บริเวณ motor end plate ทำให้กล้ามเนื้ออ่อนกำลัง ในที่สุดจะเกิดอัมพาตโดยเฉพาะกล้ามเนื้อที่ใช้ในการหายใจ

2.3.2.3 ฤทธิ์ต่อระบบประสาทส่วนกลาง อาจมีผลมาจากการกระตุ้นระบบ central M-cholinergic ทำให้มีอาการวิงเวียน ความคิดฟุ่มเฟือย การเคลื่อนไหวประเพรี่ดูด การหายใจผิดปกติ ไม่มีปฏิกิริยาตอบต่อต่อกระตุ้น มีการกระตุกของกล้ามเนื้อ การซักกgereingของกล้ามเนื้อย่างรุนแรง มีการสับสนทางจิต ซักอาการโคงม่า และหมดสติ

2.3.2 ส่วนอาการที่ได้รับพิษจากเมทิลพาราไซดอน อาจแยกประเภทตามความรุนแรงของการได้ 3 ประเภท คือ

2.3.2.1 อาการขันเล็กน้อย ผู้ป่วยยังพอที่จะเคลื่อนไหวได้โดยไม่ต้องรับความช่วยเหลือมักแสดงอาการคลื่นเหียน นำ้ลายออกมากผิดปกติ น้ำตาไหล อาเจียน ปวดท้อง ท้องร่วง ไม่ยกรับประทานอาหาร อ่อนเพลีย ปวดศีรษะ ทรงตัวลำบาก ในทางตรงกันข้ามอาจมีอาการง่วงนอน กล้ามเนื้อบิด เหงื่อออ กามาก การหายใจผิดปกติ หัวใจเต้นช้าสลับกับเต้นเร็ว หายใจมีเสียงหวีด เนื่องจากเมทิลพาราไซดอนมีผลทำให้การทำงานของเอนไซม์อะเซทิลโคลีนเอสเทอเรส ในเม็ดเลือดแดงและการทำงานของเอนไซม์โคลีนเอสเทอเรส (cholinesterase) ในชีรั่มของเลือดลดลงถึง 50 เปอร์เซ็นต์ การทำงานของเอนไซม์ดังกล่าวสามารถกลับสู่สภาวะปกติได้อย่างรวดเร็วในกรณีที่การได้รับพิษอยู่ในขันเล็กน้อย

2.3.2.2 อาการขันปานกลาง ผู้ป่วยไม่สามารถเคลื่อนไหวได้ หากไม่ได้รับความช่วยเหลือจะแสดงลักษณะต่างๆ ที่บริเวณระบบประสาทส่วนกลางและระบบประสาಥอตโนมัติ วัยวะที่เกี่ยวข้องกับระบบหายใจ ระบบที่เกี่ยวกับหัวใจและหลอดเลือด และระบบทางเดินอาหาร ผู้ป่วยมักแสดงอาการนำ้ลายออกมากผิดปกติ อาเจียนมีอาการเสียดท้อง (โดยเฉพาะ

บริเวณสะเดื้อ) ห้องร่วงและหนึ่งห้องอกมาก กล้ามเนื้อบิด มือสั่น ตากกระตุก กล้ามเนื้อไม่ประสานงานกัน การหายใจลำบาก ความดันโลหิตสูง อุณหภูมิของร่างกายอยู่ในช่วง 37.2-38.8 องศาเซลเซียส การทำงานของเอนไซม์อะซิติลคอลีนเอสเทอเรสในเม็ดเลือดแดงและการทำงานของเอนไซม์คอลีนเอสเทอเรสในซีรั่มของเลือดมีเพียง 10-20 เปอร์เซ็นต์

2.3.2.3 อาการขันรุนแรง ผู้ป่วยไม่สามารถเคลื่อนไหวและมีความสับสนทางจิตใจเกิดขึ้น จะแสดงอาการซักและเกิดความผิดปกติของระบบหายใจ กล้ามเนื้อบิดทั่วร่างกาย อัตราการหายใจมากกว่า 40 ครั้งต่อนาที บริเวณปลายแขนขาเขียวเนื่องจากการขาดออกซิเจน ปฏิกริยาโดยต้องต่อสิ่งกระตุ้นเกิดขึ้นอย่างแพร่เบา อุณหภูมิในร่างกายเพิ่มสูงขึ้นเท่ากับ 39 องศาเซลเซียส การถ่ายอุจจาระและปัสสาวะเกิดขึ้นโดยไม่รู้ตัว ม่านตาหรือการทำงานของเอนไซม์อะซิติลโคเลินเอสเทอเรสในเม็ดเลือดแดง และการทำงานของเอนไซม์โคเลินเอสเทอเรสในชีรั่มของเลือดจะลดลงหรือถูกยับยั้งอย่างถาวร เชิง การได้รับพิษอย่างเฉียบพลันของเมธิลพาราไซด์ตอนเป็นผลเนื่องมาจากการยับยั้งการทำงานของอะซิติลโคเลินเอสเทอเรสตรงบริเวณปลายประสาทซึ่งจะทำให้การสะสมของอะซิติลโคเลิน อาการที่ปรากฏได้แก่ เหงื่ออออก มีน้ำลายไหล ท้องร่วง อาการโคง่าและตายเนื่องจากระบบทดายใจล้มเหลว

## 2.4 การทดสอบความเป็นไปตามสิ่งแวดล้อม (Environmental Fate Tests)

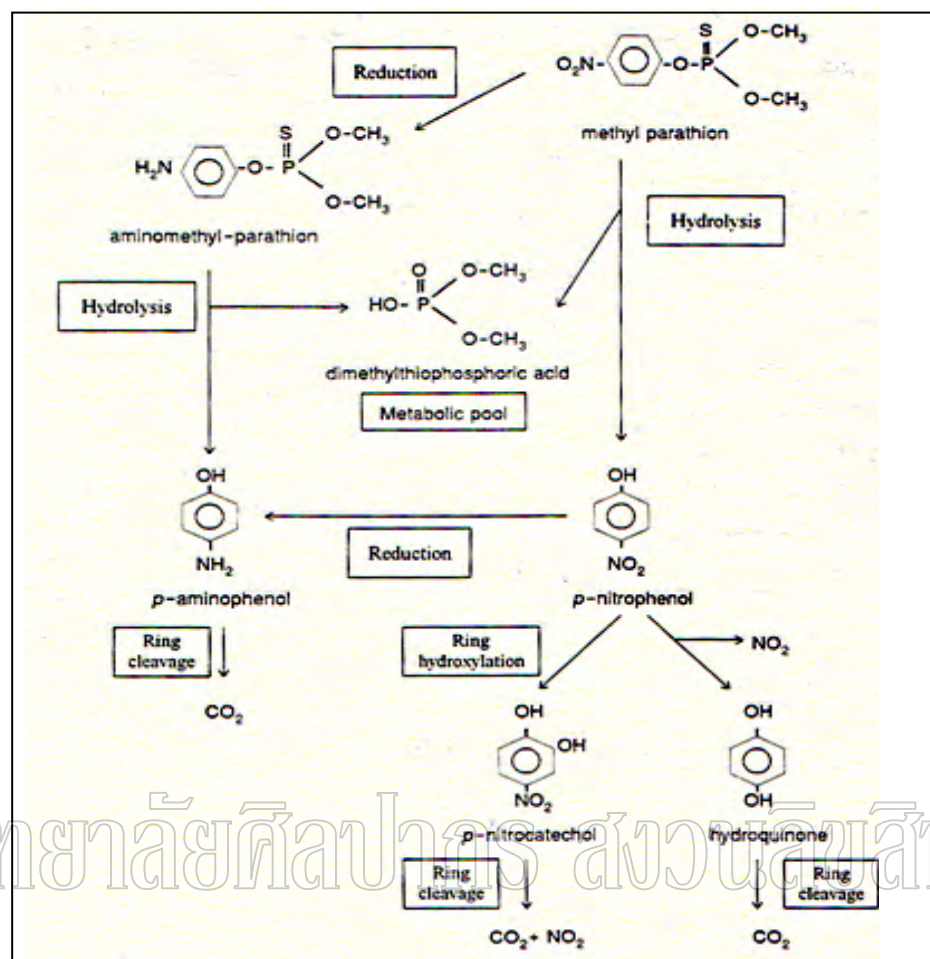
#### 2.4.1 การย่อยสลายโดยฟื้นฟูวิชีวิคและการเจริญเติบโตของเชื้อรา (Biodegradation and

### Biotransformation)

เมทชิลพาราไฮroxอนสามารถถลایตัวได้ด้วยจุลินทรีย์ที่อาศัยอยู่ในดิน ซึ่ง pathway ในการย่อยถลایเมทชิลพาราไฮroxอนของจุลินทรีย์เกี่ยวข้องกับปฏิกิริยาไฮโดรไลซิส (hydrolysis) และปฏิกิริยาเรดักชัน (reduction) ดังแสดงในภาพที่ 15

ปฏิกิริยาไฮโดรไลซิสของเมทิลพาราไนซอนเกิดที่พันธะ nitrophenyl (C-O-P) และได้ผลผลิตเป็นพาราไนโตรฟีนอล (*p*-nitrophenol) และกรดไดเมทธิลไนโวฟอสฟอริก (dimethyl thiophosphoric acid) หลังจากนั้นจะเกิดกระบวนการ metabolism ของพาราไนโตรฟีนอลได้เป็นไนโตรท (nitrite) และไฮโดรควิโนน (hydroquinone) หรือพาราไนโตรเคทิคอล (*p*-nitrocatechol)

ปฏิกิริยาเรตักชั่นของเมทิลพาราไธโอนเกิดที่กลุ่มไนโตร (nitro group) ได้เป็นอะมิโนเมทิลพาราไธโอน (aminomethyl-parathion) ซึ่งจะถูกไฮโดรไลส์ต่อไปได้พาราอะมิโนฟีโนล (*p*-aminophenol) และกรดไฮเดรติโซโฟฟอริก แต่ยังไรก์ตามพาราไนโตรฟีโนลซึ่งเป็นเมตาบอไลท์ (metabolite) ของเมทิลพาราไธโอนในปฏิกิริยาไฮโดรไลซ์สามารถลดกรดิวิตซ์เป็นพาราอะมิโนฟีโนลในสภาวะไร้อากาศ (Keprasertsup, 1995)



ภาพที่ 15 proposed pathways ของเมทธิลพาราไชโอนในจุลินทรีย์โดยทั่วไป

ที่มา: Keprasertsup, 1995

#### 2.4.2 การย่อยสลายโดยแสง (Photodegradation)

เมทธิลพาราไชโอนถูกย่อยสลายเป็นกรดไดเมทธิลไธโอดฟอฟอริกพาราในไตรฟีโนล และเมทธิลพาราออกซอนในสภาพแวดล้อม หลังจาก 8 ชั่วโมงไปแล้วกระบวนการเกิดเมทธิลพาราออกซอนโดยอาศัยแสงอัลตราไวโอเลตจะเกิดเพิ่มขึ้น

#### 2.4.3 การแตกตัวทำปฏิกิริยากับน้ำ (Hydrolysis)

การแตกตัวทำปฏิกิริยา กับน้ำของเมทธิลพาราไชโอนขึ้นกับค่า pH อุณหภูมิที่เพิ่มขึ้น การแตกตัวทำปฏิกิริยา กับน้ำ 50 เปอร์เซ็นต์ ณ อุณหภูมิ 20 องศาเซลเซียส ใช้ระยะเวลา 175 วัน ในขณะที่ pH เท่ากับ 1-5 ที่ อุณหภูมิ 40 และ 50 องศาเซลเซียส ใช้ระยะเวลา 5 วัน และ 4 วัน ตามลำดับ และเมื่อ pH เท่ากับ 12 ที่ อุณหภูมิ 70 องศาเซลเซียส ใช้ระยะเวลาเพียง

12 ชั่วโมงเท่ากับน้ำในขณะที่พิเศษเท่ากับ 6-7 และ 9 ที่อุณหภูมิ 70 องศาเซลเซียส ใช้ระยะเวลาในการแตกตัวทำปฏิกิริยา กับน้ำเพียง 6.9 และ 1.5 ชั่วโมง ตามลำดับ

อัตราการแตกตัวทำปฏิกิริยา กับน้ำโดยค่าคงที่ (alkali) ของเมทธิลพาราไฮอ่อนเท่ากับ 4.3 ซึ่งสูงกว่าพาราไฮอ่อน ครึ่งชีวิต (half-life) ของเมทธิลพาราไฮอ่อนที่อุณหภูมิ 70 องศาเซลเซียส ในเอทานอลซึ่งมีพิเศษเท่ากับ 6.0 และในสารละลายบัฟเฟอร์ (1:4) มีค่าครึ่งชีวิตเท่ากับ 8.4 ชั่วโมง

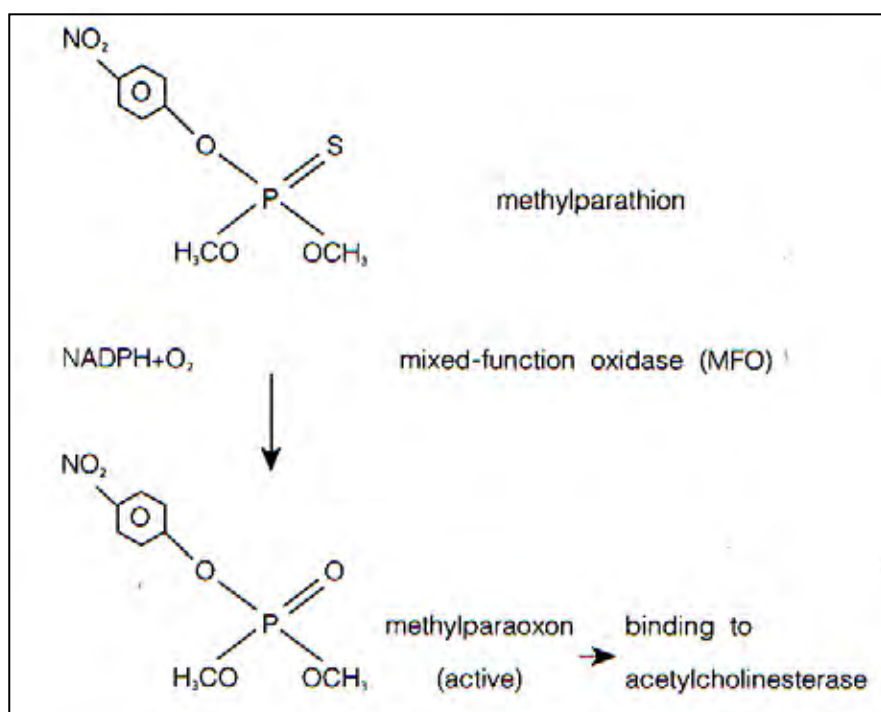
จากการศึกษาของ Douglas M. Munnecke (1980) พบว่าเอนไซม์ที่เตรียมได้จากแบคทีเรียทำให้เกิดการแตกตัวทำปฏิกิริยา กับน้ำได้อย่างรวดเร็วกว่าการแตกตัวทำปฏิกิริยา กับน้ำด้วยสารเคมีโดยที่ครึ่งชีวิตของสารละลายสูตรผสมเจือจางของสารเคมีป้องกันกำจัดสัตtruพีซและสัตว์อยู่ในช่วง 27-80 ชั่วโมง และการทำงานของเอนไซม์ดังกล่าวไม่ถูกขัดขวางโดยผงซักฟอกและองค์ประกอบตัวทำละลายที่เป็นสูตรผสมทางการค้า

#### 2.4.4 การกลাযเป็นไออก (Evaporation)

การกลা�ยเป็นไออกพื้นผิวดินของเมทธิลพาราไฮอ่อนขึ้นกับปริมาณความเข้มข้นของเมทธิลพาราไฮอ่อนในดิน และอัตราการเคลื่อนย้ายอากาศหนีอผิวดิน ด้านการกลাযเป็นไออกเท่ากับ 4 หรืออัตราการกลা�ยเป็นไออกเท่ากับ 7-14 คิโลกรัมต่อพื้นที่ 1 เมตรตารางต่อปี

#### 2.4.5 การเกิดการออกซิเดชัน (Oxidation)

การเกิดการออกซิเดชันเป็นการลดกำมะถันที่รวมตัวอยู่ในเมทธิลพาราไฮอ่อน โดยลำพังแล้วเมทธิลพาราไฮอ่อนไม่สามารถกระตุนฤทธิ์ (active) ได้ต้องอาศัยการกระตุนฤทธิ์จากระบบเอนไซม์ที่ทำให้เกิดกระบวนการเปลี่ยนเป็นออกซิไดส์ (mixed-function oxidases: MFO) ซึ่งปรากฏในร่างกายของแมลง สัตว์ทดลองและคน ระบบเอนไซม์ดังกล่าวอยู่ในไครโครไซม (microsome) และต้องอาศัย NADPH และออกซิเจน ( $O_2$ ) ในการทำงานด้วย ดังภาพที่ 16



ภาพที่ 16 การกระตุ้น (activation) ของเมทธิลพาราไธอ่อนให้เปลี่ยนเป็น active metabolite ซึ่งออก

ฤทธิ์โดยการจับกับเอนไซม์ acetylcholinesterase และขับยั้งการทำงานของเอนไซม์

ที่มา: พรพิมล เจริญส่าง, 2533

## 2.5 การแพร่กระจายสู่สิ่งแวดล้อม (Environmental Exposure)

การกระกระจายของเมทธิลพาราไธอ่อนในอากาศ น้ำ ดิน และสิ่งมีชีวิตที่อยู่ในสิ่งแวดล้อม มักเกิดขึ้นจากปัจจัยทางกายภาพ เคมี และชีวภาพ การแพร่กระจายของเมทธิลพาราไธอ่อนในอากาศส่วนใหญ่เกิดจากการฉีดพ่น ทำให้ละอองฝุ่นกระจาย และการระเหยของน้ำจากใบไม้และผิวดิน พนว่าระดับเมทธิลพาราไธอ่อนในชั้นบรรยากาศคงที่ การเกษตรมีค่าสูงสุดประมาณ 70 นาโนกรัมต่อตารางเมตร และลดลงสู่ระดับปกติเมื่อผ่านไป 9 วัน

จากการศึกษาระดับเมทธิลพาราไธอ่อนในดิน พนว่าเมทธิลพาราไธอ่อนสามารถคงสภาพในดินได้นานกว่าในอากาศหรือในน้ำ โดยระยะเวลาที่อยู่ในดินจะแตกต่างกันไปขึ้นอยู่กับชนิดของดิน เช่น เมทธิลพาราไธอ่อนในดินทรายจะสลายได้เร็วกว่าในดินเหนียว การย่อยสลายเมทธิลพาราไธอ่อนในสัตว์และการขับถ่ายของเสียเกิดขึ้นภายในเวลาสั้นๆ อย่างไรก็ตามกระบวนการเหล่านี้จะเกิดในสัตว์เดิมถูกด้วยนมและสัตว์ปีกได้รวดเร็วกว่าสัตว์ที่มีกระดูกสันหลัง ชั้นต่ำและสัตว์ไม่มีกระดูกสันหลัง แนวทางการย่อยสลายเมทธิลพาราไธอ่อนในสิ่งแวดล้อมที่สำคัญที่สุดคือการย่อยสลายด้วยจุลินทรีย์ เนื่องจากในสิ่งแวดล้อมมีจุลินทรีย์หลายชนิดที่สามารถ

ย่อยสลายยาฆ่าแมลงได้ โดยมีรายงานการวิจัยมากmany เกี่ยวกับการศึกษาจุลินทรีย์ที่สามารถย่อยสลายยาฆ่าแมลงได้ ดังแสดงในตารางที่ 5

ตารางที่ 5 ชนิดของจุลินทรีย์ที่สามารถย่อยสลายยาฆ่าแมลงได้

ที่มา : ดัดแปลงจาก Chaudhry, 1994

Compound	Microorganism
parathion	<i>Bacillus</i> <i>Arthrobacter</i> <i>Flavobacterium</i> sp. ATCC 27551 <i>Pseudomonas</i> sp. ATCC 29353 <i>Pseudomonas</i> spp. <i>Pseudomonas</i> sp. <i>Pseudomonas</i> strain CTP-01 <i>Pseudomonas diminuta</i> MG <i>Pseudomonas</i> sp. Strain SC
Methyl parathion	<i>Pseudomonas</i> sp. <i>Pseudomonas</i> sp. isolate 50541 <i>Flavobacterium</i> sp. ATCC 27551 <i>Plesiomonas</i> sp. M6 <i>Burkholderia cepacia</i> Aufwuchs
<i>p</i> -Nitrophenol	<i>Flavobacterium</i> sp. <i>Pseudomonas</i> spp. PNP-1, 2, and 3 <i>Pseudomonas</i> sp. isolate 50445 <i>Moraxella</i> sp. <i>Pseudomonas</i> strain 24

Diazinon	<i>Flavobacterium</i> sp. ATCC 27551 <i>Pseudomonas</i> sp. ATCC 29353 <i>Pseudomonas</i> spp. <i>Pseudomonas</i> sp. <i>Arthrobacter</i> sp. SB3 and SB4
Isofenphos	<i>Arthrobacter</i> sp. <i>Pseudomonas</i> sp.
Fenetrothion	<i>Flavobacterium</i> sp. ATCC 27551
Dichlorovos	<i>Pseudomonas aeruginosa</i> sp. <i>Pseudomonas</i> sp.
Coumaphos	Isolates B-1, B-2, and B-3
Mathidathion	<i>Bacillus coagulans</i>

## 2.6 ผลกระทบต่อสิ่งมีชีวิตในสิ่งแวดล้อม (Effects on Organisms in the Environment)

เมทิลพาราไฮดอนเป็นยาฆ่าแมลงในกลุ่มօร์กานฟอสเฟตที่ใช้ป้องกันและกำจัดแมลง ซึ่งเกษตรกรนิยมใช้กันอย่างแพร่หลาย โดยในปี พ.ศ. 2536 มีสถิติการนำเข้ามาใช้ในประเทศไทยสูงเป็นอันดับที่ 3 ของสารกำจัดศัตรูพืชในกลุ่มเดียวกัน กิดเป็นปริมาณที่นำเข้า 1,117 ตัน หรือเป็นมูลค่ากว่า 70 ล้านบาท จากการที่มีการใช้เมทิลพาราไฮดอนอย่างแพร่หลายเป็นเหตุให้ตรวจสอบการปนเปื้อนและตกค้างอยู่ในผลิตผลทางการเกษตร เช่น พืชผัก และผลไม้ชนิดต่างๆ รวมทั้งแหล่งในพื้นที่เพาะปลูก แหล่งน้ำธรรมชาติ และดินเกษตรกรรมอยู่เสมอ (กรมวิชาการเกษตร, 2537)

สำหรับผลกระทบของเมทิลพาราไฮดอนต่อสิ่งมีชีวิตที่อยู่ในน้ำพบว่าในสัตว์ไม่มีระบะศักดิ์สัมภังค์ที่อาศัยอยู่ในน้ำ มีค่าความเป็นพิษของเมทิลพาราไฮดอนในสภาพองค์ค่า  $LC_{50}$  (lethal concentration คือ ความเข้มข้นของสารที่ทำให้สิ่งมีชีวิตที่ศึกษาลดลง 50 เปอร์เซ็นต์) อยู่ในช่วงน้อยกว่า 1-40 ไมโครกรัมต่อลิตร สัตว์จำพวกหอยมีค่า  $LC_{50}$  อยู่ในช่วง 12-25 มิลลิกรัม

ต่อลิตร ปลาทะเลและป้าน้ำจืดส่วนใหญ่ มีค่า LC<sub>50</sub> อยู่ในช่วง 6-25 มิลลิกรัมต่อลิตร ดังนั้นควรหลีกเลี่ยงการฉีดพ่นเมทิลพาราไฮอ่อนใกล้แหล่งน้ำ เช่น หนองน้ำ แม่น้ำ และทะเลสาบในสภาวะที่มีลมแรง สำหรับผลกระทบของเมทิลพาราไฮอ่อนต่อสัตว์ปีก มีการศึกษาในห้องปฏิบัติการพบว่าเมทิลพาราไฮอ่อนมีค่าความเป็นพิษต่อนกในภาพของค่า LD<sub>50</sub> (lethal dose คือ ปริมาณสารพิษที่ใช้ต่อน้ำหนักของสัตว์มีชีวิตที่ทำให้สัตว์มีชีวิตที่ศึกษาลดลง 50 เปอร์เซ็นต์) ที่ให้ทางปากอยู่ในช่วง 3-8 มิลลิกรัมต่อกิโลกรัมของน้ำหนักตัว สำหรับประเทศไทย กรมวิชาการเกษตรได้ศึกษาสารพิษตอกค้างในผักและผลไม้ โดยสุ่มเก็บตัวอย่างผักและผลไม้ในห้องที่จังหวัดต่างๆ เช่น นครปฐม อ่างทอง นนทบุรี ปทุมธานีและชลบุรี เป็นต้น มาวิเคราะห์ชนิดและปริมาณของสารตอกค้างในผลิตผลเหล่านั้นพบว่าตัวอย่างที่วิเคราะห์ทั้งหมดมีสารพิษตอกค้างของยาฆ่าแมลงป่นปี้อยู่ประมาณร้อยละ 75 ของตัวอย่างทั้งหมด ดังแสดงในตารางที่ 6 และตารางที่ 7 นอกจากนี้ยังพบว่าในตัวอย่างส่วนที่นำมาวิเคราะห์ร้อยละ 12.8 ของตัวอย่างทั้งหมด มีปริมาณเมทิลพาราไฮอ่อนเกินค่าความปลอดภัยที่กำหนดไว้ (ที่ปริมาณ 0.2 ppm) คิดเป็นร้อยละ 1.4 ของตัวอย่างทั้งหมด (กรมวิชาการเกษตร, 2538)

ตารางที่ 6 จำนวนตัวอย่างของผักและผลไม้ที่ตรวจพบสารพิษตอกค้าง  
ที่มา : กรมวิชาการเกษตร, 2538

## มหาวิทยาลัยราชภัฏ ลพบุรี

Commodity	No. of samples analysed	Samples found	
		No.	(%)
Grape	156	139	89.1
Tangerine	70	51	72.8
Brassica	15	5	33.3
Cabbage	123	51	41.5
Cauliflower	12	4	33.3
Corn, baby	26	5	19.2
Cowpea	30	8	26.7
Cucumber	20	8	40
Ipomoea (morning glory)	16	5	31.2
Kale	76	40	52.6
Mushroom	21	3	14.3
Tomato	26	6	23.1

ตารางที่ 7 ชนิดและปริมาณของสารพิษตอกด่างที่ตรวจพบในผักและผลไม้  
ที่มา : กรมวิชาการเกษตร, 2538

Commodity (No. of samples analyzed)	Pesticide	Range of residue (ppm)	Total found	Total violations	Codex MRL (ppm)
Grape (156)	captan	<0.01-1.91	47		
	dimethoate	0.01-0.07	26		
	methomyl	0.01-1.07	29		
	monocrotophos	0.02-1.58	117	40	0.2
Tangerine (70)	dimethoate	0.01-1.31	33		
	malathion	0.03-1.07	10		4
	monocrotophos	0.01-1.72		7	0.2
	parathion-methyl	0.01-0.99	9	1	0.2

จากการยงานการวิจัยในแห่งต่างๆ ของเมธิลพาราไฮอ่อน จะเห็นได้ว่า เมธิลพาราไฮอ่อนเป็นยาฆ่าแมลงประเภทօร์กานิฟอสเฟตชนิดหนึ่งที่มีความเป็นพิษสูง สามารถซึมผ่านปากผิว หนังและการหายใจ หากได้รับในปริมาณมากอาจทำให้เสียชีวิตได้อย่างไรก็ตามแม้ว่าประเทศสหราชอาณาจักรและประเทศในกลุ่มสหภาพยุโรปได้ประกาศห้ามใช้ยาฆ่าแมลงชนิดนี้ในพื้นที่การเกษตรแล้วก็ตามแต่ในประเทศกำลังพัฒนารวมทั้งประเทศไทยยังมีการใช้ยาฆ่าแมลงชนิดนี้อย่างแพร่หลาย จึงมีความจำเป็นอย่างยิ่งที่จะต้องศึกษาหารือวิธีการลดการปนเปื้อนของเมธิลพาราไฮอ่อนที่มีประสิทธิภาพสูงสุดและไม่เป็นอันตรายต่อสิ่งแวดล้อม ซึ่งวิธีการย่อยสลายยาฆ่าแมลงด้วยจุลินทรีย์เป็นวิธีที่มีประสิทธิภาพสูงสุด ราคากลูกที่สุดและไม่เป็นอันตรายต่อสิ่งแวดล้อม (Munnecke *et al.*, 1974) ดังนั้นในการศึกษาการแสดงออกและการผลิตแยกบริสุทธิ์ของเมธิลพาราไฮอ่อนที่สามารถย่อยสลายยาฆ่าแมลงเมธิลพาราไฮอ่อน และยาฆ่าแมลงชนิดอื่นๆ ในกลุ่มօร์กานิฟอสเฟตในเชื้อจุลินทรีย์ จึงเป็นความรู้พื้นฐานเพื่อนำไปประยุกต์ใช้ในการเพิ่มประสิทธิภาพการกำจัดสารพิษจากยาฆ่าแมลง สิ่งแวดล้อมต่อไป

### 3. เชื้อแบคทีเรีย *Burkholderia cepacia* ที่สามารถย่อยสลายยาฆ่าแมลงเมธิลพาราไฮอ่อน (Keprasertsup *et al.*, 2001)

เชื้อแบคทีเรีย *Burkholderia cepacia* ที่ใช้ในงานวิจัยนี้เป็นแบคทีเรียที่ข้อมติดสีแกรมลบมีการร่วงเป็นท่อน โคลoni มีลักษณะสีขาว ทึบแสง ขนาดเล็ก ต้องการอากาศในการเจริญ เติบโต

(aerobic bacteria) และให้ผลบวกกับปฏิกิริยาออกซิเดสและคต้าเลส (oxidase-positive and catalase-positive)

เชื้อแบคทีเรียตัวนี้แยกได้จากพื้นที่เกย์ตกรรมในเขตต่ำชัน ขวางทางกอกอน้อย กรุงเทพมหานคร สามารถเจริญเติบโตได้ที่อุณหภูมิห้อง ( $26\pm2$  องศาเซลเซียส) และมีคุณสมบัติในการย่อยสลายและใช้ยาฆ่าแมลงเมทิลพาราไธโอนเป็นแหล่งคาร์บอนเพียงแหล่งเดียวในการเจริญเติบโต โดยเชื้อแบคทีเรียตัวนี้จะย่อยสลายยาฆ่าแมลงเมทิลพาราไธโอนเป็นพาราไนโตรฟินอล นอกจากนี้ยังสามารถย่อยสลายพาราไนโตรฟินอลต่อไปได้อีกด้วย การเลี้ยงเชื้อชนิดนี้จะเลี้ยงในอาหารที่ประกอบด้วยแร่ธาตุที่จำเป็น (basal mineral medium, BMM) ที่มีเมทิลพาราไธโอนความเข้มข้น 50 ไมโครกรัมต่อนิลลิตร โดยเชื้อแบคทีเรียจะสามารถย่อยสลายยาฆ่าแมลงได้หมดภายในเวลา 12-18 ชั่วโมง สังเกตได้จากอาหารเลี้ยงเชื้อที่เปลี่ยนจากสีเขียวปนเหลืองเป็นสีขาวๆ นอกจากนี้เชื้อแบคทีเรียตัวนี้ยังสามารถย่อยสลายมาลาไธโอนและไดเมโธเอที่เป็นยาฆ่าแมลงในกลุ่มօร์กานิฟอสเฟต ได้อีกด้วย เนื่องจากนี้เชื้อจุลทรรศตัวนี้ยังสามารถเจริญเติบโตในอาหารเลี้ยงเชื้อที่มียาฆ่าแมลงเหล่านี้เป็นแหล่งคาร์บอนเพียงแหล่งเดียวได้ทั้งในอาหารแข็งและอาหารเหลว (เจยภูวนรัตน์ วิจิตรเวชการ คณะคณ, 2543)

## มหาวิทยาลัยมหาสารคาม สถาบันวิจัยศึกษา

### 4. รายงานการวิจัยที่เกี่ยวข้องเกี่ยวกับการศึกษาจุลทรรศ์ที่สามารถย่อยสลายยาฆ่าแมลง

ปัจจุบันมีการใช้ยาฆ่าแมลงในพื้นที่เกย์ตกรรมอย่างแพร่หลาย ทำให้เกิดการตกค้างของยาฆ่าแมลงซึ่งเป็นอันตรายต่อสิ่งแวดล้อม จึงมีการศึกษาวิธีการย่อยสลายยาฆ่าแมลงด้วยจุลทรรศ (microbial degradation) เนื่องจากจุลทรรศมีความสามารถในการย่อยสลายสารอินทรีย์ต่างๆ มากมาย เพราะมันมีความหลากหลายในกระบวนการ เมตาบอลิซึมและมีความสามารถในการปรับตัวให้เข้ากับสิ่งแวดล้อมที่แตกต่างออกໄไปได้

ในปี ค.ศ. 1973 มีรายงานการแยกเชื้อแบคทีเรีย *Bacillus* sp. และ *Pseudomonas* sp. จากดินที่นำท่อมที่มียาฆ่าแมลงพาราไธโอน ซึ่งเชื้อทั้งแบบที่เรียกว่า 2 ชนิดสามารถย่อยสลายพาราไธโอนได้ โดยพบว่า *Bacillus* sp. จะย่อยสลายพาราไนโตรฟินอลซึ่งเป็นผลที่ได้จากการย่อยสลายพาราไธโอนได้เป็นไนเตรต ส่วนแบคทีเรีย *Pseudomonas* sp. จะย่อยสลายพาราไธโอนได้เป็นพาราไนโตรฟินอล จากนั้นจะย่อยสลายพาราไนโตรฟินอลได้เป็นไนเตรต (Siddaramappa et al., 1973)

ในปี ค.ศ. 1974 มีการศึกษาการย่อยสลายยาฆ่าแมลงพาราไซด์อนและพาราไนโตรฟินอลในอาหารเหลวโดยใช้เชื้อแบคทีเรียที่แยกได้จากดินที่มีพาราไซด์อนตอกค้างอยู่จากการศึกษาพบว่าเชื้อแบคทีเรียสามารถย่อยสลายพาราไซด์อนได้ดี แต่ไม่สามารถย่อยสลายพาราไนโตรฟินอลซึ่งเป็นแมต้าโนไลท์ของพาราไซด์อนต่อไปได้ (Munnecke *et al.*, 1974)

นอกจากนี้ในปี ค.ศ. 1977 มีรายงานการแยกเชื้อแบคทีเรีย 2 ชนิด ที่สามารถย่อยสลายพาราไซด์อนและพาราไนโตรฟินอลจากพื้นที่เกษตรกรรมในรัฐแคลิฟอร์เนีย ประเทศสหรัฐอเมริกา โดยเชื้อแบคทีเรียที่แยกได้คือ *Pseudomonas stutzeri* ซึ่งสามารถย่อยสลายพาราไซด์อนด้วยเอนไซม์ที่ปล่อยออกนอกเซลล์ (extracellular enzyme) และ *Pseudomonas aeruginosa* ซึ่งสามารถย่อยสลายพาราไนโตรฟินอลแต่ไม่สามารถย่อยสลายพาราไซด์อนได้ (Daughton and Hsieh, 1977)

ต่อมาในปี ค.ศ. 1982 ได้มีผู้นำเชื้อแบคทีเรียขึ้นมาศึกษาพบว่าเป็นเชื้อแบคทีเรีย *Pseudomonas diminuta* และการทำงานของเอนไซม์ที่ย่อยสลายพาราไซด์อน (parathion hydrolase) นี้จะถูกสร้างจากพลาสมิคที่ชื่อว่า pCS1 (Serdar *et al.*, 1982)

ในปี ค.ศ. 1986 มีรายงานการศึกษาขึ้นที่สามารถย่อยสลายยาฆ่าแมลงประเภทออร์การโนฟอสเฟตที่ชื่อว่าเย็นออร์กานิโนฟอสเฟตดีกราเดชั่น (organophosphate-degrading gene; opd) ที่ถูกครองหลักให้กับนิวคลีโอไครเดส (organophosphate hydrolase; OPH) ในเชื้อแบคทีเรีย *Flavobacterium* sp. ATCC 27551 โดยยืนนี้ตั้งอยู่บนพลาสมิคขนาด 43 kb พบว่ามีส่วนที่มีความเหมือนกัน (homology) กับยีนออร์กานิโนฟอสเฟตดีกราเดชั่นใน *Pseudomonas diminuta* ที่ตั้งอยู่บนพลาสมิคขนาด 66 kb (Mulbry *et al.*, 1986) และเมื่อวิเคราะห์ลำดับนิวคลีโอไครเดสของยีนนี้จากเชื้อทั้ง 2 ชนิดดังกล่าว พบร่วมกันว่า นิวคลีโอไครเดสของยีนนี้ของเชื้อทั้งสองชนิดมีความเหมือนกัน (Harper *et al.*, 1988)

ในปี ค.ศ. 1987 มีรายงานการเปรียบเทียบลักษณะของพลาสมิคที่กำหนดรหัสให้กับที่สร้างเอนไซม์พาราไซด์อนไนโตรเลสจากเชื้อ *Pseudomonas diminuta* และ *Flavobacterium* sp. โดยการใช้ restriction maps ของพลาสมิคจากเชื้อแบคทีเรียทั้ง 2 ชนิดเป็นตัวเปรียบเทียบ โดยเชื้อ *Pseudomonas diminuta* มีพลาสมิค pPDL2 ขนาด 39 กิโลเบสและเชื้อ *Flavobacterium* sp. มีพลาสมิค pCMS1 ขนาด 70 กิโลเบส โดยพลาสมิคทั้ง 2 มีส่วนที่มีความเหมือนกันในช่วง upstream ของส่วนอนุรักษ์ประมาณ 2.6 กิโลเบสและในช่วง downstream 1.7 กิโลเบส แต่ในส่วนที่นอกเหนือจากนี้ไม่มีส่วนที่มีความเหมือนกัน (Mulbry *et al.*, 1987)

ในปี ค.ศ. 1988 มีรายงานการแยกเชื้อ *Pseudomonas* sp. ที่สามารถย่อยสลายยาฆ่าแมลง เมทิลพาราไฮroxอนจากอาหารที่ประกอบด้วยแร่ธาตุที่จำเป็น โดยพบว่าเชื้อแบคทีเรียที่แยกได้สามารถย่อยสลายเมทิลพาราไฮroxอนได้แต่ไม่สามารถใช้เมทิลพาราไฮroxอนเป็นแหล่งคาร์บอนเพียงแหล่งเดียวในการเจริญเติบโตได้ นอกจากนี้ยังพบว่าเชื้อ *Pseudomonas* sp. ตัวนี้มีลำดับนิวคลีโอไทด์ที่มีความเหมือนกันกับลำดับนิวคลีโอไทด์ของยีนออร์ก้าโนฟอสเฟตดีกราเดชั่นของ *Pseudomonas diminuta* และ *Flavobacterium* sp. ที่มีการศึกษามาแล้ว (Chaudhry et al., 1988)

ต่อมาในปี ค.ศ. 1989 มีการศึกษาคุณลักษณะ (characterization) ของเอนไซม์ที่สามารถย่อยสลายพาราไฮroxอนจากเชื้อแบคทีเรีย *Flavobacterium* sp. จำนวน 3 สายพันธุ์ คือ ATCC 27551, B1 และ SC พบร่วมกัน ใช้เชื้อแบคทีเรียทั้ง 3 สายพันธุ์มีคุณลักษณะทั่วไปเหมือนกัน แต่เมื่อนำมาทดสอบความเหมือนกันกับยีนออร์ก้าโนฟอสเฟตดีกราเดชั่น โดยใช้ลำดับนิวคลีโอไทด์ของยีนออร์ก้าโนฟอสเฟตดีกราเดชั่นจาก ATCC 27551 เป็นตัวตรวจ (probe) พบร่วมกัน อย่างไรก็ตาม ไม่มีความเหมือนกัน (Mulbry and Karns, 1989)

ในปี ค.ศ. 1991 มีการศึกษา pathway การย่อยสลายพาราไฮroxอนโดยเชื้อแบคทีเรีย *Moraxella* sp. พบร่วมกัน ใช้เชื้อแบคทีเรียชนิดนี้สามารถใช้พาราไฮroxอนเป็นแหล่งคาร์บอนเพียงแหล่งเดียวในการเจริญเติบโต และสามารถย่อยสลายพาราไฮroxอนโดยฟินอลได้เป็นไนโตรทีและไฮdroquinone (hydroquinone) ด้วยเอนไซม์ *p*-nitrophenol oxidizing enzyme ซึ่งเป็นเอนไซม์ชนิด membrane bound (Spain and Gibson, 1991)

นอกจากนี้ ในปี ค.ศ. 1993 มีรายงานการศึกษาเชื้อจุลินทรีย์ที่สามารถย่อยสลายยาฆ่าแมลงในกลุ่มอื่น เช่น ยาฆ่าแมลงในกลุ่มคาร์บามะ (carbamate) โดยพบว่าเอนไซม์ carbamyl hydrolase ซึ่งเป็นเอนไซม์ในกลุ่มเอสเทอเรส (esterase) ของเชื้อแบคทีเรีย *Blastobacter* sp. M501 สามารถย่อยสลายยาฆ่าแมลงในกลุ่มคาร์บามะได้ และการย่อยสลายยาฆ่าแมลงคาร์บาริล (carbaryl) ซึ่งอยู่ในกลุ่มคาร์บามะของเชื้อ *Arthrobacter* sp. RC100 นั้นเกี่ยวข้องกับพลาสมิด 2 ชนิดคือ pRC1 และ pRC2 (Hayatsu et al., 1993)

ในปี ค.ศ. 1996 มีรายงานการโคลนและการหาลำดับนิวคลีโอไทด์ของยีน *opaA* ของเชื้อแบคทีเรีย *Aeromonas* sp. JD6.5 ที่สามารถย่อยสลายสารประกอบประเภทออร์ก้าโนฟอสเฟต แล้วเปรียบเทียบลำดับนิวคลีโอไทด์ของยีน *opaA* กับลำดับนิวคลีโอไทด์ของออร์ก้าโนฟอสเฟตดีกราเดชั่นของเชื้อแบคทีเรีย *Pseudomonas diminuta* MG และ *Flavobacterium* sp. ATCC 27551 พบร่วมกัน ไม่มีความเหมือนกัน (Cheng et al., 1996)

ปี ค.ศ. 1998 มีรายงานการโคลนยิน *phnE* และ *glpT* ซึ่งเป็นยินที่เกี่ยวข้องกับการส่งผ่าน (transport) ยาฆ่าแมลงได้ไอโซพริลฟลูออโรฟอสเฟต (diisopropyl fluorophosphate) ของเชื้อ *Eschericia coli* K-12 โดยพบว่ายืนทั้ง 2 ชนิดนี้ทำให้เชื้อ *Eschericia coli* K-12 สามารถย่อยสลายยาฆ่าแมลงได้ไอโซพริลฟลูออโรฟอสเฟตได้ดีขึ้น (Elashvili et al., 1998) และยิน *phn* ของเชื้อ *Burkholderia sp.* RP007 ที่สามารถย่อยสลาย polycyclic aromatic hydrocarbon (PAH) มีลำดับนิวคลีโอไทด์ที่แตกต่างจากยินอื่นที่สามารถย่อยสลาย PAH ได้ (Laurie and Jones, 1999)

ในปี ค.ศ. 1999 มีรายงานการคัดแยกเชื้อจุลินทรีย์จากดิน และการศึกษา *Pseudomonas sp.* A3 จากดิน พบว่า *Pseudomonas sp.* A3 สามารถย่อยสลายเมทิลพาราไธอ่อน, มาลาไธอ่อน, monocrotophos และ diazinon ซึ่ง *Pseudomonas sp.* A3 จะเปลี่ยนเมทิลพาราไธอ่อนไปเป็นแหล่งของการรับอนและฟอสฟอรัสเพื่อใช้ในการเจริญเติบโต (Ramanathan and Lalithakumari, 1999)

ในปี ค.ศ. 2000 มีรายงานการค้นพบเชื้อ *Burkholderia cepacia* sp. NF100 มีความสามารถในการย่อยสลายยาฆ่าแมลง Fenitrothion (fenitrothion) ซึ่งเป็นยาฆ่าแมลงชนิดหนึ่งในกลุ่มออร์กานอฟอสฟอสเฟตนั้นเกี่ยวข้องกับพลาสมิด 2 ชนิดคือ pNF1 และ pNF2 (Hayatsu et al., 2000)

ต่อมาในปี ค.ศ. 2001 มีรายงานการแยกเชื้อ *Plesiomonas sp.* M6 ที่สามารถย่อยสลายยาฆ่าแมลงเมทิลพาราไธอ่อนได้เป็นพาราไนโตรฟีโนล และทำการบ่งชี้ยืนที่สามารถย่อยสลายยาฆ่าแมลงเมทิลพาราไธอ่อนด้วยเทคนิค shotgun cloning ให้เชื้อยืนนี้ว่าเมทิลพาราไธอ่อนดีกราเดชัน (methyl parathion degradation; mpd) แต่ยังไม่สามารถพบร่วมกับแบคทีเรียตัวนี้ไม่สามารถย่อยสลายพาราไนโตรฟีโนลต่อไปได้ (Zhongli et al., 2001)

ในปีเดียวกันนี้มีรายงานการคัดแยกเชื้อจุลินทรีย์จากแหล่งเงยต์กรรมในประเทศไทย โดยการนำดินจากการเกษตร ไปเลี้ยงในอาหารที่ประกอบด้วยแร่ธาตุที่จำเป็นที่มีกลูโคสและไม่มีกลูโคส และอาหารทั้งสองชนิดจะมีเมทิลพาราไธอ่อนเป็นส่วนประกอบ จากการทดลองสามารถคัดแยก *Burkholderia cepacia* ออกมาจากอาหารที่ประกอบด้วยแร่ธาตุที่จำเป็นที่ไม่มีกลูโคสพบว่า *Burkholderia cepacia* เป็นแบคทีเรียที่สามารถย่อยสลายเมทิลพาราไธอ่อนได้ดี และเชื้อชนิดนี้สามารถเจริญในอาหารที่ประกอบด้วยแร่ธาตุที่จำเป็นที่มีพีเอชอยู่ในช่วง 4-8 และความเข้มข้นของเกลือ 0-3.5 เบอร์เซ็นต์ เมื่อทำการทดลองเพิ่มปริมาณกลูโคสลงในอาหารพบว่าการเพิ่มปริมาณกลูโคสไม่มีผลในการเพิ่มความสามารถในการย่อยเมทิลพาราไธอ่อน (Keprasertsup et al., 2001)

ในปี ค.ศ. 2002 มีรายงานว่ายีนออร์ก้าโนฟอสเฟตดีกราเดชั่นเอ (*opdA*) ของเชื้อ *Agrobacterium radiobactor* P230 ที่สามารถย่อยสลายยาฆ่าแมลงประเภทออร์ก้าโนฟอสเฟตมี ลำดับนิวคลีโอ ไทด์คล้ายกับยีนออร์ก้าโนฟอสเฟตดีกราเดชั่นของเชื้อบækที่เรีย *Brevundimonas diminuta* MG (*Pseudomonas diminuta* MG) และเชื้อบækที่เรีย *Flavobacterium* sp. ATCC 27551 แต่เอนไซม์ออร์ก้าโนฟอสเฟต ไไฮโดรเลสเอ (*OpdA*) ที่ถูกสร้างโดยยีนออร์ก้าโนฟอสเฟต- ดีกราเดชั่นสามารถไไฮไดรไลซ์ยาฆ่าแมลงประเภทออร์ก้าโนฟอสเฟตได้หลายชนิดกว่าเอนไซม์ ออร์ก้าโนฟอสเฟต ไไฮโดรเลสที่ถูกถอดรหัสจากยีนออร์ก้าโนฟอสเฟตดีกราเดชั่น (Horne *et al.*, 2002)

ในปี ค.ศ. 2002 มีรายงานการคัดแยกแบคทีเรียนิดหนึ่งออกจากดินสกปรกรอบๆ โรงงานผลิตยาฆ่าแมลง โดยแบคทีเรียนิดนี้สามารถย่อยสลายเมทชิลพาราไธโอนได้อย่างสมบูรณ์ และเมื่อจำแนกชนิดของแบคทีเรียนิดนี้พบว่าอยู่ในจำพวก *Pseudomonas* sp. WBC-3 แบคทีเรียนิดนี้มีความสามารถในการย่อยสลายเมทชิลพาราไธโอนในความเข้มข้นสูงถึง 800 มิลลิกรัมต่อ ลิตรในอาหารพื้นฐานและสามารถเพิ่มความต้านทานได้ถึง 2000 มิลลิกรัมต่อลิตรในอาหารที่มี กลูโคสปริมาณ 0.1 เปอร์เซ็นต์ และนอกจากนี้แบคทีเรียนิดนี้ยังสามารถย่อยสลายยาฆ่าแมลงอื่นๆ ในกลุ่มออร์ก้าโนฟอสเฟตและสารประกอบอะโรมาติก (aromatic) (Chen Y *et al.*, 2002)

ในปี ค.ศ. 2002 มีรายงานการใช้กระบวนการ DNA shuffling เพื่อสร้างเอนไซม์ ออร์ก้าโนฟอสเฟต ไไฮโดรเลสที่สามารถย่อยสลายเมทชิลพาราไธโอนได้ดีขึ้น โดยการนำยีน ออร์ก้าโนฟอสเฟตดีกราเดชั่นมาทำ DNA shuffling แล้วโคลนเข้าสู่ *E. coli* XL1-Blue และคัดเลือก โคลนที่มีความสามารถย่อยสลายเมทชิลพาราไธโอนได้เพิ่มขึ้น จากนั้นนำเอนไซม์ที่ได้มา วิเคราะห์กิจกรรมเอนไซม์พบว่าเอนไซม์ออร์ก้าโนฟอสเฟต ไไฮโดรเลสนี้สามารถย่อยสลาย เมทชิลพาราไธโอนได้เพิ่มขึ้น 25 เท่า (Cui *et al.*, 2002)

ปี ค.ศ. 2003 ได้มีรายงานการศึกษาส่วนของพลาสมิด pPDL2 ของเชื้อ *Flavobacterium* sp. และพลาสมิด pCMS1 จากเชื้อ *Pseudomonas diminuta* ซึ่งทั้งสองพลาสมิดมีส่วนดีเอ็นเอขนาด 5.1 กิโลเบต ซึ่งมียีนออร์ก้าโนฟอสเฟตดีกราเดชั่นโดยพบว่ายีนออร์ก้าโนฟอสเฟตดีกราเดชั่นอยู่ บนพลาสมิด pPDL2 ระหว่างยีน *ISF1sp1* และ *Tn-3* และมี open reading frame (*orf243*) ซึ่ง ถอดรหัสให้โพลีเปปไทด์ขนาด 27 กิโลคาลตัน ที่สามารถย่อยสลายพาราไนโตรฟีนอล (Siddavattam *et al.*, 2003)

ในปี ค.ศ. 2004 มีรายงานการศึกษาการแสดงออก การแยกบริสุทธิ์ และการหาคุณลักษณะของยีนเมทัลพาราไธโอนดีกราเดชั่น โดยการทำพีซีอาร์ (polymerase chain reaction; PCR) และถ่ายยีนเพื่อให้แสดงออกใน *E. coli* ในรูปแบบของพิวชั่นโปรตีนอิสทิดีน (hexa-His C-terminal fusion protein) ทำการแยกบริสุทธิ์เอนไซม์โดยใช้ metal-affinity column chromatography ซึ่งจากการศึกษากิจกรรมเอนไซม์และศึกษาไชโนแกรม (zymogram) ของเอนไซม์ที่แยกได้ พบว่า เออนไซม์ที่อยู่ในรูปแบบที่ทำงานได้ (active form) นั้นเกิดจากการตัด precursor protein ที่มีขนาดใหญ่กว่า โดยตัด signal peptide ที่บีริเวณ N-terminal ของสายโปรตีนออกไป และผลที่ได้แสดงให้เห็นว่าเอนไซม์เมทัลพาราไธโอนไไฮโดรเลสีมีโครงสร้างเป็นโนโนเมอร์ (Guoping et al., 2004)

ในปี ค.ศ. 2005 มีรายงานการพัฒนาการแสดงออกของยีนที่สร้างเอนไซม์ เมทัลพาราไธโอนไไฮโดรเลสใน *E. coli* โดยการโคลนยืนภายในตัวของโปรเมอร์เตอร์ P43 และเพิ่มลำดับนิวคลีโอ ไทด์ของ signal peptide จากยีน *nprB* ของ *Bacillus subtilis* ซึ่งพบว่ามีการแสดงออกของยีนในระดับสูง และมีการหลังเอนไซม์ออกนอกเซลล์ โดยเอนไซม์ที่ได้ยังมีความสามารถในการย่อยสลายเมทัลพาราไธโอนได้อย่างมีประสิทธิภาพ (Xiao-Zhou Zhang et al., 2004)

สำหรับในประเทศไทยในปี พ.ศ. 2544 มีรายงานการแยกเชื้อ *Burkholderia cepacia* ที่สามารถย่อยสลายยาฆ่าแมลงเมทัลพาราไธโอนและพาราไนโตรฟินออกจากดินที่ทำการเกษตรในประเทศไทยโดยพบว่าเชื้อตัวนี้สามารถใช้เมทัลพาราไธโอนเป็นแหล่งคาร์บอนเพียงแหล่งเดียว ในการเจริญเติบโต (Keprasertsup et al., 2001) และในปีเดียวกันนี้ได้มีการแยกบริสุทธิ์เอนไซม์ เมทัลพาราไธโอนไไฮโดรเลสจากเชื้อตัวนี้ พบว่าเอนไซม์ชนิดนี้มีขนาดประมาณ 35 กิโลดาตัน และเมื่อทำการวิเคราะห์กรดอะมิโนที่ปลายด้าน N-terminus พบว่ามีกรดอะมิโนจำนวน 40 อะมิโน (เจยภารรัณ วิจิตรเวชกุล และบุญศรี จงเสรีจิตต์, 2544)

ปี พ.ศ. 2547 มีรายงานการบ่งชี้และศึกษาลักษณะของยีนที่สร้างเอนไซม์ เมทัลพาราไธโอนไไฮโดรเลสจากเชื้อ *Burkholderia cepacia* โดยพบว่าเมื่อนำยีนนี้ไปโคลนและนำไปทำลำดับนิวคลีโอ ไทด์ด้วยเทคนิคพีซีอาร์ พบว่าลำดับนิวคลีโอ ไทด์ของยีนที่สร้างเอนไซม์ เมทัลพาราไธโอนไไฮโดรเลสที่สมบูรณ์มีขนาด 996 เบส โดยสามารถแปลงรหัสเป็นกรดอะมิโนได้จำนวน 331 ตัว นอกจากนี้เมื่อนำลำดับนิวคลีโอ ไทด์ของยีนที่สร้างเอนไซม์เมทัลพาราไธโอน-ไไฮโดรเลสจากเชื้อชุลินทรีย์นี้และลำดับกรดอะมิโนของเอนไซม์เมทัลพาราไธโอนไไฮโดรเลสนี้มาวิเคราะห์ พบว่ามีความเหมือนกันกับยีนเมทัลพาราไธโอนดีกราเดชั่น (*mpd gene*) ของเชื้อ *Plesiomonas sp. M6* โดยมีเปอร์เซ็นต์ความเหมือนกันคิดเป็น 99 เปอร์เซ็นต์ และ 98 เปอร์เซ็นต์ ตามลำดับ นอกจากนี้ยังมีความเหมือนกันกับยีน *organophosphate pesticide hydrolase* ของ

*Ochrobactrum* sp. Mp-3 คิดเป็น 99 เปอร์เซ็นต์ และ 99 เปอร์เซ็นต์ตามลำดับ ซึ่งลำดับนิวคลีโอไทด์และกรดอะมิโนที่วิเคราะห์ได้มีความแตกต่างจากยีนออร์กานิฟอสเฟตดีกราเดชั้นของเชื้อ *Flavobacterium* sp. ATCC 27551 โดยมีเปอร์เซ็นต์ความเหมือนเพียง 2 เปอร์เซ็นต์ และ 10 เปอร์เซ็นต์ตามลำดับ ซึ่งแสดงว่ายีนที่สร้างเอนไซม์เมทธิลพาราไโซนไอกोเลสที่ได้อยู่ในกลุ่มของยีนเมทธิลพาราไโซนดีกราเดชั้นซึ่งมีความแตกต่างจากยีนในกลุ่มออร์กานิฟอสเฟตดีกราเดชั้น (เสาวลักษณ์ วงศ์เทียนหลาย, 2547)

## 5. การตรวจวัดการปนเปื้อนของยาฆ่าแมลง

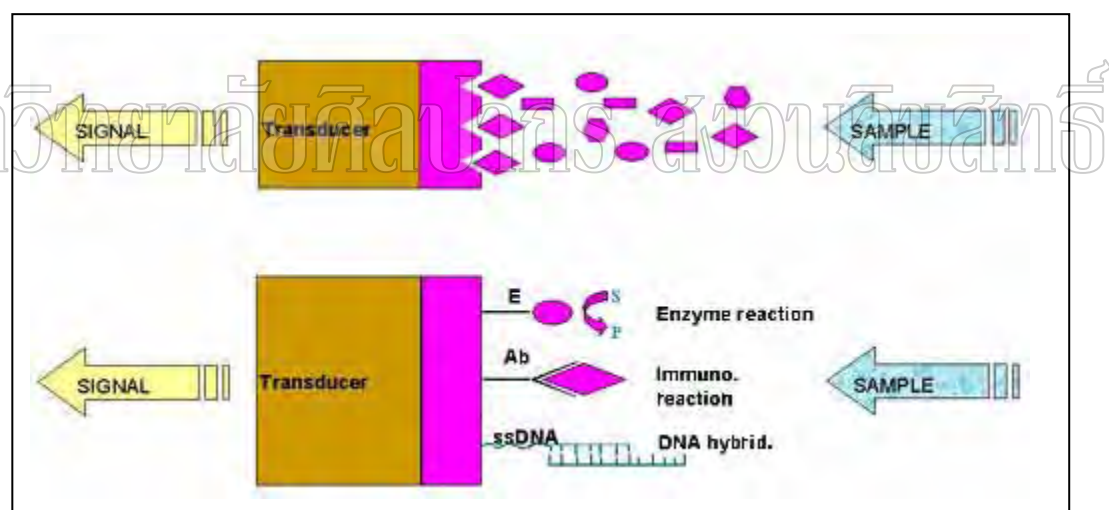
การตรวจวัดปริมาณสารมีจุดมุ่งหมายสำคัญ เพื่อการวิเคราะห์ผลิตภัณฑ์หรือตัวแปรต่างๆ ทั้งในระหว่างกระบวนการผลิตและเมื่อสิ้นสุดกระบวนการ หลักการวัดและรูปแบบมีการพัฒนาไปอย่างรวดเร็ว ไม่ว่าจะเป็นการวัดตัวแปรทางกายภาพ หรือทางเคมี ตัวอย่างการวัดทางกายภาพ เช่น การวัดทางปริมาตร มวล ความหนาแน่น อัตราการไหล การกวณ ความดัน และ อุณหภูมิ เป็นต้น ใน การตรวจวัดตัวแปรทางเคมีอาที่เครื่องมือต่างๆ เช่น ก้าชและ ลิกวิดโครมาโทรกราฟฟี พีเอชมิเตอร์ อิโอนซีเลคทิฟอิเลคโทรดและสเปคโตรไฟโตมิเตอร์ เป็นต้น เครื่องมือวัดเหล่านี้ทำงานได้ดี ทั้งการวัดตัวแปรหรือสารตัวอย่างโดยตรง หรือมีการทำให้ตัวอย่างเปลี่ยนสภาพ ที่ทำให้เครื่องมือวัดหรือเซนเซอร์ตอบสนองได้ตัวอย่างเช่น การหาปริมาณกูโคสมี การทำให้เกิดปฏิกิริยาโดยใช้อ่อนไนซ์เป็นตัวเร่งปฏิกิริยา เกิดสารประกอบเชิงซ้อนที่มีสีวัดปริมาณ ความเข้มของสีด้วยเครื่องมือวัดประเภทไฟโตมิเตอร์ ในการวิเคราะห์ทางเคมีนี้จึงมีขั้นตอน ใช้เวลาในการตรวจวัด สิ้นเปลืองค่าใช้จ่าย และสารตัวอย่างมักถูกทำลาย ผู้ปฏิบัติต้องมีความรู้ความชำนาญสมควร ทั้งการเตรียมตัวอย่าง การวัดและวิเคราะห์ด้วย

การใช้สิ่งมีชีวิตในการวิเคราะห์ปริมาณสาร โดยวิธีที่เรียกว่า biological assay มักใช้เวลานาน เช่น การใช้วิธี ELISA ในการวิเคราะห์หาแอนติเจนหรือแอนติบอดี ปัจจุบันมีการนำสารชีวโมเลกุลหรือสารทางชีวภาพไปติดเข้ากับเครื่องมือทางไฟฟ้า เพื่อใช้ในการหาปริมาณสารตัวอย่างได้ภายในระยะเวลาอันรวดเร็ว เครื่องมือวัดแบบนี้ เรียกว่า ไบโอบิเซอร์ (biosensors) ไบโอบิเซอร์ เป็นเครื่องมือวัดปริมาณแบบใหม่ ที่สามารถนำไปประยุกต์ใช้ในอุตสาหกรรมอาหารและเครื่องดื่ม อุตสาหกรรมการหมัก ทางการแพทย์ สิ่งแวดล้อมและทางทหาร แม้วิธีการใช้ไบโอบิเซอร์ จะมีความรวดเร็ว สะดวก ไม่ต้องการผู้ช่วยในการดำเนินการ มีความจำเพาะเจาะจงสูงและสามารถนำมาใช้ในงานที่ต้องการอ่านผลอย่างต่อเนื่อง ให้ข้อมูลได้ในขณะนั้น (real time) และนำไปใช้ในระบบควบคุมแบบ on-line ได้ แต่การที่จะนำไปโอบิเซอร์เป็นที่ยอมรับมากขึ้น และสามารถแข่งขันในด้านการตลาดได้ วิธีที่ใช้ไบโอบิเซอร์จะต้องง่ายกว่า ใช้เวลาสั้นกว่า และราคาต่อการวัดแต่ละตัวอย่างต้องมากกว่า (สาขาวิชาเทคโนโลยีชีวภาพ, 2535)

### 5.1 ไบโอเชนเซอร์

การวิเคราะห์ปริมาณสาร โดยอาศัยหลักการทำงานของเคมี เป็นการนำสารทางชีวภาพ (biological substances) ที่มีความสามารถในการทำปฏิกิริยาอย่างจำเพาะกับสารตัวอย่างที่ต้องการ การวิเคราะห์ ผลของปฏิกิริยา ก่อให้เกิดการเปลี่ยนแปลงหรือผลิตภัณฑ์ซึ่งอยู่ในภาพของสัญญาณทางเคมีหรือฟิสิกส์ สัญญาณเหล่านี้นำมาใช้เป็นดัชนีบ่งบอกปริมาณสารตัวอย่างได้ โดยการตรวจจับปริมาณของสัญญาณดังกล่าว

จากหลักการข้างต้น จึงมีการนำสารทางชีวภาพมาตั้งค่ากับตัวตรวจจับหรือทรานดิวเซอร์ (transducer) ที่เหมาะสมกับชนิดและสภาพแบบของสัญญาณจากผลของปฏิกิริยา หรือการจับกันระหว่างสารทางชีวภาพกับสารตัวอย่าง ลักษณะของสัญญาณจากปฏิกิริยาอาจเป็น โปรตอน อิเลคตรอน อิออน แก๊ส ความร้อน และแสง เครื่องมือที่อาศัยวิธีการดังกล่าวเรียกว่า ไบโอเชนเซอร์ ภาพที่ 17 แสดงโครงสร้าง และหลักการทำงานของไบโอเชนเซอร์ (สาขาวิชาเทคโนโลยีชีวภาพ, 2535)

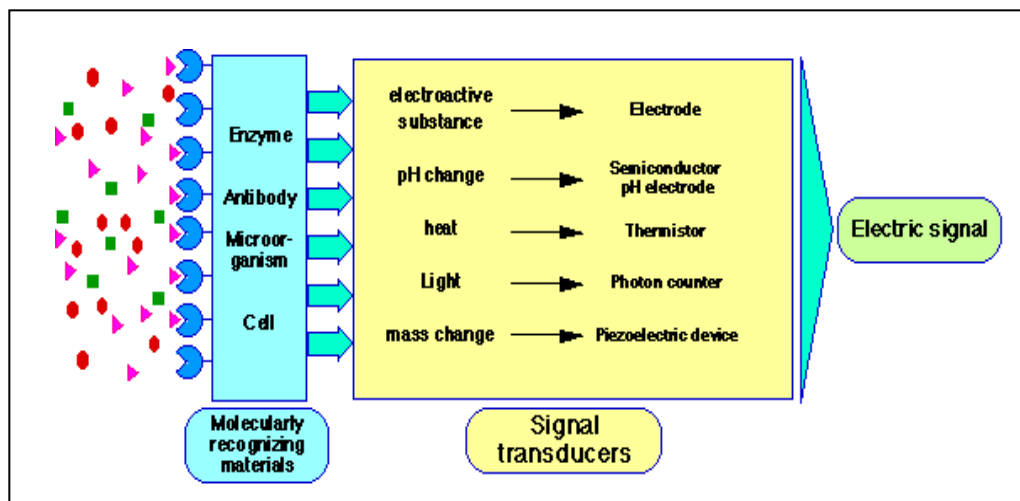


ภาพที่ 17 โครงสร้างและการทำงานของไบโอเชนเซอร์

ที่มา : สาขาวิชาเทคโนโลยีชีวภาพ, 2535

จากภาพ 17 จะเห็นว่าโครงสร้างไบโอเชนเซอร์ แบ่งออกเป็น 2 ส่วนใหญ่ๆ ส่วนแรก คือ ส่วนที่ทำให้เกิดสัญญาณและตรวจจับสัญญาณ ซึ่งประกอบด้วยสารทางชีวภาพที่ติดอยู่กับทรานดิวเซอร์ ส่วนนี้อาจจะเรียกว่า detector หรือ probe อีกส่วนหนึ่งจะเป็นส่วนที่ทำหน้าที่ขยายสัญญาณและอ่านสัญญาณ หรือเรียกว่า read out ภาพที่ 18 แสดงชนิดของสารชีวภาพที่นำมาใช้กับไบโอเชนเซอร์และลักษณะของสัญญาณซึ่งนำมาจากลักษณะของสัญญาณซึ่งนำที่เกิดขึ้นนี้

สามารถนำมาใช้ในการเลือกทราบคิวเซอร์ให้เหมาะสมกับสัญญาณชี้นำที่ต้องการตรวจจับตัวอย่าง เช่น ถ้าสัญญาณที่เกิดขึ้นเป็นความร้อน ก็จะใช้ทราบคิวเซอร์ที่เรียกว่า Thermistor เป็นต้น

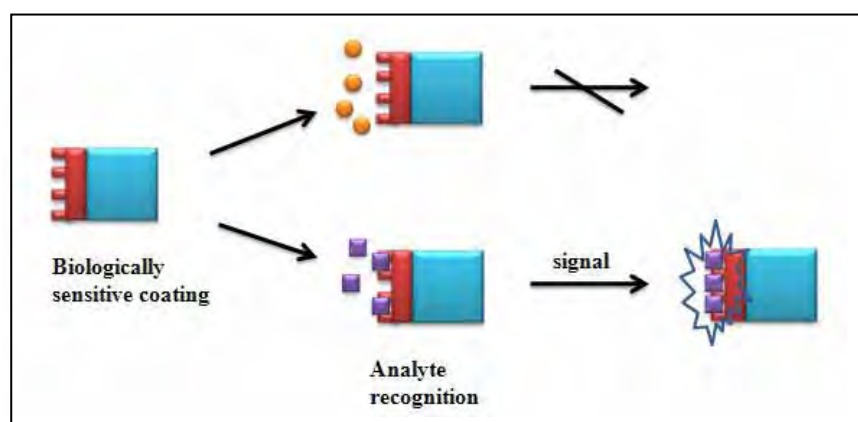


ภาพที่ 18 แสดงชนิดของสารชีวภาพที่นำมาใช้กับใบໂອເໜີນເໜອຮົບແລະ ລັກນະຂອງສັນຍານີ້ນໍາ  
ທຶນາ : ສາຍວິຊາເຫດໂນໂລຢີ່ຈິ່ວກາພ, 2535

## มหาวิทยาลัยศรีปักษ์ สุราษฎร์ฯ

### 5.2 สารทางชีวภาพ

สารทางชีวภาพที่นำมาใช้ในงานใบໂອເໜີນເໜອຮົບຕ้องເປັນວັດຖຸທີ່ມີຄວາມໄວໃນທາງ  
ຈິ່ວກາພ (biologically sensitive element) ทำໜ້າທີ່ຈັບຮູ້ອໍາທຳປຸງກິຈີຍາຍ່າງຈຳເພາະກັບສາດຕ້ວຍກ່າງທີ່  
ຕ้องການວິເຄາະທີ່ໄດ້ເທົ່ານັ້ນ ທຳໄໝເກີດສັນຍານີ້ນໍາ (indicated signal) ທີ່ສາມາດແປງເປັນ  
ສັນຍານໄຟຟ້າໂດຍທານຄົວເໜອຮົບໄດ້ ດັ່ງການ 19



ການที่ 19 ການຈັບກັນຮະຫວ່າງສາດຈິ່ວກາພທີ່ອຟ່ຽນທານຄົວເໜອຮົບ ກັບສາດທີ່ຕ้องການວິເຄາະທີ່ເກີດເປັນ  
ສັນຍານທີ່ຈັບໄດ້ໂດຍທານຄົວເໜອຮົບ

ທຶນາ : ສາຍວິຊາເຫດໂນໂລຢີ່ຈິ່ວກາພ, 2535

มีสารชีวภาพหลายชนิดที่สามารถนำมาใช้สร้างเป็นใบโอเซนเซอร์ได้ ถ้าจะแบ่งชนิดของใบโอเซนเซอร์ได้ ถ้าจะแบ่งชนิดของใบโอเซนเซอร์ ออกตามชนิดของสารทางชีวภาพที่นำมาใช้สามารถแบ่งได้ดังนี้

#### 5.2.1 เอนไซม์ใบโอเซนเซอร์ (Enzyme Biosensor)

ใช้เอนไซม์เป็นสารทางชีวภาพ ทั้งนี้อาจใช้เอนไซม์ชนิดเดียว หรือมากกว่า 1 ชนิด ตัวอย่างเช่น การใช้กลูโคสออกซิเดส (glucose oxidase) ในการปริมาณน้ำตาลกลูโคส การใช้คลอเรสเตอรอล ออกซิเดส (cholesterol oxidase) เพื่อหาปริมาณคลอเรสเตอรอล การใช้ออกซิเดท ออกซิเดส (oxalate oxidase) หาปริมาณ oxalic acid ในปัสสาวะ และการใช้เอนไซม์ penicillinase หาปริมาณเพนนิซิลลิน

ตัวอย่างการใช้เอนไซม์มากกว่า 1 ชนิด ในใบโอเซนเซอร์ เช่น การใช้กลูโคสออกซิเดสร่วมกับ mutarotase และ invertase ในการปริมาณน้ำตาลซูโคส การใช้ glutamate dehydrogenase ร่วมกับ alanine aminotransferase หาปริมาณกลูตามาท เป็นต้น

ในการใช้เอนไซม์เป็นสารชีวภาพนี้ เอนไซม์อาจถูกตรึงอยู่บนกรานดิวเซอร์ ได้แก่ พีเอชอิเลคโทรดหรือออกซิเจโนิเลคโทรด ได้โดยตรง เช่น การตรึงเอนไซม์ penicillinase บนพีเอชอิเลคโทรดที่ทำจากแก้วโดยการเชื่อม (cross-linking) กับกลูตราอลดีไฮด์ (glutaraldehyde) อิกวิธีหนึ่งเอนไซม์อาจถูกตรึงอยู่บน supporting material เช่นแผ่นเมมเบรน (membrane) โดยการดูดซับหรือการเชื่อมแล้วจึงนำแผ่นเมมเบรนนี้ไปเกาะยึดกับกรานดิวเซอร์อีกครั้งหนึ่ง

#### 5.2.2 จุลินทรีย์ใบโอเซนเซอร์ (Microbial Biosensor)

ใช้เซลล์หรือขี้ส่วนของเซลล์จุลินทรีย์เป็นสารชีวภาพ ตัวอย่างเช่น การใช้ *E. coli* หาปริมาณของยาปฏิชีวนะ tetracycline hydrochloride, streptomycin และ neomycin การใช้บีสต์ *Hansenula fanomala* หรือ *Trichosporon cutaneum* เป็นต้น

ปฏิกิริยาที่เกิดขึ้นระหว่างเซลล์จุลินทรีย์กับสารที่ต้องการหาปริมาณ เป็นปฏิกิริยาระหว่างเอนไซม์ในเซลล์จุลินทรีย์กับสารที่ต้องการหาปริมาณนั่นเอง การใช้จุลินทรีย์ทั้งเซลล์อาจมีข้อ ได้เปรียวกว่าการใช้เอนไซม์บริสุทธิ์ที่แยกมาจากเซลล์จุลินทรีย์ ในข้อที่ว่าไม่ต้องเสียเวลาในการแยกและการทำให้บริสุทธิ์ นอกจากนี้เอนไซม์บางชนิดยังต้องการโคแฟกเตอร์ (cofactor) ซึ่งในกรณีของเอนไซม์ที่แยกออกจากเซลล์จุลินทรีย์ ในข้อที่ว่าไม่ต้อง

ได้เปรียบในแง่ของความจำเพาะ

นอกเหนือจากการใช้เซลล์จุลินทรีย์แล้ว เนื้อเยื่อพืชหรือสัตว์ สามารถนำมาใช้เป็นสารทางชีวภาพได้ ตัวอย่างเช่น การใช้เนื้อเยื่อของ yellow squash หาปริมาณกลูตามาท (เอนไซม์ glutamate decarboxylase ใน squash) การใช้ bovine liver ร่วมกับเอนไซม์ urease หาปริมาณ arginine เป็นต้น

### 5.2.3 ไบโอดอกซินเซนเซอร์ (Bioaffinity Sensors)

เป็นการใช้แอนติบอดี (antibody-based biosensors) หรือรีเซปเตอร์ (receptor-based biosensors) เป็นสารทางชีวภาพ bioaffinity sensors แตกต่างจาก enzyme electrode-based biosensors ในแต่ที่ว่าในกรณีของ enzyme biosensor อาศัยหลักการเกิดปฏิกิริยาระหว่างเอนไซม์กับสารที่ต้องการวิเคราะห์ เกิดการเปลี่ยนแปลงของสารที่ต้องการวิเคราะห์ และมีผลิตภัณฑ์เกิดขึ้น ส่วน bioaffinity sensors อาศัยการจับกันระหว่างแอนติบอดีกับแอนติเจน และรีเซปเตอร์กับ ligands (คือ analyte) การจับกันนี้ทำให้เกิดการเปลี่ยนแปลงในมวลหรือความถี่ที่สามารถตรวจจับโดยทราบดิจิทัลได้

สารทางชีวภาพที่ใช้เป็นรีเซปเตอร์เป็นโปรตีนหรือสารประกอบของโปรตีน ไขมัน และคาร์โบไฮเดรต ที่จะทำปฏิกิริยาอย่างจำเพาะเจาะจงกับ ligand ของมัน ส่วน ligand ในที่นี้เป็นได้ทั้งสารไม่เกลุกขนาดเล็ก เช่น กรดอะมิโน สเตอโรอยด์ หรือพากสาร ไม่เกลุกขนาดใหญ่ เช่น เปปไทด์ และโปรตีน หรือไวนิล หรือเซลล์จุลินทรีย์ ตัวอย่างของรีเซปเตอร์ เช่น acetylcholine receptor ที่จับกับ acetylcholine (ligand)

(สาขาวิชาเทคโนโลยีชีวภาพ, 2535)

## 5.3 ทรานดิจิทัล

ทรานดิจิทัลเป็นส่วนสำคัญที่ทำหน้าที่แปลงสัญญาณชิ้นนำที่เกิดจากปฏิกิริยาหรือการจับกันระหว่างสารชีวภาพกับสารที่ต้องการวิเคราะห์ (analyte) ให้เป็นสัญญาณทางไฟฟ้า ทรานดิจิทัลต้องมีความจำเพาะ หรือสามารถคัดเลือกชนิดของสัญญาณชิ้นนำได้ดี และมีความไว รวมถึงสามารถตอบสนองได้ในช่วงปริมาณของสัญญาณชิ้นนำที่เกิดขึ้น ได้อย่างเหมาะสม ชนิดของทรานดิจิทัลที่นิยมนำมาสร้างเป็นไบโอดอกซินเซนเซอร์มีดังนี้

### 5.3.1 โพเทนชิโอมetriคไบโอดอกซินเซนเซอร์ (Potentiometric Biosensor)

ทรานส์ดิจิทัลแบบโพเทนชิโอมetriค ทำงานภายใต้สภาวะสมดุล โดยวัดความหนาแน่นของประจุที่ใช้เป็นสัญญาณชิ้นนำที่สะท้อนผิวหน้าอิเลคโทรด จึงต้องมีกระบวนการคัดเลือกเฉพาะอิออนหรือแก๊สที่ต้องการวัด ทรานดิจิทัลที่รู้จักกันดีและนำมาใช้งานคือไบโอดอกซินเซนเซอร์คืออิออนอิเลคโทรด (Ion selection electrode; ISE) ซึ่งเป็นอิเลคโทรดที่ไวและคัดเลือกหรือเฉพาะจาะจงเฉพาะอิออนเท่านั้น โดยมีเยื่อแผ่นทำหน้าที่ในการคัดเลือกเฉพาะสารชิ้นนำชนิด

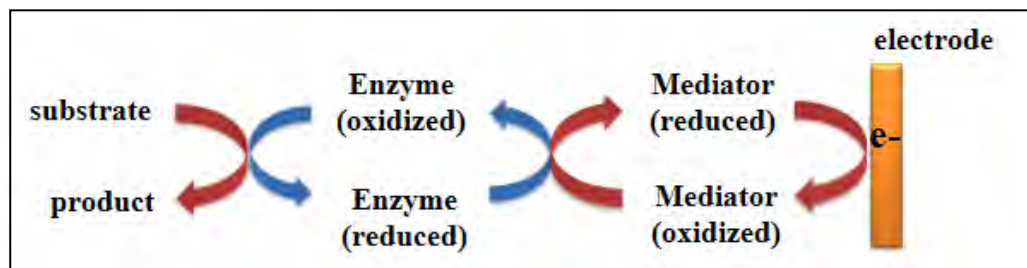
หนึ่งๆ เท่านั้น เช่น พีอิอิเลคโทรดมีชิ้นเยื่อที่เป็นเยื่อแก้ว (glass membrane) คัดเลือกเฉพาะ โปรตอน ( $H^+$ ) ประจุของอิออนมีผลต่อการเปลี่ยนแปลงศักย์ไฟฟ้าที่เกิดขึ้นที่อิเลคโทรดใช้งาน เมื่อเปรียบเทียบอิเลคโทรดอ้างอิง โดยที่ศักย์ไฟฟ้าสัมพันธ์กับความเข้มข้นของอิออนในสภาพ สมดุลที่เป็นไปตามความสัมพันธ์ของเนินสต์ (Nernst)

ปัจจุบันมีอิออนอิเลคโทรดที่วัดปริมาณอิออนได้หลายชนิด ซึ่งเป็นผลมา จากการพัฒนาชิ้นเยื่อที่จะคัดเลือกอิออนชนิดต่างๆ ตัวอย่างของอิออนที่ใช้วัดได้ เช่น  $Na^+$ ,  $K^+$ ,  $Ca^{2+}$ ,  $Li^+$ ,  $NH^+$  รวมทั้งอิออนลบ (anion) ต่างๆ ทำให้สามารถนำอิออนอิเลคโทรดไปใช้ในงานทางด้าน ไบโอดิเซอร์ได้กว้างยิ่งขึ้น นอกจากอิออนอิเลคโทรดแล้วยังมีแก๊สอิเลคโทรด (gas selection electrode; GSE) ที่อาศัยหลักการเดียวกัน โดยใช้ชิ้นเนื้อเยื่อที่สามารถคัดเลือกแก๊สที่ต้องการ เช่น ไออกไซด์คาร์บอน ไออกโซไฮด์ และแอมโมเนียม เป็นต้น

สารทางชีวภาพที่ทำปฏิกิริยากับสารตัวอย่าง และทำให้เกิดอิออนหรือแก๊ส เป็นเอนไซม์ในกลุ่ม dehydrogenase, decarboxylase ตัวอย่างเช่น เซนเซอร์ที่ใช้วัดกลูตามาท เป็นการตรึงเอนไซม์ glutamate decarboxylase กับ  $CO_2$  gas sensor (วัด  $CO_2$ ) หรือตรึง glutamate decarboxylase กับ  $NH_3$  gas sensor (วัด  $NH_3$  ภายใต้สภาพที่เหมาะสม) ในปฏิกิริยาที่มีการ เปลี่ยนแปลงของพีอิอิ สามารถใช้ไประตอนเป็นสัญญาณชี้นำโดยใช้พีอิอิเลคโทรด ไประตอนเป็น ทรานดิวเซอร์

### 5.3.2 แอมเพอโรเมต릭ไปโอดิเซอร์ (Amperometric Biosensor)

แอมเพอโรเมต릭ไปโอดิเซอร์อาศัยกระแสอิเลคตรอนที่เกิดขึ้นเป็น สัญญาณชี้นำ โดยการวัดในสภาพองค์ประกอบและไฟฟ้า แหล่งที่มาของกระแสไฟฟ้าเป็นผลมาจากการ ถ่ายทอดอิเลคตรอนจากสารตัวอย่างเข้าสู่อิเลคโทรด การถ่ายทอดอิเลคตรอนเกิดจากพลดองปฏิกิริยา ออกซิเดชัน-รีดักชัน โดยการเร่งปฏิกิริยาของเอนไซม์ที่อยู่ในสภาพออกซิไดซ์ เมื่อเอนไซม์ถูก ถ่ายทอด ไปอยู่ในรูปรีดิวเซอร์ซึ่งต้องมีการถ่ายทอดอิเลคตรอนต่อไปอีกเพื่อให้เอนไซม์กลับไปอยู่ใน สภาพออกซิไดซ์ตามเดิม หรือกล่าวอีกนัยหนึ่งคือการเกิดปฏิกิริยาออกซิเดชันในสภาพรีดิวเซอร์อีก ครั้งหนึ่ง ซึ่งโดยทั่วไปทำได้ 2 รูปแบบคือ การออกซิไดซ์โดยใช้ศักย์ไฟฟ้าโดยตรงในขนาดที่ เหมาะสมผ่านข้ออิเลคโทรดหรือการออกซิไดส์สารตัวกลาง (mediator) ที่ทำหน้าที่รับ อิเลคตรอนจากเอนไซม์ในสภาพรีดิวเซอร์ให้เอนไซม์กลับสู่สภาพออกซิไดส์ ส่วนสารตัวกลางก็จะ ถูกออกซิเดชัน และเมื่อป้อนศักย์ไฟฟ้าขนาดที่เหมาะสมผ่านเข้าข้ออิเลคโทรดใช้งาน เมื่อเทียบ กับข้ออิเลคโทรดอ้างอิง สารตัวกลางในสภาพรีดิวเซอร์จะถูกออกซิไดซ์ เกิดการถ่ายทอดกระแส อิเลคตรอนเข้าสู่อิเลคโทรด ดังภาพที่ 20 ขนาดของกระแสไฟฟ้าที่เกิดขึ้นจะสัมพันธ์กับปริมาณของ สารตัวอย่าง



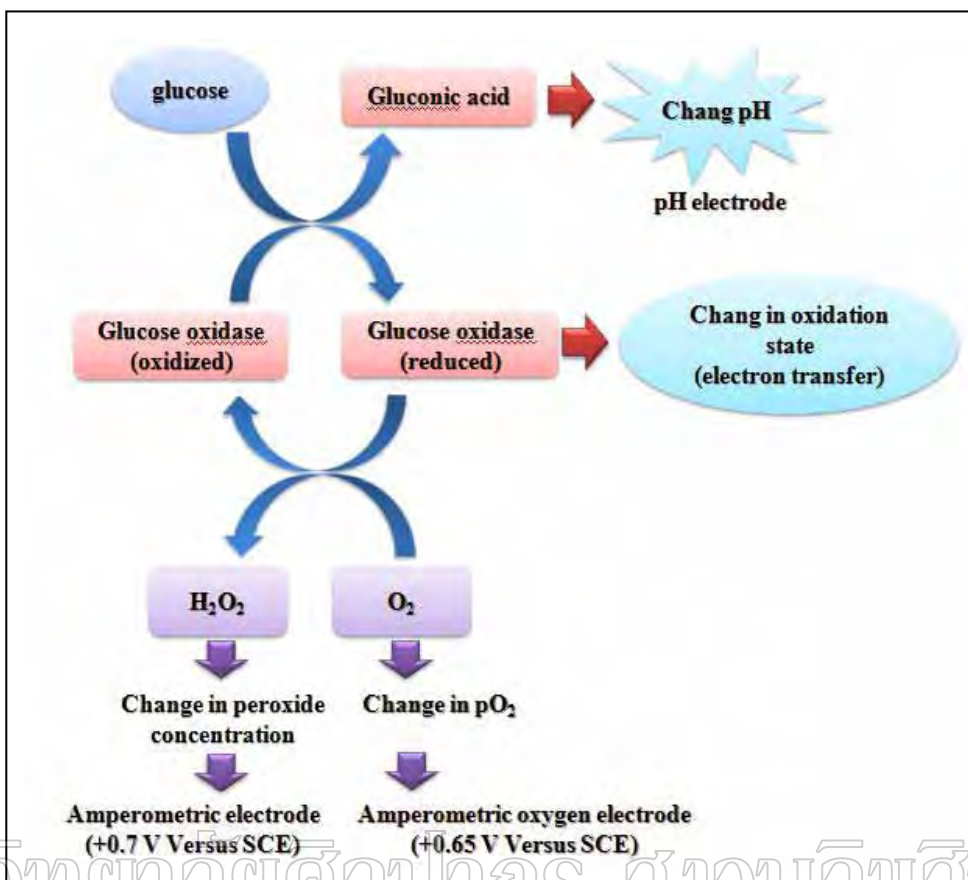
ภาพที่ 20 ลำดับขั้นตอนของการส่งผ่านอิเลคตรอนจากชั้บสเตรทเข้าสู่อิเลคโทรดโดยการทำปฏิกิริยาทางเอนไซม์ และสารตัวกลาง  
ที่มา : สาขาวิชาเทคโนโลยีชีวภาพ, 2535

สารทางชีวภาพที่นิยมใช้กับแอมเพอโรเมตريในโอเชนเซอร์ เป็นเอนไซม์ในกลุ่มเฟลโวเอนไซม์ (flavor-enzyme) ที่ทำหน้าที่เร่งปฏิกิริยาออกซิเดชัน-รีดักชัน ด้วยการใช้แอมเพอโรเมตريในโอเชนเซอร์ เช่น การใช้หาปริมาณกลูโคส โดยมีกลูโคสออกซิเดส (glucose oxidase, GOD) เป็นสารชีวภาพที่สามารถเร่งปฏิกิริยาดังสมการ



**มหาวิทยาลัยศรีนครินทร์**  
ปริมาณความเข้มข้นของกลูโคสจะสัมพันธ์กับกระแสที่เกิดขึ้น โดยกระแสที่เกิดขึ้นเป็นผลจากการเกิดปฏิกิริยาออกซิเดชันอีกครั้ง (reoxidation) ของไออกไซด์ที่แพลงตินัมอิเลคโทรด เมื่ออิเลคโทรคนี้ถูกดึงหักยีไฟฟ้านี้เป็น +700 มิลลิโวลต์ เทียบกับอิเลคโทรดซัลฟัมแบนบากาโลเมลลัมตัว (saturated calomel electrode)

นอกเหนือจากการวัดปริมาณไออกไซด์外還原電位 (redox potential) ที่เกิดขึ้น การหาปริมาณกลูโคสโดยการใช้กลูโคสออกซิเดสอาจวัดการเปลี่ยนแปลงพีเอช (พีเอชอิเลคโทรด) หรือการเปลี่ยนแปลงปริมาณออกซิเจน (ออกซิเจโนิเลคโทรด) ดังแสดงในภาพที่ 21



## มหาวิทยาลัยทักษิณ สงวนลิขสิทธิ์

ภาพที่ 21 ออกแบบชั้นของกลูโคสโดยกลูโคสออกซิเดส โดยแสดงสัญญาณชีน้ำต่างๆ ที่สามารถตรวจจับได้เพื่อใช้หาปริมาณกลูโคส

ที่มา : สาขาวิชาเทคโนโลยีชีวภาพ, 2535

การหาปริมาณกลูโคสโดยใช้ออกซิเจนที่เป็นตัวรับอิเลคตรอนตามธรรมชาติเป็นสารตัวกลางไม่ค่อยดีนัก เพราะมีผลกระบวนการต่อออกซิเจนในสารละลายที่ใช้เป็นตัวทำปฏิกิริยา กับกลูโคสด้วย ในการศึกษาต่อมาจึงใช้สารรีดออกซ์พวกลินทรีย์ อนินทรีย์ และօอแกโนเมตัลลิก (organometallic) เป็นสารตัวกลางแทนสารเหล่านี้ถูกรีดวิช์ได้เร็วกว่าปฏิกิริยา รีดกัชั้นของออกซิเจน และหลายชนิดมีความสามารถในการละลายในตัวกลางที่เป็นน้ำได้ต่ำ ทำให้นำมาตรึงกับอิเลคโทรดได้ ตัวอย่างสารสารตัวกลางนี้ ได้แก่ เบนโซควิโนน (benzoquinone) โพลีไวโอลอเจน (polyviologen) คลอรานิน (chloranil) เมทไชลีนบลู (methylene blue) และสารอนุพันธ์เฟอร์โรเซน (ferrocene derivatives)

ไม่ว่าจะเป็นออกซิเจนหรือสารตัวกลางตัวอื่นๆ อิเลคโทรดที่ใช้เป็นทองหรือกราไฟท์ (graphite) หรือแพรตตินัม ต่อมามีการพัฒนาใช้สารพวกลีอินทรีย์ (organic salt)

เป็นอิเลคโทรด โดยไม่ต้องมีการใช้สารตัวกลาง ทำให้มีการตอบสนองได้เร็ว มีความคงตัวสูง โดยพบว่าเมื่อใช้งานติดต่อเป็นเวลานานหนึ่งเดือนมีการสูญเสียความไว (sensitivity) น้อยมาก

ได้มีการนำเอนไซม์ในกลุ่ม oxidase มาวิเคราะห์ปริมาณสารตัวอย่าง ในอุตสาหกรรมอาหารหลายชนิด เช่น lactate oxidase และ galactose oxidase ในการวัดปริมาณ lactate และ galactose ตามลำดับ ในอุตสาหกรรมนมและผลิตภัณฑ์ มีการสร้าง hypoxanthine sensor โดยใช้ xanthine oxidase ซึ่ง hypoxanthine นี้ใช้เป็นดัชนีในการบอกความสุดของเนื้อปลา

นอกจากกลุ่ม oxidase แล้ว dehydrogenase ก็เป็นเอนไซม์อีกกลุ่มนึงที่นำมาใช้กันแemen เพอ โรเมตริก เอนไซม์อิเลคโทรด ได้โดยการเลือกสรรสารตัวกลางที่เหมาะสมในการส่งผ่านอิเลคตรอนจาก NAD ( $H^+$ ) ตัวอย่างของเอนไซม์ในกลุ่มนี้ เช่น lactate dehydrogenase, glutamate dehydrogenase, alcohol dehydrogenase และ malate dehydrogenase เป็นต้น

### 5.3.3 -opticool ใบโอดิเซนเซอร์ (Optical Biosensor)

ในทศวรรษนี้เทคโนโลยีด้านอปติกส์ (optics) และอปโตอิเลคโทรนิกส์ (optoelectronics) มีความก้าวหน้าไปมาก เทคโนโลยีเหล่านี้มีข้อดีหลายประการทั้งทางด้านความปลดภัย มีการรับกรุณากลุ่มภายนอกน้อยมาก ตลอดจนเครื่องมือมีขนาดเล็ก และน้ำหนักเบา ไม่ราคาถูก จึงได้มีการนำมาใช้งานด้านวิทยาศาสตร์ชีวภาพอย่างกว้างขวาง โดยอาศัยคุณสมบัติทางแสง คือ การดูดกลืนแสง (absorption) การผ่านของแสง (transmission) การสะท้อน (reflection) และการเรืองแสง (fluorescence)

ตัวอย่างของเครื่องมือที่ใช้เทคโนโลยีทางด้านอปโตอิเลคโทรนิกส์ เช่น pH sensitive dye ซึ่งเป็นเครื่องมือวัดพีเอชที่มีหัววัดที่เป็นอปติกไฟเบอร์ (optic fiber) เมื่อมีการเปลี่ยนแปลงของพีเอชขึ้น สารเหล่านี้จะเกิดการเปลี่ยนแปลงสีทำให้คุณสมบัติทางแสงจากแหล่งกำเนิดแสงเปลี่ยนไป สามารถตรวจจับได้โดยตัวตรวจจับ (detector) ซึ่งจะนำไปหาค่าพีเอชต่อไป นอกจาก pH sensitive dye ก็มีเครื่องมือที่ใช้ในการทำปริมาณแก๊สพิษ แก๊สคาร์บอนไดออกไซด์ แก๊สออกซิเจน และอิออนโลหะหนัก

อปติกไฟเบอร์มีหลายชนิดด้วยกันขึ้นอยู่กับราคา และคุณสมบัติในการสร้างเป็นเซนเซอร์ เช่น ถ้าใช้พลาสติกจะมีราคาถูกที่สุด และปลดภัยที่สุด แต่ก็มีข้อจำกัดที่ต้องทำการวัดความยาวคลื่นที่มากกว่า 450 นาโนเมตร ถ้าใช้พลาสติกจะมีราคาแพง แต่เหมาะสมกับการวัดที่ความยาวคลื่นได้ลงมาถึง 380 นาโนเมตร ในการสร้างเป็นเซนเซอร์จากอปติกไฟเบอร์มักใช้ขนาดเส้นผ่านศูนย์กลาง 50 ถึง 200 ไมครอน ตัวอย่างของอปติกอลain โอดิเซนเซอร์ที่ใช้ในอุตสาหกรรม เช่นเซนเซอร์สำหรับวิเคราะห์การปนเปื้อนของแบคทีเรียในเนื้อสัตว์ โดยใช้หลักการที่ว่าแบคทีเรียที่มีชีวิตมีการสร้าง ATP จึงมีการสร้าง ATP sensor โดยใช้เอนไซม์ luciferase ตระหง่านที่ผิวหน้าท่อน้ำแสงหรืออปติกไฟเบอร์ ผลของปฏิกิริยาจะมีแสงเกิดขึ้น โดยสามารถวัดปริมาณแสงที่เกิดขึ้น

ด้วยเครื่อง photodetection ตัวอย่างอีกตัวอย่างหนึ่งคือการหาปริมาณของแอลกอโตส ในกรณีนี้สารชีวภาพที่ใช้คือ lipid bilayer ที่มาจากการหาน้ำใน cytoplasmic membrane ของ *E. coli* สิ่งที่ทำปฏิกิริยากับแอลกอโตส คือ เอนไซม์  $H^+$  : lactose cotransporter lactose permease โดยเอนไซม์ดังกล่าวจะนำ lactose/ $H^+$  ผ่านเข้า cell membrane ทำให้เกิดการเปลี่ยนแปลงของพีโอดชีน pyranine ปริมาณสารเรืองแสงที่เกิดขึ้น ขึ้นอยู่กับปริมาณของแอลกอโตสโดยสามารถหาปริมาณของแอลกอโตสได้ในช่วง 100 ไมโครโมลาร์ถึง 100 มิลลิโมลาร์

เซนเซอร์ที่ใช้เอนไซม์ dehydrogenase จะมี NAD ( $P^+$ ) เป็นโคแฟกเตอร์ ผลจากปฏิกิริยาจะผลิตสาร NAD(P)H ขึ้น โดยที่ NAD(P)H สามารถปลดปล่อยแสง fluorescence ที่ความยาวคลื่น 460 นาโนเมตร ซึ่งสามารถตรวจวัดโดยอาศัยคุณสมบัติทางแสง ได้เช่นกัน

#### 5.3.4 "ไฟโซอิเลคทริกริสตัลไบโอดเซนเซอร์" (Piezoelectric Crystal Biosensor)

"ไฟโซอิเลคทริกริสตัล" ทำงานโดยอาศัยคุณสมบัติที่เป็น piezoelectricity ของพลีก กล่าวคือเมื่อมีแรงกลมกระทำต่อพลีก จะทำให้เกิด electric dipoles เป็นผลให้เกิดความแตกต่างของศักย์ หรือ dipole moment ขึ้น ผลสุดท้ายที่เกิดขึ้นคือ การสั่น (oscillate) ทำให้เกิดความถี่ที่ตรวจจับได้โดย frequency counter ตัวอย่างของพลีกที่เป็น piezoelectricity เช่น ควอทซ์ ทัวร์มายลิน (tourmaline) โรเชลล์โซลต์ (rochelle salt) และโพลีเมอร์บางชนิด

เมื่อนำสารชีวภาพ ที่มีความจำเพาะกับสารตัวอย่างที่ต้องการวิเคราะห์ มาเคลือบบนผิวน้ำของไฟโซอิเลคทริกริสตัล เมื่อเกิดปฏิกิริยาระหว่างสารชีวภาพกับสารตัวอย่าง จะเกิดผลิตภัณฑ์หรือเกิดการเปลี่ยนแปลงมวล (จากการจับกันระหว่างสารชีวภาพกับสารตัวอย่าง บนผิวน้ำของพลีก) ทำให้ค่าความถี่เปลี่ยนแปลงไป จากหลักการนี้จึงนำเอาไฟโซอิเลคทริกริสตัลมาสร้างไบโอดเซนเซอร์ สำหรับวิเคราะห์ปริมาณสาร ได้ ไบโอดเซนเซอร์แบบนี้ มีข้อดีอยู่หลายประการ คือ

- ราคาไม่แพง เมื่อเทียบกับตัววัด หรือทรานซิสเตอร์อื่นๆ
- ขนาดกระทัดรัด นำไปใช้งานในภาคสนามได้
- มีความไวและความจำเพาะสูง วิเคราะห์สาร ได้ในระดับ ppb
- ใช้เวลาวิเคราะห์สั้น

สารชีวภาพที่ใช้เคลือบพลีกเพื่อหาปริมาณยาฆ่าแมลง ชอร์โนน ยาปฏิชีวนะ ตกค้าง หรือสารพิษ มีเอนไซม์ แอนติบอดี้ โปรตีนรีเซปเตอร์ ตัวอย่างเช่น การเคลือบเอนไซม์ acetylcholinesterase เพื่อหาปริมาณของยาปราบศัตรูพืชประเภทสารออร์กานิฟอสเฟต เมื่อมีสารออร์กานิฟอสเฟตเอนไซม์ทำปฏิกิริยากับเอนไซม์ acetylchlorine ให้ค่าความถี่หนึ่ง แต่เมื่อมีสารออร์กานิฟอสเฟตอยู่ เอนไซม์จะจับกับสารออร์กานิฟอสเฟตได้สารประกอบ phospharyl ทำ

ให้เอนไซม์ไม่สามารถไปทำปฏิกิริยากับ acetylcholine ได้ค่าความเปลี่ยนแปลงไป ตัวอย่างอีกตัวอย่างหนึ่ง เป็นการเคลื่อนแอนติบอดีต่อพาราไนโตรบันโนเฟลิก เพื่อวิเคราะห์ปริมาณพาราไนโตรบันโนเฟลิก 40-60 วินาที และสามารถนำมาใช้วัดตัวอย่างใหม่ได้ ภายใน 5-10 นาที มีอายุการใช้งาน 18 วัน

### 5.3.5 ใบโอเซนเซอร์ที่อาศัยการวัดแบบอื่นๆ

ในการพิจารณาเลือกชนิดของทรานส์ดิวเซอร์ที่มาใช้กับใบโอตะลิสต์ ต้องดูชนิดของผลิตภัณฑ์หรือการเปลี่ยนแปลงที่เกิดขึ้นจากปฏิกิริยาระหว่างสารชีวภาพที่เป็นใบโอตะลิสต์กับสารที่ต้องการวิเคราะห์ นอกจากนี้จากอิทธิพลของตัวอย่าง แก๊ส อิเลคโทรนหรือคุณสมบัติทางแสงที่สามารถตรวจสอบโดยทรานส์ดิวเซอร์แบบต่างๆ ที่กล่าวมาแล้วข้างต้น การเปลี่ยนแปลงที่เกิดขึ้นอาจเป็นการเปลี่ยนแปลงทางฟิสิกส์ เช่น ความร้อนที่เกิดจากปฏิกิริยาชีวเคมี ในกรณีดังกล่าวทรานส์ดิวเซอร์ที่ใช้จะเป็นเทอร์มิสเตอร์ (thermistor) ซึ่งใช้การเปลี่ยนแปลงของอุณหภูมิหรือความร้อนเป็นตัววัดถึงปริมาณของสารที่ต้องการวิเคราะห์ ใบโอเซนเซอร์ที่ใช้เทอร์มิสเตอร์นี้ มีทั้งที่ใช้เอนไซม์เป็นสารชีวภาพ (enzyme thermistor) กับที่ใช้เซลล์จุลินทรีย์เป็นสารชีวภาพ (microbe thermistor)

สารหล่ายนิดเมื่ออ้อยในสภาพปักติดมีส่วนประกอบนำไฟฟ้าเป็นกลิตาจ เมื่อเกิดปฏิกิริยาจะทำให้ผลิตภัณฑ์เป็นตัวนำไฟฟ้า เช่น ญูเรียมีอน้ำญูเรียมีไบท์เรียก็จะเปลี่ยนเป็นตัววัดถึงปริมาณของสารที่ต้องการวิเคราะห์ ใบโอเซนเซอร์ที่ใช้เทอร์มิสเตอร์นี้ มีทั้งที่ใช้เอนไซม์เป็นสารชีวภาพ (enzyme thermistor) กับที่ใช้เซลล์จุลินทรีย์เป็นสารชีวภาพ (microbe thermistor)

(สาขาวิชาเทคโนโลยีชีวภาพ, 2535)

### 5.4 ใบโอเซนเซอร์กับการประยุกต์ใช้

ปัจจุบัน ใบโอเซนเซอร์เป็นงานวิจัยขั้นนำในด้านการวิจัยเทคโนโลยีชีวภาพ ใบโอเซนเซอร์ จนถึงขณะนี้มีการวิจัยพัฒนาใบโอเซนเซอร์ที่สามารถใช้วัดสารต่างๆ ได้มากกว่า 100 ชนิด ไม่ว่าจะเป็นกรดอะมิโน แก๊ส amines และออกอโซล์ ตลอดจนสารอนินทรีย์ ในภาพของอิทธิพล

จากการที่ใบโอเซนเซอร์สามารถใช้ในการหาปริมาณของสารต่างๆ ได้อย่างมากมาย จึงมีศักยภาพสูงที่จะนำไปประยุกต์ใช้ในงานด้านต่างๆ ดังที่ได้กล่าวมาในตอนต้นๆ แสดงให้เห็นการประยุกต์ใช้ใบโอเซนเซอร์ในงานด้านการแพทย์ การทหาร และทางด้านเทคโนโลยีการหมัก เพื่อการติดตามผลและควบคุมกระบวนการ รายละเอียดของการวิจัยและพัฒนาใบโอเซนเซอร์เพื่อการประยุกต์ใช้ในขอบข่ายงานด้านต่างๆ ดังนี้

#### 5.4.1 ทางด้านการแพทย์และตรวจวินิจฉัยโรค

งานวิจัยและพัฒนาไปโอเซนเซอร์ส่วนใหญ่จะเน้นเพื่อใช้งานในทางการแพทย์และการวินิจฉัยโรค เนื่องจากขอบข่ายทางด้านนี้มีศักยภาพมากที่สุด และเป็นตลาดที่ใหญ่ที่สุดของของการวิจัยและพัฒนาไปโอเซนเซอร์ อีกทั้งจะเป็นที่ต้องการมากยิ่งขึ้นในอนาคต เอนไซม์ไปโอเซนเซอร์ถูกนำมาประยุกต์ใช้ในทางการแพทย์เป็นส่วนมาก และพัฒนาออกแบบสู่ตลาด การค้าเพื่อใช้ในการตรวจวินิจฉัยทางชีวภาพที่มีความสำคัญในด้านการแพทย์ เช่น ไปโอเซนเซอร์สำหรับการวัดปริมาณน้ำตาลกลูโคสในเลือดของสิ่งมีชีวิต (*in vivo measurement*) ที่สามารถติดตามระดับน้ำตาลในเลือดอย่างต่อเนื่องให้ข้อมูลอย่าง real time ซึ่งทราบผลการวัดได้ทันทีในกรณีที่แพทย์ต้องการวินิจฉัยโรคและต้องการตัดสินใจอย่างรวดเร็วโดยไม่ต้องเจาะเลือดผู้ป่วย นอกจากนี้ไปโอเซนเซอร์แล้ว แอนติบอดีไปโอเซนเซอร์หรือที่เรียกว่าอินมูโนเซนเซอร์ ก็มีการนำมาใช้ในการวินิจฉัยโรคทางการแพทย์ เช่นกัน เช่น การตรวจวัดสารก่อมะเร็ง สัญญาณแรกในการบ่งบอกโรคมะเร็ง คือ การถูกทำลายของดีเอ็นเอ ดังนั้นมีสารก่อมะเร็งเข้าสู่ร่างกาย มันจะทำปฏิกิริยากับดีเอ็นเอ ทำให้ดีเอ็นเอส่วนนี้เกิดการเสียหายหรือถูกทำลายไป ถ้าหากร่างกายไม่สามารถซ่อมแซมส่วนนี้ได้ เชลล์ที่เกิดการเปลี่ยนแปลงเหล่านี้อาจเกิดการเพิ่มจำนวนที่ระบบการป้องกันตามธรรมชาติของร่างกายไม่อาจควบคุมได้ ในที่สุดก็จะกลายเป็นเนื้อร้ายหรือเซลล์มะเร็ง ไปโอเซนเซอร์ที่อาศัยแอนติบอดีเป็นสารชีวภาพสามารถพัฒนาในลักษณะที่เป็นชิพ (chip) ซึ่งสามารถใช้ทำการตรวจสอบส่วนของดีเอ็นเอที่ถูกทำลายได้อย่างง่ายดาย โดยการจุ่มชิพ (ที่มีสารแอนติบอดีตระบบผิวน้ำหน้า) ลงในน้ำปัสสาวะของผู้ป่วย โปรตีนซึ่งเป็นองค์ประกอบของสารแอนติบอดีจะทำหน้าที่เสริม่อนเป็นระบบภูมิคุ้มกันของร่างกายในการจับกับสารแปลงปลอมอย่างจำเพาะ ส่วนของดีเอ็นเอที่จับกับแอนติบอดีนี้จะเกิดการเรืองแสงเมื่อนำไปสแกนด้วยเลเซอร์ ข้อมูลที่ได้จากการสแกนจะบ่งบอกหรือประเมินได้ถึงอันตรายที่เกิดจากมะเร็ง นอกจากนี้จากการวัดปริมาณสารส่งสัญญาณทางระบบประสาಥอร์โมนและสารเมตาบอลิคที่อื่นๆ ซึ่งมีความสำคัญในร่างกายของสิ่งมีชีวิตที่สามารถตรวจวัดหรือติดตามผลได้ เช่นเดียวกัน

#### 5.4.2 ทางด้านอุตสาหกรรม

อุตสาหกรรมด้านอาหารหรืออุตสาหกรรมการหมัก จะมีความต้องการระบบตรวจวัดและควบคุมอย่างต่อเนื่องเพื่อติดตามข้อมูลที่ได้อย่างทันท่วงทีในระหว่างการผลิตรวมทั้งควบคุมกระบวนการให้ดำเนินไปในทิศทางที่ต้องการเพื่อให้ได้ผลิตภัณฑ์ที่มีคุณภาพ การตรวจวัดทางด้านอุตสาหกรรมอาหาร เช่น การวัดสารบินเปื้อน สารพิษ สารปruz แต่งในอาหาร เป็นต้น ในปัจจุบันสามารถพัฒนาไปโอเซนเซอร์สำหรับการตรวจวัดการบินเปื้อนในอาหารที่นำมาใช้งานในภาคสนามได้ ซึ่งสามารถตรวจวัดความเข้มข้นของจุลินทรีย์ที่ทำให้เกิดโรคได้

หลายๆ สปีชีส์พร้อมกันในเวลาเดียวกัน ได้ (จุลินทรีย์ที่ทำให้เกิดโรคที่แตกต่างกัน 12 สปีชีส์) ภายในเวลาอีกกว่า 1-2 ชั่วโมง (การตรวจด้วยวิธีทั่วๆ ไปใช้เวลาอย่างน้อย 48 ชั่วโมงหรือมากกว่า) และจากรายงานการวิจัยในปัจจุบันพบว่าการประยุกต์ใช้ใบโอลเซนเซอร์ในการตรวจดูจุลินทรีย์ที่ทำให้เกิดโรคในอาหารจำพวกเนื้อให้ความไวในการวัดถึง 100 เซลล์ต่อมิลลิลิตร ในระดับเวลาเป็นนาที (การตรวจวัดด้วยวิธีทั่วๆ ไปในห้องทดลองให้ความไวในการตรวจเพียง 5000 เซลล์ต่อมิลลิตร ภายในเวลา 8-24 ชั่วโมง) นอกจากนี้สำหรับการตรวจวัดในอุตสาหกรรมทางด้านอาหาร เช่น ใบโอลเซนเซอร์สำหรับตรวจความสดของเนื้อ ใบโอลเซนเซอร์สำหรับวัดปริมาณแคลคเทฟในการควบคุมคุณภาพของไวน์และโยเกิร์ต เป็นต้น ในด้านอุตสาหกรรมการหมัก เช่น ตรวจการคงนิโน เพนนิซิลิน หรือใช้ใบโอลเซนเซอร์ในการควบคุมปริมาณเนื้อตาลูกโครสในการผลิตน้ำเชื่อม ควบคุมปริมาณของเอทานอลในเครื่องดื่มแอลกอฮอล์ เป็นต้น

#### 5.4.3 ทางด้านสิ่งแวดล้อม

การพัฒนาใบโอลเซนเซอร์ทางด้านนี้ในทางการค้าจะเป็นการพัฒนาสำหรับการวัดในภาคสนามซึ่งต้องการใบโอลเซนเซอร์ที่สามารถเคลื่อนย้ายได้ อีกทั้งมีความทนทานต่อสภาพของการวัด ได้ดี ในปัจจุบันจะมีการพัฒนาเป็นใบโอลเซนเซอร์ขนาดเล็กที่สามารถวัดแบบออนไลน์ (on-line) ได้ด้วย เช่น การตรวจวัดปริมาณของไนโตรฟายน์ไตรท์ในแอคทิเวตเต็ดสลัดเจ (activated sludge) โดยมีการตรวจเชลล์ของแบคทีเรียไว้ภายในหัววัดแล้วปิดผิวน้ำของหัววัดไว้ด้วยเมมเบรนเมื่ออ่อนของไนโตรฟายน์ไนโตรท์ แฟร์ผ่านเมมเบรนเข้าไปแบบที่เรียกว่าภายนอกผิวภายในหัววัด จะเปลี่ยนอ่อนดังกล่าวเป็นไนโตรออกไซด์ (nitrous oxide) ที่สามารถตรวจวัดด้วยวิธีทางเคมีไฟฟ้าได้ นอกจากนี้การประยุกต์ใช้ใบโอลเซนเซอร์ชนิดนี้ๆ ทางด้านนี้ เช่น นิโอดีเซนเซอร์สำหรับตรวจวัดของเสียจำพวกสารอินทรีย์ ใบโอลเซนเซอร์สำหรับตรวจสารพิษ เช่น ยาฆ่าแมลง พวกรอร์กานิโน-ฟอสเฟตและคาร์บามेट เป็นต้น

(โสภา กLIN จันทร์, 2554)

### 6. รายงานวิจัยที่เกี่ยวข้องเกี่ยวกับการพัฒนาใบโอลเซนเซอร์เพื่อตรวจยาฆ่าแมลง

มีรายงานการศึกษาเกี่ยวกับการตรวจวัดการปนเปื้อนของยาฆ่าแมลง โดยใช้ใบโอลเซนเซอร์ที่แสดงให้เห็นว่าผลการวิเคราะห์ให้ผลที่รวดเร็วและแม่นยำมาก ดังต่อไปนี้

ในปี ค.ศ. 1998 มีรายงานการศึกษาใบโอลเซนเซอร์ โดยวิธีไฟเบอร์ออฟติก ใบโอลเซนเซอร์ (fiber optic biosensor) เพื่อใช้ตรวจสารออร์กานิโนฟอสเฟตในน้ำตัวอย่างที่มีการปนเปื้อนของยาฆ่าแมลง โดยอาศัยการยับยั้งการทำงานของเอนไซม์อะซิติลโคเลสเทอเรสซึ่งทำหน้าที่ในการย่อยสลายสารสีอ่อนของสารฟอสฟอสเทอเรส จากการนำเอนไซม์อะซิติลโคเลสเทอเรส มาตรีงบน viologen langmuir-biodgett (LB) film โดยอาศัยแรงระหว่างประจุ (electrostatic force)

พบว่าสามารถตรวจวัดการปนเปื้อนของสารออร์กานิฟอสเฟตในน้ำตัวอย่างได้ โดยให้ค่าความเข้มข้นต่ำที่สุดที่สามารถทำการวัดได้ (detection limit) ในช่วง 0-20 มิลลิกรัมต่อลิตร และใช้เวลาในการตรวจวัดเพียง 5 นาที (Choi *et al.*, 1998)

ในปีต่อมาได้มีรายงานการศึกษาในโอลเซนเซอร์โดยวิธีแอมเพโรมetriki ในโอลเซนเซอร์เพื่อใช้ตรวจวัดสารในกลุ่มออร์กานิฟอสเฟต โดยนำเอนไซม์ออร์กานิฟอสเฟตไโซโครเลสต์ริงบน screen-printed carbon electrode โดยใช้ nafion วิธีนี้ให้ผลการตรวจวัดที่แม่นยำ รวดเร็ว และค่าใช้จ่ายถูก โดยอาศัยการตรวจวัดปฏิกิริยาออกซิเดชันของพาราไนโตรฟีนอล ในการย่อยสลายพาราออกซอนและเมทธิลพาราไธอ่อน โดยให้ค่าความเข้มข้นต่ำที่สุดที่สามารถทำการวัดได้ เท่ากับ 90 และ 70 นาโนโมลาร์ ตามลำดับ เมื่อทำการเปรียบเทียบกับการตรวจวัดยาฆ่าแมลง โดยวิธีอื่น เช่น โพเทนชิโอมetriki และไฟเบอร์อฟติก ในโอลเซนเซอร์จะให้ค่าความเข้มข้นต่ำที่สุดที่สามารถทำการวัดได้ในช่วง 20-50 ไมโครโมลาร์ ซึ่งวิธีแอมเพโรมetriki ให้ค่าความเข้มข้นต่ำที่สุดที่สามารถทำการวัดได้ที่ต่ำกว่า และให้ค่าไวในการตรวจวัด (sensitivity) สำหรับพาราออกซอนและเมทธิลพาราไธอ่อน เท่ากับ 1.67 และ 2.83 นาโนแอม培ร์ต่อไมโครโมลาร์ ตามลำดับ ในโอลเซนเซอร์นี้สามารถทำการวัดซ้ำได้ โดยเมื่อทำการวัดตัวอย่างซ้ำจำนวน 12 ครั้ง ให้ค่า %RSD เท่ากับ 1.9 เปอร์เซ็นต์ (Mulchandani *et al.*, 1999)

ในปีเดียวกัน ได้มีการศึกษาในโอลเซนเซอร์โดยวิธีโพเทนชิโอมetriki ในโอลเซนเซอร์ในการตรวจวัดสารออร์กานิฟอสเฟต โดยนำเอนไซม์ออร์กานิฟอสเฟตไโซโครเลสต์ริงบนพีเอชอิเลคโทรดด้วยวิธีการเชื่อม (cross-linking) เอนไซม์ออร์กานิฟอสเฟตไโซโครเลสกับ bovine serum albumin (BSA) ซึ่งมีกลูตารอลดีไฮด์ทำหน้าที่เป็นตัวเชื่อม วิธีจะทำการวัดความเข้มข้นของโปรตอน (proton) ที่เกิดขึ้นในขณะเกิดการย่อยสลายสารออร์กานิฟอสเฟต ซึ่งสามารถตรวจวัดพาราออกซอน เอทธิลพาราไธอ่อนและเมทธิลพาราไธอ่อน โดยให้ค่าความเข้มข้นต่ำที่สุดที่สามารถทำการวัดได้ เท่ากับ 2 ไมโครโมลาร์ ในโอลเซนเซอร์นี้มีความเสถียรสามารถเก็บไว้ได้นานอย่างน้อย 1 เดือน โดยค่ากิจกรรมเอนไซม์ยังคงเหลือ 95 เปอร์เซ็นต์ (Mulchandani *et al.*, 1999)

ในปี ค.ศ. 2001 ได้มีการศึกษาในโอลเซนเซอร์เพื่อตรวจวัดสารที่เป็นสารพิษต่อระบบประสาท (neurotoxin) โดยการนำสารออร์กานิฟอสเฟต เช่น พาราออกซอน, diisopropyl fluorophosphate (DFP) และสารจำพวกคาร์บามีนท เช่น คาร์บาริล (carbaryl) มาผสมรวมกันแล้วทำการตรวจวัด พบว่าสามารถแยกแยะแต่ละปฏิกิริยาที่เกิดพร้อมกันได้โดยอาศัยการเปลี่ยนในการยับยั้งการทำงานของเอนไซม์อะซิติลโคเลอสเทอเรส โดยสารพิษต่อระบบประสาททั้ง 3 ชนิดสารจำพวกคาร์บามีนทจะเป็นสารที่เป็นตัวยับยั้งการทำงานของเอนไซม์อะซิติลโคเลอสเทอเรสชนิดทวนกลับได้ (reversible inhibitor) ซึ่งทำให้เอนไซม์ชนิดนี้ยังคงสามารถย่อยสลายสาร

อะซิติลโคลีนซึ่งเป็นซับสเตรทได้ โดยสารจำพวกคาร์บามเทนจะย่างซับสเตอร์ทจับกับเอนไซม์อะซิติลโคลีนเอสเทอเรสที่บริเวณร่องของเอนไซม์ (เป็นตัวขับยังแบบแข็งขัน; competitive inhibitor) ในขณะที่สารออร์กานิฟอสเฟตจะเป็นสารที่เป็นตัวขับยังการทำงานของเอนไซม์อะซิติลโคลีนเอสเทอเรสชนิดทวนกลับไม่ได้ (irreversible inhibitor) ซึ่งทำให้เอนไซม์นี้ไม่สามารถย่อยสลายอะซิติลโคลีนได้ จากการนำเอนไซม์อะซิติลโคลีนเอสเทอเรสและเอนไซม์ออร์กานิฟอสเฟตไฮโดรเลสต์ริงบันซิลิก้าเจล (silica gel) พบร่วมสามารถตรวจวัดพาราออกซอนและ DFP ในระดับความเข้มข้นเท่ากับ  $10^{-9}$  ถึง  $10^{-5}$  โนมาร์ ส่วนสาร์บาริลสามารถวัดที่ความเข้มข้น  $5 \times 10^{-8}$  ถึง  $1 \times 10^{-5}$  โนมาร์ นอกจากนี้สามารถตรวจวัดความเข้มข้นของสาร์บาริลในระดับที่ต่ำกว่า  $5 \times 10^{-5}$  โนมาร์ ได้หากใช้พาราออกซอนและ DFP ที่ความเข้มข้นสูงกว่า  $10^{-5}$  โนมาร์ (Simonian *et al.*, 2001)

ในปี ก.ศ. 2002 ได้มีการศึกษาในไอเซนเชอร์โดยวิธีแอมเพอโรเมตريคในไอเซนเชอร์ในการตรวจการปนเปื้อนของสารในกลุ่มออร์กานิฟอสเฟตในอาหารตัวอย่าง อาศัยหลักการขับยังการทำงานของเอนไซม์อะซิติลโคลีนเอสเทอเรสซึ่งทำหน้าที่ในการย่อยสลายสารต่อประสាពะอะซิติลโคลีน จากการนำเอนไซม์อะซิติลโคลีนเอสเทอเรสต์ริงบัน screen-printed electrode และตรวจวัดผลด้วยปฏิกิริยาออกซิเดชันที่เกิดขึ้นภายใต้การย่อยสลายอะซิติลโคลีน-คลอไรด์ (acetylthiocholine chloride) โดยเอนไซม์อะซิติลโคลีนเอสเทอเรสซึ่งถูกสารออร์กานิฟอสเฟตยับยั้งการทำงาน พบร่วมสามารถตรวจปริมาณพาราออกซอนให้ค่าความเข้มข้นต่ำที่สุดที่สามารถทำการวัดได้ เท่ากับ 1 ไมโครกรัมต่อกิโลกรัม (หรือประมาณ 3.6 นาโนโนมาร์) ในไอเซนเชอร์นี้สามารถทำการวัดซ้ำโดยให้ค่า %RSD เท่ากับ 7 เปอร์เซ็นต์ (Schulze *et al.*, 2002)

ในปีต่อมาได้มีรายงานการศึกษาในไอเซนเชอร์โดยวิธีแอมเพอโรเมตريคในไอเซนเชอร์ด้วยระบบ flow injection เพื่อใช้ตรวจสารออร์กานิฟอสเฟตโดยนำเอนไซม์ออร์กานิฟอสเฟต-ไฮโดรเลสต์ริงบันโกลด์อิเลคโทรด (gold electrode) โดยการเชื่อม (cross-linking) เอนไซม์ออร์กานิฟอสเฟตไฮโดรเลสกับ cystamine และมีกุญแจสารอคลีดิชีด์ทำหน้าที่เป็นตัวเชื่อมวิธี flow injection นี้ให้ผลการตรวจวัดที่แม่นยำ รวดเร็ว และมีความเสถียร โดยสามารถตรวจวัดพาราออกซอนและเมทิลพาราไนโซนให้ค่าความเข้มข้นต่ำที่สุดที่สามารถทำการวัดได้ในช่วง 1-10 นาโนโนมาร์ และมีค่าไวในการตรวจวัดเท่ากับ 2.29 และ 1.04 นาโนแอม培ต์ต่อมิลลิโนมาร์ ตามลำดับ ในไอเซนเชอร์ชนิดนี้สามารถทำการวัดซ้ำได้ เมื่อทำการวัดด้วยพาราออกซอนที่ความเข้มข้น 1 นาครโนมาร์ จำนวน 20 ครั้ง ให้ค่า %RSD เท่ากับ 3.6 เปอร์เซ็นต์ (Wang *et al.*, 2003)

ในปีเดียวกัน ได้มีรายงานการศึกษาในไอเซนเชอร์โดยวิธีแอมเพอโรเมตريคในไอเซนเชอร์ร่วมกับวิธีโพแทนซิโอมетrik ในไอเซนเชอร์ด้วยระบบ flow injection

ในการตรวจสารออร์กานิฟอสเฟต โดยวิธีแอมเพโตรเมตrikนำเอนไซม์ออร์กานิฟอสเฟต-ไฮโดรเลสต์ริงบันโกลด์อิเลคโทรด (gold electrode) โดยการสร้างพันธะโควาเลสท์กับ cystamine ที่ผิวน้ำของอิเลคโทรด และมีกลูตราลาลีไฮด์ทำหน้าที่เป็นตัวเขื่อน จานน์นำอิเลคโทรดฝังลงบนซิลิคอนไดออกไซด์ (silicon dioxide layer) ในขณะที่วิธีโพเทนชิโอมetrิกนำเอนไซม์ออร์กานิฟอสเฟตไฮโดรเลสต์ริงบันพีเอช ทรานดิวเซอร์ (pH transducer) โดยการเชื่อมเอนไซม์ออร์กานิฟอสเฟตไฮโดรเลสกับอิเลคโทรด และมีกลูตราลาลีไฮด์ทำหน้าที่เป็นตัวเขื่อน เมื่อนำไปโอเซนเซอร์นี้ทำการตรวจวัดพาราออกซอน ซึ่งวิธีแอมเพโตรเมตrikและวิธีโพเทนชิโอมetrิกให้ค่าความเข้มข้นต่ำที่สุดที่สามารถทำการวัดได้ เท่ากับ 0.1 และ 2 ไมโครโมลาร์ ตามลำดับ โดยในโอเซนเซอร์ชนิดนี้มีข้อดี คือสามารถตรวจวัดยาฆ่าแมลงหลายชนิดพร้อมๆ กัน ได้ในเวลาเดียวกันได้ (simultaneous) ซึ่งในกรณีวิธีแอมเพโตรเมตrikมีข้อจำกัดตรงที่สามารถทำการตรวจวัดเฉพาะสารออร์กานิฟอสเฟตที่ถูกเอนไซม์ออร์กานิฟอสเฟตไฮโดรเลสอย่างถาวร ให้พาราไนโตรฟินอลเป็นผลิตภัณฑ์ที่เข้มข้น โดยวิธีนี้อาศัยการตรวจวัดการเกิดปฏิกิริยาออกซิเดชันของผลิตภัณฑ์ จึงสามารถวัดได้เฉพาะพาราออกซอนเพียงอย่างเดียว ไม่สามารถตรวจวัดไดคลอวอส (dichlorvos) และไดอะซินอน (diazinon) เนื่องจากสารทั้ง 2 ชนิดนี้ เมื่อถูกเอนไซม์ออร์กานิฟอสเฟตไฮโดรเลสอย่างถาวร จะให้ผลิตภัณฑ์ที่ไม่ใช่พาราไนโตรฟินอล แต่วิธีโพเทนชิโอมetrิกสามารถตรวจสารออร์กานิฟอสเฟตได้ทุกชนิด เนื่องจากวิธีนี้อาศัยการตรวจวัดโปรตอนที่เกิดขึ้น ในขณะที่ยาฆ่าแมลงถูกเอนไซม์ออร์กานิฟอสเฟตไฮโดรเลสอย่างถาวร ในโอเซนเซอร์นี้สามารถทำการวัดซ้ำได้ เมื่อทำการวัดพาราออกซอนและไดคลอวอสที่ความเข้มข้น 100 ไมโครโมลาร์ จำนวน 20 ครั้ง ซึ่งวิธีแอมเพโตรเมตrikให้ค่า %RSD เท่ากับ 1.6 เปอร์เซ็นต์ สำหรับพาราออกซอน แต่วิธีโพเทนชิโอมetrิกให้ค่า %RSD เท่ากับ 3.8 และ 8 เปอร์เซ็นต์สำหรับพาราออกซอนและไดคลอวอสตามลำดับ โดยทั้ง 2 วิธีนี้ใช้เวลาในการตรวจวัดน้อยกว่า 1 นาที (Schoning *et al.*, 2003)

ในปี ค.ศ. 2005 มีรายงานการศึกษาในโอเซนเซอร์โดยวิธีแอมเพโตรเมตrik ในโอเซนเซอร์ด้วยระบบ flow injection เพื่อใช้ตรวจวัดสารออร์กานิฟอสเฟตโดยนำเอนไซม์ออร์กานิฟอสเฟตไฮโดรเลสต์ริงบันคาร์บอนนาโนทิวบ์ (carbon nanotube; CNT) แล้วติดลงบนกลาสซีคาร์บอน (glassy carbon electrode; GC) อิเลคโทรด โดยใช้ nafion สำหรับการใช้คาร์บอนนาโนทิวบ์สามารถแก้ไขปัญหาที่เกิดกับกลาสซีคาร์บอนอิเลคโทรดที่ใช้โดยทั่วไป ซึ่งมักเกิดการสะสมของพาราไนโตรฟินอลที่เป็นผลิตภัณฑ์บริเวณผิวน้ำของอิเลคโทรด (surface fouling) ทำให้ไม่สามารถตรวจวัดสัญญาณทางไฟฟ้าได้ เมื่อนำไปโอเซนเซอร์นี้มาตรวจวัดพาราออกซอนและเมทิลพาราไนโตรฟินอลให้ค่าความเข้มข้นต่ำที่สุดที่สามารถทำการวัดได้เท่ากับ 150 และ 800

นาโนโมลาร์ตามลำดับ และให้ค่าความจำเพาะสำหรับพาราออกซอนและเมทิลพาราไนโซนเท่ากับ 25 และ 6 นาโนแเอมแปร์ต่อไมโครโมลาร์ตามลำดับ (Deo *et al.*, 2005)

ในปีเดียวกัน ได้มีรายงานการศึกษาในโอลเซนเซอร์โดยวิธีไฟเบอร์อฟติก ในโอลเซนเซอร์ เพื่อใช้ตรวจสารออร์กานิฟอสเฟต โดยนำเอนไซม์ออร์กานิฟอสเฟตไไฮโดรเลส ตรึงระหว่างอนุภาคของทองที่เล็กในระดับนาโน (gold nanoparticle) โดยการสร้างพันธะ ไดซัลไฟด์ (disulfide bond) ระหว่างหมู่ชัลฟ์ไฮดริล (sulphydryl groups) ของเชีสตีน ไมเลกุล (cysteine residues) ที่อยู่บนเอนไซม์ออร์กานิฟอสเฟตไไฮโดรเลส หรืออาจจะสร้างพันธะ โควาเลนต์ของไมเลกุล ไลซีน (lysine residues) บนเอนไซม์ออร์กานิฟอสเฟตไไฮโดรเลส นอกจากนี้อาจจะติดมาเลิมิด (maleimide) ที่ผิวของอนุภาคทอง ซึ่งจะสามารถทำการเชื่อมติดกับ เอนไซม์ออร์กานิฟอสเฟตไไฮโดรเลสได้ด้วยพันธะ โควาเลนต์ จากนั้นนำเอนไซม์ที่ถูกเชื่อมติดกับ อนุภาคทองมาจับกับสาร fluorophore decoy และทำการวัดความเข้มของการเรืองแสงของสาร fluorophore decoy เมื่อจากสาร fluorophore decoy นี้เป็นตัวยับยั้งการทำงานของเอนไซม์ จึงสามารถจับกับเอนไซม์ออร์กานิฟอสเฟตไไฮโดรเลสที่บริเวณเร่งของเอนไซม์ได้ (เป็นตัวยับยั้ง แบบแข่งขัน; competitive inhibitor) ส่งผลให้ออนุภาคทองที่เชื่อมติดอยู่กับเอนไซม์อยู่ใกล้กับ fluorophore decoy เกิดการรับประทาน fluorescence resonance energy transfer (FRET) โดยอนุภาค ทองทำหน้าที่เป็นตัวให้พลังงานแสง (donor) แก่สาร fluorophore decoy ซึ่งเป็นตัวรับพลังงานแสง (acceptor) ทำให้ค่าความเข้มของการเรืองแสงของสาร fluorophore decoy นี้เพิ่มสูงขึ้น แต่ในกรณีที่ มียาฆ่าแมลง ยาฆ่าแมลงจะเข้าจับเอนไซม์ที่เชื่อมติดกับอนุภาคทองแทนที่สาร fluorophore decoy เนื่องจากยาฆ่าแมลงจับกับเอนไซม์ได้ดีกว่าสาร fluorophore decoy ทำให้สาร fluorophore decoy ไม่สามารถจับกับเอนไซม์ได้ จึงอยู่ห่างจากอนุภาคทอง ส่งผลให้ค่าความเข้มข้นของการเรืองแสง ของสาร fluorophore decoy ลดลง ดังนั้นความเข้มแสงที่วัดได้จากสาร fluorophore decoy สามารถ บ่งบอกถึงปริมาณของสารออร์กานิฟอสเฟตที่ถูกย่อยสลายโดยเอนไซม์ออร์กานิฟอสเฟต- ไไฮโดรเลส ซึ่งพบว่าได้ค่าความเข้มข้นต่ำที่สุดที่สามารถทำการวัด ได้ของพาราออกซอนเท่ากับ 5 ไมโครโมลาร์ (Simonian *et al.*, 2005)

ในปี ค.ศ. 2006 มีรายงานการศึกษาในโอลเซนเซอร์โดยวิธีไฟเบอร์อฟติก ในโอลเซนเซอร์ เพื่อใช้ในการตรวจสารออร์กานิฟอสเฟต โดยนำเอนไซม์ออร์กานิฟอสเฟต- ไไฮโดรเลส เชื่อมติดกับสารเรืองแสง (fluorescene) คือ carboxy naphthofluorescein (CNF) ด้วย ใบโอลิน (biotin) คล้ายเป็น OPH-CNF-biotin conjugate โดยสามารถจับกับ avidin ที่ถูกตรึงอยู่ กับอิเลคโทรด polystyrene waveguide ในขณะที่ reference waveguide จะใช้ BSA เมื่อสาร ออร์กานิฟอสเฟตถูกเอนไซม์ออร์กานิฟอสเฟตไไฮโดรเลสย่อยสลายเป็นพาราไนโตรฟีนอล

จะเกิดการปลดปล่อยโปรตอน ทำให้พิอีอชของสารละลายน้ำฟเฟอร์เกิดการเปลี่ยนแปลง และสาร CNF ซึ่งเป็นสารที่ไวต่อการเปลี่ยนแปลงของพิอีอช (pH-sensitive fluorophore) จะสามารถดูดกลืน แสงที่ความยาวคลื่น 598 นาโนเมตร และปลดปล่อยแสงที่ความยาวคลื่น 668 นาโนเมตร ทำให้สามารถวัดความเข้มข้นของพาราออกซอนและ diisopropyl phosphorofluoridate (DFP) ให้ค่าความเข้มข้นต่าที่สุดที่สามารถทำการวัดได้ เท่ากับ 1 และ 2 ไมโครโมลาร์ ตามลำดับ (Viveros *et al.*, 2005)

ในปี ค.ศ. 2008 มีรายงานการศึกษาในโอเซนเซอร์โดยวิธีแอมเพอ โรเมติก ในโอเซนเซอร์ เพื่อใช้ตรวจวัดสารออร์กานิฟอสเฟต โดยนำเอนไซม์ออร์กานิฟอสเฟตไโซโตรเลส ในรูปสกัดหยาบ (crude enzyme) และรูปผลึก (crystal enzyme) ตระบันกกลาสซีการ์บอนอิเลคโทรด โดยเชื่อมติดกับการ์บอนนาโนทิวป์ (carbon nanotubes; CNTs) และ BSA ซึ่งมีกจุตราอลดีไฮด์ทำหน้าที่เป็นตัวเชื่อม เมื่อทำการวัดพาราออกซอนให้ค่าความเข้มข้นต่าที่สุดที่สามารถทำการวัดได้เท่ากับ 314 และ 500 นาโนโมลาร์ สำหรับเอนไซม์ในรูปผลึก และรูปสกัดหยาบตามลำดับ ในโอเซนเซอร์นี้ให้ค่าไวในการตรวจวัดเท่ากับ 25.95 และ 17.29 นาโนแอม培ร์ต่อไมโครโมลาร์ สำหรับเอนไซม์ในภาพผลึก และภาพสกัดหยาบตามลำดับ (Laothanachareon *et al.*, 2008)

ในปี ค.ศ. 2009 มีรายงานการศึกษาในโอเซนเซอร์โดยวิธีแอมเพอ โรเมติก ในโอเซนเซอร์เพื่อตรวจวัดสารออร์กานิฟอสเฟต โดยใช้ mesoporous carbon (MC) และ carbon black (CB) เป็นตัวช่วยในการส่งอิเลคทรอนที่เกิดจากปฏิกิริยาออกซิเดชั่นของพาราในโตรฟินอล ไปยังอิเลคโทรด ซึ่งพาราในโตรฟินอลเป็นผลิตผลที่เกิดจากการไโซโตรไลซิสสารออร์กานิฟอสเฟตโดยเอนไซม์ออร์กานิฟอสเฟตไโซโตรเลส ทำการเคลือบกลาสซีการ์บอนอิเลคโทรดด้วย MC จากนั้นเคลือบอิเลคโทรดต่อด้วย CB และนำมารีบกับเอนไซม์ออร์กานิฟอสเฟตไโซโตรเลส ด้วย nafion ภายใต้สภาวะที่เหมาะสม พบร่วมสามารถตรวจวัดพาราออกซอนให้ค่าความเข้มข้นต่าที่สุดที่สามารถทำการวัดได้เท่ากับ 120 นาโนโมลาร์ และให้ค่าไวในการตรวจวัดเท่ากับ 198 นาโนแอมเบรต่อไมโครโมลาร์ โดยใช้เวลาในการตรวจวัดประมาณ 10 วินาที (Lee *et al.*, 2009)

ในปี ค.ศ. 2010 มีรายงานการศึกษาในโอเซนเซอร์โดยวิธีแอมเพอ โรเมติก ในโอเซนเซอร์ด้วยระบบ flow injection เพื่อตรวจวัดสารออร์กานิฟอสเฟต โดยนำเอนไซม์ออร์กานิฟอสเฟตไโซโตรเลสตระบันการ์บอนนาโนทิวป์แบบชั้นเดียว (single wall carbon nanotube; SWNTs) และแบบหลายชั้น (multiwall carbon nanotubes; MWNTs) ด้วยพันธะโคเวเลนต์ จากนั้นติดเอนไซม์ที่ถูกตระบันการ์บอนนาโนทิวป์ทั้ง 2 ชนิด ลงบนกลาสซีการ์บอนอิเลคโทรด (glassy carbon electrode; GC) ด้วยใช้ nafion พบร่วมเอนไซม์ออร์กานิฟอสเฟต-ไโซโตรเลสที่ตระบันการ์บอนนาโนทิวป์แบบชั้นเดียวจะให้ประสิทธิภาพดีกว่าเอนไซม์

องร์กานิฟอสเฟตไโซโตรเลสที่ตรึงบันควร์บอนนาโนทิวปีแบบหลายชั้น โดยเมื่อทำการวัดพาราออกซอนให้ค่าความเข้มข้นต่ำที่สุดที่สามารถทำการวัดได้เท่ากับ 10 นาโนโมลาร์ และ 6.4 ไมโครโมลาร์ สำหรับเอนไซม์ที่ตรึงบันควร์บอนนาโนทิวปีแบบชั้นเดียว และเอนไซม์ที่ตรึงบันควร์บอนนาโนทิวปีแบบหลายชั้นตามลำดับ จากนั้นนำเอนไซม์องร์กานิฟอสเฟตไโซโตรเลสที่ตรึงบันควร์บอนนาโนทิวปีแบบชั้นเดียวทำการวัดพาราออกซอนจำนวน 18 ครั้ง ให้ค่า %RSD เท่ากับ 3.2 เปอร์เซ็นต์ โดยเมื่อระยะเวลาผ่านไป 7 เดือน การตอบสนองต่อสัญญาณจะลดลงเหลือ 75 เปอร์เซ็นต์ (Pedrosa *et al.*, 2010)

# มหาวิทยาลัยศิลปากร สงวนลิขสิทธิ์

### บทที่ 3

#### อุปกรณ์และวิธีการดำเนินงานวิจัย

##### อุปกรณ์ที่ใช้ในการวิจัย

###### 1. เชื้อแบคทีเรียที่ใช้ในการวิจัย

เชื้อแบคทีเรียที่ใช้ในการวิจัยนี้เป็นเชื้อ *Burkholderia cepacia* ที่สามารถย่อยสลายยาฆ่าแมลงเมทธิลพาราไซดอนได้ ซึ่งเชื้อแบคทีเรียตัวนี้ได้นำจากการคัดแยก (isolate) เชื้อแบคทีเรียในดินที่สามารถย่อยสลายเมทธิลพาราไซดอนบริเวณพื้นที่เกษตรกรรม เขตคลองชั้น แขวงบางกอกน้อย กรุงเทพมหานคร (Keprasersup *et al.*, 2001)

เชื้อแบคทีเรียที่ใช้เป็นเซลล์เจ้าบ้าน (host cells) เพื่อเพิ่มปริมาณพลาสมิดังแสดงในตารางที่ 8

ตารางที่ 8 เชื้อแบคทีเรียที่ใช้เป็นเซลล์เจ้าบ้านเพื่อเพิ่มปริมาณพลาสมิด

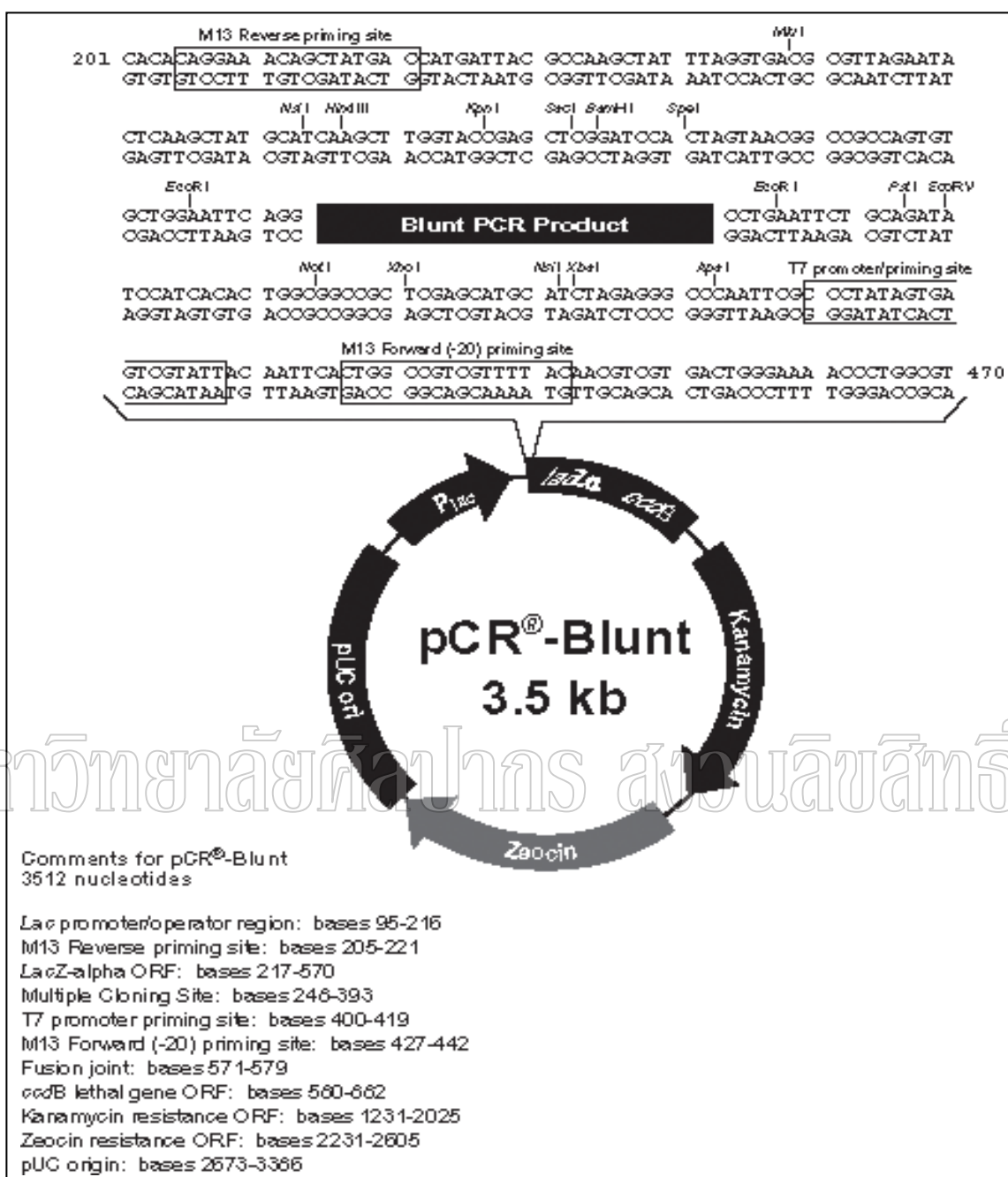
Bacteria	Genotype	Source
<i>Escherichia coli</i> DH5α	$F^-$ <i>lend</i> A1 <i>hsd R17</i> ( $r_k m_k^+$ ) <i>supE44 thi-1</i> <i>recA1 gyr A</i> (Nal $r$ ) <i>relA1</i> $\Delta(lacIZYA-argF)$ U169 $deoR$ ( $\phi$ 80 $dlac$ $\Delta(lacZ)M15$ )	Ausubel, 1997
<i>Escherichia coli</i> BL21	$F^-$ <i>ompT gal dcm lon hsdS_B(r_B^- m_B^-)</i> $\lambda$ (DE3) [ <i>lacI lacUV5-T7 gene 1 ind1 sam7 nin5</i> ])	Invitrogen, USA
<i>Escherichia coli</i> One Shot <sup>®</sup> TOP10 Chemically Competent	$F^-$ <i>mcrA</i> $\Delta$ ( <i>mrr-hsdRMS-mcr BC</i> ) $\phi$ 80 $lacZ$ $\Delta$ M15 $\Delta$ <i>lacX74recA1 araD139</i> $\Delta$ ( <i>ara-leu</i> ) $7697$ <i>galU galK endA1 nupG</i>	Invitrogen, USA

## 2. ดีเอ็นเอพาหะ (vectors)

2.1 พลasmid pCR®-Blunt (Invitrogen, USA) เป็นดีเอ็นเอพาหะที่ใช้สำหรับโคลนชิ้นส่วนของดีเอ็นเอปลายทู่ (blunt end) ที่ได้จากปฏิกิริยาพีซีอาร์โดยใช้เอนไซม์ proofreading DNA polymerase (Platinum Pfx DNA polymerase) pCR®-Blunt มีอินต้านทานต่อยาปั๊ชิวนะกานามัยซิน (kanamycin resistance gene) และชิ้น lacZα-ccdB ทำหน้าที่เป็น positive selective gene ทำให้สามารถคัดเลือกรีคอมบิแนนท์เซลล์ที่มีรีคอมบิแนนท์พลาสมิดได้ง่ายยิ่งขึ้น นอกจากนี้พลาสมิดชนิดนี้ยังมีตำแหน่งตัดจำเพาะของเอนไซม์ EcoRI คร่อมระหว่างตำแหน่งของชิ้นส่วนดีเอ็นเอทำให้สามารถตรวจสอบขนาดของชิ้นส่วนดีเอ็นเอได้ด้วยเอนไซม์ EcoRI เพียงชนิดเดียว ดังแสดงในภาพที่ 22

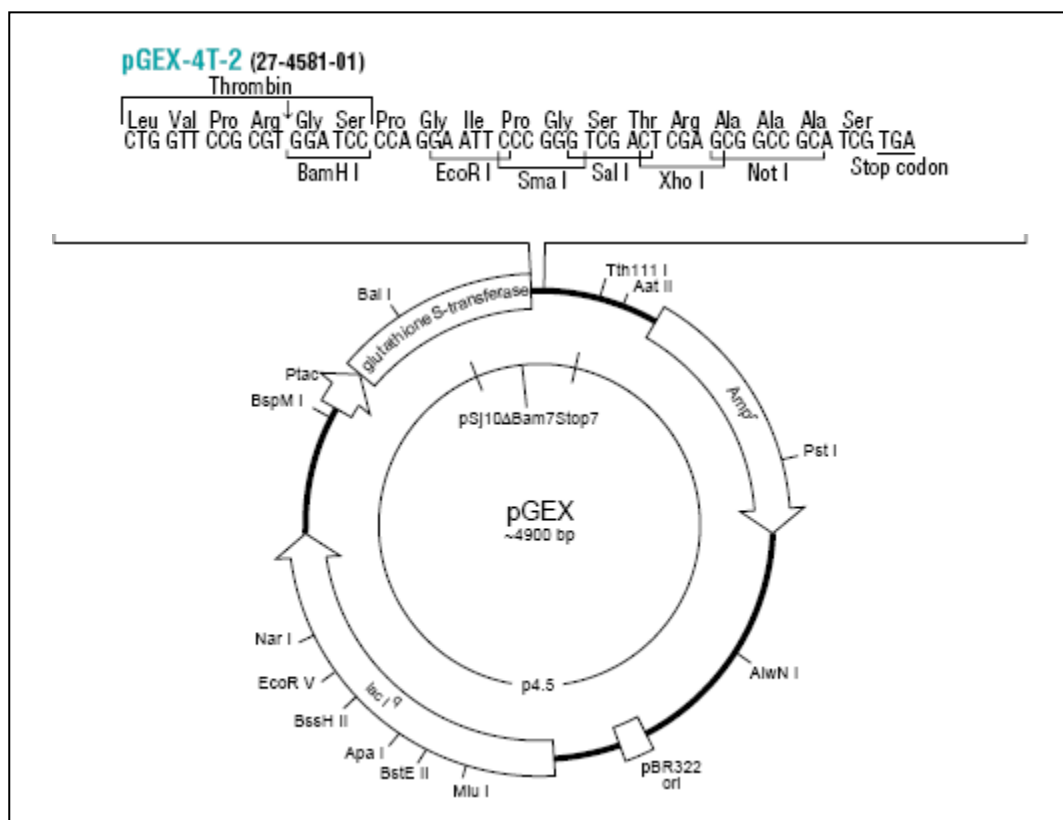
2.2 พลาสมิด pGEX-4T-2 (Amersham Biosciences, UK) มีส่วนที่เป็น multiple cloning sites อยู่ติดกับยีนที่สร้าง glutathione-S-transferase ทำให้เกิด fusion protein จากการแสดงออกของยีนที่โคลน ซึ่งช่วยให้การแยกโปรตีนที่ได้จากยีนที่ต้องการในกระบวนการทำโปรตีนให้บริสุทธิ์ พลาสมิดนี้ประกอบด้วย promoter (promoter) ซึ่งมีการแสดงออกของยีนได้ในระดับสูงและสามารถเห็นได้ เช่น tac promoter ที่ควบคุมส่วนของ lac operator, ribosome binding site, start codon (ATG) และมีส่วนที่สามารถถูกย่อยด้วยเอนไซม์ทร็อกบิน (thrombin) ในตำแหน่งระหว่างยีนที่สร้าง glutathione-S-transferase และส่วน multiple cloning sites ซึ่งทำให้สามารถใช้ตัดส่วนที่เป็น fusion protein ออกจากโปรตีนที่ต้องการในขั้นตอนการทำโปรตีนให้บริสุทธิ์ นอกจากนี้เวคเตอร์ pGEX-4T-2 ยังมียีนส่วนที่ผลิตเอนไซม์ beta-lactamase ที่สามารถต้านทานต่อยาปั๊ชิวนะแอมพิซิลลิน (ampicillin) โดยถูกควบคุมด้วยยีน lacI<sup>q</sup> ที่สามารถแสดงออกในเซลล์เจ้าบ้านที่เป็น *E.coli* อีกทั้งสภาวะที่ใช้ในการอะเซา fusion protein ออกจาก affinity matrix นั้นเป็นสภาวะที่นุ่มนวลจึงมีผลกระทบกับ antigenicity และ functional activity ของโปรตีนน้อยมากดังแสดงในภาพที่ 23

2.3 พลาสมิด pGEX-6P-1 (Amersham Biosciences, UK) เป็นพลาสมิดที่มีคุณสมบัติเหมือนกับพลาสมิด pGEX-4T-2 แต่แตกต่างกันตรงบริเวณตำแหน่งระหว่างยีนที่สร้าง glutathione-S-transferase และส่วน multiple cloning sites ซึ่งในพลาสมิด pGEX-6P-1 จะเป็นตำแหน่งที่ถูกย่อยโดยเอนไซม์ PreScission Protease ดังแสดงในภาพที่ 24



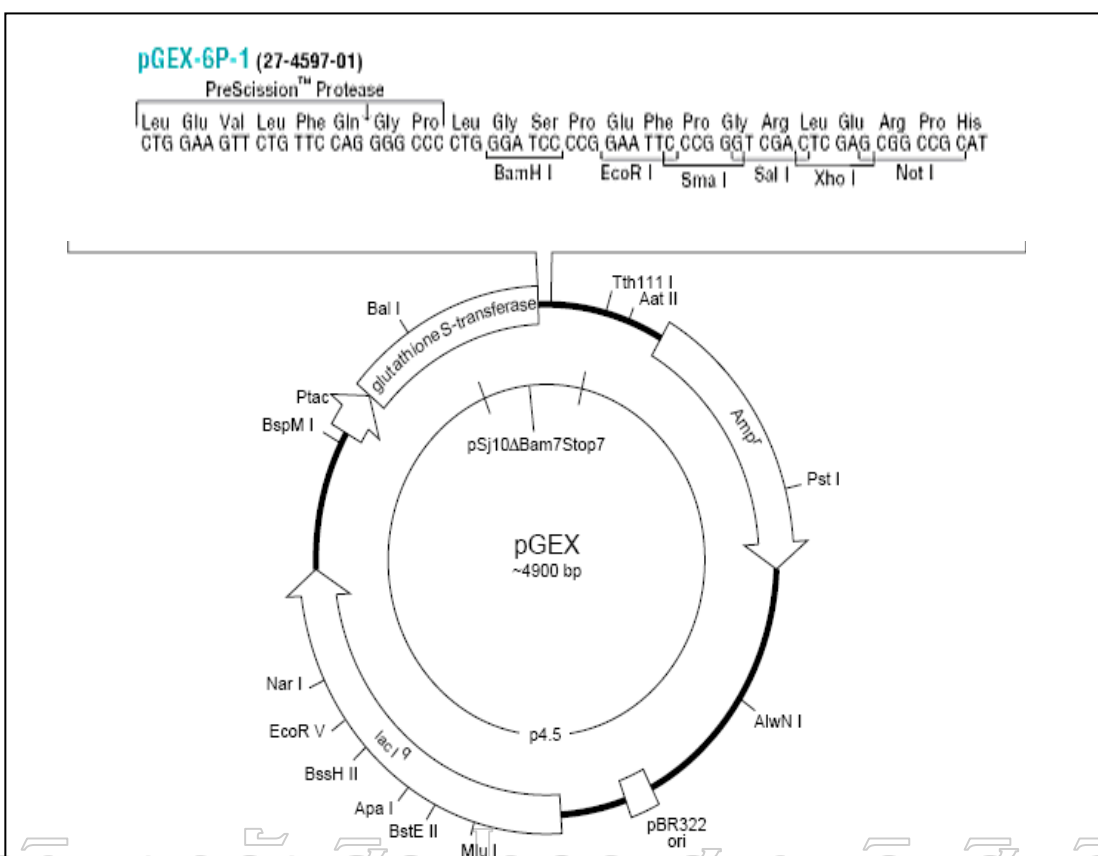
ภาพที่ 22 โครงสร้างดีเอ็นเอพาหะ pCR®-Blunt และมี multiple cloning sites

ที่มา: Invitrogen, USA



มหาวิทยาลัยราชภัฏเชียงใหม่ ศูนย์วิจัยพันธุศาสตร์

ที่มา: Amersham Biosciences, UK



มหาวิทยาลัยแม่ฟ้าหลวง ลูกน้ำเขียวเชียงราย

ภาพที่ 24 โครงสร้างดีเอ็นเอพัหะ pGEX-6P-1 แสดง multiple cloning sites

ที่มา: Amersham Biosciences, UK

### 3. ไพรเมอร์ที่ใช้ในการวิจัย

ไพรเมอร์ที่ใช้ในการวิจัยดังแสดงในตารางที่ 9

ตารางที่ 9 ไพรเมอร์ที่ใช้ในงานวิจัย

ชุดที่	ไพรเมอร์	ลำดับนิวคลีโอไทด์
1	Exp1	CGG GAT CCA TGC CCC TGA AGA ACC
	Exp2	CGC TCG AGT CAC TTG GGG TTG ACG AC

### 4. ดีเอ็นเอมาตรฐาน (standard DNA marker)

- 4.1 DNA ladder ขนาด 1 กิโลเบส (Biolabs, USA)
- 4.2 DNA ladder ขนาด 1 กิโล夷ส์ (Fermentas, USA)

### 5. โปรตีนมาตรฐาน (standard protein marker)

- 5.1 PRO-STAIN (II) Prestained Protein Marker (Intron Biotechnology, Korea)
- 5.2 Kalaidoscope Marker (BIO-RAD, USA)
- 5.3 Perfect Protein Ladder (Vivantis, USA)
- 5.4 BenchMark Protein Ladder (Invitrogen, USA)

### 6. เอนไซม์ (enzymes)

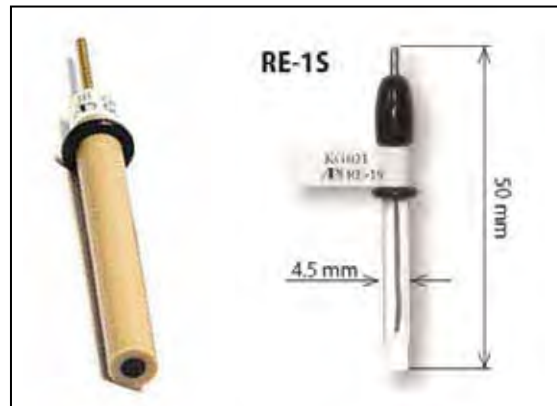
- 6.1 Rnase A (Amresco, USA)
- 6.2 T4 DNA ligase (Invitrogen, USA)
- 6.3 *Taq* DNA polymerase (Promega, USA)
- 6.4 Platinum *Pfx* DNA polymerase (Invitrogen, USA)
- 6.5 เอนไซม์ตัดจำเพาะที่ใช้การวิจัย ได้แก่ *Bam*H1, *Eco*RI, *Hind*III, *Pst*I, *Xho*I (GibcoBRL, USA)
- 6.6 เอนไซม์ทรอมบิน (Amersham Biosciences, UK)

## 7. ชุดทดสอบสำเร็จภาพ

- 7.1 ชุดสกัดดีเอ็นเอออกจากเจล QIAquick Gel Extraction kit (Qiagen, Germany)
- 7.2 ชุดโคลนผลผลิตจากปฏิกิริยาพีซีอาร์ QIAGEN PCR Cloning kit (Qiagen, Germany)
- 7.3 ชุดโคลนผลผลิตจากปฏิกิริยาพีซีอาร์ Zero Blunt<sup>®</sup> PCR Cloning kit (Invitrogen, USA)
- 7.4 ชุดแยกบริสุทธิ์โปรตีน HisTrap FF (Amersham Biosciences, UK)
- 7.5 ชุดแยกบริสุทธิ์โปรตีน GSTPrep FF 16/10 (Amersham Biosciences, UK)
- 7.6 ชุดตรวจวัดโปรตีน Bio-RAD Bradford Protein Assay (BIO-RAD; USA)

## 8. อิเลคโทรด

- 8.1 glassy carbon electrode (BAS; Japan) มีขนาดเส้นผ่านศูนย์กลางภายนอก 6 มิลลิเมตร และขนาดเส้นผ่านศูนย์กลางภายใน 3 มิลลิเมตร
- 8.2 Pt electrode ขนาด 3 mm diameter (home made)
- 8.3 Ag/AgCl electrode (BAS; Japan) มีความยาวประมาณ 40 มิลลิเมตร เส้นผ่านศูนย์กลาง 4.5 มิลลิเมตร



ภาพที่ 25 glassy carbon electrode (ภาพซ้าย) และ Ag/AgCl electrode (ภาพขวา)  
ที่มา: BAS, Japan

## 9. สารเคมี

### ชื่อสารเคมี

### บริษัทผู้ผลิต

9.1	acetic acid	Lab Scan
9.2	acrylamide	Fluka
9.3	agar	Merck
9.4	agarose	Gibco BRL
9.5	aluminium oxide	BDH
9.6	ammonium persulfate	Fluka
9.7	ampicillin	Fluka
9.8	bacto tryptone	Fluka
9.9	bacto yeast extract	Scharlau Chemie
9.10	bromophenol blue	Scharlau Chemie
9.11	5-bromo-4-chloro-3-indolyl-β-D-galactopyranoside	Promega
9.12	bovine serum albumin	PAA
9.13	calcium chloride	Fluka
9.14	chloroform	merck
9.15	chorpyriphos	Fluka
9.16	coomassie brilliant blue	Fluka
9.17	coumaphos	Fluka
9.18	dipotassium hydrogen phosphate	Fluka
9.19	1,4-Dithiothreitol	Fluka
9.20	dNTPs	Promega
9.21	ethanol	BHD Analar
9.22	ethidium bromide	Sigma
9.23	ethylene diamine tetraacetic	Fluka
9.24	fenitrothion	Fluka
9.25	glacial acetic acid	BHD Analar
9.26	glycerol	Boehringer Mannheim
9.27	guanidine hydrochloride	Sigma
9.28	hydrochloric acid	Fluka

ชื่อสารเคมี	บริษัทผู้ผลิต
9.29 isoamyl alcohol	Merck
9.30 isopropanol	Lab Scan
9.31 isopropyl thiogalactosidase (IPTG)	Amresco
9.32 kanamycin	Sigma
9.33 magnesium chloride	Promega
9.34 magnesium sulfate heptahydrate	Fluka
9.35 marathion	Fluka
9.36 methanol	LAB SCAN
9.37 methyl parathion	Fluka
9.38 methyl parathion (FOLIDOL-E605 M50)	Bayer
9.39 multiwall carbon nanotubes	Cheap Tubes Inc.
9.40 N-N'-methylene- bisacrylamide	Fluka
9.41 paraoxon	Fluka
9.42 parathion	Fluka
9.43 phenol	Fluka
9.44 <i>p</i> -nitrophenol	Fluka
9.45 poly (allylamine hydrochloride)	Aldrich
9.46 potassium dihydrogen phosphate	Fluka
9.47 potassium hydrogen phosphate	Riedel-deHaën®
9.48 sodium acetate	Fluka
9.49 sodium chloride	Fluka
9.50 sodium dodecyl sulfate	Fluka
9.51 sodium hydroxide	Akzo Nobel
9.52 TE saturated phenol	Invitrogen
9.53 99% tritonX-100	Amresco
9.54 Tris (hydroxymethyl) aminomethane	GibcoBRL
9.55 Tryptone	Schalau
9.56 Yeast extract	Schalau

## 10. เครื่องมือ

- 10.1 autoclave Model ss-325 (Tomy, Korea)
- 10.2 biological safety cabinet class II Type A1B3 (Nuaire, USA)
- 10.3 centrifuge รุ่น GS-15R centrifuge (Beckman Coulter, USA)
- 10.4 centrifuge รุ่น Universal 12 (Hettich, England)
- 10.5 deionizer pure UV ultrapure water system (Thermo Fisher Scientific, USA)
- 10.6 desiccator catalog NO. 5311 (Nalgene labware, USA)
- 10.7 fast protein in liquid chromatography (FPLC) รุ่น AKTAfPLC (Amersham biosciences, UK)
- 10.8 gel chamber (BIO-RAD, USA)
- 10.9 French<sup>®</sup> Pressure Cells Press (Spectronics, UK)
- 10.10 microcentrifuge MPW 52 Model 11374 Angle Rotor (MPW Med. Instruments, Poland)
- 10.11 microplate reader (Spectronic, UK)
- 10.12 oven Model ULM 500 (Memmert, UK)
- 10.13 power supply (BIO-RAD; USA)
- 10.14 spectrophotometer รุ่น Genesys 8 (Spectronic, UK)
- 10.15 water bath Model WB 29 Gable cover (Memmert, UK)
- 10.16 TPGSTAT 12 และ GPES software (Eco Chemie; The Netherlands)

## 11. อุปกรณ์อื่นๆ

- 11.1 aluminum foil
- 11.2 autopipette
- 11.3 beaker
- 11.4 centrifuge tube
- 11.5 cylinder
- 11.6 microtube
- 11.7 erlenmeyer flask
- 11.8 forcep
- 11.9 glass pipette
- 11.10 parafilm
- 11.11 loop
- 11.12 pasture pipette
- 11.13 petridish
- 11.14 rack
- 11.15 spreader
- 11.16 wrap
- 11.17 ตะเกียงแอลกอฮอล์
- 11.18 ถุงพลาสติก
- 11.19 ไม้จิมฟันปลอกเชือ
- 11.20 สำลี
- 11.21 ผ้าสักหลาด
- 11.22 Amicon Ultra-4 ขนาด 10 kda (Millipore; USA)
- 11.23 Amicon Ultra-4 ขนาด 30 kda (Millipore; USA)
- 11.24 Amicon Ultra-4 ขนาด 50 kda (Millipore; USA)
- 11.25 syringe filter ขนาด 0.45 micrometers (Corning; USA)
- 11.26 SnakeSkin® Pleated Dialysis Tubing (Pierce, USA)
- 11.27 syringe

## วิธีดำเนินการวิจัย

### 1. การสร้างรีคอมบิแนต์โกลนใน expression vector pGEX-4T-2

#### 1.1 การเตรียมชิ้นส่วนดีเอ็นเอที่มียีนที่สร้างเอนไซม์เมทัลโลโปรตีโนไซโตรเลส

1.1.1 การออกแบบไพรเมอร์สำหรับยีนที่สร้างเอนไซม์เมทัลโลโปรตีโนไซโตรเลสโดยเพิ่มตำแหน่งของเอนไซม์ตัดจำพวก *BamHI* และ *XhoI*

ทำการออกแบบไพรเมอร์จากข้อมูลลำดับนิวคลีโอไทด์บริเวณหัวและท้ายของยีนที่สร้างเอนไซม์เมทัลโลโปรตีโนไซโตรเลสจากเชื้อแบคทีเรีย *Burkholderia cepacia* ที่สามารถย่อยสลายยาฆ่าแมลงเมทัลโลโปรตีโนไซโตรเลส (สถาลักษณ์ วงศ์เทียนหลาย, 2547) โดยให้มีตำแหน่งของเอนไซม์ตัดจำพวก *BamHI* และเอนไซม์ตัดจำพวก *XhoI*

ไพรเมอร์ Exp1 มีลำดับนิวคลีโอไทด์เป็น CGG GAT CCA TGC CCC TGA AGA ACC

ไพรเมอร์ Exp2 มีลำดับนิวคลีโอไทด์เป็น CGC TCG AGT CAC TTG GGG TTG ACG AC

โดยบริเวณที่ปิดเส้นได้คือตำแหน่งของเอนไซม์ตัดจำพวก *BamHI* ในไพรเมอร์ Exp1 และเอนไซม์ตัดจำพวก *XhoI* ในไพรเมอร์ Exp2

#### 1.1.2 การสกัดดีเอ็นเอจีโนม (Sambrook *et al.*, 1989)

ทำการสกัดดีเอ็นเอจีโนมจากเชื้อแบคทีเรีย *Burkholderia cepacia* เพื่อใช้

เป็นแม่แบบในการเพิ่มปริมาณดีเอ็นเอโดยเทคนิคพีซีอาร์ โดยทำการเพาะเลี้ยงเชื้อแบคทีเรียในอาหารเหลวที่ประกอบด้วยแร่ธาตุที่จำเป็นที่มีเมทัลโลโปรตีโนไซโตรเลส ปริมาตร 30 มิลลิลิตร ที่อุณหภูมิ

26 ± 2 องศาเซลเซียส นาน 12-18 ชั่วโมง ตกตะกอนเซลล์โดยถ่ายเชื้อจลินทรีย์ปริมาตร 1.5 มิลลิลิตร ลงในหลอดไนโตรเซนต์ริฟิวจ์ นำไปปั่นให้วิ่งที่ความเร็ว 12000 รอบต่อนาที นาน

2 นาที จากนั้นเทส่วนไสออก ละลายตะกอนเซลล์ด้วย TE buffer pH 8.0 ปริมาตร 567 ไมโครลิตร เติมสารละลาย SDS ความเข้มข้น 10 เปอร์เซ็นต์ (โดยนำหนักต่อปริมาตร) ปริมาตร 30 ไมโครลิตร และเติมเอนไซม์ proteinase K ความเข้มข้น 20 มิลลิกรัมต่อมิลลิลิตร ปริมาตร 3 ไมโครลิตร ผสมให้เข้ากัน นำไปปั่นที่อุณหภูมิ 37 องศาเซลเซียส นาน 1 ชั่วโมง แล้วเติมโซเดียมคลอไรด์ความ

เข้มข้น 5 มิลลาร์ ปริมาตร 100 ไมโครลิตร ผสมให้เข้ากัน เติมสารละลาย CTAB/โซเดียมคลอไรด์ (CTAB ความเข้มข้น 1 เปอร์เซ็นต์ และโซเดียมคลอไรด์ความเข้มข้น 0.7 มิลลาร์) ปริมาตร 80 ไมโครลิตร ผสมให้เข้ากัน แล้วนำไปปั่นที่อุณหภูมิ 65 องศาเซลเซียส นาน 10 นาที เติมสารละลายฟีนอล : คลอโรฟอร์ม : ไอโซเออมิล อัลกอฮอล์ (อัตราส่วน 25:24:1 โดยปริมาตร) ปริมาตรเท่ากับสารละลายในหลอด ผสมให้เข้ากัน นำไปปั่นให้วิ่งที่ความเร็ว 12000 รอบต่อนาที นาน 5 นาที จากนั้นดูดสารละลายชั้นบนใส่ในหลอดใหม่ แล้วเติมสารละลายคลอโรฟอร์ม :

ไอโซเอมิล อัลกออล (อัตราส่วน 24:1 โอดิปริมาตร) ปริมาตรเท่ากับสารละลายที่ดูดมา ผสมให้เข้ากัน นำไปปั่นให้วายที่ความเร็ว 12000 รอบต่อนาที นาน 5 นาที ดูดสารละลายชั้นบนลงในหลอดใหม่ แล้วเติม isopropanol ปริมาตร 0.6 เท่าของสารละลายที่ดูดมา ผสมให้เข้ากันโดยการกลับหัวท้ายหลอด จากนั้นนำไปปั่นให้วายที่ความเร็ว 12000 รอบต่อนาที นาน 5 นาที ทำการล้างตะกอนดีเอ็นเอด้วย TE buffer pH 8.0 ที่มี DNase free pancreatic RNase ความเข้มข้น 20 ไมโครกรัมต่อมิลลิลิตร เก็บรักษาที่อุณหภูมิ -20 องศาเซลเซียส

#### 1.1.3 การเพิ่มปริมาณชีนดีเอ็นเอด้วยเทคนิคพีซีอาร์

หลังจากที่ทำการสกัดดีเอ็นเอจิโนมจากเชื้อแบคทีเรีย *Burkholderia cepacia* นำมาทำการเพิ่มปริมาณ โดยเทคนิคพีซีอาร์ ซึ่งในปฏิกริยาพีซีอาร์ประกอบด้วยบีฟเฟอร์ Pfx amplification ความเข้มข้น 1X, dNTPs ความเข้มข้น 0.3 มิลลิโมลาร์, magnesium sulfate ความเข้มข้น 1 มิลลิโมลาร์, ไพรเมอร์ Exp1 และ Exp2 ความเข้มข้น 0.3 ไมโครโมลาร์, ดีเอ็นเอแม่แบบ (ดีเอ็นเอจิโนมที่สกัดจากเชื้อแบคทีเรีย *Burkholderia cepacia* ในข้อ 1.1.2) ความเข้มข้น 19 นาโนกรัมต่อไมโครกรัม และเงิน ไซม์ Platinum Pfx DNA polymerase 2.5 ยูนิต ในปริมาตรดูดท้าย 50 ไมโครกรัม

โดยสภาวะในการทำปฏิกริยาดังนี้

เริ่มต้นที่	95 องศาเซลเซียส	5 นาที	
- deuaturation	95 องศาเซลเซียส	1 นาที	
- annealing	55 องศาเซลเซียส	1 นาที	
- extension	72 องศาเซลเซียส	1 นาที	
- post extension	72 องศาเซลเซียส	10 นาที	
			30 รอบ

#### 1.1.4 การแยกวิเคราะห์ดีเอ็นเอด้วยเทคนิคของการโรสเจลอิเล็กโทรฟอเรซิส

(Agarose Gel Electrophoresis)

หลังจากที่ทำการเพิ่มปริมาณดีเอ็นเอด้วยเทคนิคพีซีอาร์แล้ว นำมาทำการแยกวิเคราะห์ด้วยเทคนิคของการโรสอิเล็กโทรฟอเรซิส โดยเตรียมเจลอะกาโรสความเข้มข้น 2 เปอร์เซ็นต์ แล้วละลายเจลอะกาโรสในบีฟเฟอร์ TAE pH 8.0 ด้วยความร้อน จากนั้นทำให้เย็นลง ที่อุณหภูมิ 55 องศาเซลเซียส เทเจลอะกาโรสลงในถาดเจล ทิ้งให้เจลแข็งตัวที่อุณหภูมิห้อง จากนั้นผสมสารละลายดีเอ็นเอกับ 6X loading buffer ในอัตราส่วน 5 ต่อ 1 ยอดสารละลายดีเอ็นเอที่ผสมกับ loading buffer ในหลุมของเจลอะกาโรส และใช้ 100 bp DNA ladder เป็นดีเอ็นเอมาตรฐาน

ทำอิเล็กโโทร ไฟเรซิสที่ความต่างศักย์ไฟฟ้า 80 โวลต์ นาน 80-90 นาที ข้อมูลด้วยสารละลาย ethidium bromide ความเข้มข้น 0.5 ไมโครกรัมต่อมิลลิลิตร นาน 15 นาที แล้วถ่ายแผ่นเจลด้วยน้ำกลั่นปราศจากเชื้อและเอนไซม์ DNase นาน 10 นาที ตรวจดูແฉบดีเอ็นเอภายในเจลตัวน้ำ

### 1.1.5 การแยกดีเอ็นเอให้บริสุทธิ์จากเจลอะกาโรสโดยใช้ชุดสกัดดีเอ็นเอสำเร็จรูป QIAquick Gel Extraction (Qiagen, Germany)

หลังจากที่ทำการแยกดีเอ็นเอด้วยเทคนิคอะกาโรสโดยตรวจดูແฉบดีเอ็นเอในแผ่นเจลอะกาโรสภายใต้แสงอัลตราไวโอเลต จากนั้นใช้ใบมีดที่สะอาดปราศจากเชื้อและเอนไซม์ DNase ตัดเจลบริเวณที่มีແฉบดีเอ็นเอที่ต้องการใส่ลงในหลอดไมโครเซนทริฟิวจ์ที่ทราบน้ำหนัก นำไปซั่งน้ำหนักเพื่อหาน้ำหนักเจล ทำการแยกบริสุทธิ์ดีเอ็นเอตามวิธีในคู่มือของ QIAquick Gel Extraction kit (QIAGEN, Germany) โดยเติมน้ำฟเฟอร์ QG ในปริมาตร 3 เท่าของน้ำหนักเจล นำไปบ่มที่อุณหภูมิ 50 องศาเซลเซียส นาน 10 นาที หรือจนกระทั่งเจลละลายหมดแล้วดูดของเหลวทั้งหมดใส่ใน QIAquick spin column ที่อยู่ในหลอดเก็บสารละลายขนาด 2 มิลลิลิตร นำไปปั่นให้ยิ่งที่ความเร็ว 12000 รอบต่อนาที นาน 1 นาที แล้วเทของเหลวในหลอดทึบเติมน้ำฟเฟอร์ QG ปริมาตร 0.5 มิลลิลิตร นำไปปั่นให้ยิ่งอีกครั้ง ทุกๆ 10 นาที นำไปปั่นให้ยิ่งอีกครั้ง จนกว่า QIAquick spin column จะแห้ง ใส่ในหลอดไมโครเซนทริฟิวจ์หลอดใหม่ เติมน้ำฟเฟอร์ EB ปริมาตร 0.75 มิลลิลิตร ตั้งทิ้งไว้ 2-5 นาที แล้วนำนำไปปั่นให้ยิ่งเทของเหลวทึบ นำไปปั่นให้ยิ่งอีกครั้ง จนกว่า QIAquick spin column จะแห้ง นำไปปั่นให้ยิ่งอีกครั้ง ทุกๆ 10 นาที นำไปปั่นให้ยิ่งนาน 1 นาที เก็บสารละลายดีเอ็นเอที่อุณหภูมิ -20 องศาเซลเซียส

### 1.1.6 การเชื่อมต่อชิ้นส่วนดีเอ็นเอเข้ากับดีเอ็นเอพาหะโดยวิธีสำเร็จรูปโดยใช้ Zero Blunt PCR Cloning (Invitrogen, USA) สำหรับชิ้นส่วนดีเอ็นเอที่ได้จากการเพิ่มปริมาณด้วยเอนไซม์ Platinum Pfx DNA polymerase

หลังจากที่ทำการแยกชิ้นดีเอ็นเอให้บริสุทธิ์แล้ว ทำการเชื่อมต่อชิ้นเข้ากับดีเอ็นเอพาหะสำเร็จรูป เนื่องจากชิ้นดีเอ็นเอที่ได้จากการเพิ่มปริมาณด้วยวิธีพิช้อร์นนั้นจะใช้เอนไซม์ Platinum Pfx DNA polymerase ในการเพิ่มจำนวน ทำให้ชิ้นดีเอ็นเอที่ได้มีลักษณะปลายทุ่งจึงต้องทำการเชื่อมชิ้นดีเอ็นเอเข้ากับดีเอ็นเอพาหะที่มีลักษณะปลายทู่ด้วย ดังนั้นจึงใช้พลาสมิด pCR Blunt เป็นดีเอ็นเอพาหะ โดยนำชิ้นส่วนดีเอ็นเอดังกล่าวมาเชื่อมเข้ากับพลาสมิด pCR Blunt ตามวิธีในคู่มือของ Zero Blunt PCR Cloning kit (Invitrogen, USA) โดยในปฏิกริยาการเชื่อมต่อประกอบด้วยพลาสมิด pCR Blunt ความเข้มข้น 25 นาโนกรัมต่อมิโครลิตร ปริมาตร 1 ไมโครลิตร ชิ้นส่วนดีเอ็นเอพาหะที่ได้จากการเพิ่มปริมาณด้วยวิธีพิช้อร์น ปริมาตร 1 ไมโครลิตร บัฟเฟอร์สำหรับเชื่อมต่อที่มีอะดินนิวคลีโอไทด์-

ไตรฟอสเฟต (ligation buffer with ATP) ความเข้มข้น 1X, น้ำกัลล์ปราศจากเชื้อและเอนไซม์ DNase ปริมาตร 6 ไมโครลิตร และเอนไซม์ T4 DNA ligase 4 ยูนิต ในปริมาตรสุดท้าย 10 ไมโครลิตร ผสมให้เข้ากัน โดยใช้ในโครปีเปตดูดขึ้นลงเบาๆ แล้วนำไปบ่มที่อุณหภูมิ 16 องศาเซลเซียส ทิ้งไว้ข้ามคืน

#### 1.1.7 การถ่ายโอนรีคอมบิแนนท์พลาสมิดเข้าสู่เซลล์เจ้าบ้านโดยใช้ One Shot TOP10 Chemically Competent *E. coli* (Invitrogen, USA)

หลังจากที่ทำการเชื่อมต่อชิ้นดีเอ็นเอเข้ากับพลาสมิด pCR Blunt แล้ว ทำการถ่ายโอนรีคอมบิแนนท์พลาสมิดที่ได้เข้าสู่เซลล์เจ้าบ้านโดยใช้เชื้อ *E. coli* stain TOP10 เป็นเซลล์เจ้าบ้าน เพื่อทำการเพิ่มจำนวนของรีคอมบิแนนท์พลาสมิด โดยละลายเซลล์เจ้าบ้าน One Shot TOP10 Chemically Competent *E. coli* ปริมาตร 50 ไมโครลิตรบนน้ำแข็ง จากนั้นเติมรีคอมบิแนนท์พลาสมิดที่เตรียมได้จากข้อ 1.1.5 ปริมาตร 10 ไมโครลิตร ผสมให้เข้ากันโดยใช้ในโครปีเปตคนเบาๆ นำไปแช่น้ำแข็งนาน 30 นาที ขยับไปบ่มที่อุณหภูมิ 42 องศาเซลเซียส นาน 45 วินาที แล้วนำไปแช่ในน้ำแข็งทันที 2 นาที เติมอาหารเหลว LB ปริมาตร 250 ไมโครลิตร บ่มที่อุณหภูมิ 37 องศาเซลเซียส เขย่าที่ความเร็ว 225 รอบต่อนาที นาน 2 ชั่วโมง นำเชื้อที่ได้เกลี่ยลงบนอาหารแข็ง LB ที่มียาปฏิชีวนะกำกับมายชนิดความเข้มข้น 50 ไมโครกรัมต่อมิลลิลิตร บ่มที่อุณหภูมิ 37 องศาเซลเซียส ทิ้งไว้ข้ามคืน

#### 1.1.8 การสักดพลาสมิดจากการรีคอมบิแนนท์โคลนโดยวิธี Rapid Alkaline Extraction (Sambrook *et al.*, 1989)

หลังจากที่ทำการถ่ายโอนรีคอมบิแนนท์พลาสมิดเข้าสู่เชื้อ *E. coli* stain TOP10 เพื่อเพิ่มปริมาณรีคอมบิแนนท์พลาสมิดแล้ว จากนั้นทำการสักดพลาสมิดนี้ไปใช้ในการโคลนเข้าสู่พลาสมิดอกรากจากเชื้อ *E. coli* stain TOP10 เพื่อนำรีคอมบิแนนท์พลาสมิดนี้ไปใช้ในการโคลนเข้าสู่พลาสมิด pGEX 4T-2 โดยนำทรายส์ฟอร์แมนท์ (transformant) ที่มีรีคอมบิแนนท์พลาสมิด pCR Blunt ที่มียีนที่สร้างเอนไซม์เมทิลฟาราไซดอนไฮโครเลสماเพาะเลี้ยงในอาหารเหลว LB ปริมาตร 20 มิลลิลิตร ที่มียาปฏิชีวนะแอมพิซิลลิน ความเข้มข้น 100 ไมโครกรัมต่อมิลลิลิตร บ่มที่อุณหภูมิ 37 องศาเซลเซียส เขย่าที่ความเร็ว 200 รอบต่อนาที นาน 16-18 ชั่วโมง ตกตะกอนเซลล์โดยแบ่งเชื้อใส่หลอดไมโครเซนติทริฟิวจ์ แล้วปั่นให้ว่องที่ความเร็ว 12000 รอบต่อนาที นาน 2 นาที จากนั้นเทส่วนใสทิ้ง เติมเซลล์ที่ยังเหลืออยู่ลงในหลอดไมโครเซนติทริฟิวจ์หลอดเดิม ปั่นให้ว่อง ตกตะกอนเซลล์จนกระทั่งเซลล์หมด จากนั้นล้างตะกอนเซลล์ด้วย GTE buffer ปริมาตร 1 มิลลิลิตร จำนวน 2 ครั้ง ละลายตะกอนเซลล์ด้วย GTE buffer ปริมาตร 50 ไมโครลิตร ผสมให้เข้ากัน ทำให้เซลล์แตกโดยเติมสารละลาย alkaline SDS ปริมาตร 200 ไมโครลิตร ผสมให้เข้ากันโดย

การกลับหัวท้ายหลอดอย่างเบาๆ นำไปแช่ในน้ำแข็งนาน 10 นาที เติมสารละลายน้ำ acetate ความเข้มข้น 3 มิลลิตร พีเอช 4.8 ปริมาตร 150 ไมโครลิตร แล้วแช่น้ำแข็งต่ออีก 5 นาที ปั่นเหวี่ยงตกรตะกอนที่ความเร็ว 12000 รอบต่อนาที นาน 5 นาที แล้วดูดสารละลายใส่ขั้นบนใส่ในหลอดใหม่ทำการกำจัดโปรตีนและเศษเซลล์โดยเติมสารละลาย phenol : chloroform : isoamyl alcohol (อัตราส่วน 25:24:1 โดยปริมาตร) ปริมาตร 400 ไมโครลิตร ผสมให้เข้ากันด้วยการกลับหัวท้ายหลอดอย่างเบา นำไปปั่นเหวี่ยงตกรตะกอนที่ความเร็ว 12000 รอบต่อนาที นาน 5 นาที จากนั้นดูดสารละลายขั้นบนใส่ลงในหลอดใหม่ ทำการกำจัด phenol ส่วนเกินโดยเติม chloroform : isoamyl alcohol (อัตราส่วน 24:1 โดยปริมาตร) ปริมาตร 400 ไมโครลิตร ผสมให้เข้ากันด้วยการกลับหัวท้ายหลอดอย่างเบา นำไปปั่นเหวี่ยงตกรตะกอนที่ความเร็ว 12000 รอบต่อนาที นาน 5 นาที จากนั้นดูดสารละลายขั้นบนใส่ในหลอดใหม่ ทำการกำจัด phenol ส่วนเกินโดยเติม chloroform : isoamyl alcohol (อัตราส่วน 24:1 โดยปริมาตร) ปริมาตร 400 ไมโครลิตร ผสมให้เข้ากันด้วยการกลับหัวท้ายหลอดอย่างเบา นำไปปั่นเหวี่ยงตกรตะกอนที่ความเร็ว 12000 รอบต่อนาที นาน 5 นาที ทำการตกรตะกอนดีเย็นโดยเติมเออทารานอลความเข้มข้น 95 เปอร์เซ็นต์ ในปริมาตรที่เป็น 2 เท่าของสารละลาย นำไปบ่มที่อุณหภูมิ -20 องศาเซลเซียส นาน 3 ชั่วโมง นำไปปั่นเหวี่ยงตกรตะกอนที่ความเร็ว 12000 รอบต่อนาที นาน 5 นาที เทส่วนใส่ทึบ ล้างตะกอนดีเย็นโดยเติมเออทารานอลความเข้มข้น 70 เปอร์เซ็นต์ ปริมาตร 1 มิลลิลิตร นำไปปั่นเหวี่ยงตกรตะกอนที่ความเร็ว 12000 รอบต่อนาที นาน 5 นาที เทส่วนใส่ทึบ ทำให้ตะกอนดีเย็นเออแห้งด้วยเครื่องดูดความชื้นสูญญากาศ ทำการละลายตะกอนดีเย็นโดยด้วย TE buffer pH 8.0 ปริมาตร 100 ไมโครลิตร เก็บที่อุณหภูมิ -20 องศาเซลเซียสจนกว่าจะนำไปใช้

#### 1.1.9 การตัดดีเย็นโดยด้วยเอนไซม์ตัดจำเพาะ *BamHI* และ *XhoI*

หลังจากที่ทำการเพิ่มปริมาณรีคอมบิแนนท์พลาสมิด และทำการสกัดรีคอมบิแนนท์พลาสมิดออกจากเชื้อ *E. coli* stain TOP10 แล้ว ทำการตัดชิ้นดีเย็นเอาในส่วนของยีนที่สร้างเอนไซม์เมทัลโลราเชียโนนไอกอเรส ออกจากรีคอมบิแนนท์พลาสมิดด้วยเอนไซม์ตัดจำเพาะ *BamHI* โดยผสมสารละลายให้เข้ากัน จากนั้นนำไปบ่มที่อุณหภูมิ 37 องศาเซลเซียส ทึบไว้ชั่วคราว แล้วหดปฎิกริยาของเอนไซม์ตัดจำเพาะ *BamHI* โดยบ่มที่อุณหภูมิ 65 องศาเซลเซียส นาน 20 นาที จากนั้นนำพลาสมิดที่ถูกตัดด้วยเอนไซม์ตัดจำเพาะ *BamHI* มาตัดอีกครั้งด้วยเอนไซม์ตัดจำเพาะ *XhoI* โดยผสมสารละลายให้เข้ากัน แล้วบ่มที่อุณหภูมิ 37 องศาเซลเซียส นาน 2 ชั่วโมง แล้วหดปฎิกริยาของเอนไซม์ตัดจำเพาะ *XhoI* โดยบ่มที่อุณหภูมิ 65 องศาเซลเซียส นาน 20 นาที จากนั้นทำการแยกวิเคราะห์ดีเย็นเออโดยเทคนิคของการโซเจลオリจิกโทริฟเรชิสโดยใช้ 1 kb DNA ladder เป็นดีเย็นมาตรฐาน

**1.1.10 การแยกดีเอ็นเอให้บริสุทธิ์จากเจลอะก้าโรสโดยใช้ชุดสกัดดีเอ็นเอสำเร็จรูป QIAquick Gel Extraction (Qiagen, Germany)**

นำชิ้นส่วนของดีเอ็นเอที่ผ่านการตัดด้วยเอนไซม์ตัดจำเพาะ *BamHI* และ *XhoI* แล้วมาทำการแยกวิเคราะห์ดีเอ็นเอโดยเทคนิคอะก้าโรสเจลオリเอ็กท์โพรไฟเรซิส จากนั้นสกัดชิ้นส่วนของดีเอ็นเอออกจากเจลอะก้าโรส โดยดำเนินการเช่นเดียวกับข้อ 1.1.4 และข้อ 1.1.5

**1.2 การเตรียมพลาสมิด pGEX-4T-2**

**1.2.1 การสกัดพลาสมิด pGEX-4T-2**

หลังจากที่ทำการเตรียมชิ้นส่วนดีเอ็นเอที่จะใช้ในการโคลนแล้ว จะต้องทำการเตรียมพลาสมิดที่จะใช้ในการโคลนด้วย โดยทำการสกัดพลาสมิด pGEX-4T-2 ออกจากเชื้อ *E. coli* DH5 $\alpha$  ที่ใช้เพิ่มปริมาณของพลาสมิด โดยนำเชื้อ *E. coli* DH5 $\alpha$  ที่มีพลาสมิด pGEX-4T-2 ที่สามารถเจริญอยู่บนอาหารแข็ง LB ที่มียาปฏิชีวนะแอมพิซิลินความเข้มข้น 100 ไมโครกรัมต่อมิลลิลิตร มาเพาะเลี้ยงในอาหารเหลว LB ที่มียาปฏิชีวนะความเข้มข้น 100 ไมโครกรัมต่อมิลลิลิตร ปริมาตร 20 มิลลิลิตร ที่อุณหภูมิ 37 องศาเซลเซียส เขย่าที่ความเร็ว 200 รอบต่อนาที นาน 12-18 ชั่วโมง และทำการสกัดพลาสมิดเช่นเดียวกับวิธีในข้อ 1.1.8

**1.2.2 การตัดพลาสมิด pGEX-4T-2 ด้วยเอนไซม์ตัดจำเพาะ *BamHI* และ *XhoI***

หลังจากที่ทำการสกัดพลาสมิด pGEX-4T-2 นำมาแยกวิเคราะห์ดีเอ็นเอโดยเทคนิคอะก้าโรสเจลオリเอ็กท์โพรไฟเรซิส เพื่อตรวจสอบพลาสมิด pGEX-4T-2 ที่สกัดได้ จากนั้นทำการตัดพลาสมิดด้วยเอนไซม์ตัดจำเพาะ *BamHI* และ *XhoI* โดยดำเนินการเช่นเดียวกับวิธีในข้อ 1.1.9

**1.2.3 การแยกดีเอ็นเอให้บริสุทธิ์จากเจลอะก้าโรสโดยวิธีสกัดดีเอ็นเอสำเร็จรูป QIAquick Gel Extraction**

ชิ้นส่วนของพลาสมิด pGEX-4T-2 หลังจากที่ผ่านการตัดด้วยเอนไซม์ตัดจำเพาะ *BamHI* และ *XhoI* แล้ว นำมาแยกวิเคราะห์ดีเอ็นเอโดยเทคนิคอะก้าโรสเจลオリเอ็กท์โพรไฟเรซิส จากนั้นทำการสกัดชิ้นส่วนของพลาสมิดออกจากเจลอะก้าโรส โดยดำเนินการเช่นเดียวกับวิธีในข้อ 1.1.4 และข้อ 1.1.5

**1.3 การเตรียมรีคอมบิเนนท์ดีเอ็นเอ**

หลังจากที่เตรียมชิ้นส่วนของยีนที่สร้างเอง ไซม์เมทริกพาราไซด์เรลส และชิ้นส่วนของพลาสมิด pGEX-4T-2 แล้ว ทำการเชื่อมชิ้นดีเอ็นเอทั้ง 2 เข้าด้วยกัน โดยทำการผสมสารละลายที่ใช้ในการทำปฏิกิริยาดังต่อไปนี้

Insert : vector (10:1)	11.0	ไม่โครลิตร
buffer (10x)	2.0	ไม่โครลิตร
เอนไซม์ T4 DNA ligase	2.0	ไม่โครลิตร
Sterile DDW	<u>5.0</u>	ไม่โครลิตร
ปริมาณรวม	<u>20.0</u>	ไม่โครลิตร
ผสมให้เข้ากัน แล้วบ่มที่อุณหภูมิ 10 องศาเซลเซียส ทิ้งไว้ข้ามคืน		

#### 1.4 การถ่ายโอนรีคอมบิแนนท์ดีเอ็นเอเข้าสู่เซลล์เจ้าบ้าน *E. coli* DH5α

(Sambrook *et al.*, 1989)

หลังจากที่ทำการเตรียมรีคอมบิแนนท์พลาสมิด pGEX-4T-2 ที่มียีนที่สร้างเอนไซม์เมทัลฟาราไซโตรอนไอกอโรเลสแล้ว ทำการถ่ายโอนรีคอมบิแนนท์พลาสมิดนี้ เข้าสู่เซลล์เจ้าบ้าน *E. coli* DH5α เพื่อเพิ่มปริมาณรีคอมบิแนนท์พลาสมิด โดยนำเชื้อ *E. coli* DH5α ที่สามารถเจริญอยู่บนอาหารแข็ง LB มาเพาะเลี้ยงในอาหารเหลว LB ปริมาณ 20 มิลลิลิตร บ่มที่อุณหภูมิ 37 องศาเซลเซียส เบื้องต้นที่ความเร็ว 200 รอบต่อนาที ทิ้งไว้ข้ามคืน ทำการตักตะกอนเซลล์โดยการถ่ายเชือลลงในหลอดเซนติพิวช์แล้วนำไปปั่นให้วุ่นที่ความเร็ว 4000 รอบต่อนาที ที่อุณหภูมิ 4 องศาเซลเซียส นาน 10 นาที เทส่วนใสทิ้ง ล้างตะกอนเซลล์ด้วยสารละลายแคลเซียมคลอไรด์ (calcium chloride) ความเข้มข้น 0.1 โมลาร์ ปริมาณ 5 มิลลิลิตร จำนวน 2 ครั้ง ปั่นให้วุ่น ตักตะกอนเซลล์ที่ความเร็ว 4000 รอบต่อนาที จากนั้นเทส่วนใสทิ้ง ทำการเตรียม competent cell โดยละลายตะกอนเซลล์ด้วยสารละลายแคลเซียมคลอไรด์ความเข้มข้น 0.1 โมลาร์ ปริมาณ 1 มิลลิลิตร แบ่งเซลล์ใส่หลอด ไม่โครเซนติพิวช์ ปริมาตรหลอดละ 200 ไม่โครลิตร เติมรีคอมบิแนนท์พลาสมิด pGEX-4T-2 ที่มียีนที่สร้างเอนไซม์เมทัลฟาราไซโตรอนไอกอโรเลส ปริมาณ หลอดละ 10 ไม่โครลิตร นำไปแช่ในน้ำแข็งนาน 30 นาที จากนั้นนำไปบ่มที่อุณหภูมิ 42 องศาเซลเซียส นาน 3 นาที แล้วนำไปแช่ในน้ำแข็งต่อเป็นเวลา 2 นาที เติมอาหารเหลว LB ปริมาณ 1 มิลลิลิตร บ่มในเครื่องแข็งเย่าที่ควบคุมอุณหภูมิ 37 องศาเซลเซียส นาน 2 ชั่วโมง จากนั้นทำการเกลี่ยเซลล์ที่ได้ปริมาณ 100 ไม่โครลิตร ลงบนอาหารแข็ง LB ที่มียาปฏิชีวนะแอมพิซิลลิน ความเข้มข้น 100 ไม่โครกรัมต่อมิลลิลิตร นำไปบ่มที่อุณหภูมิ 37 องศาเซลเซียส นาน 16-18 ชั่วโมง

### 1.5 การถ่ายโอนรีคอมบิแนนท์ดีเอ็นเอเข้าสู่เซลล์เจ้าบ้าน *E. coli* BL21 ที่เหมาะสมใน การผลิตโปรตีน (Expression host)

หลังจากทำการถ่ายโอนรีคอมบิแนนท์พลาสมิด pGEX-4T-2 ที่มียีนที่สร้าง เอ็นไซม์เมทชิลพาราไธอ่อนไ索โครเลส เข้าสู่เซลล์เจ้าบ้าน *E. coli* DH5α เพื่อเพิ่มปริมาณ รีคอมบิแนนท์พลาสมิดแล้ว จากนั้นทำการตรวจสอบทราบส์ฟอร์แมนท์ที่ได้โดยวิธี restriction enzyme analysis ด้วยเอนไซม์ตัดจำเพาะ *BamHI* และ *XhoI* และวิธีทดสอบกิจกรรมของเอนไซม์ เมทชิลพาราไธอ่อนไ索โครเลสโดยวิธี microtiter plate activity assay ที่สามารถย่อยสลาย เมทชิลพาราไธอ่อนได้ จากนั้นทำการสกัดรีคอมบิแนนท์พลาสมิดจากรีคอมบิแนนท์โคลนที่ทำการ ตรวจสอบแล้วตามวิธีเช่นเดียวกับวิธีในข้อ 1.1.8 และทำการถ่ายโอนรีคอมบิแนนท์พลาสมิดนี้เข้า สู่เซลล์เจ้าบ้าน *E. coli* BL21

## 2. การทำการตรวจสอบทราบส์ฟอร์แมนท์ (transformants)

หลังจากทำการถ่ายโอนรีคอมบิแนนท์พลาสมิด pGEX-4T-2 ที่มียีนที่สร้างเอนไซม์ เมทชิลพาราไธอ่อนไ索โครเลส เข้าสู่เซลล์เจ้าบ้านแล้ว ทำการตรวจสอบทราบส์ฟอร์แมนท์ที่ได้ โดยวิธีดังต่อไปนี้

### 2.1 การตรวจสอบทราบส์ฟอร์แมนท์ด้วยวิธี Restriction Enzyme Analysis

ทำการตรวจสอบทราบส์ฟอร์แมนท์ที่ได้ด้วยวิธี restriction enzyme analysis โดย ทำการสกัดรีคอมบิแนนท์พลาสมิด pGEX-4T-2 ที่มียีนที่สร้างเอนไซม์เมทชิลพาราไธอ่อน- ไ索โครเลสจากทราบส์ฟอร์แมนท์ โดยการดำเนินการเช่นเดียวกับวิธีในข้อ 1.1.8 และทำการตัด รีคอมบิแนนท์พลาสมิดที่สกัดได้โดยใช้เอนไซม์ตัดจำเพาะ *BamHI* และ *XhoI* เช่นเดียวกับวิธีในข้อ 1.1.9

### 2.2 การตรวจสอบทราบส์ฟอร์แมนท์ด้วยการทดสอบกิจกรรม (activity) ของเอนไซม์ เมทชิลพาราไธอ่อนไ索โครเลส ด้วยวิธี Microtiter Plate Activity Assay

ทำการตรวจสอบทราบส์ฟอร์แมนท์ที่ได้ด้วยวิธีทดสอบกิจกรรมของเอนไซม์ เมทชิลพาราไธอ่อนไ索โครเลสโดยวิธี microtiter plate activity assay ที่สามารถย่อยสลายเมทชิล- พาราไธอ่อนได้ โดยนำสารละลายที่ต้องการทดสอบใส่ใน substrate mixture (เมทชิลพาราไธอ่อน ความเข้มข้น 50 ไมโครกรัมต่อมิลลิลิตร, Tris-HCl pH 8.5 ความเข้มข้น 25 มิลลิโมลาร์ และ tritonX-100 ความเข้มข้น 0.1 เบอร์เซ็นต์) ปริมาตร 100 ไมโครลิตร ใส่ลงใน microtiter plate และ ใช้ไม้มีจิ้มพินปราศจากเชื้อจุลินทรีย์เชี่ยวโคลนีของเชื้อรีคอมบิแนนท์ที่ต้องการทดสอบใส่ลงใน microtiter plate และนำสารละลายไปวัดค่าการดูดกลืนแสงด้วยเครื่อง microplate reader

(Spectronic, UK) ที่ความยาวคลื่น 410 นาโนเมตร ซึ่งจะวัด substrate mixture ที่เปลี่ยนสีจากสีเหลืองอ่อนๆ เป็นสีเหลืองเข้ม โดยเปรียบเทียบกับตัวควบคุม (negative control คือ microtiter plate ที่มีเฉพาะ substrate mixture เพียงอย่างเดียว และ positive control คือ microtiter plate ที่มี substrate mixture และโคโลนีของเชื้อ *Burkholderia cepacia* ที่สามารถย่อยสลายยาฆ่าแมลง เมทัลฟารา-ไซโอน) พร้อมทั้งทำการตั้งชื่อให้รีคอมบิแนนท์โคลนที่ทดสอบแล้วโดยใช้ DpGT คือ *E. coli* DH5 $\alpha$  :: pGEX-4T-2 ที่มีชิ้นส่วนของยีนที่สร้างเอนไซม์เมทัลฟารา-ไซโอนไวโอด्रเลส และ BpGT คือ *E. coli* BL21 :: pGEX-4T-2 ที่มีชิ้นส่วนของยีนที่สร้างเอนไซม์เมทัลฟารา-ไซโอนไวโอดรเลส

### 3. การผลิตรีคอมบิแนนท์เอนไซม์เมทัลฟารา-ไซโอนไวโอดรเลส

หลังจากที่ทำการโคลนยีนที่สร้างเอนไซม์เมทัลฟารา-ไซโอนไวโอดรเลส เข้าสู่ *E. coli* BL21 ซึ่งเป็นเซลล์เจ้าบ้านที่เหมาะสมสำหรับการผลิตโปรตีนแล้ว จากนั้นทำการผลิตรีคอมบิแนนท์โคลน BpGT ที่ได้รับการตรวจสอบแล้ว มาเลี้ยงบนอาหารแข็ง LB ที่มียาปฏิชีวนะแอมพิซิลินความเข้มข้น 100 ไมโครกรัมต่อมิลลิลิตร จากนั้นนำมาเพาะเลี้ยงต่อในอาหารเหลว LB ที่มียาปฏิชีวนะแอมพิซิลินความเข้มข้น 100 ไมโครกรัมต่อมิลลิลิตร ปริมาตร 20 มิลลิลิตร บ่มที่อุณหภูมิ 37 องศาเซลเซียส เบี่ยงที่ความเร็ว 200 รอบต่อนาที นาน 16-18 ชั่วโมง เพื่อใช้เป็นกล้าเชื้อเริ่มต้น (start culture) จากนั้นถ่ายกล้าเชื้อเริ่มต้นที่มีค่าการดูดกลืนแสงที่ความยาวคลื่น 600 นาโนเมตร ประมาณ 1 OD ใส่ในอาหารเหลว LB ที่มียาปฏิชีวนะแอมพิซิลินความเข้มข้น 100 ไมโครกรัมต่อมิลลิลิตร ปริมาตร 500 มิลลิลิตร บ่มที่อุณหภูมิ 37 องศาเซลเซียส เบี่ยงที่ความเร็ว 200 รอบต่อนาที นาน 3-4 ชั่วโมง หรือจนกระทั่งมีค่าการดูดกลืนแสงของเซลล์ที่ความยาวคลื่น 600 นาโนเมตร ประมาณ 0.3-0.4 OD จากนั้นทำการเติม IPTG ให้มีความเข้มข้น 0.1-0.5 มิลลิโนลต์ต่อมิลลิลิตร และเลี้ยงต่ออีก 5-6 ชั่วโมง

### 4. การแยกบริสุทธิ์รีคอมบิแนนท์เอนไซม์เมทัลฟารา-ไซโอนไวโอดรเลส

#### 4.1 การผลิตรีคอมบิแนนท์เอนไซม์เมทัลฟารา-ไซโอนไวโอดรเลส จากโคลน BpGT

หลังจากที่ทำการผลิตรีคอมบิแนนท์เอนไซม์เมทัลฟารา-ไซโอนไวโอดรเลสแล้ว ทำการเก็บเซลล์โดยปั่นตกรตะกอนเซลล์ของแบคทีเรียที่ความเร็ว 8000 รอบต่อนาที (JR 25.5, BECKMAN) ที่อุณหภูมิ 4 องศาเซลเซียส นาน 10 นาที ทำการล้างและละลายตะกอนเซลล์ด้วยบัฟเฟอร์ฟอสเฟตความเข้มข้น 0.05 โนลต์ต่อลิตร ที่พีเอช 8 ปริมาตร 50 มิลลิลิตร จากนั้นทำการแตกเซลล์ด้วย fence pressure cell ให้มีอัตราการไหลของตัวอย่าง 15-20 หยดต่อนาที และควบคุมให้มีแรงดันภายในเครื่องคงที่ที่ 1,500 ปอนด์ นำเซลล์ที่ผ่านการแตกเซลล์แล้วไปปั่นแยก

ส่วนตะกอนกับส่วนของเหลวที่ความเร็ว 12,000 รอบต่อนาที (JR 25.5, BECKMAN) ที่อุณหภูมิ 4 องศาเซลเซียส นาน 20 นาที ในกรณีที่ยังไม่ trademarks ต่อทันทีให้แยกเก็บส่วนใสและส่วนตะกอนไว้ที่ อุณหภูมิ -20 องศาเซลเซียส นำไปปรตีนทั้งส่วนตะกอนและส่วนของเหลวไปแยกวิเคราะห์ปรตีนด้วยเทคนิค SDS-polyacrylamide gel electrophoresis, หาปริมาณปรตีนโดยวิธีของ Bradford และหาค่ากิจกรรมของเอนไซม์เมทธิลพาราไนโซนไฮโดรเลส

#### 4.2 การละลายปรตีนด้วยญี่รี่

หลังจากที่ทำการแยกเซลล์ และปั่นเหวี่ยงเพื่อแยกตะกอนปรตีนแล้ว หลังจากที่ นำตัวอย่างของปรตีนทั้งส่วนใส และส่วนตะกอนไปแยกวิเคราะห์ปรตีนด้วยเทคนิค SDS-polyacrylamide gel electrophoresis, หาปริมาณปรตีนโดยวิธีของ Bradford และหาค่ากิจกรรมของ เอนไซม์เมทธิลพาราไนโซนไฮโดรเลส พบว่าปรตีนส่วนใหญ่จะอยู่ในรูปตะกอน จึงนำปรตีนใน ส่วนตะกอนมาทำการละลายด้วย PBS buffer pH 7.4 ที่มีญี่รี่ (urea) ความเข้มข้น 8 มอลาร์ (8 M urea, 50 mM PBS buffer pH 7.4, 1 mM DTT) ปริมาตร 20 มิลลิลิตร โดยใช้ปลายปีเปตคนเบ้าๆ แล้วบ่มที่อุณหภูมิห้องนาน 1 ชั่วโมง จากนั้นทำการปั่นตกรตะกอนเพื่อแยกส่วนที่ไม่ละลาย ที่ความเร็ว 12,000 รอบต่อนาที (JR 25.5, BECKMAN) ที่อุณหภูมิ 4 องศาเซลเซียส นาน 20 นาที ในกรณีที่ยังไม่ trademarks ต่อทันทีให้แยกเก็บส่วนใสไว้ที่ -20 องศาเซลเซียส นำไปปรตีนส่วนของเหลว ที่ได้ไปแยกวิเคราะห์ปรตีนด้วยเทคนิค SDS-polyacrylamide gel electrophoresis, หาปริมาณปรตีนโดยวิธีของ Bradford และหาค่ากิจกรรมของเอนไซม์เมทธิลพาราไนโซนไฮโดรเลส

#### 4.3 การทำไดอะไลซิส

หลังจากที่ทำการละลายตะกอนของปรตีนด้วยญี่รี่ และปั่นเหวี่ยงตกรตะกอนเพื่อ แยกเศษเซลล์ที่ไม่ละลายออกแล้ว นำปรตีนส่วนของเหลวที่ได้มาทำไดอะไลซิส (dialysis) เพื่อ กำจัดญี่รี่ออก ทำให้ปรตีนเกิดการ refold โดยเทส่วนของเหลวใส่ลงในถุงสำหรับทำไดอะไลซิส จากนั้นแข่ยถุงสำหรับทำไดอะไลซิสที่ภายในบรรจุปรตีนลงใน PBS buffer pH 7.4 ที่มีญี่รี่ความ เข้มข้น 6 มอลาร์ (8 M urea, 50 mM PBS buffer pH 7.4, 1 mM DTT, 50 μM ZnSO<sub>4</sub>) ปริมาตร 500 มิลลิลิตร ทำการกวนด้วยแม่เหล็กตลอดเวลาที่อุณหภูมิ 4 องศาเซลเซียส เป็นเวลา 1 ชั่วโมง แล้ว ทำการเปลี่ยน PBS buffer ทุกๆ ชั่วโมงโดยลดความเข้มข้นของญี่รี่ใน PBS buffer ลงจาก PBS buffer ที่มีญี่รี่ความเข้มข้น 6 มอลาร์ เป็น PBS buffer ที่มีญี่รี่ความเข้มข้น 4 มอลาร์ ปริมาตร 500 มิลลิลิตร จำนวน 1 ครั้ง, จาก PBS buffer ที่มีญี่รี่ความเข้มข้น 4 มอลาร์ เป็น PBS buffer ที่มีญี่รี่ ความเข้มข้น 2 มอลาร์ จำนวน 2 ครั้ง, จาก PBS buffer ที่มีญี่รี่ความเข้มข้น 2 มอลาร์ เป็น PBS buffer ที่ไม่มี urea จากนั้นทำการ dialysis ด้วย PBS buffer ที่ไม่มี urea ที่อุณหภูมิ 4 องศาเซลเซียส ทึ้งไขข้ามคืน นำปรตีนที่ทำการไดอะไลซิสแล้วไปปั่นเหวี่ยงที่ความเร็ว 12,000 รอบต่อนาที

(JR 25.5, BECKMAN) ที่อุณหภูมิ 4 องศาเซลเซียส นาน 20 นาที ในกรณีที่ยังไม่หลอมต่อทันทีให้แยกเก็บส่วนใส่ไว้ที่อุณหภูมิ -20 องศาเซลเซียส จากนั้นนำโปรตีนที่ผ่านการทำไดอะไลซิสไปแยกวิเคราะห์โปรตีนด้วยเทคนิค SDS-polyacrylamide gel electrophoresis, หาปริมาณโปรตีนโดยวิธีของ Bradford และหาค่ากิจกรรมของเอนไซม์เมทชิลพาราไโซอนไฮโดรเลส

#### **4.4 การแยกบริสุทธิ์โปรตีนด้วย GSTPre FF16/10 column (GE Healthcare, USA)**

หลังจากที่ทำการไดอะไลซิสโปรตีนเพื่ออายุเรียวอกแล้ว นำโปรตีนที่ผ่านการไดอะไลซิสมากับตกลงก่อนที่ความเร็ว 12,000 รอบต่อนาที หรือนำมารองผ่านตัวกรองขนาด 0.45 ไมโครเมตร จากนั้นนำโปรตีนที่ได้มาราบบบริสุทธิ์โดยใช้แอกฟินิตี้คอลัมน์ (affinity column) คือ GSTPre FF 16/10 column โดยคอลัมน์นี้สามารถจับกับ GST-tag protein ที่เชื่อมติดกับรีคอมบิแนนท์เอนไซม์เมทชิลพาราไโซอนไฮโดรเลสได้ โดยทำการต่อคอลัมน์เข้ากับเครื่อง FPLC (fast protein in liquid chromatography) โดยเชื่อมคอลัมน์ด้วยตัวเชื่อม (adaptor supplied) ทั้งหัวและท้ายของคอลัมน์เข้ากับปั๊ม (pump) ระวังอย่าให้เกิดฟองอากาศภายในคอลัมน์ จากนั้นทำให้คอลัมน์อิ่มตัวด้วย binding buffer ปริมาตร 100 มิลลิลิตร (ประมาณ 5 เท่าของความจุคอลัมน์) ควบคุมการไหลของ binding buffer ให้มีอัตราเร็วประมาณ 1.0 มิลลิลิตรต่อนาที ทำการฉีดสารละลายโปรตีนเข้าไปในคอลัมน์โดยใช้เข็มฉีดยาที่มีตัวกรอง โดยควบคุมการไหลของสารละลายโปรตีนให้มีอัตราเร็วประมาณ 0.2-1.0 มิลลิลิตรต่อนาที ล้างคอลัมน์ด้วย binding buffer ปริมาตร 5.0-10.0 มิลลิลิตร ควบคุมอัตราการไหลของ binding buffer ให้มีอัตราเร็วประมาณ 1.0-2.0 มิลลิลิตรต่อนาที จากนั้นทำการชะโพรตีโนอกจากคอลัมน์ซึ่งสามารถทำได้ 2 วิธี ดังต่อไปนี้

**4.4.1 ทำการชะโพรตีโนอกจากคอลัมน์ ในขณะที่โปรตีนยังถูกเชื่อมติดกับ GST-tag protein โดยจะคอลัมน์ด้วย elution buffer ปริมาตร 100 มิลลิลิตร โดยให้มีอัตราการไหลประมาณ 1.0 มิลลิลิตรต่อนาที แล้วทำการเก็บตัวอย่างโปรตีนที่ผ่านคอลัมน์แล้วในหลอดทดลองขนาด 1.0 มิลลิลิตร หลอดละ 0.5-1.0 มิลลิลิตร ในกรณีที่ยังไม่หลอมต่อทันทีให้แยกเก็บโปรตีนไว้ที่อุณหภูมิ -20 องศาเซลเซียส เก็บคอลัมน์โดยการแช่ในเอกสารanol 20 เปอร์เซ็นต์ ที่อุณหภูมิ 4-30 องศาเซลเซียส ซึ่งโปรตีนที่ได้จากการชะด้วยวิธีนี้จะถูกนำไปใช้ในการสร้างใบโอบเชนเซอร์ต์อีก**

**4.4.2 ทำการชะโพรตีโนอกจากคอลัมน์ ในขณะที่โปรตีนถูกตัดออกจาก GST-tag protein ด้วยเอนไซม์ thrombin (thrombin) โดยนำเอนไซม์ thrombin เติมลงในคอลัมน์ แล้วทำการปีกจุกหัวท้ายของคอลัมน์ บ่มคอลัมน์ไว้ที่อุณหภูมิ 22-25 องศาเซลเซียส นาน 16 ชั่วโมง ทำการชะคอลัมน์ด้วย binding buffer ปริมาตร 100 มิลลิลิตร โดยให้มีอัตราการไหลประมาณ 1.0 มิลลิลิตรต่อนาที ทำการเก็บตัวอย่างโปรตีนที่ผ่านคอลัมน์แล้วในหลอดขนาด 1.0 มิลลิลิตร หลอดละ 0.5-1.0 มิลลิลิตร ในกรณีที่ยังไม่หลอมต่อทันทีให้แยกเก็บโปรตีนไว้ที่อุณหภูมิ -20 องศาเซลเซียส**

จากนั้นทำการชะคอลัมน์เพื่อเอา GST-tag protein ออก ด้วย elution buffer ปริมาตร 100 มิลลิลิตร โดยให้มีอัตราการไหลประมาณ 1.0 มิลลิตรต่อนาที และเก็บคอลัมน์โดยการแซ่ในเอทานอล 20 เปอร์เซ็นต์ ที่อุณหภูมิ 4-30 องศาเซลเซียส ซึ่งโปรตีนที่ได้จากการชะด้วยวิธีนี้จะถูกนำไปใช้ในการศึกษาคุณลักษณะของเอนไซม์ต่อไป

นำโปรตีนที่ผ่านการแยกบริสุทธิ์โดยการชะทั้ง 2 วิธี มาทำให้เข้มข้น (concentrated) ด้วย amicon ultra-4 (millipore; USA) ขนาด 10 กิโลดalaตัน แล้วนำไปแยกวิเคราะห์โปรตีนด้วยเทคนิค SDS-polyacrylamide gel electrophoresis, หาปริมาณโปรตีนโดยวิธีของ Bradford และหาค่ากิจกรรมของเอนไซม์เมทชิลพาราไธอ่อนไฮโดรเลส ทำการเก็บโปรตีนที่ได้หลังจากแยกบริสุทธิ์และทำให้เข้มข้นแล้วที่อุณหภูมิ 4 องศาเซลเซียส

## 5. การแยกวิเคราะห์โปรตีนด้วยเทคนิค SDS-Polyacrylamide Gel Electrophoresis (SDS-PAGE) (Sambrook et al., 1989)

นำโปรตีนที่ได้ในขั้นตอนต่างๆ มาแยกแยกวิเคราะห์โปรตีนด้วยเทคนิค SDS-polyacrylamide gel electrophoresis โดยคำนวณวิธีการดังต่อไปนี้

### 5.1 การเตรียมแผ่นเจลสำหรับแยกวิเคราะห์โปรตีน

สำหรับแผ่นเจลแบบ 10% (ชั้น separating gel)  
ผสมสารละลายต่าง ๆ ดังนี้

สารละลาย acrylamide	6.6	มิลลิลิตร
สารละลาย 1.5 ไมลาร์ Tris HCL, pH 8.8	5.0	มิลลิลิตร
สารละลาย 10 % SDS	200.0	ไมโครลิตร
น้ำกลั่น	8.0	มิลลิลิตร
จากนั้นเติม		
สารละลาย 10% ammonium persulfate	100.0	ไมโครลิตร
TEMED	20.0	ไมโครลิตร

ผสมให้เข้ากันและเทลงในแผ่นกระดาษจากหล่อเจลที่ได้ประกอบไว้แล้ว เติมสารละลายอีมตัวของ isobutanol ทับลงบนพิวเจล ทิ้งไว้ประมาณ 30 นาทีจนเจลแข็งตัว ล้างสารละลาย isobutanol ออกด้วยน้ำกลั่น

สำหรับแผ่นเจลแบบ 6% (ชั้น stacking gel)  
ผสมสารละลายต่างๆ ดังนี้

สารละลาย acrylamide	1.2	มิลลิลิตร
สารละลาย 1.5 มิลลิตร Tris HCL, pH 8.8	1.5	มิลลิลิตร
สารละลาย 10 % SDS	60.0	ไมโครลิตร
น้ำกลั่น	3.2	มิลลิลิตร
จากนั้นเติม		
สารละลาย 10% ammonium persulfate	40.0	ไมโครลิตร
TEMED	20.0	ไมโครลิตร

ผสมให้เข้ากันและเททับลงบนเจลชั้นแรกที่แข็งตัวแล้ว สองแผ่นกำหนดร่องเจลลงบนเจลที่ยังไม่แข็งตัว ระวังอย่าให้เกิดฟองอากาศ ทิ้งไว้ประมาณ 30 นาทีจนเจลแข็งตัว ดึงแผ่นกำหนดร่องเจลออกร่องเจลด้วยน้ำกลั่น และเตรียมประกอบชุดวิเคราะห์

### 5.2 การเตรียมโปรตีนเพื่อวิเคราะห์

นำโปรตีนที่ได้จากขั้นตอนต่างๆ มา 50 ไมโครลิตร ผสมกับสีสังเคราะห์ (4X gel loading dye) ปริมาตร 20 ไมโครลิตร เลวน้ำไปตื้นในถ้วยดีดีอุณหภูมิ 100 องศาเซลเซียส เป็นเวลา 10 นาที แล้วปั่นให้ยิ่งตกรตะกอน โปรตีนที่ไม่ละลาย ที่ความเร็ว 12000 รอบต่อนาที เป็นเวลา 10 นาที แยกส่วนใส่ใส่ในหลอดใหม่ แห่น้ำแข็งเพื่อรักษาเยกвиเคราะห์ โปรตีนด้วยกระแทกไฟฟ้า

### 5.2 การแยกโปรตีนด้วยกระแทกไฟฟ้า

หยดโปรตีนที่เตรียมได้จากข้อ 5.2 และโปรตีนบอกขนาด ปริมาตร 10 ไมโครลิตร ลงในช่องเจล ต่อข้าวไฟฟ้า แล้วทำการแยกวิเคราะห์โปรตีนด้วยกระแทกไฟฟ้า โดยใช้กระแทกไฟฟ้าคงที่ ที่ 25 มิลลิแอมป์ร์ ใช้เวลาประมาณ 90 นาที หรือจนสีของโปรตีนบอกขนาดวิ่งจนสุดแผ่นเจล ถอดข้าวไฟฟ้าออก แกะแผ่นเจลออกจากกระจาด และข้อมเจลด้วยสารละลาย coomassie blue เป็นเวลา 1.5 ชั่วโมง แห่เจลในสารละลาย destain I ทิ้งไว้ 1 ชั่วโมง จากนั้นแห่เจลในสารละลาย destain II ทิ้งไว้ข้ามคืน ทำการตรวจดูผล

## 6. การหาค่ากิจกรรม (activity) ของเอนไซม์เมทชิลพาราไนโตรเลส ด้วยวิธี Spectrophotometry (ตัดแปลงจากวิธีของ Guoping et al., 1989)

นำโปรตีนที่ได้ในขั้นตอนต่างๆ มาค่ากิจกรรมของเอนไซม์เมทชิลพาราไนโตรเลส-ไนโตรเลส โดยคำนวณวิธีการดังต่อไปนี้

### 6.1 การเตรียมกราฟมาตรฐานของพาราไนโตรฟีโนอล

เตรียมพาราไนโตรฟีโนอล (*p*-nitrophenol) ที่มีความเข้มข้นต่างๆ ได้แก่ 1, 2, 5, 10, 20, 30, 40, 50, 60, 70, 80, 90 และ 100 ไมโครโมลาร์ โดยละลายด้วยบัฟเฟอร์ Tris-HCl พีเอช 8.0 ความเข้มข้น 50 มิลลิโมลาร์ ปริมาตร 1 มิลลิลิตร จากนั้นนำไปวัดค่าการดูดกลืนแสงที่ความยาวคลื่น 410 นาโนเมตร โดยเปรียบเทียบกับตัวควบคุม (negative control ที่มีบัฟเฟอร์ Tris-HCl พีเอช 8.0 ความเข้มข้น 50 มิลลิโมลาร์ เพียงอย่างเดียว)

### 6.2 การวัดค่ากิจกรรมของเอนไซม์เมทธิลพาราไนโตรฟีโนอล

นำสารละลายที่ต้องการทดสอบใส่ใน substrate mixture ที่มีเมทธิลพาราไนโตรฟีโนอล ความเข้มข้น 100 ไมโครกรัมต่อมิลลิลิตร, บัฟเฟอร์ Tris-HCl พีเอช 8.0 ความเข้มข้น 50 มิลลิโมลาร์, โซเดียมครอโรดความเข้มข้น 0.1 โมลาร์ และ Tween 80 ความเข้มข้น 0.1 เปอร์เซ็นต์ ปริมาตร 960 ไมโครลิตร ใส่ลงในหลอด ไมโครทิวป์ขนาด 1.5 มิลลิลิตร แล้วเติมเอนไซม์ 40 ไมโครลิตร ผสมให้เข้ากัน แล้วบ่มที่อุณหภูมิ 25 องศาเซลเซียส ทิ้งไว้ 5 นาที แล้วนำสารละลายไปวัดค่าการดูดกลืนแสงด้วยเครื่อง spectrophotometer ที่ความยาวคลื่น 410 นาโนเมตร ซึ่งจะวัดสีเหลืองของพาราไนโตรฟีโนอล ได้ โดยเปรียบเทียบกับตัวควบคุม (negative control ที่มี substrate mixture เพียงอย่างเดียว) คำนวนค่ากิจกรรมเอนไซม์โดยการเปรียบเทียบกับกราฟมาตรฐานของพาราไนโตรฟีโนอล

## 7. การหาค่าปริมาณโปรตีนโดย Bio-Rad Bradford Protein Assay (BIO-RAD; USA)

นำโปรตีนที่ได้ในขั้นตอนต่างๆ มาค่าปริมาณโปรตีนโดยใช้ชุดตรวจวัดโปรตีนสำเร็จรูป Bio-Rad bradford protein assay (BIO-RAD; USA) โดยคำนวณวิธีการดังต่อไปนี้

### 7.1 การเตรียมกราฟมาตรฐานของโปรตีน

เตรียม BSA ที่มีความเข้มข้นต่างๆ ได้แก่ 2, 4, 6, 8 และ 10 ไมโครกรัมต่อมิลลิลิตร จากนั้นนำ BSA ที่แต่ละความเข้มข้นปริมาตร 800 ไมโครลิตร ใส่ลงในหลอด ไมโครทิวป์ขนาด 1.5 มิลลิลิตร เติม bradford dry reagent ปริมาตร 200 ไมโครลิตร ผสมให้เข้ากัน แล้วตั้งทิ้งไว้ 5 นาที ที่อุณหภูมิห้อง จากนั้นนำไปวัดค่าการดูดดูดกลืนแสงที่ความยาวคลื่น 595 นาโนเมตร โดยเปรียบเทียบกับตัวควบคุม (negative control ที่มี Bradford dry reagent เพียงอย่างเดียว)

### 7.2 การวัดปริมาณของโปรตีน

นำโปรตีนตัวอย่างปริมาตร 800 ไมโครลิตร ใส่ลงในหลอด ไมโครทิวป์ขนาด 1.5 มิลลิลิตร จากนั้นเติม bradford dry reagent ปริมาตร 200 ไมโครลิตร ผสมให้เข้ากัน แล้วตั้งทิ้งไว้ 5 นาที ที่อุณหภูมิห้อง จากนั้นนำไปวัดค่าการดูดดูดกลืนแสงที่ความยาวคลื่น 595 นาโนเมตร โดยเปรียบเทียบกับตัวควบคุม (negative control ที่มี Bradford dry reagent เพียงอย่างเดียว)

## 8. การหาสภาวะที่เหมาะสมในการผลิตเอนไซม์เมทัชิลพาราไธอ่อนไฮโดรเลส

เชื้อ *E. coli* BL21 ภายหลังที่ถูกถ่ายยีนที่สร้างเอนไซม์เมทัชิลพาราไธอ่อนไฮโดรเลส สำหรับย่อยสลายยาฆ่าแมลงเมทัชิลพาราไธอ่อน ถูกนำมาหาสภาวะที่เหมาะสมที่สุดเพื่อผลิต รีคอมบิแนนท์เอนไซม์ให้มีกิจกรรมจำเพาะสูงที่สุด โดยศึกษาปัจจัยดังนี้

### 8.1 ผลของอุณหภูมิ

ทำการศึกษาอุณหภูมิที่เหมาะสมที่สุด ที่ทำให้รีคอมบิแนนท์โคลน BpGT ผลิต รีคอมบิแนนท์เอนไซม์เมทัชิลพาราไธอ่อนไฮโดรเลสที่ให้กิจกรรมจำเพาะสูงที่สุด โดยการนำ รีคอมบิแนนท์โคลน BpGT มาเพาะเลี้ยงในอาหารเหลว LB ที่มียาปฏิชีวนะแอมพิซิลลิน ความ เชื้มขึ้น 100 ไมโครกรัมต่อมิลลิลิตร ปริมาตร 20 มิลลิลิตร บ่มที่อุณหภูมิ 37 องศาเซลเซียส เขย่าที่ ความเร็ว 200 รอบต่อนาที นาน 16-18 ชั่วโมง เพื่อใช้เป็นกล้าเชื้อรีมตัน จากนั้นถ่ายกล้าเชื้อรีมตัน ที่มีค่าการดูดกลืนแสงที่ความยาวคลื่น 600 นาโนเมตร ประมาณ 1 OD ใส่ในอาหารเหลว LB ที่มียาปฏิชีวนะแอมพิซิลลิน ความเชื้มขึ้น 100 ไมโครกรัมต่อมิลลิลิตร ปริมาตร 500 มิลลิลิตร บ่มที่ อุณหภูมิ 37 องศาเซลเซียส เขย่าที่ความเร็ว 200 รอบต่อนาที นาน 3-4 ชั่วโมง หรือจนกระทั่งวัดค่า การดูดกลืนแสงของเซลล์ที่ความยาวคลื่น 600 นาโนเมตร ได้ประมาณ 0.3-0.4 OD จากนั้นทำการเติม IPTG ให้มีความเชื้มขึ้น 0.1-0.5 มิลลิโกลด์ต่อมิลลิลิตร และเลี้ยงต่ออีก 5-6 ชั่วโมง ที่อุณหภูมิ ต่างๆ ได้แก่ 18, 25, 30, 37, 45 และ 50 องศาเซลเซียส จากนั้นทำการเก็บเซลล์โดยปั่นเหวี่ยง ตากตะกอนเซลล์ แตกเซลล์ หาก่ากิจกรรมของเอนไซม์และปริมาณโปรตีนทั้งหมด ตามวิธีในข้อ 6 และ 7 ตามลำดับ

### 8.2 ผลของความเชื้มขึ้นของ IPTG

ทำการศึกษาความเชื้มขึ้นของ IPTG ที่เหมาะสมที่สุด ที่เหนี่ยวนำให้รีคอมบิแนนท์ โคลน BpGT ผลิตรีคอมบิแนนท์เอนไซม์เมทัชิลพาราไธอ่อนไฮโดรเลสที่ให้กิจกรรมจำเพาะสูง ที่สุด โดยการนำรีคอมบิแนนท์โคลน BpGT มาเพาะเลี้ยงในอาหารเหลว LB ที่มียาปฏิชีวนะ แอมพิซิลลิน ความเชื้มขึ้น 100 ไมโครกรัมต่อมิลลิลิตร ปริมาตร 20 มิลลิลิตร บ่มที่อุณหภูมิ 37 องศาเซลเซียส เขย่าที่ความเร็ว 200 รอบต่อนาที นาน 16-18 ชั่วโมง เพื่อใช้เป็นกล้าเชื้อรีมตัน จากนั้นถ่ายกล้าเชื้อรีมตันที่มีค่าการดูดกลืนแสงที่ความยาวคลื่น 600 นาโนเมตร ประมาณ 1 OD ใส่ในอาหารเหลว LB ที่มียาปฏิชีวนะแอมพิซิลลินความเชื้มขึ้น 100 ไมโครกรัมต่อมิลลิลิตร ปริมาตร 500 มิลลิลิตร บ่มที่อุณหภูมิ 37 องศาเซลเซียส เขย่าที่ความเร็ว 200 รอบต่อนาที นาน 3-4 ชั่วโมง หรือจนกระทั่งวัดค่าการดูดกลืนแสงของเซลล์ที่ความยาวคลื่น 600 นาโนเมตร ได้ประมาณ 0.3-0.4 OD แล้วทำการเติม IPTG ที่ความเชื้มขึ้นต่างๆ คือ 0.10, 0.25, 0.50, 1.00, 2.50 และ 5.00 มิลลิโกลด์ โดยทำการเปรียบเทียบกับรีคอมบิแนนท์โคลน BpGT ที่ไม่ทำการเติม IPTG จากนั้น

เลี้ยงเชือต่ออีก 5-6 ชั่วโมง ที่อุณหภูมิที่เหมาะสม (ตามผลที่ได้ในข้อ 8.1) ทำการเก็บเซลล์โดยปั่น ตกลตะกอนเซลล์ แตกเซลล์ หาค่ากิจกรรมของเอนไซม์และปริมาณ โปรตีนทั้งหมด ตามวิธีในข้อ 6 และ 7 ตามลำดับ

### **8.3 ผลของระยะเวลาที่เหนี่ยวนำด้วย IPTG**

ทำการศึกษาระยะเวลาที่ใช้ในการเหนี่ยวนำด้วย IPTG ที่ทำให้รีคอมบิแนนท์ โคลน BpGT ผลิตรีคอมบิแนนท์เอนไซม์เมทิลพาราไธอ่อนไฮโดรเลส ที่ให้กิจกรรมจำเพาะสูง ที่สุด โดยนำรีคอมบิแนนท์โคลน BpGT มาเพาะเลี้ยงในอาหารเหลว LB ที่มียาปฏิชีวนะ แอมพิซิลลินความเข้มข้น 100 ไมโครกรัมต่อมิลลิลิตร ปริมาตร 20 มิลลิลิตร บ่มที่อุณหภูมิ 37 องศาเซลเซียส เบเย่าที่ความเร็ว 200 รอบต่อนาที นาน 16-18 ชั่วโมง เพื่อใช้เป็นกล้าเชื้อเริ่มต้น จากนั้นถ่ายกล้าเชื้อเริ่มต้นที่มีค่าการดูดกลืนแสงที่ความยาวคลื่น 600 นาโนเมตร ประมาณ 1 OD ใส่ในอาหารเหลว LB ที่มียาปฏิชีวนะแอมพิซิลลินความเข้มข้น 100 ไมโครกรัมต่อมิลลิลิตร ปริมาตร 500 มิลลิลิตร บ่มที่อุณหภูมิ 37 องศาเซลเซียส เบเย่าที่ความเร็ว 200 รอบต่อนาที นาน 3-4 ชั่วโมง หรือจนกระทั่งวัดค่าการดูดกลืนแสงของเซลล์ที่ความยาวคลื่น 600 นาโนเมตร ได้ประมาณ 0.3-0.4 OD แล้วทำการเติม IPTG ให้มีความเข้มข้นที่เหมาะสม (ตามผลที่ได้ในข้อ 8.2) จากนั้นเลี้ยง เชือต่อที่ระยะเวลาต่างๆ คือ 0, 1, 2, 3, 4, 5, 6 ชั่วโมง และเลี้ยงไว้ต่อคืน ที่อุณหภูมิที่เหมาะสม (ตามผลที่ได้ในข้อ 8.1) ทำการเก็บเซลล์โดยปั่นตกลตะกอนเซลล์ แตกเซลล์ หาค่ากิจกรรมของ เอนไซม์และปริมาณ โปรตีนทั้งหมด ตามวิธีในข้อ 6 และ 7 ตามลำดับ

### **8.4 ผลของไอออนของโลหะและสารเคมี**

ทำการศึกษาผลของไอออนของโลหะและสารเคมี ในการกระตุ้นให้รีคอมบิแนนท์ โคลน BpGT ผลิตรีคอมบิแนนท์เอนไซม์เมทิลพาราไธอ่อนไฮโดรเลส ที่ให้กิจกรรมจำเพาะสูง ที่สุด โดยนำรีคอมบิแนนท์โคลน BpGT มาเพาะเลี้ยงในอาหารเหลว LB ที่มียาปฏิชีวนะ แอมพิซิลลินความเข้มข้น 100 ไมโครกรัมต่อมิลลิลิตร ปริมาตร 20 มิลลิลิตร บ่มที่อุณหภูมิ 37 องศาเซลเซียส เบเย่าที่ความเร็ว 200 รอบต่อนาที นาน 16-18 ชั่วโมง เพื่อใช้เป็นกล้าเชื้อเริ่มต้น จากนั้นถ่ายกล้าเชื้อเริ่มต้นที่มีค่าการดูดกลืนแสงที่ความยาวคลื่น 600 นาโนเมตร ประมาณ 1 OD ใส่ในอาหารเหลว LB ที่มียาปฏิชีวนะแอมพิซิลลินความเข้มข้น 100 ไมโครกรัมต่อมิลลิลิตร ปริมาตร 500 มิลลิลิตร บ่มที่อุณหภูมิ 37 องศาเซลเซียส เบเย่าที่ความเร็ว 200 รอบต่อนาที นาน 3-4 ชั่วโมง หรือจนกระทั่งวัดค่าการดูดกลืนแสงของเซลล์ที่ความยาวคลื่น 600 นาโนเมตร ได้ประมาณ 0.3-0.4 OD แล้วทำการเติม IPTG ให้มีความเข้มข้นที่เหมาะสม (ตามผลที่ได้ในข้อ 8.2) พร้อมกับ เติม ไอออนของโลหะและสารเคมีต่างๆ ได้แก่  $\text{CoCl}_2$ ,  $\text{NiCl}_2$ ,  $\text{ZnSO}_4$ ,  $\text{CuSO}_4$ ,  $\text{LiCl}$ ,  $\text{MgCl}_2$ ,  $\text{CaCl}_2$ ,  $\text{MnSO}_4$ ,  $\text{FeSO}_4$  และ  $\text{Pb}(\text{NO}_3)_2$  ที่ความเข้มข้น 1 มิลลิโมลาร์ จากนั้นนำไปเลี้ยงต่อที่อุณหภูมิที่

เหมาะสม (ตามผลที่ได้ในข้อ 8.1) เป็นระยะเวลาที่เหมาะสม (ตามผลที่ได้ในข้อ 8.3) ทำการเก็บเซลล์โดยปั่นตกตะกอนเซลล์ แตกเซลล์ หาค่ากิจกรรมของเอนไซม์และปริมาณ โปรตีนทั้งหมดตามวิธีในข้อ 6 และ 7 ตามลำดับ

### 8.5 ผลความเข้มข้นของไอออนโลหะและสารเคมี

ทำการศึกษาความเข้มข้นของไอออนของโลหะและสารเคมีที่เหมาะสมที่กราดตื้นให้รีคอมบิแนนท์โคลน BpGT พลิตรีคอมบิแนนท์เอนไซม์เมทธิลพาราไธอ่อนไฮดรอลส์ ที่ให้กิจกรรมจำเพาะสูงที่สุด โดยนำรีคอมบิแนนท์โคลน BpGT มาเพาะเลี้ยงในอาหารเหลว LB ที่มียาปฏิชีวนะแอมพิซิลลิน ความเข้มข้น 100 ไมโครกรัมต่อมิลลิลิตร ปริมาตร 20 มิลลิลิตร บ่มที่อุณหภูมิ 37 องศาเซลเซียส เขย่าที่ความเร็ว 200 รอบต่อนาที นาน 16-18 ชั่วโมง เพื่อใช้เป็นกล้าเชื้อเริ่มต้น จากนั้นถ่ายกล้าเชื้อเริ่มต้นที่มีค่าการดูดกลืนแสงที่ความยาวคลื่น 600 นาโนเมตร ประมาณ 1 OD ใส่ในอาหารเหลว LB ที่มียาปฏิชีวนะแอมพิซิลลินความเข้มข้น 100 ไมโครกรัมต่อมิลลิลิตร ปริมาตร 500 มิลลิลิตร บ่มที่อุณหภูมิ 37 องศาเซลเซียส เขย่าที่ความเร็ว 200 รอบต่อนาที นาน 3-4 ชั่วโมง หรือจนกระทั่งวัดค่าการดูดกลืนแสงของเซลล์ที่ความยาวคลื่น 600 นาโนเมตร ได้ประมาณ 0.3-0.4 OD แล้วทำการเติม IPTG ให้มีความเข้มข้นที่เหมาะสม (ตามผลที่ได้ในข้อ 8.2) และเติมไอออนของโลหะและสารเคมีที่เหมาะสมที่สุด (ตามผลที่ได้ในข้อ 8.4) ที่ความเข้มข้นต่างๆ ได้แก่ 0.1, 0.5, 1.0, 5.0, 10.0 มิลลิโมลาร์ โดยปรับเทียบกับรีคอมบิแนนท์โคลน BpGT ที่ไม่ทำการเติมไอออนของโลหะและสารเคมี จากนั้นทำการเลี้ยงเชื้อต่อที่อุณหภูมิที่เหมาะสม (ตามผลที่ได้ในข้อ 8.1) เป็นระยะเวลาที่เหมาะสม (ตามผลที่ได้ในข้อ 8.3) ทำการเก็บเซลล์โดยปั่นตกตะกอนเซลล์ แตกเซลล์ หาค่ากิจกรรมของเอนไซม์และปริมาณ โปรตีนทั้งหมดตามวิธีในข้อ 6 และ 7 ตามลำดับ

## 9. การศึกษาหาคุณลักษณะของรีคอมบิแนนท์เอนไซม์เมทธิลพาราไธอ่อนไฮดรอลส์

หลังจากที่ทำการศึกษาหาสภาวะที่เหมาะสมในการผลิตเอนไซม์เมทธิลพาราไธอ่อน-ไฮดรอลส์แล้ว นำรีคอมบิแนนท์โคลน BpGT มาเพาะเลี้ยงตามสภาวะที่เหมาะสมดังกล่าว จากนั้นทำการเก็บเซลล์โดยปั่นตกตะกอนเซลล์ แตกเซลล์ และแยกบริสุทธิ์เอนไซม์โดยวิธีในข้อที่ 4 จากนั้นนำเอนไซม์รีคอมบิแนนท์เมทธิลพาราไธอ่อนไฮดรอลส์ที่ได้หลังจากที่ผ่านกระบวนการแยกบริสุทธิ์แล้วนำมาศึกษาหาคุณลักษณะของเอนไซม์ดังต่อไปนี้

### 9.1 อุณหภูมิที่เหมาะสมที่สุด

นำรีคอมบิแนนท์เอนไซม์เมทธิลพาราไธอ่อนไฮดรอลส์ที่ถูกแยกบริสุทธิ์แล้ว มาศึกษาหาอุณหภูมิที่เหมาะสมที่สุด ที่ให้กิจกรรมเอนไซม์สูงที่สุด โดยนำเอนไซม์ทำปฏิกิริยากับเมทธิลพาราไธอ่อนที่อุณหภูมิต่างๆ ได้แก่ 4, 10, 20, 25, 30, 40, 50, 60, 70 และ 80 องศาเซลเซียส โดยหาค่ากิจกรรมของเอนไซม์และปริมาณ โปรตีนทั้งหมดตามวิธีในข้อ 6 และ 7 ตามลำดับ

## 9.2 พีเอชที่เหมาะสมที่สุด

นำรีคอมบิแนนท์เออนไซม์เมทธิลพาราไธอ่อนไซโตรเลสที่ถูกแยกบริสุทธิ์แล้ว มาศึกษาหาค่าพีเอชที่เหมาะสมสมที่สุด ที่ให้กิจกรรมเอนไซม์สูงที่สุด โดยนำเออนไซม์ทำปฏิกิริยากับเมทธิลพาราไธอ่อนในบัฟเฟอร์ต่างๆ ได้แก่ citrate buffer ความเข้มข้น 50 มิลลิโมลาร์ ที่พีเอช 5.0 และ 5.5; phosphate buffer ความเข้มข้น 50 มิลลิโมลาร์ ที่พีเอช 6.0, 6.5, 7.0, 7.5 และ 8.0; Tris-HCl buffer ความเข้มข้น 50 มิลลิโมลาร์ ที่พีเอช 8.5, 9.0 และ 9.5; carbonate-bicarbonate buffer ความเข้มข้น 50 มิลลิโมลาร์ ที่พีเอช 10.0 และ 10.5; Na<sub>2</sub>HPO<sub>4</sub>-NaOH ความเข้มข้น 50 มิลลิโมลาร์ ที่พีเอช 11.0, 11.5 และ 12.0 โดยหากค่ากิจกรรมของเอนไซม์และปริมาณโปรตีนทั้งหมด ตามวิธีในข้อ 6 และ 7 ตามลำดับ

## 9.3 ความเสถียรต่ออุณหภูมิ

นำรีคอมบิแนนท์เออนไซม์เมทธิลพาราไธอ่อนไซโตรเลสที่ถูกแยกบริสุทธิ์แล้ว มาศึกษาอุณหภูมิที่เหมาะสมสมที่สุดที่ทำให้กิจกรรมของเอนไซม์เสถียรที่สุด โดยนำเออนไซม์ทำปฏิกิริยากับเมทธิลพาราไธอ่อนที่อุณหภูมิต่างๆ ได้แก่ 4, 25, 37, 50 และ 80 องศาเซลเซียส จากนั้นนำมาหาค่ากิจกรรมของเอนไซม์และปริมาณโปรตีนทั้งหมด ตามวิธีในข้อ 6 และ 7 ตามลำดับ ที่ระยะเวลาต่างๆ ได้แก่ 0, 1, 2, 4, 6, 12, 24, และ 48 ชั่วโมง

## 9.4 ความเสถียรต่อพีเอช

นำรีคอมบิแนนท์เออนไซม์เมทธิลพาราไธอ่อนไซโตรเลสที่ถูกแยกบริสุทธิ์แล้ว มาศึกษาหาค่าพีเอชที่เหมาะสมสมที่สุดที่ทำให้กิจกรรมของเอนไซม์เสถียรที่สุด โดยนำเออนไซม์ทำปฏิกิริยากับเมทธิลพาราไธอ่อนในบัฟเฟอร์ต่างๆ ได้แก่ citrate buffer ความเข้มข้น 50 มิลลิโมลาร์ ที่พีเอช 5.0 และ 5.5; phosphate buffer ความเข้มข้น 50 มิลลิโมลาร์ ที่พีเอช 6.0, 6.5, 7.0, 7.5 และ 8.0; Tris-HCl buffer ความเข้มข้น 50 มิลลิโมลาร์ ที่พีเอช 8.5, 9.0 และ 9.5; carbonate-bicarbonate buffer ความเข้มข้น 50 มิลลิโมลาร์ ที่พีเอช 10.0 และ 10.5; Na<sub>2</sub>HPO<sub>4</sub>-NaOH ความเข้มข้น 50 มิลลิโมลาร์ ที่พีเอช 11.0, 11.5 และ 12.0 จากนั้นนำมาหาค่ากิจกรรมของเอนไซม์และปริมาณโปรตีนทั้งหมด ตามวิธีในข้อ 6 และ 7 ตามลำดับ ที่ระยะเวลาต่างๆ ได้แก่ 0, 1, 2, 4, 6, 12, 24, และ 48 ชั่วโมง

## 9.5 ผลของไออ่อนของโลหะและสารเคมี

นำรีคอมบิแนนท์เออนไซม์เมทธิลพาราไธอ่อนไซโตรเลสที่ถูกแยกบริสุทธิ์แล้ว มาศึกษาผลของไออ่อนของโลหะและสารเคมีที่มีผลต่อกิจกรรมของเอนไซม์ โดยนำเออนไซม์ทำปฏิกิริยากับเมทธิลพาราไธอ่อนในบัฟเฟอร์ที่มีไออ่อนของโลหะและสารเคมีต่างๆ ได้แก่ CoCl<sub>2</sub>, NiCl<sub>2</sub>, ZnSO<sub>4</sub>, CdCl<sub>2</sub>, CuSO<sub>4</sub>, MgCl<sub>2</sub>, CaCl<sub>2</sub>, MnSO<sub>4</sub>, Pb(NO<sub>3</sub>)<sub>2</sub>, DTT, EDTA และ SDS โดย

เปรียบเทียบผลของความเข้มข้นต่างๆ ของไออ่อนของโลหะและสารเคมี คือ 0.25, 0.5, 1.0, และ 2.0 มิลลิโมลาร์ จากนั้นนำมาหาค่ากิจกรรมของเอนไซม์และปริมาณโปรตีนทั้งหมด ตามวิธีในข้อ 6 และ 7 ตามลำดับ

### 9.6 ศึกษาพารามิเตอร์ทางจลศาสตร์ของเอนไซม์

นำรีคอมบินเนนท์เอนไซม์เมทธิลพาราไธโอนไฮโดรเลสที่ถูกแยกบริสุทธิ์แล้ว มาศึกษาหาค่าทางจลศาสตร์ของเอนไซม์ต่างๆ ได้แก่ ค่ากิจกรรมจำเพาะของเอนไซม์ (specific activity), อัตราเร็วสูงสุดของปฏิกิริยา ( $V_{max}$ ), ค่าคงที่ Michaelis-Menten ( $K_m$ ), ค่า turnover number ( $k_{cat}$ ) และค่า catalytic efficiency ( $k_{cat}/K_m$ ) โดยนำรีคอมบินเนนท์เอนไซม์เมทธิลพาราไธโอนไฮโดรเลสมาทำปฏิกิริยากับสารออร์กานิฟอสเฟต ได้แก่ เมทธิลพาราไธโอน (methyl parathion), พาราออกซอน (paraoxon), พาราไธโอน (parathion), คลอร์ไพรฟอส (chlorpyrifos), เฟนิโตรไथโอน (fenitrothion), มาลาไธโอน (malathion) และคูมาฟอส (coumaphos) ใน Tris-HCl buffer pH 9.0 ที่ความเข้มข้น 50 มิลลิโมลาร์ บ่มที่อุณหภูมิ 25 °C นาน 5 นาที จากนั้นนำมาหาค่ากิจกรรมของเอนไซม์และปริมาณโปรตีนทั้งหมด ตามวิธีในข้อ 6 และ 7 ตามลำดับ

## บทที่ 10 การนำรีคอมบินเนนท์เอนไซม์มาประยุกต์ใช้โดยการทำใบไอเซนเซอร์

ศึกษาหาคุณลักษณะของเอนไซม์แล้ว นำมาใช้สร้างใบไอเซนเซอร์เพื่อตรวจวัดยาฆ่าแมลง โดยวิธีแอบเมเพอโรเมตريكซึ่งต้องอาศัยความรู้พื้นฐานทางเคมีไฟฟ้านั้น มีขั้นตอนต่างๆ ดังนี้

### 10.1 การเตรียมข้าวอิเลคโทรด

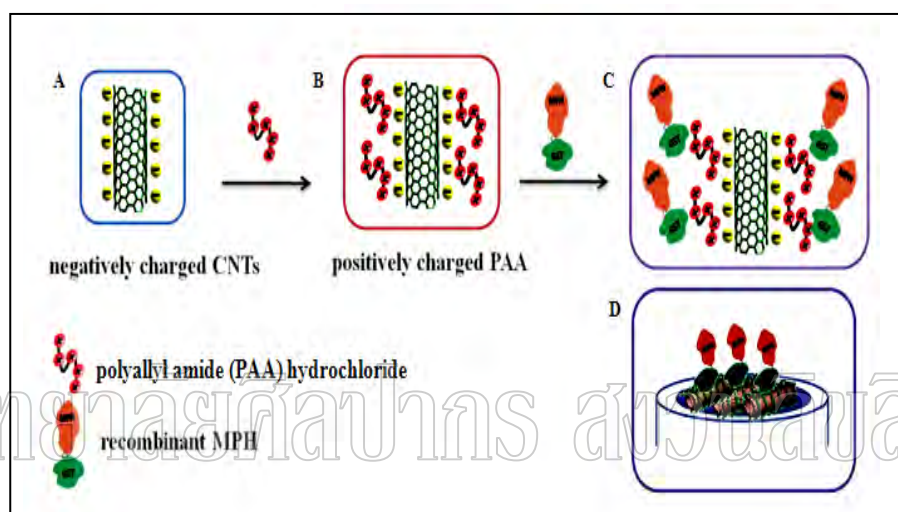
นำข้าวอิเลคโทรดที่ใช้ในการสร้างใบไอเซนเซอร์ 3 ชนิด คือ ข้าวกลาสซีคาร์บอน (glassy carbon; GC) ซึ่งทำหน้าที่เป็นข้าวไฟฟ้าทำงาน (working electrode; WE), ข้าวแพตตินัม (platinum; Pt) ทำหน้าที่เป็นข้าวไฟฟ้าร่วม (counter electrode; CE) และข้าวซิลเวอร์-ซิลเวอร์คลอไรด์ (Ag/AgCl) ทำหน้าที่เป็นข้าวไฟฟ้าอ้างอิง (reference electrode; RE) โดยทำการขัดข้าวอิเลคโทรดด้วยอะลูมิเนียมออกไซด์บนผ้าสักหลาด จากนั้นนำข้าวอิเลคโทรดไปเบย่าด้วยคลื่นเสียงความถี่สูง (sonicated) เป็นเวลา 5 นาที แล้วทิ้งไว้ให้แห้ง

### 10.2 การสร้างโมดิฟายด์อิเลคโทรด (modified electrode)

หลังจากที่ทำการเตรียมข้าวอิเลคโทรดแล้ว นำข้าวกลาสซีคาร์บอนมาทำการสร้างเป็นโมดิฟายด์อิเลคโทรด โดยมีข้าวโมดิฟายด์อิเลคโทรดที่ถูกสร้างสำหรับเป็นใบไอเซนเซอร์เพื่อใช้ตรวจวัดยาฆ่าแมลง 2 วิธี คือ

10.2.1 โนมดิฟายค์อิเลคโทรดที่ใช้ตรวจวัดยาฆ่าแมลงด้วยวิธีโอลแทนเมตรีแบบร้อน โดยทำการหยดสารละลายน้ำในทิวป์ความเข้มข้น 0.1 มิลลิกรัม ปริมาตร 40 ไมโครลิตร ลงบนชั้นกลาสซีการ์บอนอิเลคโทรด แล้วทิ้งไว้ประมาณ 3 ชั่วโมง เพื่อระเหยให้แห้ง

10.2.2 โนมดิฟายค์อิเลคโทรดที่ใช้ตรวจวัดยาฆ่าแมลงโดยวิธีแอมเพอโรเมตريก โดยทำการตรึงรีคอมบินเนชันท์เอนไซม์เมทธิลพาราไฮดรออนไฮโดรเจนส์ลงบนการ์บอนน้ำในทิวป์โดยอาศัยแรงระหว่างประจุ ในลักษณะชั้นต่อชั้น (layer by layer electrostatic technique) (ดังภาพที่ 26) วิธีของ Munge *et al.*, 1989) ดังภาพที่ 26



ภาพที่ 26 การตรึงรีคอมบินเนชันท์เอนไซม์เมทธิลพาราไฮดรออนไฮโดรเจนส์โดยอาศัยแรงระหว่างประจุ ในลักษณะชั้นต่อชั้น

จากภาพที่ 26 กระบวนการในทิวป์ที่ถูกทำให้มีประจุลบโดยหมู่ carboxylate ( $\text{COO}^-$ ) ด้วยกรดไนตริกและกรดซัลฟูริกเข้มข้น (ภาพ 26, A) สามารถจับกับ PAA ซึ่งเป็นโพลีเมอร์ที่มีประจุบวก (ภาพ 26, B) โดยใส่การ์บอนน้ำในทิวป์ปริมาณ 1 มิลลิกรัมต่อมิลลิลิตร ปริมาตร 100 ไมโครลิตร ในหลอดในโกรเซนทริฟิวจ์ จากนั้นเติมสารละลายน้ำในทิวป์ปริมาณ 1 มิลลิกรัมต่อมิลลิลิตร ที่ละลายอยู่ในโซเดียมคลอไรด์ ความเข้มข้น 0.5 โนมาร์ ปริมาตร 900 ไมโครลิตร นำไปเขย่าด้วยคลื่นเสียงความถี่สูง เป็นเวลา 15 นาที แล้วเขย่าเบาๆ โดยกลับหลอดหัวท้ายไปมาทิ้งไว้นาน 20 นาที ทำการปั่นเรี้ยงตตะกอนที่ความเร็ว 12,000 รอบต่อนาที ระยะเวลา 15 นาที ซึ่งจะทำให้ได้สารละลายน้ำ 2 ส่วน คือ ส่วนของเหลวและส่วนตะกอน ซึ่งสารละลายน้ำ PAA ที่ติดอยู่บนการ์บอนน้ำในทิวป์ทึ้งหมดจะอยู่ในส่วนตะกอน จึงทำการทิ้งส่วนใส แล้วล้างตะกอน เพื่อเอาสารละลายน้ำ PAA ที่ไม่ติดอยู่กับการ์บอนน้ำในทิวป์ออกด้วยน้ำที่ปราศจากไฮดรอเจน (DI water) ปริมาตร 1000 มิลลิลิตร เขย่าเบาๆ โดยกลับหลอดหัวท้ายไปมา เป็นเวลา 20

นาที ทำการปั่นเหวี่ยงตกลอกองคาร์บอนนาโนทิวป์ที่ความเร็ว 12,000 รอบต่อนาที เป็นระยะเวลา 15 นาที ทึ้งสารละลายส่วนใส แล้วทำการล้างตกลอกองช้าอีก 2 ครั้ง จากนั้นเออนไซม์เมทซิลพารา-ไธโอนไฮโดรเลสที่ถูกเข้ามด้วย GST-tag protein จะสามารถจับกับประจุบวกของ PAA ซึ่งติดอยู่บนคาร์บอนนาโนทิวป์ (ภาพ 26, C) โดยที่ส่วนของ GST-tag protein มีประจุลบจึงเป็นส่วนที่อยู่ติดกับ PAA (เนื่องจาก GST-tag protein มีค่า isoelectric point (pI) เท่ากับ 5.8 ดังนั้นมีอยู่ในสารละลายที่มีพีเอชเท่ากับ 7 จึงมีประจุเป็นลบ) ในขณะที่เออนไซม์เมทซิลพารา-ไธโอนไฮโดรเลสมีประจุเป็นบวก จึงถูกพลักโดยประจุบวกของ PAA ให้หันออกม้าด้านนอก (เนื่องจากเออนไซม์เมทซิลพารา-ไธโอนไฮโดรเลสลงในสารละลายที่มีคาร์บอนนาโนทิวป์ที่มี PAA ติดอยู่ แล้วปรับปริมาตรของสารละลายด้วยน้ำที่ปราศจากไฮดราโนทีเป็น 1000 มิลลิลิตร เขย่าเบาๆ โดยกลับหลอดหัวท้ายไปมาทึ้งไวนาน 20 นาที ทำการปั่นเหวี่ยงตกลอกองที่ความเร็ว 12,000 รอบต่อนาที นาน 15 นาที ทึ้งสารละลายส่วนใส แล้วล้างตกลอกองเพื่อเออนไซม์ที่ไม่จับกับคาร์บอนนาโนทิวป์ออก ด้วยน้ำที่ปราศจากไฮดราโนที ปริมาตร 1000 มิลลิลิตร เขย่าเบาๆ โดยกลับหลอดหัวท้ายไปมา เป็นระยะเวลา นาน 20 นาที ทำการปั่นเหวี่ยงตกลอกองที่ความเร็ว 12,000 รอบต่อนาที เป็นเวลานาน 15 นาที ทึ้งสารละลายส่วนใส แล้วทำการล้างช้าอีก 2 ครั้ง แล้วละลายตกลอกองด้วยน้ำที่ปราศจากไฮดราโนที ปริมาตร 1000 มิลลิลิตร จากนั้นหยดสารละลายที่ได้ลงบนกลาสเซิร์บอนอิเลคโทรด ไฟฟ้า (รูป 26, D) ปริมาตร 40 ไมโครลิตร โดยหยดครั้งละ 10 ไมโครลิตร ทึ้งไว้ให้แห้ง เก็บอิเลคโทรดไว้ที่อุณหภูมิ 4 องศาเซลเซียส จนกว่าจะใช้

### **10.3 การต่อข้ออิเลคโทรดทั้ง 3 ชนิด เข้ากับเครื่องควบคุมกระแสไฟฟ้า**

นำข้ออิเลคโทรดทั้ง 3 ชนิด แซ่ในบัฟเฟอร์ฟอสเฟต ความเข้มข้น 50 มิลลิโมลาร์พีเอช 8 พร้อมกับทำการกวนด้วยแม่เหล็กตลอดเวลา แล้วต่อเข้ากับเครื่องควบคุมการให้กระแสไฟฟ้า potentiostat/galvanostat (Autolab Module PGSTAT30) โดยทำการวิเคราะห์ผลทางเคมีไฟฟ้าด้วยโปรแกรม GPES software (Eco Chemie; The Netherlands) ดังภาพที่ 27



ภาพที่ 27 การต่อขัวอิเลคโทรดทั้ง 3 ชนิด เข้ากับเครื่องควบคุมกระแสไฟฟ้า

#### 10.4 การทำวอลแคมเมตรีแบบรอบสำหรับการออกซิเดชันของพาราไนโตรฟีโนล

วอลแคมเมตรีแบบรอบ (cyclic voltammetry) เป็นการสแกนศักย์ไฟฟ้าเชิงเส้นตรงแบบคลื่นรูปสามเหลี่ยม ให้กับระบบที่ใช้อิเลคโทรดแบบนิ่งขนาดเล็กในสารละลายที่ไม่มีการกวน ซึ่งจะอาศัยหลักการเกิดปฏิกิริยาออกซิเดชันของพาราไนโตรฟีโนลที่เกิดจากการบวนการไฮโดรไลซิสของเมทธิลพาราไนโตรอนด้วยเอนไซม์รีคอมบินนท์เมทธิลพาราไนโตรอนไฮโดรเลสบนขัวอิเลคโทรด 2 แบบ คือ

##### 10.4.1 อิเลคโทรดหัวเปล่า (bare electrode)

ใช้กลาสเซซิคาร์บอนเป็นอิเลคโทรดทำงาน โดยไม่ได้ตรึงรีคอมบิแนนท์เอนไซม์เมทธิลพาราไนโตรอนไฮโดรเลสและการบวนนาโนทิวป์ลงบนอิเลคโทรด จากนั้นต่อขัวอิเลคโทรดทั้ง 3 ชนิด เข้ากับเครื่องควบคุมการให้กระแสไฟฟ้า ตามวิธีในข้อ 10.3 แล้วทำการตั้งค่าดังต่อไปนี้

number of scans	3
start potential (V)	0
first vertex potential (V)	1.2
second vertex potential (V)	0
step potential (V)	0.00105
scan rate (V/s)	0.05

จากนั้นเติมพาราไนโตรฟีโนลให้มีความเข้มข้น 1 มิลลิโมลาร์ ลงในบัฟเฟอร์ฟอสเฟต แล้วทำการกวนด้วยแม่เหล็ก นานประมาณ 30 วินาที จากนั้นกด start เพื่อเริ่มต้นทำงาน

#### 10.4.2 โอมิฟายด์อิเลคโทรด (modified electrode)

ทำการสร้างโอมิฟายด์อิเลคโทรด ตามวิธีในข้อ 10.2.1 จากนั้นต่อขัวอิเลคโทรดทั้ง 3 ชนิด เข้ากับเครื่องควบคุมการให้กระแสไฟฟ้า ตามวิธีในข้อ 10.3 แล้วทำการตั้งค่าต่างๆ ตามวิธีในข้อ 10.4.1 จากนั้นเติมพาราไนโตรฟีโนลให้มีความเข้มข้น 1 มิลลิโมลาร์ ลงในบัฟเฟอร์ฟอสเฟต แล้วทำการกวนด้วยแม่เหล็ก นานประมาณ 30 วินาที จากนั้นกด start เพื่อเริ่มต้นทำงาน

### 10.5 การศึกษาการตอบสนองสัญญาณทางไฟฟ้าของปฏิกิริยาไฮโดรไอลซิสของยาฆ่าแมลงด้วยเอนไซม์เมทัลพาไรโซนไฮโดรเรสโดยวิธีแอมเพอร์มทริก

ทำการตรวจวัดยาฆ่าแมลง โดยศึกษาการตอบสนองสัญญาณทางไฟฟ้าที่เกิดจากปฏิกิริยาไฮโดรไอลซิสของยาฆ่าแมลงด้วยเอนไซม์เมทัลพาไรโซนไฮโดรเรสโดยวิธีแอมเพอร์มทริก โดยต่อขัวอิเลคโทรดทั้ง 3 ชนิดเข้ากับเครื่องควบคุมการให้กระแสไฟฟ้า ตามวิธีในข้อ 10.3 แล้วตั้งค่าความต่างศักยไฟฟ้า (potential) คงที่ ให้เท่ากับ 0.93 โวลต์ และตั้งค่าเวลาที่ใช้ในการวิเคราะห์ (duration time) เท่ากับ 10000 วินาที จากนั้นกด start เพื่อเริ่มต้นทำงาน รอจนกระทั่งสัญญาณไฟฟ้าคงที่ แล้วทำการเติมยาฆ่าแมลงลงในบัฟเฟอร์ฟอสเฟต ซึ่งจะทำให้สัญญาณไฟฟ้าเพิ่มสูงขึ้น รอจนกระทั่งสัญญาณไฟฟ้าคงที่ แล้วเติมยาฆ่าแมลงลงในบัฟเฟอร์ฟอสเฟตเรื่อยๆ จนกระทั่งทำให้สัญญาณไฟฟ้าไม่เปลี่ยนแปลง หรือสัญญาณที่เพิ่มขึ้นมีค่าน้อยกว่า 3 เท่าของสัญญาณรบกวน (noise)

#### 10.6 การศึกษาหาสภาพที่เหมาะสมของเมทัลพาไรโซนไฮโดรเรสอิเลคโทรด

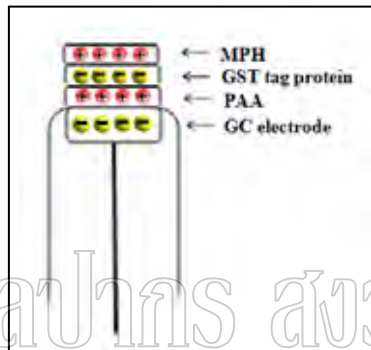
หลังจากที่นำรีคอมบิแนนท์เอนไซม์มาสร้างเป็นไนโอะเซนเซอร์ โดยทำการตรึงลงบนคาร์บอนนาโนทิวป์ และหยดลงบนอิเลคโทรดแล้ว ทำการศึกษาหาสภาพที่เหมาะสมของเมทัลพาไรโซนไฮโดรเรสโดยวิธีการทดสอบบนอิเลคโทรด เพื่อทำให้ได้ค่าไวในการตรวจวัด (sensitivity) สูงที่สุด โดยศึกษาปัจจัยดังต่อไปนี้

10.6.1 การหาปริมาณของรีคอมบิแนนท์เอนไซม์เมทัลพาไรโซนไฮโดรเรสที่เหมาะสมที่สุด สำหรับตรึงบนคาร์บอนนาโนทิวป์ที่ให้ค่าความไวในการตรวจวัดสูงที่สุด โดยทำการตรึงรีคอมบิแนนท์เอนไซม์เมทัลพาไรโซนไฮโดรเรสลงบนคาร์บอนนาโนทิวป์ ตามวิธีในข้อ 10.2.2 โดยใช้เอนไซม์ที่ปริมาณต่างๆ คือ 0.894, 1.260, 1.788 และ 2.235 มิลลิกรัม แล้วหยดลงบนกลาสเซียร์บอนอิเลคโทรด ปริมาตร 40 ไมโครลิตร โดยทำการหยดครั้งละ 10 ไมโครลิตร ทึ้ง

ไว้ให้แห้ง เก็บอิเลคโทรดไว้ที่อุณหภูมิ 4 องศาเซลเซียส จนกว่าจะใช้ จากนั้นทำการวัดการตอบสนองสัญญาณทางไฟฟ้าของปฏิกิริยาไฮโดรไลซิสของยาฆ่าแมลง ตามวิธีในข้อ 10.5

10.6.2 การเปรียบเทียบวิธีการตรึงเอนไซม์เมทธิลพาราไฮroxอนไฮโดรเลสบนกลาสซีคราร์บอนอิเลคโทรด ที่ทำให้ได้ค่าไว้ในการตรวจสูงที่สุด

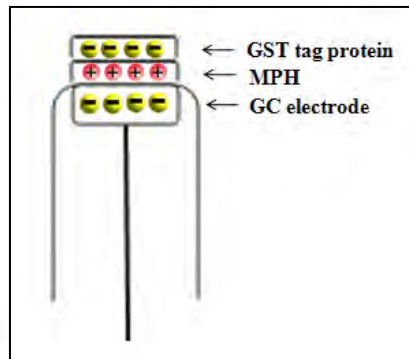
10.6.2.1 ทำการตรึงเอนไซม์เมทธิลพาราไฮroxอนไฮโดรเลสบนกลาสซีคราร์บอนอิเลคโทรดด้วยวิธี layer by layer electrostatic self assembly immersion technique (ดัดแปลงจากวิธีของ Galan-Vidal *et al.*, 1989) โดยการแช่ (immersed) อิเลคโทรดลงในชั้นของสารละลายต่างๆ โดยอาศัยแรงระหงระหงประจุทำให้เกิดการประกอบตัวของโนเมเลกุลต่างๆ ด้วยตัวเองอย่างมีระเบียบ (self assembly) ซึ่งจะได้โนดิฟายด์กลาสซีคราร์บอนอิเลคโทรด 4 ชนิด ดังต่อไปนี้



## มหาวิทยาลัยศิลปากร สงขลาศึกษา

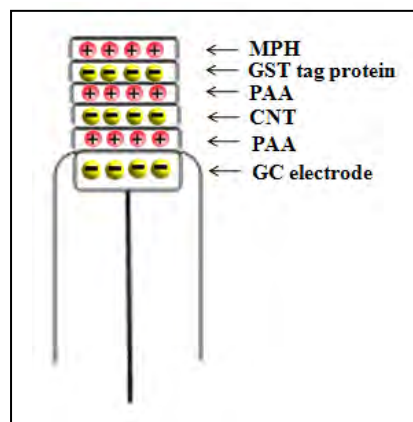
ภาพที่ 28 GC-PAA-GST-MPH โนดิฟายด์อิเลคโทรด

10.6.2.1.1 GC-PAA-GST-MPH โนดิฟายด์อิเลคโทรด ดังภาพที่ 28 โดยแช่กลาสซีคราร์บอนอิเลคโทรดลงในสารละลาย PAA ปริมาณ 1 มิลลิกรัมต่อมิลลิลิตร ที่ละลายในโซเดียมคลอไรด์ ความเข้มข้น 0.5 โมลาร์ ปริมาตร 1000 ไมโครลิตร ทำการกวนด้วยแท่งแม่เหล็ก เป็นเวลา 20 นาที แล้วทิ้งอิเลคโทรดไว้ให้แห้ง จากนั้นล้างอิเลคโทรดด้วยน้ำที่ปราศจากไอออน โดยแช่อิเลคโทรดลงในน้ำที่ปราศจากไอออน กวนด้วยแท่งแม่เหล็ก เป็นเวลา 20 นาที แล้วทิ้งอิเลคโทรดไว้ให้แห้ง ทำการแช่กลาสซีคราร์บอนอิเลคโทรดลงในสารละลายที่มีรีคอนบิเนนท์อ่อนไชม์เมทธิลพาราไฮroxอนไฮโดรเลส ในปริมาณที่เหมาะสม (ตามผลที่ได้ในข้อ 10.6.1) ปริมาตร 1000 มิลลิลิตร กวนด้วยแท่งแม่เหล็ก เป็นเวลา 20 นาที ทิ้งอิเลคโทรดไว้ให้แห้ง จากนั้นทำการล้างอิเลคโทรดด้วยน้ำที่ปราศจากไอออน โดยแช่อิเลคโทรดลงในน้ำที่ปราศจากไอออน กวนด้วยแท่งแม่เหล็ก เป็นเวลา 20 นาที ทิ้งไว้ให้แห้ง แล้วเก็บอิเลคโทรดไว้ที่อุณหภูมิ 4 องศาเซลเซียส จนกว่าจะใช้ จากนั้นทำการวัดการตอบสนองสัญญาณทางไฟฟ้าของปฏิกิริยาไฮโดรไลซิสของยาฆ่าแมลง ตามวิธีในข้อ 10.5



ภาพที่ 29 GC-MPH-GST โ้มดิฟายค์อิเลคโทรด

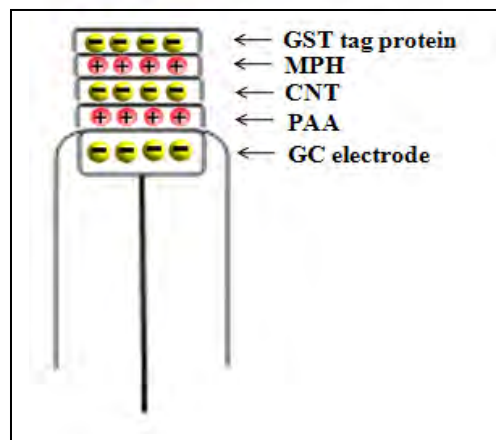
10.6.2.1.2 GC-MPH-GST โ้มดิฟายค์อิเลคโทรด ดังในภาพที่ 29 โดยแซ่กลาสซีการ์บอนอิเลคโทรดลงในสารละลายน้ำที่มีรีคอมบิแนนท์เอนไซม์เมทชิลพารา-ไไฮดรอโคเลส ในปริมาณที่เหมาะสม (ตามผลที่ได้ในข้อ 10.6.1) ปริมาตร 1000 มิลลิลิตร ควบคู่ไปกับการล้างอิเลคโทรดด้วยน้ำที่ปราศจากไออกอน วิดยแฟชั่โนิเลคโทรดลงในน้ำที่ปราศจากไออกอน และกวณด้วยแท่งแม่เหล็กเป็นเวลา นาน 20 นาที ทั้งอิเลคโทรดไว้ให้แห้ง จากนั้นทำการล้างอิเลคโทรดด้วยน้ำที่ปราศจากไออกอน วิดยแฟชั่โนิเลคโทรดลงในน้ำที่ปราศจากไออกอน และกวณด้วยแท่งแม่เหล็กเป็นเวลา นาน 20 นาที ทั้งอิเลคโทรดไว้ให้แห้ง เก็บอิเลคโทรดไว้ที่อุณหภูมิ 4 องศาเซลเซียส จนกว่าจะใช้ จากนั้นทำการวัดการตอบสนองสัญญาณทางไฟฟ้าของปฏิกิริยาไฮโดรเจนไซต์ ตามวิธีในข้อ 10.5



ภาพที่ 30 GC-PAA-CNT-PAA-GST-MPH โ้มดิฟายค์อิเลคโทรด

10.6.2.1.3 GC-PAA-CNT-PAA-GST-MPH โ้มดิฟายค์อิเลคโทรด ดังในภาพที่ 30 โดยแซ่กลาสซีการ์บอนอิเลคโทรดลงในสารละลายน้ำ PAA ปริมาณ 1 มิลลิกรัมต่อมิลลิลิตร ที่ละลายน้ำเดียวคลอไรด์ ความเข้มข้น 0.5 มิลลิกรัม ปริมาตร 1000

ไมโครลิตเตอร์ ทำการกวนด้วยแท่งแม่เหล็ก เป็นเวลา 20 นาที ทึ่งอิเลคโทรดไว้ให้แห้ง จากนั้นทำการล้างอิเลคโทรดด้วยน้ำที่ปราศจากไออกอน โดยแซ่บอิเลคโทรคลงในน้ำที่ปราศจากไออกอน แล้วกวนด้วยแท่งแม่เหล็ก เป็นเวลา 20 นาที ทึ่งอิเลคโทรดไว้ให้แห้ง แล้วแซ่ก拉斯ซีไซร์บอน อิเลคโทรคลงในสารละลายคาร์บอนนาโนทิวป์ปริมาณ 1 มิลลิกรัมต่อมิลลิลิตร ปริมาตร 1000 ไมโครลิตเตอร์ กวนด้วยแท่งแม่เหล็ก เป็นเวลา 20 นาที ทึ่งอิเลคโทรดไว้ให้แห้ง แล้วล้างอิเลคโทรดด้วยน้ำที่ปราศจากไออกอน โดยแซ่บอิเลคโทรคลงในน้ำที่ปราศจากไออกอน กวนด้วยแท่งแม่เหล็ก เป็นเวลา 20 นาที และทึ่งอิเลคโทรดไว้ให้แห้ง จากนั้นแซ่บอิเลคโทรคลงในสารละลาย PAA ปริมาณ 1 มิลลิกรัมต่อมิลลิลิตร ที่ละลายในโซเดียมคลอไรด์ ความเข้มข้น 0.5 โมลาร์ ปริมาตร 1000 ไมโครลิตเตอร์ ทำการกวนด้วยแท่งแม่เหล็ก เป็นเวลา 20 นาที ทึ่งไว้ให้แห้ง แล้วล้างอิเลคโทรดด้วยน้ำที่ปราศจากไออกอน โดยแซ่บอิเลคโทรคลงในน้ำที่ปราศจากไออกอน กวนด้วยแท่งแม่เหล็ก เป็นเวลา 20 นาที ทึ่งอิเลคโทรดไว้ให้แห้ง จากนั้นแซ่บอิเลคโทรคลงในสารละลายที่มีรีคอมบินันท์่อน ไซเมเน็มทิลพาราไโซน ไซโตรเลสในปริมาณที่เหมาะสม (ตามผลที่ได้ในข้อ 10.6.1) ปริมาตร 1000 มิลลิลิตร กวนด้วยแท่งแม่เหล็ก เป็นเวลา 20 นาที ทึ่งอิเลคโทรดไว้ให้แห้ง จากนั้nl ล้างอิเลคโทรดด้วยน้ำที่ปราศจากไออกอน โดยแซ่บอิเลคโทรคลงในน้ำที่ปราศจากไออกอน แล้วกวนด้วยแท่งแม่เหล็ก เป็นเวลา 20 นาที ทึ่งอิเลคโทรดไว้ให้แห้ง ทำการเก็บอิเลคโทรดไว้ที่อุณหภูมิ 4 องศาเซลเซียส จนกว่าจะใช้ จากนั้นทำการวัดการตอบสนองสัญญาณทางไฟฟ้าของปฏิกิริยาไฮโดรไลซิสของยาตามแมลง ตามวิธีในข้อ 10.5



ภาพที่ 31 GC-PAA-CNT-MPH-GST โมดิฟายด์อิเลคโทรด

10.6.2.1.4 GC-PAA-CNT-MPH-GST โมดิฟายด์อิเลคโทรด ดังในภาพที่ 31 โดยแซ่ก拉斯ซีไซร์บอนอิเลคโทรคลงในสารละลาย PAA ปริมาณ 1 มิลลิกรัมต่อมิลลิลิตร ที่ละลายในโซเดียมคลอไรด์ ความเข้มข้น 0.5 โมลาร์ ปริมาตร 1000 ไมโครลิตเตอร์ ทำการ

กวนด้วยแท่งแม่เหล็ก เป็นเวลานาน 20 นาที ทึ้งอิเลคโทรดไว้ให้แห้ง จากนั้นล้างอิเลคโทรดด้วยน้ำที่ปราศจากไออกอน โดยแซ่อิเลคโทรดลงในน้ำที่ปราศจากไออกอน กวนด้วยแท่งแม่เหล็กนาน 20 นาที ทึ้งอิเลคโทรดไว้ให้แห้ง แล้วแซ่กลาสซีคาร์บอนอิเลคโทรดลงในสารละลายคาร์บอนนาโนทิวบ์ปริมาณ 1 มิลลิกรัมต่อมิลลิลิตร ปริมาตร 1000 ไมโครลิตร กวนด้วยแท่งแม่เหล็ก เป็นเวลานาน 20 นาที ทึ้งอิเลคโทรดไว้ให้แห้ง ทำการล้างอิเลคโทรดด้วยน้ำที่ปราศจากไออกอน โดยแซ่อิเลคโทรดลงในน้ำที่ปราศจากไออกอน แล้วกวนด้วยแท่งแม่เหล็ก เป็นเวลานาน 20 นาที ทึ้งอิเลคโทรดไว้ให้แห้ง ทำการแซ่อิเลคโทรดลงในสารละลายที่มีรีคอมบิแนนท์เอ็นไซม์เมทธิลพารา-ไชโอนไฮโดรเลสในปริมาณที่เหมาะสม (ตามผลที่ได้ในข้อ 10.6.1) ปริมาตร 1000 มิลลิลิตร กวนด้วยแท่งแม่เหล็ก เป็นเวลานาน 20 นาที ทึ้งอิเลคโทรดไว้ให้แห้ง จากนั้nl ล้างอิเลคโทรดด้วยน้ำที่ปราศจากไออกอน โดยแซ่อิเลคโทรดลงในน้ำที่ปราศจากไออกอน แล้วกวนด้วยแท่งแม่เหล็ก เป็นเวลานาน 20 นาที ทึ้งอิเลคโทรดไว้ให้แห้ง ทำการเก็บอิเลคโทรดไว้ที่อุณหภูมิ 4 องศาเซลเซียส จนกว่าจะใช้ จากนั้นทำการวัดการตอบสนองสัญญาณทางไฟฟ้าของปฏิกิริยาไฮโดรไลซิสของยาฆ่าแมลง ตามวิธีในข้อ 10.5

10.6.2.2 ทำการตระึงรีคอมบิแนนท์เอ็นไซม์เมทธิลพาราไชโอนไฮโดรเดสบันกลาสซีคาร์บอนอิเลคโทรดด้วยวิธี layer by layer electrostatic self assembly drop dry technique โดยตระึงรีคอมบิแนนท์เอ็นไซม์บันการ์บอนนาโนทิวบ์โดยอาศัยแรงระหว่างประจุในหลอดไมโครเซนทริฟิวจ์ ทำให้เกิดการประกลบตัวของโมเลกุลต่างๆ ด้วยตัวเองอย่างมีระเบียบ (self assembly) ซึ่งจะได้โนดิฟายด์กลาสซีคาร์บอนอิเลคโทรด (modified glassy carbon electrode) 2 ชนิด ดังต่อไปนี้

10.6.2.2.1 GC-CNT-PAA-GST-MPH โนดิฟายด์อิเลคโทรด (ดัดแปลงจากวิธีของ Munge *et al.*, 1989) โดยทำการตระึงรีคอมบิแนนท์เอ็นไซม์เมทธิลพารา-ไชโอนไฮโดรเลสในปริมาณที่เหมาะสม (ตามผลที่ได้ในข้อ 10.6.1) ลงบนการ์บอนนาโนทิวบ์ ตามวิธีในข้อ 10.2.2 แล้วหยดเอ็นไซม์ที่ถูกตระึงบนการ์บอนนาโนทิวบ์ลงบนกลาสซีคาร์บอนอิเลคโทรด ปริมาตร 40 ไมโครลิตร โดยหยดครั้งละ 10 ไมโครลิตร ทึ้งอิเลคโทรดไว้ให้แห้ง แล้วเก็บอิเลคโทรดไว้ที่อุณหภูมิ 4 องศาเซลเซียส จนกว่าจะใช้ จากนั้นทำการวัดการตอบสนองสัญญาณทางไฟฟ้าของปฏิกิริยาไฮโดรไลซิสของยาฆ่าแมลง ตามวิธีในข้อ 10.5

10.6.2.2.2 GC-CNT-MPH-GST โนดิฟายด์อิเลคโทรด โดยทำการตระึงรีคอมบิแนนท์เอ็นไซม์เมทธิลพาราไชโอนไฮโดรเลสบนการ์บอนนาโนทิวบ์ โดยใส่การ์บอนนาโนทิวบ์ปริมาณ 1 มิลลิกรัมต่อมิลลิลิตร ในหลอดไมโครเซนทริฟิวจ์ แล้วใส่รีคอมบิแนนท์เอ็นไซม์ลงไว้ในปริมาณที่เหมาะสม (ตามผลที่ได้ในข้อ 10.6.1) ทำการปรับปริมาตร

ด้วยน้ำที่ปราศจากไออกอนให้เป็น 1000 มิลลิลิตร แล้วเบ่าๆ ทิ้งไว้เป็นเวลา 20 นาที ทำการปั่น เหวี่ยงตกร่องที่ความเร็ว 12,000 รอบต่อนาที นาน 15 นาที ทิ้งสารละลายส่วนใส แล้วทำการล้าง ตะกอนเพื่อเอาอนไซม์ที่ไม่จับกับคาร์บอน- นาโนทิวป์ออกด้วยน้ำที่ปราศจากไออกอน ปริมาตร 1000 มิลลิลิตร เบ่าๆ เป็นเวลา 20 นาที ทำการปั่นเหวี่ยงตกร่องที่ความเร็ว 12,000 รอบ ต่อนาที นาน 15 นาที ทิ้งสารละลายส่วนใส แล้วทำการล้างตะกอนซ้ำอีก 2 ครั้ง ละลายตะกอนที่ได้ ด้วยน้ำที่ปราศจากไออกอน ปริมาตร 1000 มิลลิลิตร จากนั้นนำไปหยดลงบนกลาสซีคาร์บอนอิเลคโทร รด ปริมาตร 40 ไมโครลิตร โดยหยดครั้งละ 10 ไมโครลิตร ทิ้งอิเลคโทรดไว้ให้แห้ง แล้วเก็บอิเลคโทรดไว้ที่อุณหภูมิ 4 องศาเซลเซียส จนกว่าจะใช้ จากนั้นทำการวัดการตอบสนองสัญญาณทางไฟฟ้าของปฏิกิริยาไฮโอดรอลิซิสของยาฆ่าแมลง ตามวิธีในข้อ 10.5

10.6.2.3 ทำการตึงรีคอมบิแนนท์เอนไซม์เมทิลพาราไฮออกอน-ไฮโอดรอลิสบนกลาสซีคาร์บอนอิเลคโทรดด้วยวิธีการหยดลงบนอิเลคโทรด (drop dry) ซึ่งจะได้ โนดิฟายด์กลาสซีคาร์บอนอิเลคโทรด 2 ชนิด ดังต่อไปนี้

10.6.2.3.1 GC-enzyme โนดิฟายด์อิเลคโทรด โดยทำการ หยดรีคอมบิแนนท์เอนไซม์ในปริมาณที่เหมาะสม (ตามผลที่ได้ในข้อ 10.6.1) ลงบน กลาสซีคาร์บอนอิเลคโทรด ปริมาตร 40 ไมโครลิตร โดยทำการหยดครั้งละ 10 ไมโครลิตร ทิ้ง อิเลคโทรดไว้ให้แห้ง แล้วเก็บอิเลคโทรดไว้ที่อุณหภูมิ 4 องศาเซลเซียส จนกว่าจะใช้ จากนั้นทำการ วัดการตอบสนองสัญญาณทางไฟฟ้าของปฏิกิริยาไฮโอดรอลิซิสของยาฆ่าแมลง ตามวิธีในข้อ 10.5

10.6.2.3.2 GC-CNT-enzyme โนดิฟายด์อิเลคโทรด โดยทำการ หยดคาร์บอนนาโนทิวป์ที่ความเข้มข้น 1 มิลลิกรัมต่อมิลลิลิตร ลงบนกลาสซีคาร์บอนอิเลคโทรด ปริมาตร 40 ไมโครลิตร โดยทำการหยดครั้งละ 10 ไมโครลิตร ทิ้งอิเลคโทรดไว้ให้แห้ง จากนั้nl ล้างอิเลคโทรดด้วยน้ำที่ปราศจากไออกอน แล้วทิ้งอิเลคโทรดไว้ให้แห้ง แล้วทำการหยด รีคอมบิแนนท์เอนไซม์ในปริมาณที่เหมาะสม (ตามผลที่ได้ในข้อ 10.6.1) ลงบนกลาสซีคาร์บอน- อิเลคโทรด ปริมาตร 40 ไมโครลิตร โดยทำการหยดครั้งละ 10 ไมโครลิตร ทิ้งอิเลคโทรดไว้ให้แห้ง แล้วเก็บอิเลคโทรดไว้ที่อุณหภูมิ 4 องศาเซลเซียส จนกว่าจะใช้ จากนั้นทำการวัดการตอบสนอง สัญญาณทางไฟฟ้าของปฏิกิริยาไฮโอดรอลิซิสของยาฆ่าแมลง ตามวิธีในข้อ 10.5

10.6.3 การศึกษาหาค่าสักย์ไฟฟ้าที่เหมาะสมที่สุดสำหรับการเกิดปฏิกิริยา ออกซิเดชั่นของพาราไฮโอดรฟินอล โดยทำการศึกษาไฮโอดรайдนาโนมิกโวลแท็มโนแกรม (hydrodynamic voltrammogram; HDV) สำหรับทำการวัดปฏิกิริยาออกซิเดชั่นของพาราไฮโอดรฟินอล เพื่อที่จะให้ค่าความไวในการตรวจวัดยาฆ่าแมลงของเมทิลพาราไฮโอดรอลิส ใบโอเชนเซอร์สูงที่สุด โดยทำการตึงรีคอมบิแนนท์เอนไซม์ลงบนกลาสซีคาร์บอนอิเลคโทรด

ด้วยวิธีที่เหมาะสมที่สุด (ตามผลที่ได้ในข้อ 10.6.2) จากนั้นทำการวัดการตอบสนองสัญญาณทางไฟฟ้าของปฏิกิริยาไฮโดรไอลซิสของยาฆ่าแมลง ตามวิธีในข้อ 10.5 โดยทำการเปรียบเทียบค่าความต่างศักย์ไฟฟ้าคงที่ ต่างๆ ดังนี้ 0.80, 0.90, 0.93, 0.95, 0.98 และ 1.00 โวลต์

#### **10.6 การศึกษาคุณลักษณะของเมทัลพาราไฮอ่อนไฮโดรเลสอิเลคโทรด**

หลังจากที่นำรีคอมบิแนนท์เอนไซม์มาสร้างเป็นไบโอดิเซนเซอร์ โดยทำการศึกษาหาสภาวะที่เหมาะสมในการสร้างไบโอดิเซนเซอร์แล้ว ทำการศึกษาหาคุณลักษณะเมทัลพาราไฮอ่อนไฮโดรเลสอิเลคโทรด โดยศึกษาปัจจัยดังต่อไปนี้

##### **10.6.1 การศึกษาหาค่าความเสถียรของอิเลคโทรด**

ทำการตรึงรีคอมบิแนนท์เอนไซม์เมทัลพาราไฮอ่อนไฮโดรเลสบนคาร์บอนนาโนทิวป์ ด้วยวิธีที่เหมาะสมที่สุด (ตามผลที่ได้ในข้อ 10.6.2) จากนั้นทำการวัดการตอบสนองสัญญาณทางไฟฟ้าของปฏิกิริยาไฮโดรไอลซิสของยาฆ่าแมลง ตามวิธีในข้อ 10.5 โดยทำการวัดที่ระยะเวลาต่างๆ ตั้งแต่วันที่ 1, 2, 3,..., 30 ตามลำดับ

##### **10.6.2 การศึกษาหาค่าความสามารถในการวัดช้าอย่างต่อเนื่องของอิเลคโทรด**

ทำการตรึงรีคอมบิแนนท์เอนไซม์เมทัลพาราไฮอ่อนไฮโดรเลสบนคาร์บอนนาโนทิวป์ ด้วยวิธีที่เหมาะสมที่สุด (ตามผลที่ได้ในข้อ 10.6.2) จากนั้นทำการวัดการตอบสนองสัญญาณทางไฟฟ้าของปฏิกิริยาไฮโดรไอลซิสของยาฆ่าแมลง โดยทำการวัดช้าจำนวน 15 ครั้ง ด้วยอิเลคโทรดเดิมตามวิธีในข้อ 10.5

##### **10.6.3 การศึกษาหาค่าพิสัยเชิงเส้น (linear range) ของการวัด**

ทำการตรึงรีคอมบิแนนท์เอนไซม์เมทัลพาราไฮอ่อนไฮโดรเลสบนคาร์บอนนาโนทิวป์ ด้วยวิธีที่เหมาะสมที่สุด (ตามผลที่ได้ในข้อ 10.6.2) จากนั้นทำการวัดการตอบสนองสัญญาณทางไฟฟ้าของปฏิกิริยาไฮโดรไอลซิสของยาฆ่าแมลง ตามวิธีในข้อ 10.5

##### **10.6.4 การศึกษาหาค่าความไว (sensitivity) ของอิเลคโทรด**

ทำการตรึงรีคอมบิแนนท์เอนไซม์เมทัลพาราไฮอ่อนไฮโดรเลสบนคาร์บอนนาโนทิวป์ ด้วยวิธีที่เหมาะสมที่สุด (ตามผลที่ได้ในข้อ 10.6.2) จากนั้นทำการวัดการตอบสนองสัญญาณทางไฟฟ้าของปฏิกิริยาไฮโดรไอลซิสของยาฆ่าแมลง ตามวิธีในข้อ 10.5

##### **10.6.5 การศึกษาหาค่าความเข้มข้นต่ำสุด (limit of detection) ที่สามารถวัดได้**

ทำการตรึงรีคอมบิแนนท์เอนไซม์เมทัลพาราไฮอ่อนไฮโดรเลสบนคาร์บอนนาโนทิวป์ ด้วยวิธีที่เหมาะสมที่สุด (ตามผลที่ได้ในข้อ 10.6.2) จากนั้นทำการวัดการตอบสนองสัญญาณทางไฟฟ้าของปฏิกิริยาไฮโดรไอลซิสของยาฆ่าแมลง ตามวิธีในข้อ 10.5

## 10.7 นำใบโอเซนเชอร์ที่ได้มาทดสอบตัวอย่างจริง

หลังจากที่นำรีคอนบิแวนท์เข้าไปในโอเซนเชอร์ ทำการศึกษาหา สภาวะที่เหมาะสมที่ใช้ในการสร้างใบโอเซนเชอร์ และทำการศึกษาหาคุณลักษณะของเมธิลพาราไซดอนไฮโดรเลสอิเดคโทรดที่ได้แล้ว นำใบโอเซนเชอร์นี้มาทดสอบกับตัวอย่างจริง โดยใช้ เมธิลพาราไซดอนไฮโดรเลสอิเดคโทรดวัดยาฆ่าแมลงที่อยู่ในน้ำตัวอย่าง โดยทำการเก็บน้ำตัวอย่างมาจากแหล่งน้ำที่บริเวณบึงชุมชนที่ยังไม่ได้รับการกำจัด เช่น บึงชั้น 200 ไมโครเมตร จากนั้นทำการเติมจากน้ำตัวอย่างให้มีความเข้มข้น 40 ไมโครเมตร โดยใช้น้ำตัวอย่างในการทำการเจือจาง นำน้ำตัวอย่างที่มียาฆ่าแมลงใส่ลงในบันเฟอร์ฟลักซ์โดยให้มีความเข้มข้นสุดท้ายเท่ากับ 76.84 นาโนเมตร ทำการวัดการตอบสนองสัญญาณทางไฟฟ้าของปฏิกิริยาไฮโดรไลซิสของยาฆ่าแมลง ตามวิธีในข้อ 10.5 แล้วคำนวณหาค่าความเข้มข้นของยาฆ่าแมลง โดยเบริญเทียบจากการฟามาตรฐาน

## 11. การหาปริมาณยาฆ่าแมลงในน้ำตัวอย่างโดยวิธีแก๊สโคมากอกราฟ

ทำการตรวจปริมาณยาฆ่าแมลงในน้ำตัวอย่างโดยวิธีแก๊สโคมากอกราฟ ด้วยเครื่องวิเคราะห์แก๊สโคมากอกราฟ (agilent technologies, USA) รุ่น agilent 6890N ที่ประกอบด้วยช่องสำหรับฉีดสารทำด้วยแก้ว (glass – lined injection port), เครื่องดูดวิเคราะห์เพลนไฟโตเมติกดี текเตอร์ (flame photometric detector) และคอลัมน์สำหรับแยกวิเคราะห์ยาฆ่าแมลง (capillary column for organophosphate pesticides) รุ่น DB-1701P นอกจากนี้ยังมีอุปกรณ์อื่นๆ อีก ดังนี้ เครื่องสำหรับทำการระเหยตัวอย่าง (rotary vacumn evaporator), กรวยแยก (separatory funnels), กระบอกตัว (graduate cylinders), กรวยกรอง (funnel), กระดาษกรอง (cotton wool for filtration), กระบอกนีดายขนาด 10 ไมโครลิตร (microsyringe, 10 microliter), ตู้อบควบคุมอุณหภูมิในช่วง 120 ถึง 250 องศาเซลเซียส แล้วนำผลที่ได้จากการวิเคราะห์ด้วยวิธีนี้นำไปเบริญเทียบกับวิธีการตรวจวัดยาฆ่าแมลงในน้ำตัวอย่างด้วยใบโอเซนเชอร์ ซึ่งการตรวจวัดปริมาณยาฆ่าแมลงในน้ำตัวอย่างโดยวิธีแก๊สโคมากอกราฟ มีขั้นตอนดังๆ ดังต่อไปนี้

### 11.1 การเตรียมตัวอย่างที่จะทำการวัด

นำน้ำตัวอย่างซึ่งเก็บจากแหล่งน้ำที่บริเวณบึงชุมชนที่ยังไม่ได้รับการกำจัด เช่น บึงชั้น 200 ไมโครเมตร ให้มีความเข้มข้นเท่ากับ 10 นาโนกรัมต่อมิลลิลิตร ปริมาตร 1 ลิตร จากนั้นทำการสกัดยาฆ่าแมลงจากน้ำตัวอย่าง โดยใส่น้ำตัวอย่างปริมาตร 500 มิลลิลิตร ในกรวยแยกขนาด 1 ลิตร จากนั้นเติมสารละลายเออทิลอะซิเตറ ปริมาตร 100 มิลลิลิตร ลงในกรวยกรองที่มีน้ำตัวอย่างอยู่ ทำการเขย่ากรวยแยกเป็นเวลาประมาณ 2 นาที แล้วตั้งกรวยแยกทิ้งไว้ 10 นาที เพื่อให้สารละลายแยกชั้นกัน จากนั้น ไขกอกของกรวยแยกเพื่อทำการแยกตัวอย่างน้ำออกจากสารละลายเออทิล-

อะซิเตรท ทำการเติมโซเดียมซัลเฟต (sodium sulphate,  $\text{Na}_2\text{SO}_4$ ) 1 ช้อน (ประมาณ 20 กรัม) ลงในสารละลายนอกอุ่นแล้วทำการกรองด้วยกระดาษกรอง นำตัวอย่างน้ำใส่เข้าไปในกรวยแยกอีกครึ่ง แล้วเติมจากนั้นเติมสารละลายนอกอุ่น ปริมาตร 50 มิลลิลิตร แล้วทำการสกัดซ้ำ เติมโซเดียมซัลเฟต และกรองด้วยกระดาษกรอง ทำการสกัดทั้งหมด 3 ครั้ง ด้วยสารละลายนอกอุ่น-อะซิเตรทปริมาตร 50 มิลลิลิตร เติมโซเดียมซัลเฟต และกรองด้วยกระดาษกรอง

### **11.2 การวิเคราะห์ตัวอย่างด้วยแก๊สโคมไฟฟลูออเรสเซนต์**

หลังจากที่ทำการเตรียมตัวอย่างแล้ว จึงนำตัวอย่างมาทำการวิเคราะห์ด้วยวิธีแก๊สโคมไฟฟลูออเรสเซนต์ โดยทำการฉีดสารละลายนอกอุ่นอะซิเตรท ปริมาตร 1 ไมโครลิตร เข้าไปในคอลัมน์ DB-1701P จากนั้นทำการฉีดตัวอย่างที่เตรียมไว้ในข้อ 11.1 เข้าไปในคอลัมน์ ใช้แก๊สไฮเดรียม (helium) เป็นส่วนที่เคลื่อนที่ (mobile phase) โดยให้อัตราการไหลของแก๊สเท่ากับ 60 มิลลิลิตรต่อนาที ซึ่งภายในทำการควบคุมอุณหภูมิเท่ากับ 250 องศาเซลเซียส และกำหนดให้ระยะเวลาที่ใช้ในการแยกวิเคราะห์อย่างแมลง (retention time) เท่ากับ 26 นาที สำหรับส่วนที่ทำการตรวจวัด ทำการควบคุมอุณหภูมิเท่ากับ 250 องศาเซลเซียส โดยให้มีอัตราการไหลของไฮเดรียมเท่ากับ 150 มิลลิลิตรต่อนาที และอัตราการไหลของออกซิไดซ์เชอร์แก๊ส (oxidizer gas) เท่ากับ 110 มิลลิลิตรต่อนาที ซึ่งออกซิไดซ์เชอร์แก๊สที่ใช้เป็นอาகาศ โดยทำการควบคุมให้อัตราการไหลของแก๊สทั้ง 2 ชนิดหลังจากที่ผสมกันแล้วเท่ากับ 60 มิลลิลิตรต่อนาที และทำการตรวจวัดยาฆ่าแมลงเมทธิลพาราไซดอนที่ออกจากคอลัมน์ด้วยเครื่องตรวจวิเคราะห์เพลมโพโนเมตريك ดีแทคเตอร์

### **11.3 การเตรียมกราฟมาตรฐานเมทธิลพาราไซดอน**

ทำการฉีดสารละลายนอกอุ่นอะซิเตรท ปริมาตร 1 ไมโครลิตร เข้าไปในคอลัมน์ DB-1701P จากนั้นทำการฉีดสารละลายน้ำมาตรฐานเมทธิลพาราไซดอนที่ความเข้มข้นต่างๆ ดังนี้ 0.2, 0.5, 1.0 และ 2.0 นาโนกรัมต่อ ไมโครโมลิตร เข้าไปในคอลัมน์ ทำการการวิเคราะห์สารละลายน้ำมาตรฐานเมทธิลพาราไซดอนด้วยวิธีแก๊สโคมไฟฟลูออเรสเซนต์ ตามวิธีการในข้อ 11.2

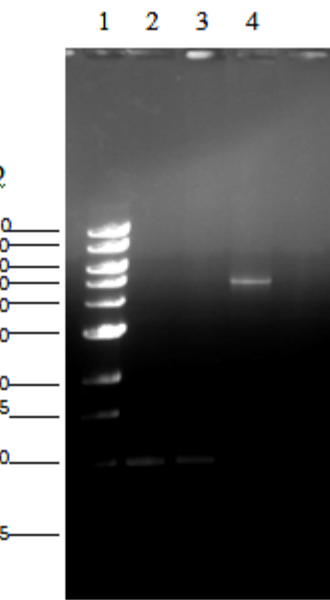
## บทที่ 4

### ผลและวิจารณ์ผลการทดลอง

#### 1. การสร้างรีคอมบินาชันท์โคลนใน expression vector pGEX-4T-2

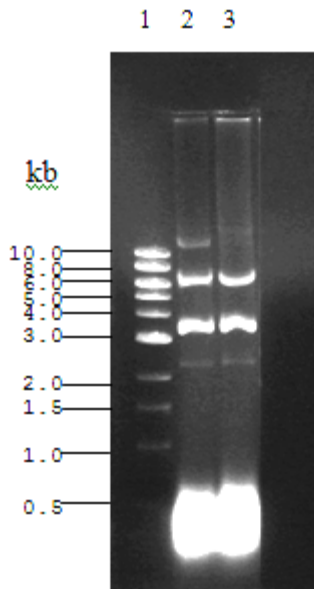
นำดีเอ็นเอจีโนมของเชื้อแบคทีเรีย *Burkholderia cepacia* ที่สามารถย่อยสลายยาฆ่าแมลงเมธิลพาราไซอ่อนมาเป็นดีเอ็นเอแม่แบบ (template DNA) ในปฏิกิริยา PCR โดยใช้คู่ไพรเมอร์ Exp1 และ Exp2 ซึ่งออกแบบมาจากข้อมูลลำดับนิวคลีโอไทด์ตรงบริเวณหัวและท้ายของยีนที่สร้างເອນไซม์เมธิลพาราไซอ่อนໄ奥地รอล เจ้าตัวเชื้อแบคทีเรีย *Burkholderia cepacia* ที่สามารถย่อยสลายยาฆ่าแมลงเมธิลพาราไซอ่อน (สาขาวัฒน์ วงศ์เทียนหลาย, 2547) โดยเพิ่มตัวแหน่งของยีนไซม์ตัดจำพวก *BamHI* และยีนไซม์ตัดจำพวก *XhoI* เพื่อให้ง่ายต่อการโคลนในพลาสมิด pGEX-4T-2 จากการทดลองพบว่า เกิดชิ้นดีเอ็นเอที่มีขนาดประมาณ 1.0 กิโลเบส และเมื่อนำดีเอ็นเอนี้มาทำบริสุทธิ์ได้ผลดังแสดงในภาพที่ 32 ซึ่งพบว่ามีขนาดใกล้เคียงกับยีนที่สร้างເອนไซม์เมธิลพาราไซอ่อนໄ奥地รอล (989 bp) ที่ใช้เป็นแม่แบบ และดีเอ็นเอที่แยกได้ค่อนข้างสะอาดมาก ภายหลังจากทำการเชื่อมต่อดีเอ็นเอที่แยกบริสุทธิ์แล้วนี้เข้ากับดีเอ็นเอพากะ pCR Blunt และถ่ายโอนเข้าไปใน One Shot TOP10 chemically competent *E. coli* พบว่ามีโคลนีสีขาวเกิดขึ้นจำนวนมาก ซึ่งการเตรียมชิ้นดีเอ็นเอในการสร้าง expression clone ทำโดยเลือกโคลนีมาสักด้วยพลาสมิดแล้วตัดด้วยยีนไซม์ตัดจำพวก *BamHI* และ *XhoI*

ในการเตรียมพลาสมิด pGEX-4T-2 จะเริ่มจากการเพิ่มปริมาณพลาสมิดด้วยการถ่ายโอนพลาสมิดเข้าสู่เซลล์เจ้าบ้าน *E. coli* DH5 $\alpha$  (transformation) และทำการสักด้วยพลาสมิด pGEX-4T-2 ด้วยยีนไซม์ตัดจำพวก *BamHI* และ *XhoI* เช่นเดียวกับการตัดชิ้นดีเอ็นเอ (*mpd gene*) จากนั้นทำการแยกชิ้นดีเอ็นเอและพลาสมิดที่ตัดแล้วนี้ให้บริสุทธิ์จากเจลอะกาโรสโดยวิธีสำเร็จรูป QIAquick gel extraction ได้ผลดังภาพที่ 32 ปรากฏแถบดีเอ็นเอขนาดประมาณ 5 กิโลเบส ซึ่งใกล้เคียงกับขนาดของพลาสมิด pGEX-4T-2 ทำให้แน่ใจได้ว่าพลาสมิดและชิ้นดีเอ็นเอที่ได้นั้นมีความถูกต้อง



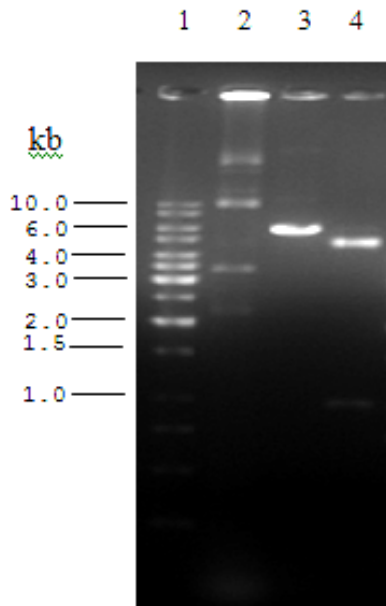
ภาพที่ 32 การแยกบริสุทธิ์ชิ้นดีเอ็นเอและพลาสมิด pGEX-4T-2 ที่ผ่านการตัดด้วยเอนไซม์ตัด จำเพาะ *BamHI* และ *XhoI* จากเจลอะกัวโรสโดยวิธีสำเร็จรูป QIAquick gel extraction, เลน 1: แอบดีเอ็นเอมาตรฐาน 1.0 kb DNA ladder, เลน 2-3: ชิ้นดีเอ็นเอที่แยกบริสุทธิ์จากเจลอะกัวโรส, เลน 4: พลาสมิด pGEX-4T-2 ที่แยกบริสุทธิ์จากเจลอะกัวโรส

เมื่อได้ชิ้นดีเอ็นเอและพลาสมิดที่ตัด และแยกบริสุทธิ์แล้ว ทำการเชื่อมต่อกันแล้วถ่ายโอนรีคอมบิแนนท์ดีเอ็นเอเข้าสู่เซลล์เจ้าบ้าน *E. coli* DH5 $\alpha$  (transformation) และทำการสกัดรีคอมบิแนนท์พลาสมิด จากนั้นทำการตรวจสอบพลาสมิดที่สกัดได้ด้วยเทคนิคอะกัวโรสเจลอิเล็กโทรโฟเรซ (agarose gel electrophoresis) พนว่ามีแบบของพลาสมิดเกิดขึ้น 3 แบบ เนื่องจากพลาสมิดอยู่ในสภาพต่างๆ ได้แก่ linear, nicked circle และ supercoil ดังแสดงในภาพที่ 33



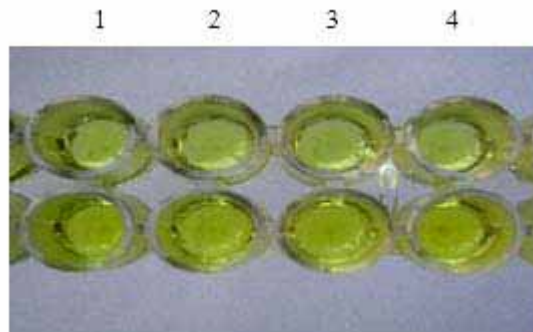
ภาพที่ 33 การสกัดรีคอมบิแนนท์พลาสมิด pGEX-4T-2 ที่มียีนเมทชิลpara-ไฮโดรเจส,  
เลน 1: 1.0 kb DNA ladder, เลน: 2-3: ผลการสกัด pGEX-4T-2

จากนั้นทำการวิเคราะห์หา โคโน้มที่มีชื่อเดิมๆ ด้วยวิธี restriction analysis โดยทำการตัดรีคอมบิแนนท์พลาสมิด pGEX-4T-2 ด้วยเอนไซม์ตัดจำเพาะ BamHI และ XbaI และทำการแยกชิ้นดีเอ็นเอและ พลาสมิดให้บริสุทธิ์จากเจลอะกอร์สโดยวิธีสำเร็จภาพ QIAquick Gel Extraction ได้ผลดังภาพที่ 34 โดยปรากฏแถบดีเอ็นเอขนาดประมาณ 1 กิโลเบต ซึ่งใกล้เคียงกับขนาดของชิ้นดีเอ็นเอ และขนาด 5 กิโลเบต ซึ่งใกล้เคียงกับขนาดของพลาสมิด pGEX-4T-2 ทำให้แน่ใจได้ว่า พลาสมิดและชิ้นดีเอ็นเอที่ได้นั้นมีความถูกต้อง



ภาพที่ 34 การทำ restriction analysis ของรีคอมบิแนนท์พลาสมิด pGEX-4T-2 ที่มียีนที่สร้างเอนไซม์เมทธิลพาราไออ่อนไออกอร์เลส โดยการตัดด้วยเอนไซม์ตัดจำเพาะ *BamHI* และ *Xhol*: เลน 1, 1.0 kb DNA ladder; เลน 2, พลาสมิด pGEX-4T-2 ที่มียีนที่สร้างเอนไซม์เมทธิลพารา-ไออ่อนไออกอร์เลส; เลน 3; รีคอมบิแนนท์พลาสมิด pGEX-4T-2 ที่มียีนที่สร้างเอนไซม์เมทธิลพารา-ไออ่อนไออกอร์เลสที่ตัดด้วยเอนไซม์ตัดจำเพาะ *BamHI*; เลน 4, รีคอมบิแนนท์พลาสมิด pGEX-4T-2 ที่มียีนที่สร้างเอนไซม์เมทธิลพารา-ไออ่อนไออกอร์เลสที่ตัดด้วยเอนไซม์ตัดจำเพาะ *BamHI* และ *Xhol*

จากการตรวจสอบทราบส์ฟอร์แมนท์ (transformants) ด้วยการทดสอบกิจกรรม (activity) ของเอนไซม์เมทธิลพาราไออกอนไออกอร์เลสโดยวิธี microtiter plate activity assay ดังภาพที่ 35 พบว่า ทราบส์ฟอร์แมนท์ที่ได้สามารถย่อยสลายเมทธิลพาราไออกอนได้โดยเปลี่ยนสีของ substrate mixture ที่มีเมทธิลพาราไออกอนเข้มข้น 50 ไมโครกรัมต่อมิลลิลิตรเป็นสีเหลืองเข้ม แสดงว่าทราบส์ฟอร์แมนท์ที่ได้มีการแสดงออกของยีนเมทธิลพาราไออกอนไออกอร์เลส ตั้งชื่อรีคอมบิแนนท์โคลนนี้ว่า DpGT ซึ่งคือ *E. coli* DH5 $\alpha$  ที่มีรีคอมบิแนนท์พลาสมิด pGEX-4T-2 :: *mpd* gene

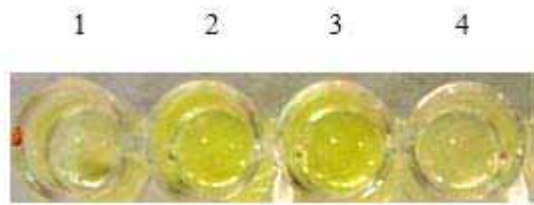


ภาพที่ 35 การทดสอบกิจกรรมของเอนไซม์เมทธิลพาราไชโอนไฮโดรเลสในรีคอมบิแนนท์โคลนต่างๆ, แคว้นหลุม 1-4 คือ microtiter well ที่มี substrate mixture เพียงอย่างเดียว (negative control), แคว้นหลุม 1: microtiter well ที่มี substrate mixture และเชื้อ *Burkholderia cepacia* ที่สามารถย่อยสารละลาย像่าแมลงเมழิลพาราไชโอน (positive control), แคว้นหลุม 2-4: microtiter well ที่มี substrate mixture และ *E. coli* DH5 $\alpha$  ที่มีรีคอมบิแนนท์พลาสมิด pGEX-4T-2 :: *mpd* gene

## 2. การตรวจสอบการแสดงออกของยีนเมทธิลพาราไชโอนไฮโดรเลสใน expression clone ด้วย

เทคนิค SDS-Polyacrylamide Gel Electrophoresis (SDS-PAGE)

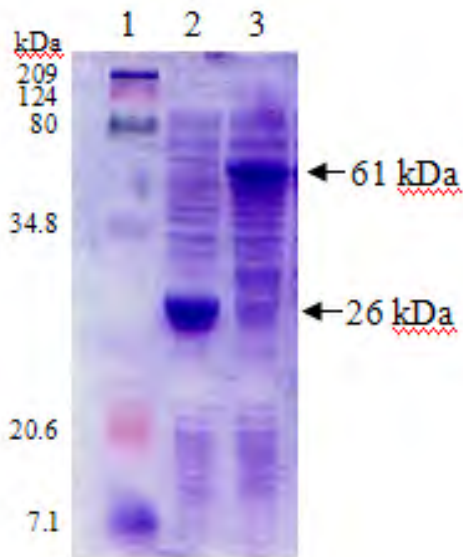
หลังจากทำการสกัดรีคอมบิแนนท์พลาสมิด (recombinant plasmid) ต่างๆ จากโคลน DpGT ที่มียีนที่สร้างเอนไซม์เมทธิลพาราไชโอนไฮโดรเลส และทำการถ่ายโอน (transformation) รีคอมบิแนนท์พลาสมิดเข้าสู่ *E. coli* BL21 แล้ว พบร่วมกับโคลนที่ไม่ได้รับการเพาะเจี้ยง LB ที่มียาปฏิชีวนะแอมพิซิลลิน ความเข้มข้น 100 ไมโครกรัมต่อนิลลิตร จำนวนหลายโคลนนี้ จากการที่ 36 เป็นการนำรีคอมบิแนนท์โคลนต่างๆ มาตรวจสอบด้วยการทดสอบกิจกรรมของเอนไซม์เมทธิลพาราไชโอนไฮโดรเลสโดยวิธี microtiter plate activity assay พร้อมทั้งทำการตั้งชื่อรีคอมบิแนนท์โคลนที่สามารถเปลี่ยนสีสารละลายเป็นสีเหลืองเข้มว่า BpGT ซึ่งคือ *E. coli* BL21 ที่มี pGEX-4T-2 :: *mpd* gene



ภาพที่ 36 การทดสอบกิจกรรมของเอนไซม์เมทิลพาราไธอ่อน ไฮโดรเลสในรีคอมบิแนนท์โคลน BpGT โดยวิธี microtiter plate activity assay ซึ่งกลุ่ม 1: microtiter well ที่มี substrate mixture เพียงอย่างเดียว (negative control), กลุ่ม 2: microtiter well ที่มี substrate mixture และเชื้อ *Burkholderia cepacia* ที่สามารถย่อยสารอินทรีย์ได้ (positive control), กลุ่ม 3: microtiter well ที่มี substrate mixture และรีคอมบิแนนท์ BpGT, กลุ่ม 4: microtiter well ที่มี substrate mixture และ *E.coli* BL21 ที่มี pGEX-4T-2

เหตุที่นำรีคอมบิแนนท์พลาสมิดที่ได้จากการเชื่อมต่อ กัน (ligation) มาถ่ายโอนเข้าสู่ *E. coli* BL21 โดยตรงนี้ การถ่ายโอนจะมีประสิทธิภาพต่ำและไม่ค่อยประสบความสำเร็จ สาเหตุเนื่องจากรีคอมบิแนนท์พลาสมิดหลังจากที่ถูกเชื่อมต่อแล้ว ส่วนใหญ่อยู่ในรูปแบบ nicked circle ดังนั้นจึงทำการถ่ายโอนรีคอมบิแนนท์พลาสมิดนี้เข้าสู่ *E. coli* DH5α ซึ่งเป็นเซลล์เจ้าบ้านสำหรับใช้ในการโคลนยืน (cloning host) เพื่อจำลอง (replicated) รีคอมบิแนนท์พลาสมิดให้มีปริมาณมาก และอยู่ในรูปแบบ supercoil หากนั้นจึงทำการสกัดรีคอมบิแนนท์พลาสมิดที่ได้จาก *E. coli* DH5α ถ่ายโอนเข้าสู่ *E. coli* BL21 ซึ่งเป็นเซลล์เจ้าบ้านสำหรับใช้ในการแสดงออกของยืน (expression host)

จากนั้นนำรีคอมบิแนนท์โคลนมาตรวจสอบการแสดงออกของยืนที่สร้างเอนไซม์เมทิลพาราไธอ่อน ไฮโดรเลสด้วยเทคนิค SDS-polyacrylamide gel electrophoresis จากภาพที่ 37 พบว่ามีการแสดงออกของยืนเมทิลพาราไธอ่อน ไฮโดรเลสอย่างชัดเจนใน expression clone BpGT โดยรีคอมบิแนนท์โปรตีนที่ได้จากพลาสมิด pGEX-4T-2 ที่ไม่มียืนเมทิลพาราไธอ่อน-ไฮโดรเลสพบว่ามีแถบของโปรตีนขนาด 26 กิโลดالتัน (เลนที่ 2) ซึ่งเป็นกลูต้าไธโอน เอส ทรานเฟอร์เลส (glutathione-s-transferase; GST) ที่เป็นโปรตีนเชื่อมต่อ (tag protein) ในขณะที่รีคอมบิแนนท์โปรตีนที่ได้จากพลาสมิด pGEX-4T-2 ที่มียืนเมทิลพาราไธอ่อน ไฮโดรเลสพบว่ามีแถบของโปรตีนขนาด 61 กิโลดالتัน (เลนที่ 3) ประกอบด้วยกลูต้าไธโอน เอส ทรานเฟอร์เลส ที่มีขนาด 26 กิโลดالتัน และเอนไซม์เมทิลพาราไธอ่อน ไฮโดรเลสที่มีขนาด 35 กิโลดالتัน



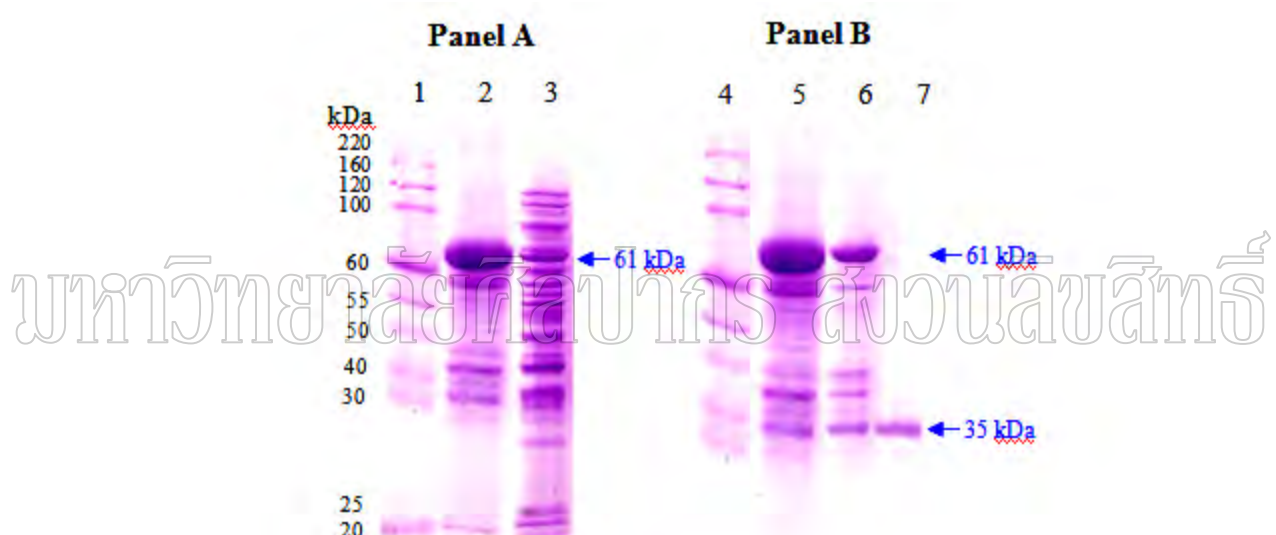
ภาพที่ 37 SDS-polyacrylamide gel electrophoresis ของรีกอมบิแนนท์โคลนที่แสดงออกของยีน เมทชิลพาราไฮroxอนไฮโดรเลสในรีกอมบิแนนท์พลาสมิด pGEX-4T-2, เลน 1: Kaleidoscope prestained protein standard marker, เลน 2: *E. coli* BL 21 ที่มีพลาสมิด pGEX-4T-2 (ไม่มียีนเมทชิลพาราไฮroxอนไฮโดรเลส), เลน 3: BpGT (*E. coli* BL 21:: pGEX-4T-2 ที่มียีนเมทชิลพาราไฮroxอนไฮโดรเลส)

## มหาวิทยาลัยศรีปักดส์ สุวรรณภูมิ

### 3. การผลิตและการแยกบริสุทธิ์ของเมทชิลพาราไฮroxอนไฮโดรเลส

ในการผลิตและการแยกบริสุทธิ์ของเมทชิลพาราไฮroxอนไฮโดรเลสเริ่มจากการนำรีกอมบิแนนท์โคลน BpGT มาเลี้ยงเพิ่มปริมาณเซลล์ แล้วกรองตื้นให้เซลล์มีการผลิตโปรตีนตามวิธีของคู่มือปฏิบัติการของพลาสมิด pGEX (pGEX plasmid protocol) จากนั้นทำการแตกเซลล์และตกรอกอนเพื่อแยกส่วนที่เป็นของเหลว (supernate) และส่วนตะกอน เมื่อทำการแยกวิเคราะห์โปรตีนด้วยเทคนิค SDS-polyacrylamide gel electrophoresis ดังแสดงในภาพที่ 38 ใน panel A นั้นพบแถบของโปรตีนขนาด 61 กิโลดาลตัน ซึ่งเป็นโปรตีนที่ส่วนใหญ่อยู่ในรูปของตะกอนที่ไม่ละลายน้ำ ซึ่งน่าจะเป็น inclusion body เนื่องจากรีกอมบิแนนท์โปรตีนนี้ถูกผลิตขึ้นในเซลล์ของ *E. coli* เป็นจำนวนมาก จึงเกิดการรวมตัวกันแล้วตกรอกอน นอกจากนี้ โปรตีนบางส่วนอาจติดอยู่ที่ผนังเซลล์ของ *E. coli* ภายหลังจากทำการแตกเซลล์ จึงตกรอกอนลงมาพร้อมกับเศษของผนังเซลล์ (เลน 2) แต่ในส่วนที่เป็นของเหลว พบแถบของโปรตีนขนาดดังกล่าวมีปริมาณน้อยมาก แสดงว่ารีกอมบิแนนท์เอนไซม์เมทชิลพาราไฮroxอนไฮโดรเลสส่วนใหญ่ไม่ได้อยู่ในภาพส่วนที่เป็นของเหลว (เลน 3) สำหรับ panel B เป็นส่วนของตะกอนที่ถูกนำมาละลายด้วยยูเรีย (urea) โดยพบแถบของโปรตีนขนาด 61 กิโลดาลตัน (เลน 5) และยังคงพบแถบของโปรตีนดังกล่าว เมื่อทำการไอลเซิล

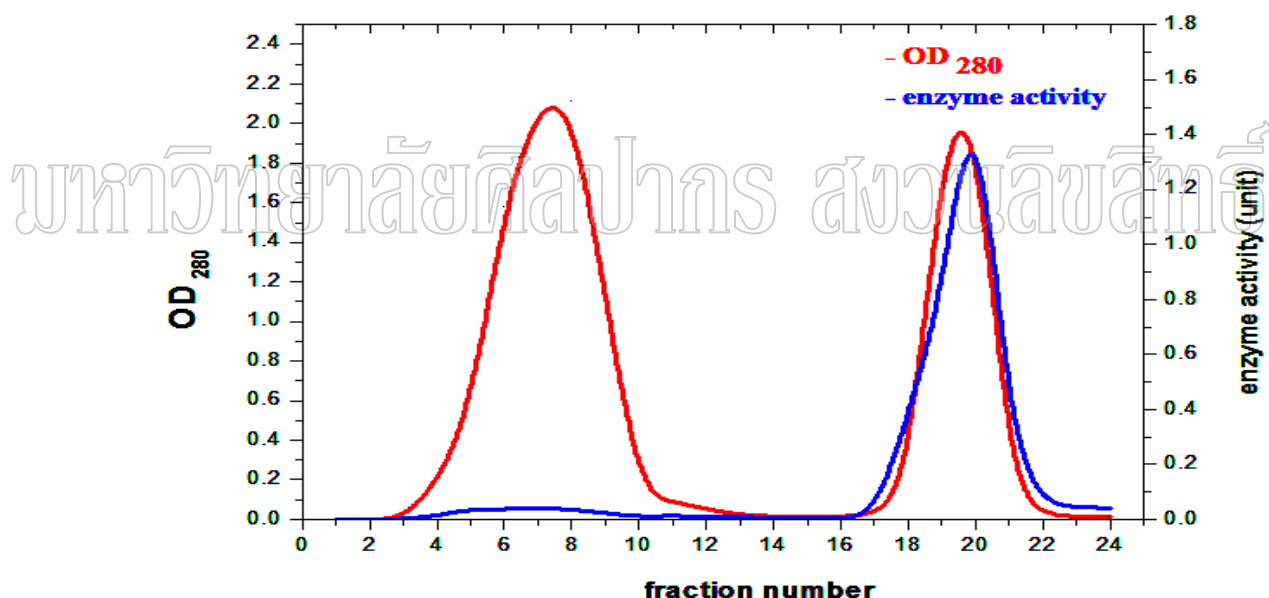
(dialysis) โดยการเอาเยื่อออช้าๆ จนหมด เพื่อทำให้โปรตีน refold (เลน 6) จากนั้นนำสารละลายที่ได้มาผ่าน GSTPrep FF 16/10 column ซึ่งสามารถจับกับ GST-tag protein ที่เชื่อมติดกับเอนไซม์เมทธิลพาราไธโอนไโซดิโอลีสได้ การแยกบริสุทธิ์เอนไซม์สามารถทำได้โดยการตัด GST-tag protein ออกจากเอนไซม์ด้วยเย็นไซม์ทรมบิน ทำให้หลังจากจะคลั่มนี้แล้วจะมีเฉพาะส่วนของเอนไซม์เท่านั้นที่หลุดออกจาก เนื่องจากเมื่อตัดเย็นไซม์ทรมบินออก หลังจากการจะคลั่มนี้และเมื่อนำเย็นไซม์ที่แยกได้มาหาค่ากิจกรรมของเอนไซม์ด้วยวิธี spectrophotometry พบว่าเอนไซม์ที่แยกได้นั้นสามารถย่อยสลายเมทธิลพาราไธโอนได้



ภาพที่ 38 SDS-polyacrylamide gel electrophoresis ของโปรตีนที่แสดงออกจากปริมาณที่โคลน BpGT ในส่วนของเหลวและส่วนของตะกอน (panel A) และแต่ละขั้นตอนของการแยกบริสุทธิ์เอนไซม์ (panel B), เลน 1, 4: โปรตีนมาตรฐาน BenchMark Protein Ladder, เลน 2: ส่วนตะกอนที่ไม่ละลาย, เลน 3: ส่วนของเหลว, เลน 5: ส่วนของตะกอนที่ละลายด้วย urea, เลน 6: โปรตีนที่ refold โดยการไดอะไลซ์, เลน 7: เอนไซม์ MPH หลังจากตัดด้วยเย็นไซม์ทรมบินและผ่าน GSTPrep FF column

ในระหว่างที่ทำการแยกบริสุทธิ์ปริมาณที่เอนไซม์เมทธิลพาราไธโอนไโซดิโอลีสด้วย GSTPrep FF 16/10 column ทำการเก็บตัวอย่างที่ผ่านออกจากคลั่มนี้ที่ระยะเวลาต่างๆ จากนั้นนำตัวอย่างที่เก็บมาในแต่ละส่วน (fraction) ทำการวัดค่าการดูดกลืนแสงของหมู่ aromatic ring ของโปรตีนที่ความยาวคลื่น 280 นาโนเมตร ( $OD_{280}$ ) และหาค่ากิจกรรมของเอนไซม์ จากภาพที่ 39

พบว่าหลังจากผ่านตัวอย่างเข้าสู่คอลัมน์แล้วทำการชะลอคอลัมน์ด้วย binding buffer ปรากฏกราฟของค่าการดูดกลืนแสงของโปรตีนที่ความยาวคลื่น 280 นาโนเมตร (กราฟสีแดง) แต่กราฟของกิจกรรมของเอนไซม์ (กราฟสีฟ้า) ไม่ปรากฏ (fraction 2-12) และคงว่าโปรตีนที่ได้ในส่วนนี้เป็นโปรตีนที่ถูกผลิตขึ้นในเซลล์ของรีคอมบินันท์โคลน แต่ไม่ใช่รีคอมบินันท์เอนไซม์เมทธิลพารา-ไฮดรอเจนไฮโดรเจส จากนั้นเมื่อทำการน้ำมอกคอลัมน์ด้วยเอนไซม์ทรมอบินเพื่อตัด GST-tag protein ออกจากเอนไซม์เมทธิลพารา-ไฮดรอเจนไฮโดรเจส แล้วทำการชะลอคอลัมน์ด้วย binding buffer วัดค่าการดูดกลืนแสงของหมู่ aromatic ring ของโปรตีนที่ความยาวคลื่น 280 นาโนเมตร และหาค่ากิจกรรมของเอนไซม์ จากภาพที่ 39 พบว่าปรากฏกราฟของค่าการดูดกลืนแสงของโปรตีนที่ความยาวคลื่น 280 นาโนเมตร (กราฟสีแดง) และกราฟของกิจกรรมของเอนไซม์ (กราฟสีฟ้า) อยู่ในตำแหน่งเดียวกัน (ภาพที่ 39, fraction 16-24) และคงว่าโปรตีนที่ได้เป็นเอนไซม์เมทธิลพารา-ไฮดรอเจนไฮโดรเจส ซึ่งถูกชะออกจากการคอลัมน์



ภาพที่ 39 กราฟแสดงค่าการดูดกลืนแสงของโปรตีนที่ความยาวคลื่น 280 นาโนเมตร (กราฟสีแดง) และค่ากิจกรรมของรีคอมบินันท์เอนไซม์เมทธิลพารา-ไฮดรอเจนไฮโดรเจส (กราฟสีน้ำเงิน) แต่ละ fraction ในการแยกบริสุทธิ์เอนไซม์ด้วย GSTPrep FF

จากนั้นนำตัวอย่างส่วนของตะกอนที่ถูกละลายด้วยน้ำมูเรย์ ตัวอย่างของโปรตีนที่ถูก refold โดยการทำไอลเซิต และตัวอย่างที่ผ่านคอลัมน์มาทำการหาค่ากิจกรรมเอนไซม์และวัดปริมาณโปรตีนโดยวิธี Bradford คำนวณหาค่ากิจกรรมจำเพาะ (specific activity) ของเอนไซม์ จากตารางที่ 10 พบว่าค่ากิจกรรมจำเพาะของเอนไซม์ที่แยกบริสุทธิ์แล้วมีค่า 189.9 ยูนิตต่อมิลลิกรัม โปรตีน โดย

มีค่าความบริสุทธิ์เป็น 4 เท่า เมื่อเทียบกับตัวอย่างตัวก่อนที่ถูกละลายด้วยน้ำรีดในขั้นตอนเริ่มต้น และมีเปอร์เซ็นต์ของผลผลิตที่ได้เป็น 70.6 เปอร์เซ็นต์

ตารางที่ 10 การแยกบริสุทธิ์ของไชเม่เมทิลพาราไโซนไฮโดรเลสก่อนการหาสภาวะที่เหมาะสมในการผลิตเอนไซม์

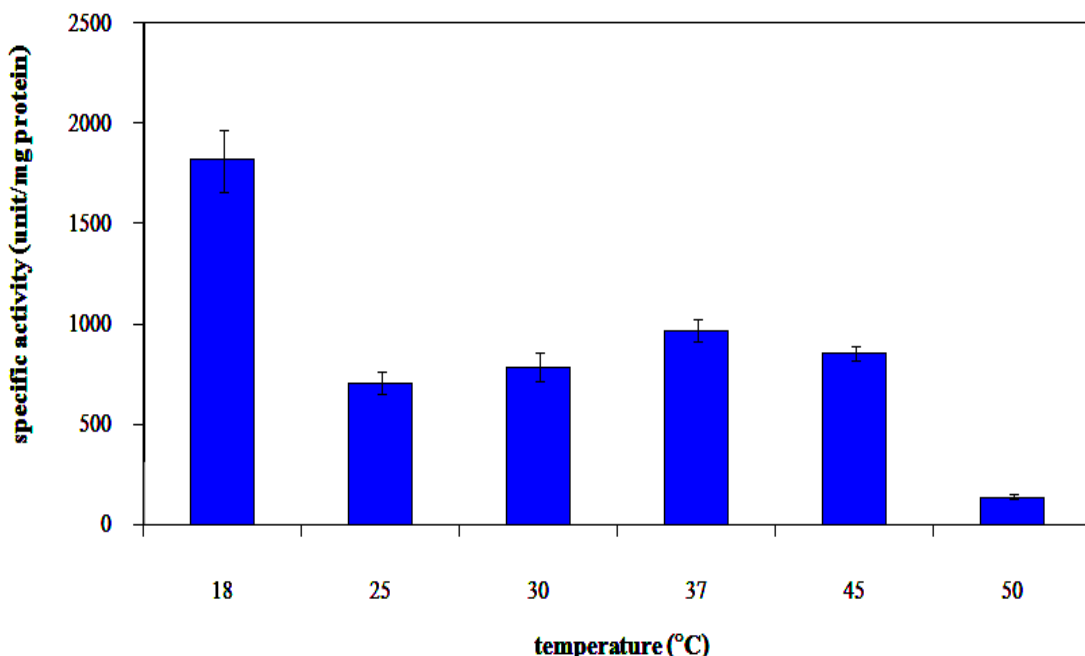
Purification Fraction	Total Protein (mg)	Total Activity (U)	Specific Activity (U/mg)	Fold Purification	% Yield
Urea Solubilization	0.119	5.64	47.50	1	100
Dialysis	0.075	4.25	56.60	1.19	75.1
GSTPrep FF	0.021	3.99	189.90	3.99	70.6

#### 4. การหาสภาวะที่เหมาะสมในการเลี้ยงรีคอมบินантโคลน BpGT เพื่อผลิตเอนไซม์เมทิลพาราไโซนไฮโดรเลสให้ได้กิจกรรมเอนไซม์สูงสุด

นำรีคอมบินантโคลน BpGT ซึ่งคือ เชื้อ *E. coli* BL21 ภายหลังจากถูกถ่ายยืนที่สร้างเอนไซม์เมทิลพาราไโซนไฮโดรเลส มาหาสภาวะที่เหมาะสมที่สุดในการผลิตเอนไซม์ให้มีกิจกรรมจำเพาะของเอนไซม์สูงสุด โดยศึกษาปัจจัยดังนี้

### มหาวิทยาลัยเชียงใหม่ has สาขาวิชาศิริ

4.1 ผลของอุณหภูมิจากการศึกษาผลของการเปลี่ยนอุณหภูมิที่เหมาะสมที่สุดในการผลิตเอนไซม์เมทิลพาราไโซนไฮโดรเลสที่จะให้กิจกรรมจำเพาะของเอนไซม์สูงที่สุด เมื่อนำรีคอมบินантโคลน BpGT มาเลี้ยงที่อุณหภูมิ 37 องศาเซลเซียส และทำการเหนี่ยวนำด้วย IPTG แล้วมาเลี้ยงต่อที่อุณหภูมิต่างๆ จากภาพที่ 40 พบร้าที่อุณหภูมิ 18 องศาเซลเซียส เป็นอุณหภูมิที่เหมาะสมที่สุดสำหรับเลี้ยงเชื้อรีคอมบินантโคลนนี้ โดยจะให้กิจกรรมจำเพาะของเอนไซม์สูงที่สุด ในขณะที่อุณหภูมิอื่นๆ ให้กิจกรรมจำเพาะของเอนไซม์ที่ต่ำกว่ามาก โดยเฉพาะที่อุณหภูมิ 50 องศาเซลเซียส จะให้ค่ากิจกรรมจำเพาะของเอนไซม์ต่ำที่สุด

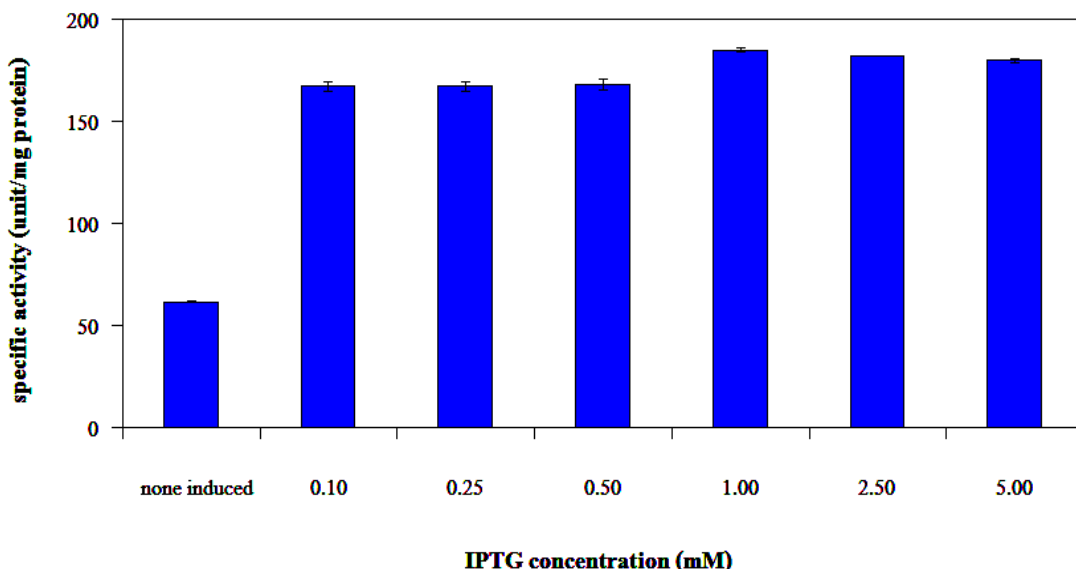


ภาพที่ 40 ผลของอุณหภูมิที่เหมาะสมที่สุดในการเลี้ยงรีคอมบิแนนท์โคลน BpGT ผลิตเอนไซม์ เมทัลพาราไธอ่อน ไฮโดรเจส

## มหาวิทยาลัยศิลปากร สจวตอิชิกาวะ

### 4.2 ผลของความเข้มข้นของ IPTG

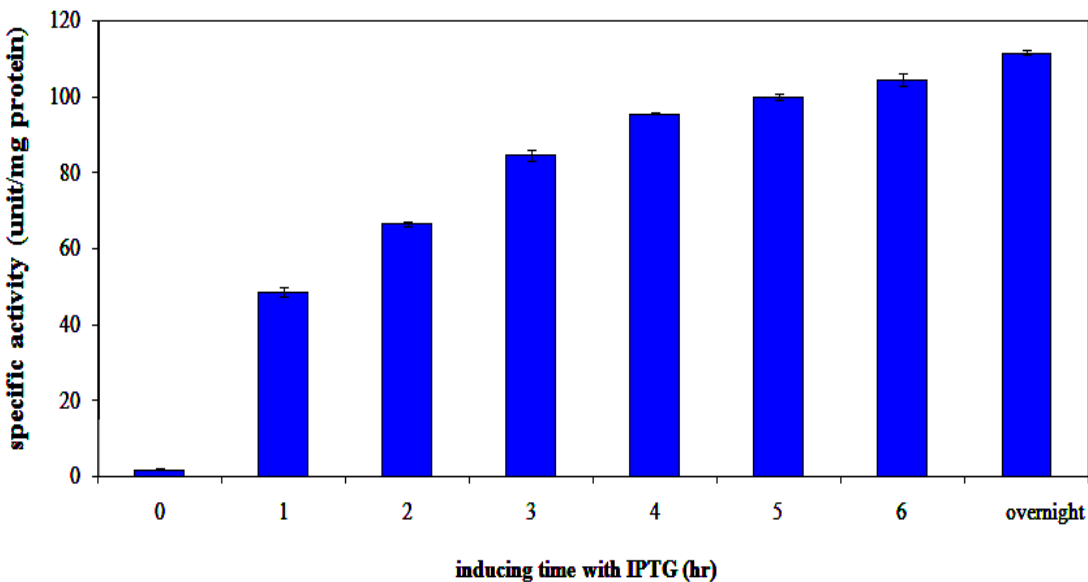
จากการศึกษาผลของความเข้มข้นของ IPTG ที่เหมาะสมที่สุด ซึ่งสามารถเห็นได้ว่าให้รีคอมบิแนนท์โคลน BpGT ผลิตเอนไซม์เมทัลพาราไธอ่อน ไฮโดรเจสที่มีกิจกรรมจำเพาะของเอนไซม์สูงที่สุด โดยการนำรีคอมบิแนนท์โคลนมาเติม IPTG ที่ความเข้มข้นต่างๆ จากภาพที่ 41 พบว่ารีคอมบิแนนท์โคลนที่ถูกเหนี่ยวนำด้วย IPTG ให้ค่ากิจกรรมจำเพาะของเอนไซม์สูงกว่าโคลนที่ไม่ถูกเหนี่ยวนำด้วย IPTG ในขณะที่รีคอมบิแนนท์โคลนที่ถูกเหนี่ยวนำด้วย IPTG ให้ค่ากิจกรรมจำเพาะของเอนไซม์ที่ใกล้เคียงกัน ดังนั้นจึงเลือกความเข้มข้นของ IPTG สำหรับใช้ในการเหนี่ยวนำให้รีคอมบิแนนท์โคลนผลิตเอนไซม์ที่ให้กิจกรรมจำเพาะของเอนไซม์สูงที่สุดคือ 1 มิลลิโมลาร์ ตามวิธีของคู่มือปฏิบัติการของพลาสมิด pGEX



ภาพที่ 41 ผลของความเข้มข้นของ IPTG ที่เหมาะสมที่สุดในการเหนี่ยวนำให้รีคอมบิแนนท์โคลน BpGT ผลิตเอนไซม์เมทชิลพาราไธอโตรเลส

### 3.3 ผลของระยะเวลาที่เหนี่ยวนำด้วย IPTG

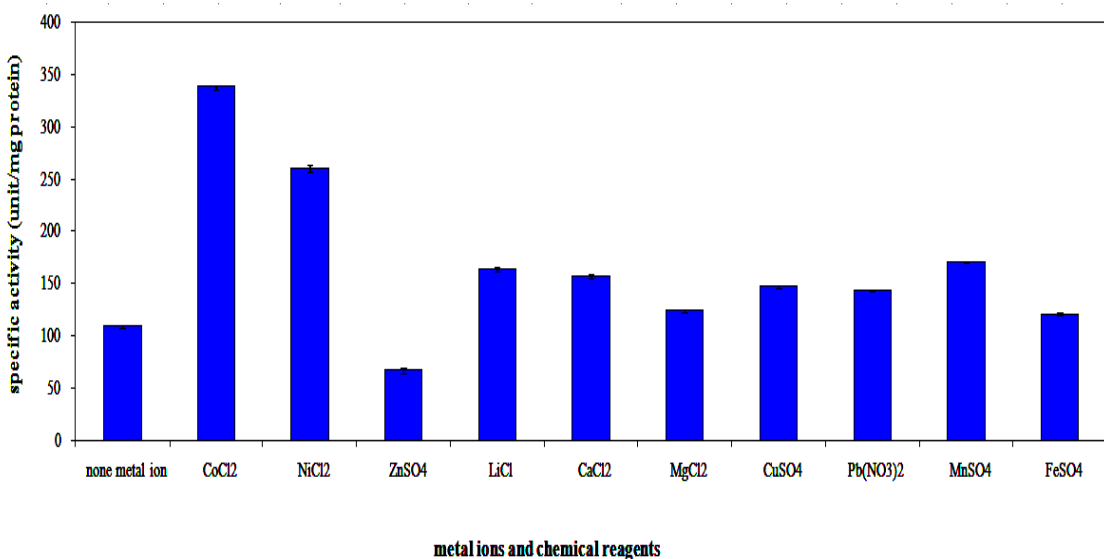
จากการศึกษาผลของระยะเวลาที่ใช้ในการเหนี่ยวนำด้วย IPTG มาเห็นได้ว่าเมื่อระยะเวลาที่ใช้ในการเหนี่ยวนำนานขึ้น พบว่าเมื่อระยะเวลาผ่านไปหลังจากที่เหนี่ยวนำรีคอมบิแนนท์โคลน BpGT ผลิตเอนไซม์เมทชิลพาราไธอโตรเลสที่มีกิจกรรมจำเพาะของเอนไซม์สูงที่สุด โดยการนำรีคอมบิแนนท์โคลน BpGT มาเหนี่ยวนำด้วย IPTG และเปรียบเทียบระยะเวลาที่ใช้ในการเหนี่ยวนำ จากภาพที่ 42 พบว่าเมื่อระยะเวลาผ่านไปหลังจากที่เหนี่ยวนำรีคอมบิแนนท์โคลนด้วย IPTG ค่ากิจกรรมจำเพาะของเอนไซม์เพิ่มขึ้น ในขณะที่รีคอมบิแนนท์โคลน BpGT ที่ไม่ได้เหนี่ยวนำด้วย IPTG ค่ากิจกรรมของเอนไซม์น้อยที่สุด โดยที่ระยะเวลาข้ามคืน (overnight) ให้ค่ากิจกรรมจำเพาะของเอนไซม์สูงที่สุด แต่ที่ระยะเวลาข้ามคืนเป็นระยะเวลาที่นานเกินไป ดังนั้นที่ระยะเวลา 6 ชั่วโมง จึงเป็นระยะเวลาที่เหมาะสมที่สุดในการเหนี่ยวนำรีคอมบิแนนท์โคลนด้วย IPTG ที่ให้กิจกรรมเอนไซม์สูงที่สุด



ภาพที่ 42 ผลกระทบเวลาที่เหมาะสมที่สุดสำหรับการเหนี่ยวนำรีคอมบิแนนท์โคลน BpGT ด้วย IPTG ในการผลิตเอนไซม์เมทัลพาราไธอ่อน ไฮโดรเลส

### 3.4 ผลของการอ่อนของโลหะและสารเคมี

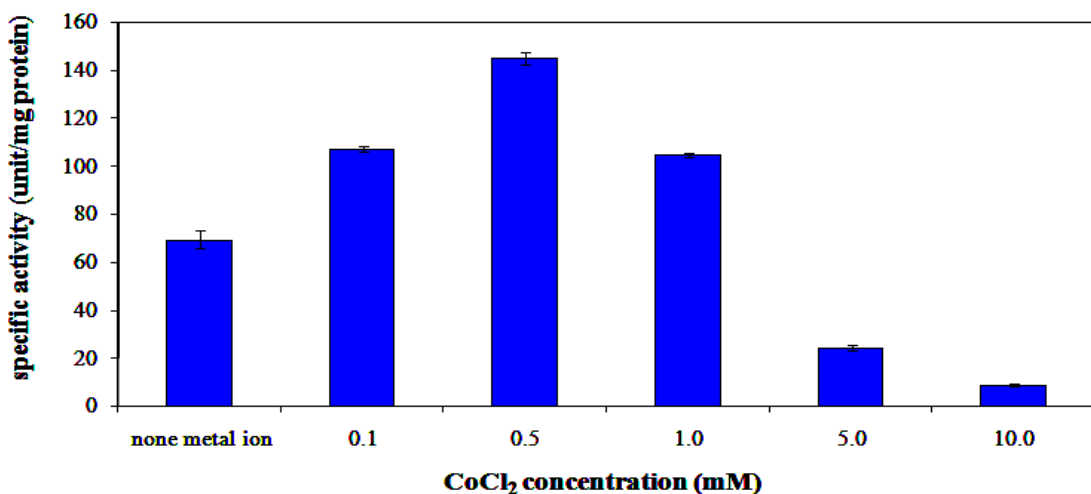
จากการศึกษาผลของการอ่อนโลหะและสารเคมี ที่เหนี่ยวนำรีคอมบิแนนท์โคลน BpGT ผลิตเอนไซม์เมทัลพาราไธอ่อน ไฮโดรเลสที่มีกิจกรรมจำเพาะของเอนไซม์สูงที่สุด โดยการนำรีคอมบิแนนท์โคลน BpGT มาเหนี่ยวนำด้วย IPTG และเติมไฮอ่อนโลหะและสารเคมีต่างๆ ที่ความเข้มข้น 1 มิลลิโมลาร์ จากภาพที่ 43 พบว่ารีคอมบิแนนท์โคลนที่เติมไฮอ่อนของโลหะและสารเคมี ยกเว้นรีคอมบิแนนท์โคลนที่เติมซิงค์ซัลเฟต ( $ZnSO_4$ ) มีค่ากิจกรรมจำเพาะของเอนไซม์สูงกว่ารีคอมบิแนนท์โคลนที่ไม่ทำการเติมไฮอ่อนของโลหะและสารเคมี ในขณะที่รีคอมบิแนนท์โคลนที่เติมโคบอลท์คลอไรด์ ( $CoCl_2$ ) จะให้กิจกรรมจำเพาะของเอนไซม์สูงที่สุด



ภาพที่ 43 ผลของไออ้อนโลหะและสารเคมีที่เหมาะสมที่สุดในการเหนี่ยวนำให้รีคอมบิแนนท์โคลน BpGT ผลิตเอนไซม์เมทชิลพาราไธอ่อนไฮโดรเลส

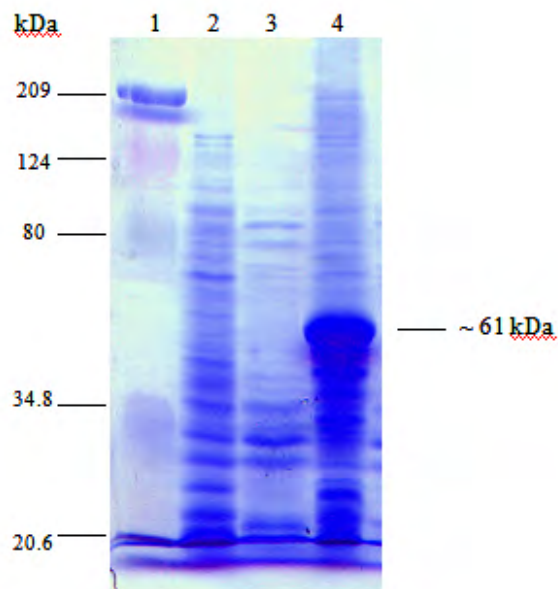
### 3.5 ผลความเข้มข้นของไออ้อนโลหะและสารเคมี

จากการทดลองในข้อ 3.4 พบร่วรีคอมบิแนนท์โคลน BpGT ที่ทำการเติมโโคบออลท์คลอไรด์ให้ค่ากิจกรรมจำเพาะของเอนไซม์สูงที่สุด จึงทำการศึกษาความเข้มข้นของโโคบออลท์คลอไรด์ที่ทำให้รีคอมบิแนนท์โคลน BpGT ผลิตเอนไซม์เมทชิลพาราไธอ่อนไฮโดรเลสที่มีกิจกรรมจำเพาะของเอนไซม์สูงที่สุด โดยการนำรีคอมบิแนนท์โคลน BpGT ที่ถูกเหนี่ยวนำด้วย IPTG และวนาเติมโโคบออลท์คลอไรด์ที่ความเข้มข้นต่างๆ จากภาพที่ 44 พบว่าโโคบออลท์คลอไรด์ที่ความเข้มข้น 0.5 มิลลิโมลาร์ ให้ค่ากิจกรรมจำเพาะของเอนไซม์สูงที่สุด ในขณะที่โโคบออลท์คลอไรด์ความเข้มข้น 5 และ 10 มิลลิโมลาร์ จะทำให้รีคอมบิแนนท์โคลน BpGT ผลิตเอนไซม์เมทชิลพาราไธอ่อนไฮโดรเลสที่มีกิจกรรมจำเพาะของเอนไซม์ต่ำกว่ารีคอมบิแนนท์โคลน BpGT ที่ไม่ทำการเติมโโคบออลท์คลอไรด์



ภาพที่ 44 ผลของความเข้มข้นของโคบอลท์คลอไรด์ที่เหมาะสมที่สุดในการเหนี่ยวนำให้รีคอมบิแนนท์โคลน BpGT ผลิตเอนไซม์เมทธิลพาราไธอ่อนไฮโดรเลส

หลังจากที่ทำการหาสภาวะที่เหมาะสมในการเลี้ยงรีคอมบิแนนท์โคลน BpGT เพื่อผลิตเอนไซม์เมทธิลพาราไธอ่อนไฮโดรเลสให้ได้กิจกรรมเอนไซม์สูงสุดแล้ว จึงทำการผลิตรีคอมบิแนนท์โคลนไฮเมทธิลพาราไธอ่อนไฮโดรเลสโดยนำรีคอมบิแนนท์โคลน BpGT มาเลี้ยงเพิ่มปริมาณเซลล์แล้วกระตุนให้เซลล์มีการผลิตโปรตีนตามสภาวะดังกล่าวข้างต้น ทำการแตกเซลล์และปั่นเหวี่ยงตقطะก่อนเพื่อแยกส่วนที่เป็นของเหลวและส่วนตะกอนที่ไม่ละลายน้ำ จากนั้นนำมาแยกวิเคราะห์โปรตีนด้วยเทคนิค SDS-polyacrylamide gel electrophoresis จากภาพที่ 45 พบว่ารีคอมบิแนนท์โคลนไฮเมทธิลพาราไธอ่อนไฮโดรเลสขนาด 61 กิโลดาตตัน จากเดิมที่รีคอมบิแนนท์โคลนไฮเมทส์ส่วนใหญ่อยู่ในส่วนน้อยในส่วนตะกอน และมีเพียงส่วนน้อยที่อยู่ในรูปของเหลว (เลน 2) แต่ภายหลังจากที่หาสภาวะที่เหมาะสมในการผลิตเอนไซม์รีคอมบิแนนท์โคลนไฮเมทส์ส่วนใหญ่จะเปลี่ยนมาอยู่ในส่วนของเหลว (เลน 4) ในขณะที่โคลนไฮเมทส์เพียงส่วนน้อยที่อยู่ในส่วนตะกอน (เลน 3) จากนั้นทำการเก็บส่วนของเหลวมาแยกบริสุทธิ์โดยผ่าน GSTPrep FF 16/10 column ทำการวิเคราะห์หาค่ากิจกรรมจำเพาะของโคลนไฮเมท จากตารางที่ 11 พบว่าค่ากิจกรรมจำเพาะของโคลนไฮเมทที่แยกบริสุทธิ์มีค่าเพิ่มขึ้นจาก 189.9 เป็น 1998.64 ยูนิตต่อมิลลิกรัมโปรตีน โดยมีค่าความบริสุทธิ์เป็น 3 เท่า เมื่อเทียบกับโคลนไฮเมทสกัดหยาบ (crude extract) เริ่มต้น และมีเปอร์เซ็นต์ของผลผลิตที่เหลืออยู่เพิ่มขึ้นเป็น 75.26 เปอร์เซ็นต์



ภาพที่ 45 SDS-polyacrylamide gel electrophoresis ของรีคอมบิแนนท์โคลนที่มีการแสดงออกของยีนเมทธิลพาราไธอ่อนไชโตรเลสจากวีคอมบิแนนท์พลาสมิด pGEX-4T-2, เลน 1: Kaleidoscope prestained protein standard marker, เลน 2: ส่วนของของเหลวก่อนหาสภาวะที่เหมาะสมในการผลิตเอนไซม์, เลน 3: ส่วนตะกอนที่ไม่ละลายภายหลังจากหาสภาวะที่เหมาะสมในการผลิตเอนไซม์ เลน 4: ส่วนของของเหลวภายหลังจากหาสภาวะที่เหมาะสมในการผลิตเอนไซม์

ตารางที่ 11 การแยกบริสุทธิ์เอนไซม์เมทธิลพาราไธอ่อนไชโตรเลสภายหลังจากหาสภาวะการผลิตเอนไซม์

Purification Fraction	Total Protein (mg)	Total Activity (U)	Specific Activity (U/mg)	Fold Purification	% Yield
Crude enzyme	5.063	2655.56	524.50	1	100
Supernatant	2.320	2390.91	1030.56	1.97	90.03
GSTPrep FF	1.240	1998.64	1611.81	3.07	75.26

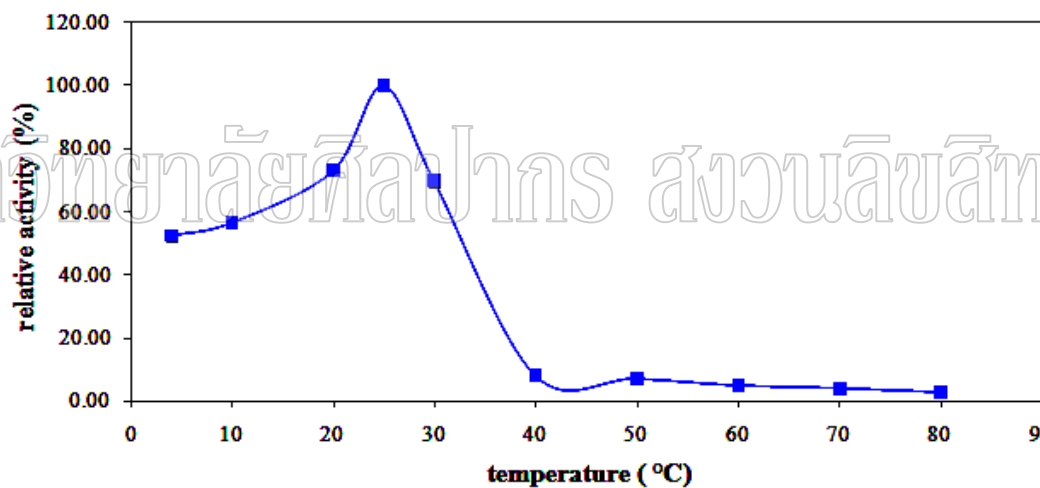
จากนั้นทำการเพิ่มปริมาณการผลิตโปรตีนโดยนำรีคอมบิแนนท์โคลน BpGT มาเลี้ยงเพิ่มปริมาณเซลล์ ในปริมาตร 2 ลิตร กระตุ้นให้เซลล์มีการผลิตโปรตีนตามสภาวะที่เหมาะสม ดังกล่าวข้างต้น ทำการแยกบริสุทธิ์เอนไซม์ แล้วนำตัวอย่างที่ถูกเก็บในขณะที่ทำการแยกบริสุทธิ์เอนไซม์มาทำให้เข็นขึ้นโดยใช้ Amicon Ultra-4 ขนาด 10 กิโลลิตรตัน โดยเมื่อคำนวณหาค่ากิจกรรมจำเพาะของเอนไซม์พบว่ามีค่าเท่ากับ 5250 ยูนิตต่อมิลลิกรัมโปรตีน และมีปริมาณโปรตีนทั้งหมดเท่ากับ 9 มิลลิกรัมต่อมิลลิลิตร

## 5. การศึกษาหาคุณลักษณะของรีกอมบิแวนท์เอนไซม์เมทธิลพาราไไซอ่อนไฮโดรเลส

นำรีกอมบิแวนท์เอนไซม์เมทธิลพาราไไซอ่อนไฮโดรเลสที่ถูกแยกบริสุทธิ์แล้วมาศึกษาหาคุณลักษณะของเอนไซม์ดังต่อไปนี้

### 5.1 อุณหภูมิที่เหมาะสมที่สุด (optimum temperature)

นำรีกอมบิแวนท์เอนไซม์เมทธิลพาราไไซอ่อนไฮโดรเลสที่ถูกแยกบริสุทธิ์มาหาอุณหภูมิที่เหมาะสมที่สุดที่ทำให้กิจกรรมของเอนไซม์สูงที่สุด โดยนำเอนไซม์มาทำปฏิกิริยากับเมทธิลพาราไไซอ่อนที่อุณหภูมิต่างๆ จากนั้นนำมาหาค่ากิจกรรมของเอนไซม์ จากภาพที่ 46 พบว่า เมื่ออุณหภูมิเพิ่มสูงขึ้นกิจกรรมของเอนไซม์จะเพิ่มขึ้น โดยที่อุณหภูมิ 25 องศาเซลเซียส จะให้กิจกรรมเอนไซม์สูงที่สุดในขณะที่อุณหภูมิที่สูงกว่า 25 องศาเซลเซียสขึ้นไป จะทำให้ค่ากิจกรรมของเอนไซม์ลดลง ซึ่งมีสาเหตุอันเนื่องมาจากเมื่ออุณหภูมิเพิ่มสูงขึ้นจะทำให้เอนไซม์เกิดการสูญเสียโครงสร้าง 3 มิติ จึงทำให้กิจกรรมของเอนไซม์ลดลง

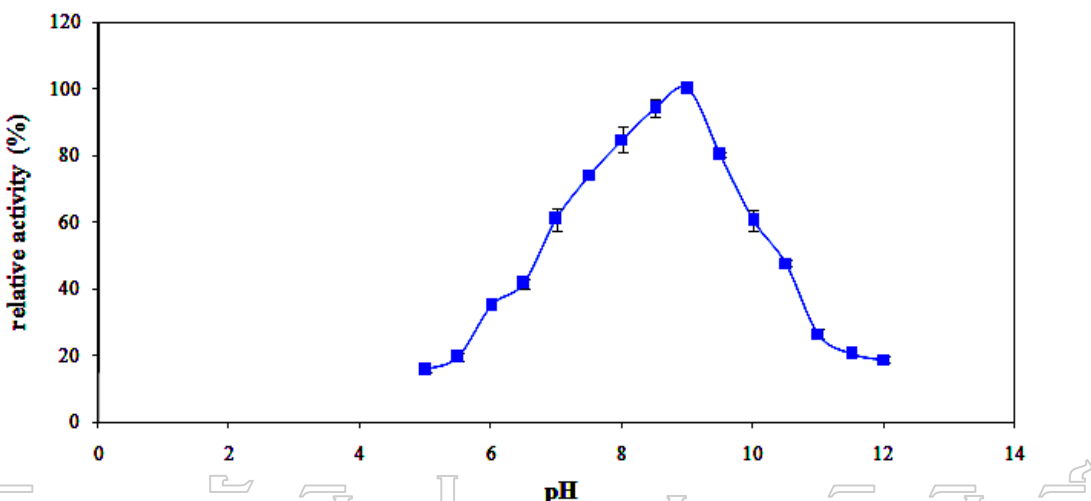


ภาพที่ 46 อุณหภูมิที่เหมาะสมที่สุดที่ทำให้กิจกรรมของเอนไซม์สูงที่สุด

### 5.2 พีอ็อกที่เหมาะสมที่สุด (optimum pH)

นำรีกอมบิแวนท์เอนไซม์เมทธิลพาราไไซอ่อนไฮโดรเลสที่ถูกแยกบริสุทธิ์มาหาค่าพีอ็อกที่เหมาะสมที่สุดที่ทำให้กิจกรรมของเอนไซม์สูงที่สุด โดยนำเอนไซม์มาทำปฏิกิริยากับเมทธิลพาราไไซอ่อนในบัฟเฟอร์ที่พีอ็อกต่างๆ และหาค่ากิจกรรมของเอนไซม์ จากภาพที่ 47 พบว่า เมื่อพีอ็อกเพิ่มสูงขึ้นกิจกรรมของเอนไซม์จะเพิ่มขึ้น โดยที่พีอ็อก 9 จะให้กิจกรรมเอนไซม์สูงที่สุด ในขณะที่พีอ็อกที่สูงกว่าพีอ็อก 9 จะทำให้ค่ากิจกรรมของเอนไซม์ลดลง ซึ่งมีสาเหตุเนื่องจากพีอ็อกที่สูงหรือต่ำเกินไปอาจทำให้เอนไซม์สูญเสียโครงสร้าง 3 มิติ จึงทำให้กิจกรรมของเอนไซม์ลดลง นอกจากนี้อาจมีสาเหตุจากในขณะที่ทำการวัดกิจกรรมของเอนไซม์โดยจะทำการวัดปริมาณของ

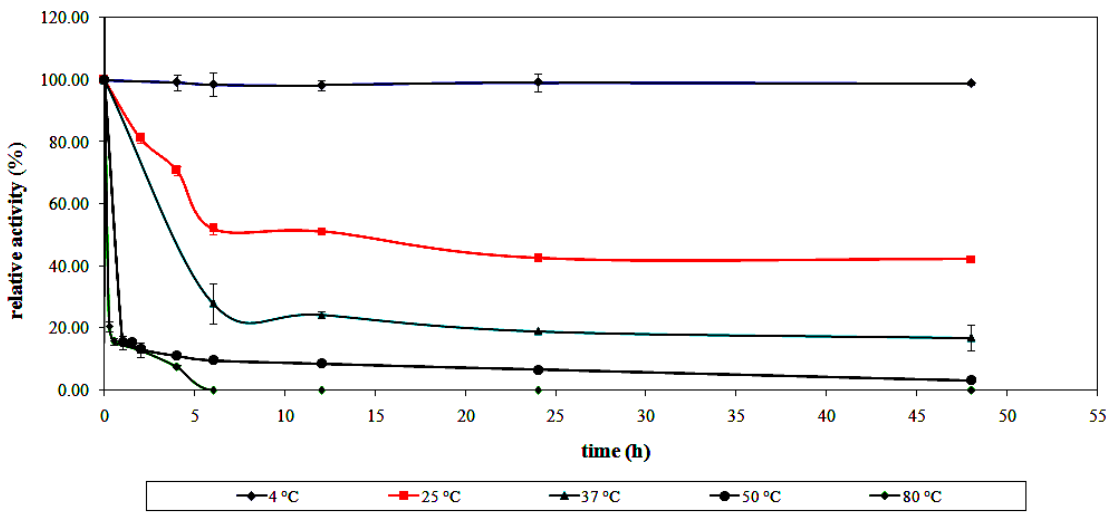
พาราไนโตรฟีโนลที่เกิดขึ้น ซึ่งเป็นผลิตภัณฑ์ที่เกิดจากการไฮโดรไลซิสของยาฆ่าแมลงโดย เออนไซม์เมทัลโลparaไฮโดรเลส จากการเปลี่ยนสีของสารละลายเป็นสีเหลืองด้วยวิธี spectrophotometry ในสภาวะกรด (พีเอชต่ำ) จะไม่สามารถทำการวัดปริมาณของพาราไนโตรฟีโนล ได้ เนื่องจากสารละลายอยู่ในรูปที่ไม่มีสี เพราะพาราไนโตรฟีโนลจะเปลี่ยนสีของสารละลายจาก ไม่มีสี เป็นสีเหลืองในสภาวะที่เป็นแบบสเท่านั้น



## มหาวิทยาลัยเชียงใหม่ รายงานวิจัย

### 5.3 ความเสถียรต่ออุณหภูมิ (thermal stability)

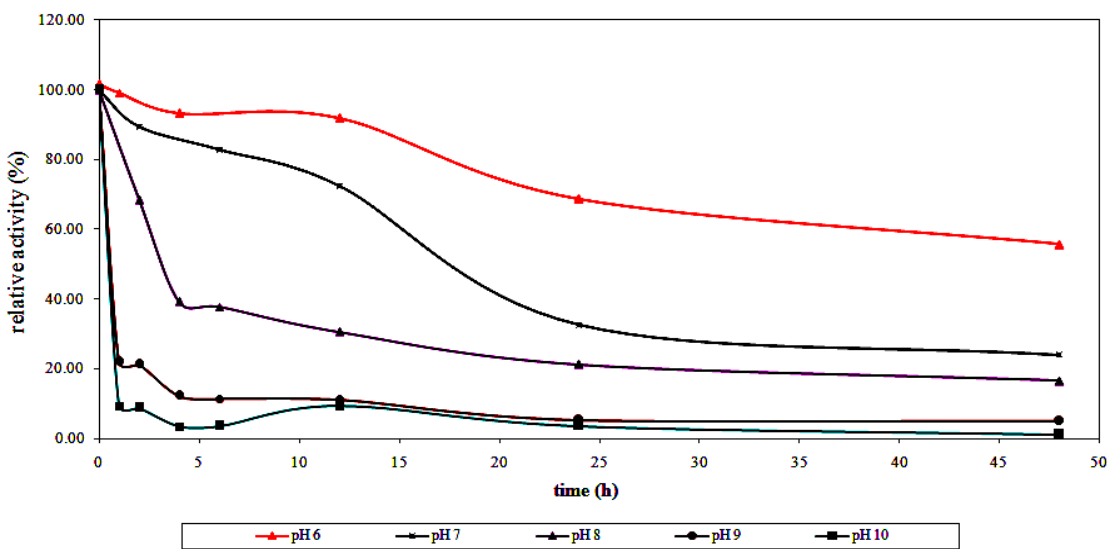
นำรีคอมบิแนนท์เออนไซม์เมทัลโลparaไฮโดรเลสที่ถูกแยกบริสุทธิ์มาหา อุณหภูมิที่เหมาะสมที่สุดที่ทำให้กิจกรรมของเออนไซม์เสถียรที่สุด โดยนำเออนไซม์มาบ่มในบัฟเฟอร์ ในแต่ละอุณหภูมิ แล้วหาค่ากิจกรรมของเออนไซม์ที่ระยะเวลาต่างๆ จากภาพที่ 48 พบว่าที่อุณหภูมิ 4 องศาเซลเซียส จะทำให้เออนไซม์เสถียรที่สุด และกิจกรรมของเออนไซม์จะไม่เปลี่ยนแปลงเมื่อเวลา ผ่านไป 48 ชั่วโมง แต่ถ้าย่างไรก็ตามที่อุณหภูมิ 25 องศาเซลเซียส กิจกรรมของเออนไซม์ลดลงเหลือ ประมาณ 50 เปอร์เซ็นต์เมื่อเวลาผ่านไป 5 ชั่วโมง และเหลือ 45 เปอร์เซ็นต์เมื่อเวลาผ่านไป 48 ชั่วโมง ในขณะที่อุณหภูมิ 37 และ 50 องศาเซลเซียส กิจกรรมของเออนไซม์ลดลงเหลือประมาณ 25 และ 15 เปอร์เซ็นต์ตามลำดับ เมื่อเวลาผ่านไปเพียง 5 ชั่วโมง และที่อุณหภูมิ 80 องศาเซลเซียส เมื่อระยะเวลาผ่านไป 5 ชั่วโมง เออนไซม์จะสูญเสียกิจกรรมของเออนไซม์



ภาพที่ 48 อุณหภูมิที่เหมาะสมที่สุดที่ทำให้กิจกรรมของเอนไซม์เสถียรที่สุด

#### 4.4 ความเสถียรต่อพีเอช (pH stability)

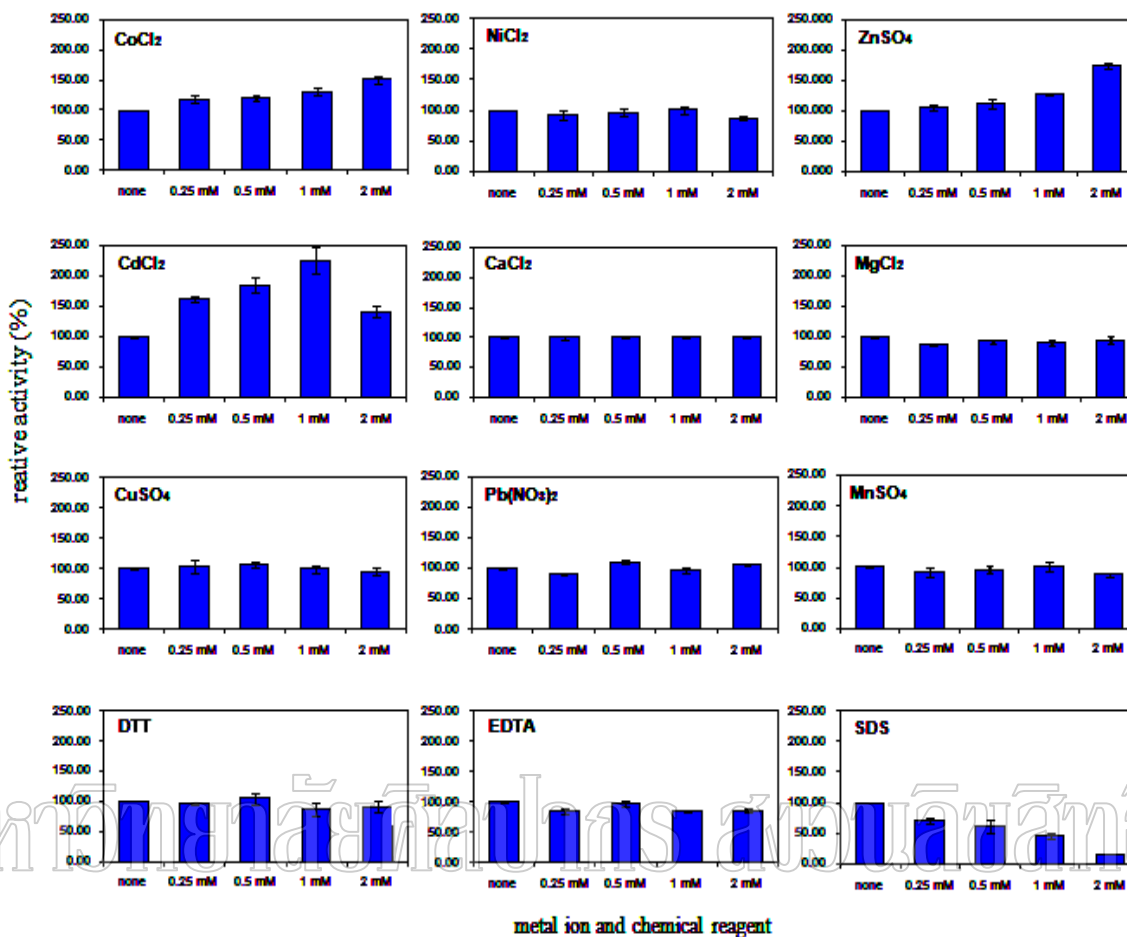
นำรีคอมบินแนนท์เอนไซม์เมทธิลพาราไโซอนไอกอเรลส์ที่ถูกแยกบริสุทธิ์มาหาค่าพีเอชที่เหมาะสมที่สุด ที่ทำให้กิจกรรมของเอนไซม์เสถียรที่สุด โดยนำเอนไซม์บ่มในบัฟเฟอร์ในแต่ละพีเอช และวัดนาฬิกา กิจกรรมของเอนไซม์ที่ระยะเวลาต่างๆ จากภาพที่ 49 พบร้าที่พีเอช 6 จะทำให้เอนไซม์เสถียรที่สุด โดยเมื่อเวลาผ่านไป 5 ชั่วโมง กิจกรรมของเอนไซม์จะลดลงเพียง 5 เปอร์เซ็นต์ และจะเหลือ 60 เปอร์เซ็นต์ เมื่อเวลาผ่านไป 48 ชั่วโมง แต่อย่างไรก็ตามที่พีเอช 7 กิจกรรมของเอนไซม์ลดลงเหลือประมาณ 75 เปอร์เซ็นต์เมื่อเวลาผ่านไป 12 ชั่วโมง และเหลือ 30 เปอร์เซ็นต์เมื่อเวลาผ่านไป 48 ชั่วโมง ในขณะที่พีเอช 8 และ 9 กิจกรรมของเอนไซม์ลดลงเหลือประมาณ 40 และ 15 เปอร์เซ็นต์ตามลำดับ เมื่อเวลาผ่านไปเพียง 4 ชั่วโมง และที่พีเอช 10 เมื่อระยะเวลาผ่านไป 4 ชั่วโมง เเอนไซม์จะสูญเสียกิจกรรมของเอนไซม์



ภาพที่ 49 พีเอชที่เหมาะสมที่สุดที่ทำให้กิจกรรมของเอนไซม์สเตียร์ที่สุด

#### 4.5 ผลของไอออนโลหะและสารเคมี

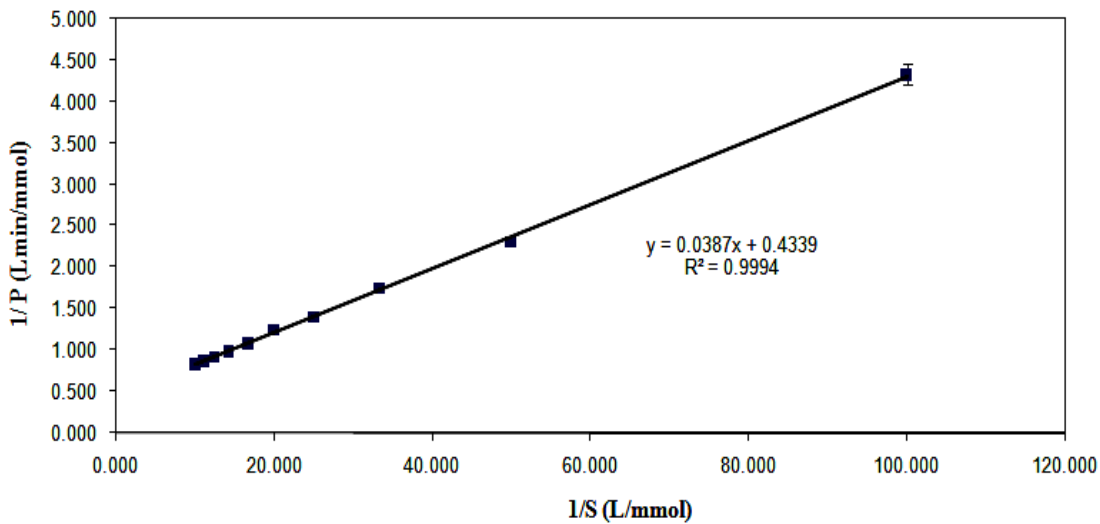
นำรีคอมบิแนนท์เอนไซม์เมทัลพาрайโซนไฮโดรเลสที่ถูกแยกบริสุทธิ์มาศึกษา หาผลของไอออนโลหะและสารเคมีที่มีผลต่อกิจกรรมของเอนไซม์ โดยนำอนไซม์มาทำปฏิกิริยา กับเมทัลพาрайโซน ในบัฟเฟอร์ที่มีไอออนโลหะและสารเคมีที่ความเข้มข้นต่างๆ จากภาพที่ 50 พบว่าสำหรับ  $\text{CoCl}_2$ ,  $\text{ZnSO}_4$  และ  $\text{CdCl}_2$  เมื่อความเข้มข้นสูงขึ้นส่งผลทำให้กิจกรรมเอนไซม์สูงขึ้น โดยที่  $\text{CoCl}_2$  ความเข้มข้น 1 มิลลิโมลาร์ จะทำให้กิจกรรมเอนไซม์เพิ่มขึ้นสูงที่สุด โดยเพิ่มขึ้นเป็น 226 เปรอร์เซ็นต์ ส่วน  $\text{NiCl}_2$ ,  $\text{CuSO}_4$ ,  $\text{MgCl}_2$ ,  $\text{CaCl}_2$ ,  $\text{MnSO}_4$ ,  $\text{Pb}(\text{NO}_3)_2$  ไม่มีผลต่อการยับยั้งกิจกรรมของเอนไซม์ ในขณะที่ DTT, EDTA และ SDS มีผลต่อการยับยั้งกิจกรรมของเอนไซม์ โดยเฉพาะ SDS เมื่อความเข้มข้นของ SDS เพิ่มสูงขึ้น กิจกรรมของเอนไซม์จะลดลง ซึ่ง SDS ที่ความเข้มข้น 2 มิลลิโมลาร์ จะทำให้กิจกรรมของเอนไซม์ลดลงเหลือเพียง 10 เปรอร์เซ็นต์



ภาพที่ 50 ผลของไอออนของโลหะและสารเคมีที่มีผลต่อการรบกวนเอนไซม์

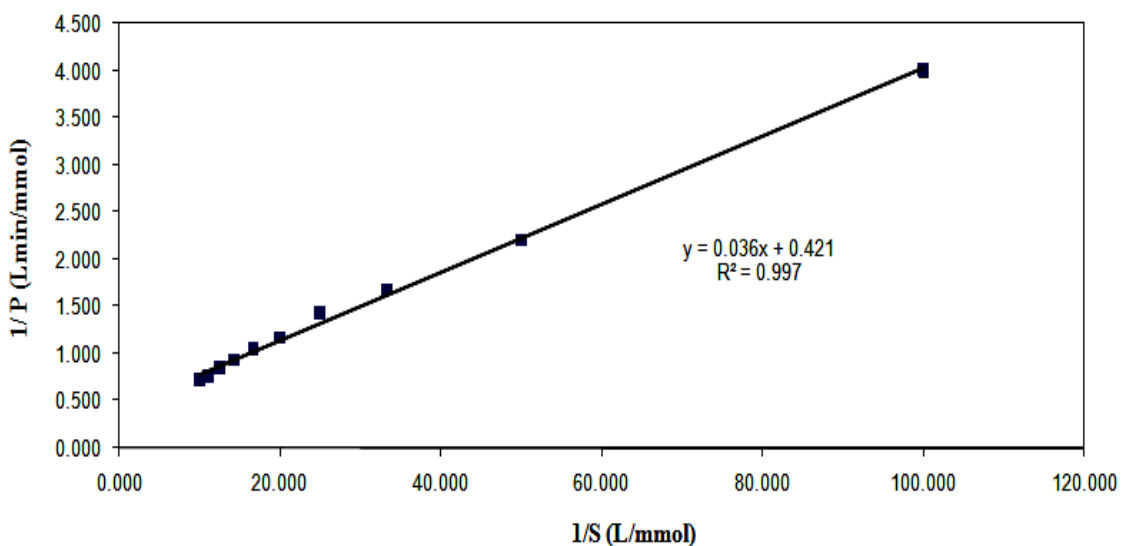
#### 4.6 การศึกษาพารามิเตอร์ทางจดศาสตร์ของเอนไซม์

นำร่องคอมบินেชันที่เอนไซม์เมทธิลพาราไธโอนไฮโดรเลสที่ถูกแยกบริสุทธิ์มาศึกษาทางจดศาสตร์ของเอนไซม์ โดยนำเอนไซม์มาทำปฏิกิริยากับสารออร์กานอนฟอสเฟต แล้วหาค่ากิจกรรมจำเพาะของเอนไซม์ และค่าพารามิเตอร์ทางจดศาสตร์ของเอนไซม์ ได้แก่ ค่าอัตราเร็วสูงสุดของปฏิกิริยา ( $V_{\max}$ ), ค่าคงที่ Michaelis-Menten ( $K_m$ ), ค่า turnover number ( $k_{cat}$ ) และค่า catalytic efficiency โดยค่าพารามิเตอร์ทางจดศาสตร์ของเอนไซม์หาได้จากการ Lineweaver-Burk plot จากภาพที่ 51 พนวณค่า  $V_{\max}$ ,  $K_m$ ,  $k_{cat}$  และ catalytic efficiency ของเมทธิลพาราไธโอนเท่ากับ 2.305 มิลลิโมลาร์ต่อนาที, 0.089 มิลลิโมลาร์, 76.31 ต่อนาที, 855.54 ต่อโมลาร์นาทีตามลำดับ ซึ่งแสดงให้เห็นว่าเอนไซม์เมทธิลพาราไธโอนไฮโดรเลสนี้สามารถทำปฏิกิริยาได้ดีกับเมทธิลพาราไธโอน



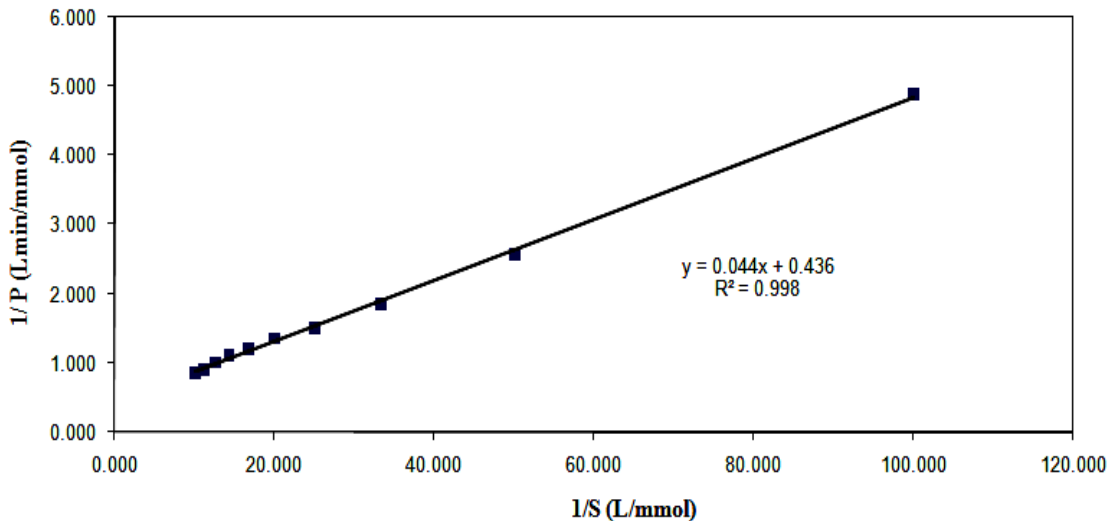
ภาพที่ 51 Lineweaver-Burk plot ของเมทธิลพาราไธโอน

จากภาพที่ 52 พบว่าค่า  $V_{max}$ ,  $K_m$ ,  $k_{cat}$  และ catalytic efficiency ของพาราออกซอนเท่ากับ 2.371 มิลลิโมลาร์ต่อนาที, 0.086 มิลลิโมลาร์, 78.51 ต่อนาที, 917.16 ต่อโมลาร์นาทีตามลำดับ ซึ่งแสดงให้เห็นว่าเอนไซม์เมทธิลพาราไธโอนໄ沙ໂໂຣเคลสันนีสามารถทำปฏิกิริยาได้กับพาราออกซอนได้ดีที่สุด



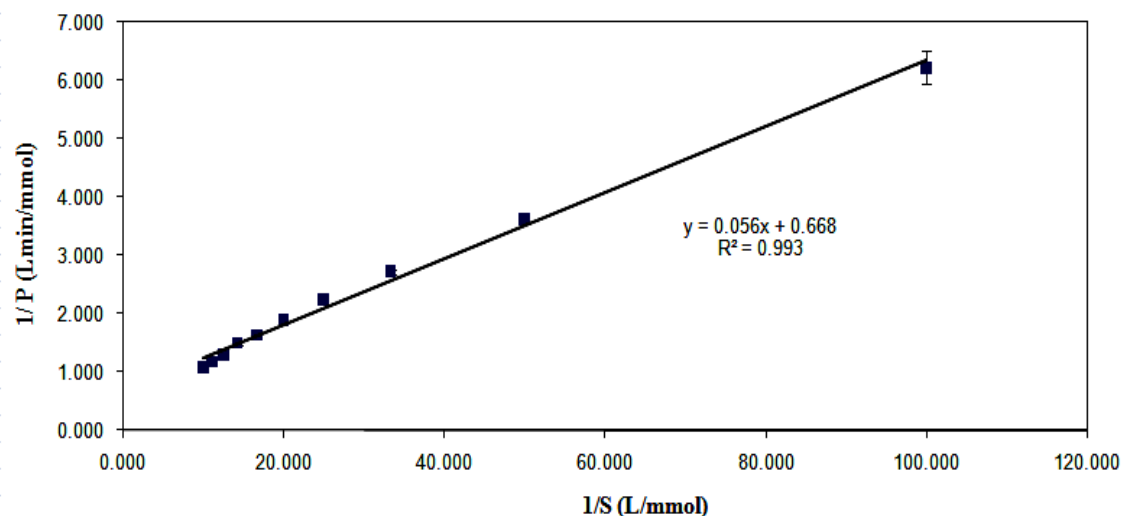
ภาพที่ 52 Lineweaver-Burk plot ของพาราออกซอน

จากภาพที่ 53 ค่า  $V_{max}$ ,  $K_m$ ,  $k_{cat}$  และ catalytic efficiency ของพาราไธโอน เท่ากับ 2.294 มิลลิโมลาร์ต่อนาที, 0.101 มิลลิโมลาร์, 75.94 ต่อนาที, 752.49 ต่อโมลาร์นาที ตามลำดับ ซึ่งแสดงให้เห็นว่าเอนไซม์เมทธิลพาราไธโอนໄ沙ໂໂຣเคลสันนีสามารถทำปฏิกิริยาได้ดีกับพาราไธโอน



ภาพที่ 53 Lineweaver-Burk plot ของพารา-ไอก้อน

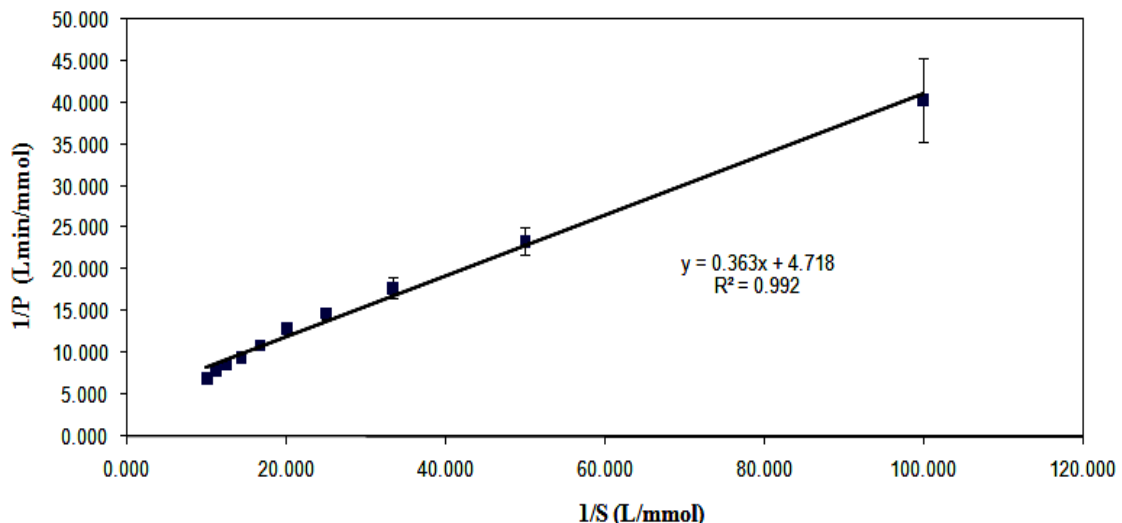
จากภาพที่ 54 ค่า  $V_{max}$ ,  $K_m$ ,  $k_{cat}$  และ catalytic efficiency ของเฟนิโตรไอก้อน เท่ากับ 1.496 มิลลิโมลาร์ต่อนาที, 0.085 มิลลิโมลาร์, 49.54 ต่อนาที, 582.91 ต่อโมลาร์นาที ตามลำดับ ซึ่งแสดงให้เห็นว่าเอนไซม์เมทิลพารา-ไอก้อน ไอโคดรเลสเนี่ยสามารถทำปฏิกิริยาได้ดี กับเฟนิโตรไอก้อน



ภาพที่ 54 Lineweaver-Burk plot ของเฟนิโตรไอก้อน

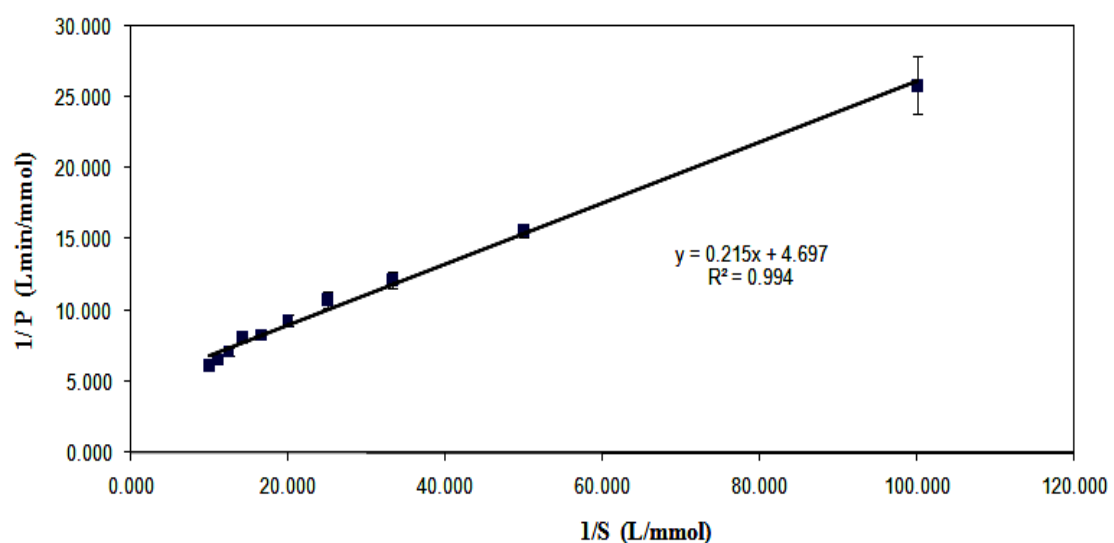
จากภาพที่ 55 ค่า  $V_{max}$ ,  $K_m$ ,  $k_{cat}$  และ catalytic efficiency ของคุมาฟอส เท่ากับ 0.212 มิลลิโมลาร์ต่อนาที, 0.077 มิลลิโมลาร์, 7.02 ต่อนาที, 91.04 ต่อโมลาร์นาที ตามลำดับ ซึ่ง

แสดงให้เห็นว่าเอนไซม์เมทชิลพาราไนโตรเลสนีสามารถทำปฏิกิริยาได้ไม่ค่อยดีกับคุณภาพอส



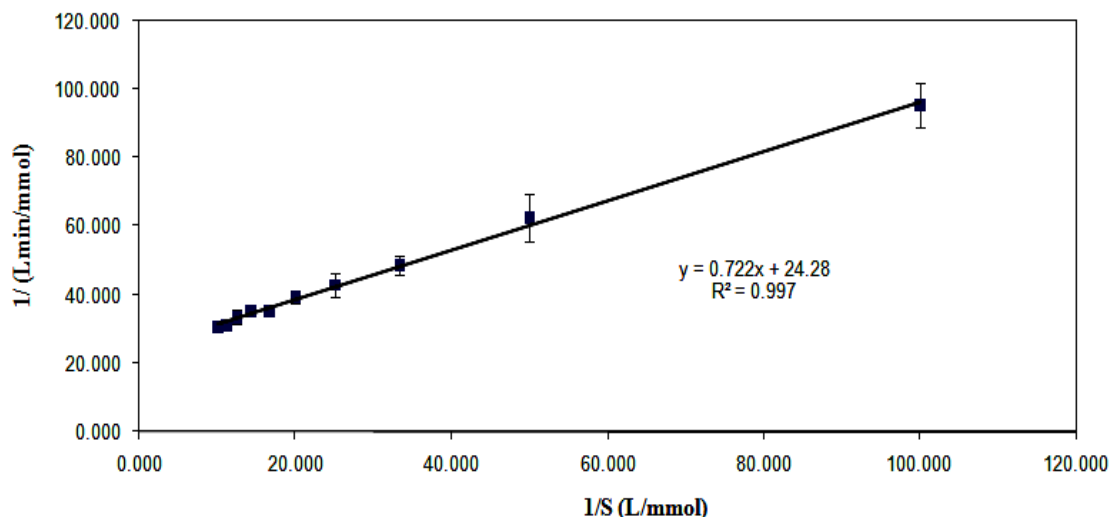
ภาพที่ 55 Lineweaver-Burk plot ของคุณภาพอส

จากภาพที่ 56 ค่า  $V_{max}$ ,  $K_m$ ,  $k_{cat}$  และ catalytic efficiency ของคลอร์ไพริฟอสเท่ากับ 0.213 มิลลิโมลต่อนาที, 0.046 มิลลิโมลต์, 7.05 ต่อนาที, 153.85 ต่อโมลาร์นาทีตามลำดับ ซึ่งแสดงให้เห็นว่าเอนไซม์เมทชิลพาราไนโตรเลสนีสามารถทำปฏิกิริยาได้ไม่ดีกับคลอร์ไพริฟอส



ภาพที่ 56 Lineweaver-Burk plot ของคลอร์ไพริฟอส

จากภาพที่ 57 ค่า  $V_{max}$ ,  $K_m$ ,  $k_{cat}$  และ catalytic efficiency ของมาลาไซด์อ่อน เท่ากับ 0.041 มิลลิโมลาร์ต่อนาที, 0.030 มิลลิโมลาร์, 1.36 ต่อนาที, 45.82 ต่อโมลาร์นาที ตามลำดับ ซึ่งแสดงให้เห็นว่าเอนไซม์เมทธิลพาราไซด์อ่อนไอก็ครเลสนีสามารถทำปฏิกิริยาได้น้อยมากกับมาลาไซด์อ่อน



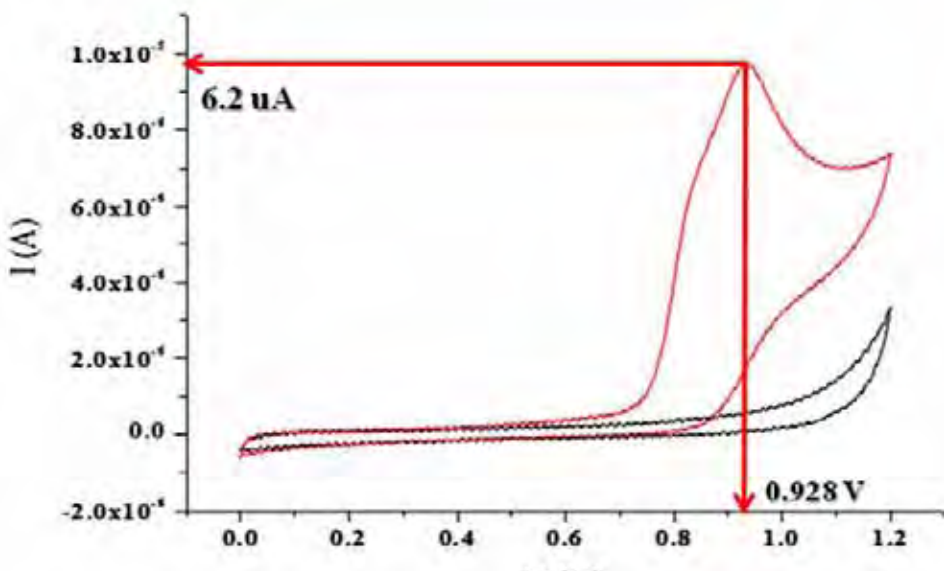
## 5. การนำร่องนิยมแบบที่เออนไชม์มีม่าประยุกต์ใช้โดยการทำใบโอดูเซนเซอร์

เมื่อนำเออนไชม์เมทธิลพาราไซด์อ่อนไอก็ครเลสหลังจากที่ถูกทำให้บริสุทธิ์และนำมาศึกษาหาคุณลักษณะของเอนไซม์แล้ว มาประยุกต์ใช้ในการสร้างใบโอดูเซนเซอร์สำหรับตรวจวัดการปนเปื้อนของยาฆ่าแมลงในกลุ่มออร์กานฟอสฟอรัส โดยศึกษาปัจจัยต่างๆ ดังนี้

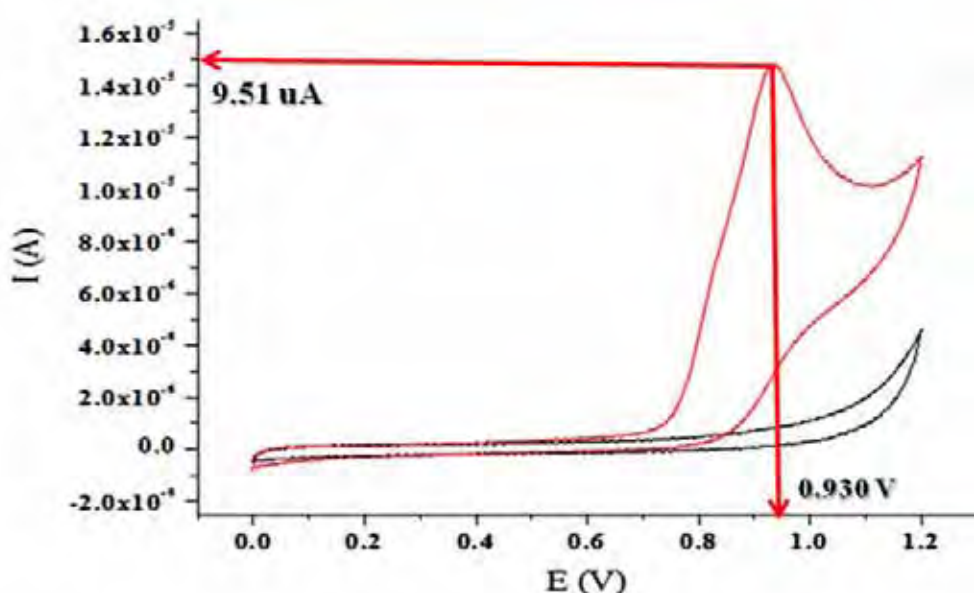
### 5.1 การศึกษาโอลแทนเมตรีแบบรอบสำหรับการออกซิเดชันของพาราไนโตรฟีโนล

ทำโอลแทนเมตรีแบบรอบสำหรับการออกซิเดชันของพาราไนโตรฟีโนล (ซึ่งเป็นผลผลิตของปฏิกิริยาไอก็ครไลซิสของสารออร์กานฟอสเฟตโดยเออนไชม์เมทธิลพาราไซด์อ่อน-ไอก็ครเลส) โดยการใช้ขั้วกลาสซีคาร์บอน, ขั้วชิลเวอร์-ชิลเวอร์คลอร์ไรด์และขั้วแพตตินัม เป็นขั้วไฟฟ้าทำงาน, ขั้วไฟฟ้าอ้างอิงและขั้วไฟฟ้าร่วม ตามลำดับ จากการเปรียบเทียบระหว่างโมดิฟายด์อิเล็กโทรด (modified CNT-GC electrode) ที่มีการใช้คาร์บอนนาโนทิวป์ และอิเลคโทรดหัวเปล่า (bare GC electrode) ที่ไม่มีการใช้คาร์บอนนาโนทิวป์ จากภาพที่ 58 พบว่าอิเลคโทรดหัวเปล่า ให้ค่ากระแสไฟฟ้าสำหรับการตอบสนองต่อพาราไนโตรฟีโนลที่ความเข้มข้น 1 มิลลิโมลาร์ มีค่าเท่ากับ 6.20 ไมโครแอมป์ ซึ่งเมื่อเทียบกับโมดิฟายด์อิเล็กโทรดจะให้ค่าที่ต่ำกว่า จากรูปที่ 59 โมดิฟายด์อิเล็กโทรดให้ค่ากระแสไฟฟ้าสำหรับการตอบสนองต่อพาราไนโตรฟีโนลที่ความเข้มข้น 1 มิลลิโมลาร์ มีค่าเท่ากับ 9.51 ไมโครแอมป์ และว่าคาร์บอนนาโนทิวป์ช่วยในการส่งเสริมการ

ถ่ายเทอเลคตรอน (promote electron transfer) ไปยังอิเลคโทรดได้ดีขึ้น นอกจานี้ยังพบว่าค่าสักยไฟฟ้าที่ทำการตอบสนองต่อสัญญาณไฟฟ้า (response) สูงสุด ทั้งโมดิไฟย์อิเลคโทรดและอิเลคโทรดหัวเปล่า มีค่าใกล้เคียงกัน คือ  $+0.930$  และ  $+0.928$  โวลต์ ตามลำดับ



มหาวิทยาลัยศรีนครินทรวิโรฒ สาขาวิชาชีวศึกษา  
ภาพที่ 58 ใช้คลิกโวลแทน เมมทรีสำหรับการออกซิเดชันของพาราไนโตรฟีโนลโดยใช้มิดไฟย์อิเลคโทรดหัวเปล่า



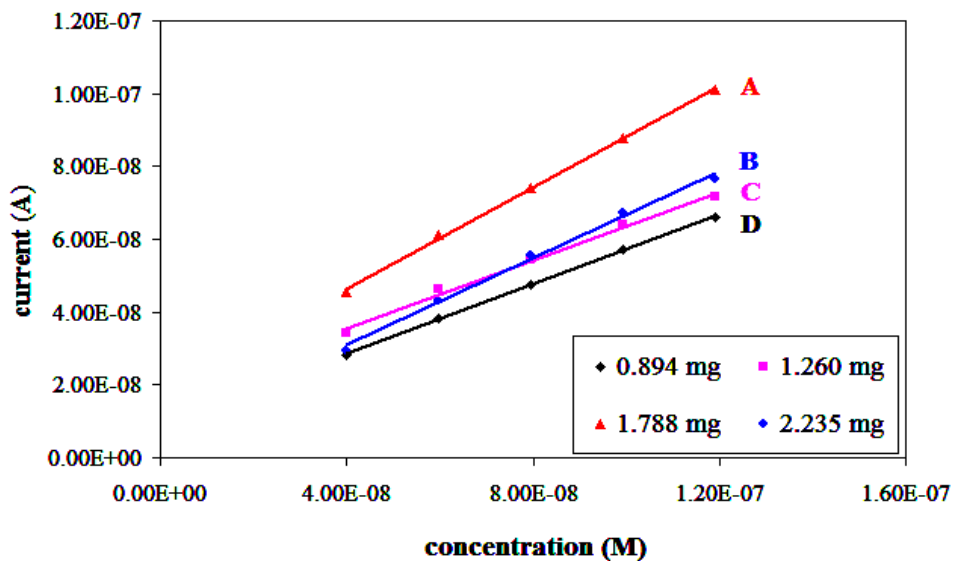
ภาพที่ 59 ใช้คลิกโวลแทน เมมทรีสำหรับการออกซิเดชันของพาราไนโตรฟีโนลโดยใช้มิดไฟย์อิเลคโทรด

## 5.2 การศึกษาหาสภาวะที่เหมาะสมของเมทิลพาราไนโตรเลสอิเลคโทรด

หลังจากที่ทำการสร้างเมทิลพาราไนโตรเลสอิเลคโทรด (MPH electrode) แล้ว นำมาศึกษาหาสภาวะที่เหมาะสมต่างๆ เพื่อให้ได้ค่าความไวของอิเลคโทรดสูงที่สุด สำหรับการตรวจวัดการปนเปื้อยของยาฆ่าแมลงในกลุ่ม OP ดังนี้

### 5.2.1 การหาปริมาณของรีกอมบิแนนท์เอนไซม์เมทิลพาราไนโตรเลสที่เหมาะสมที่สุด สำหรับตรึงลงบนคาร์บอนนาโนทิวป์

ทำการหาค่าการตอบสนองสัญญาณทางไฟฟ้า ในการตรวจวัดเมทิลพาราไนโตรเลสของเอนไซม์เมทิลพาราไนโตรเลสที่แยกบริสุทธิ์จากโคลนในรูปของเอนไซม์ที่ถูกเชื่อม (GST-tag fusion protein) จากนั้นนำรีกอมบิแนนท์เอนไซม์ที่ถูกเชื่อมด้วยกลูตาไธโอน เอส ทรานเฟอร์เลส (GST-tagged MPH) ในปริมาณต่างๆ ตรึงลงบนคาร์บอนนาโนทิวป์ (MPH-immobilized CNT) บนกลาเซียร์บอนอิเลคโทรด (GC electrode) โดยอาศัยการจับกันระหว่างประจุ (electrostatic technique) จากภาพที่ 60 พบว่าเอนไซม์เมทิลพาราไนโตรเลสปริมาณ 0.894 มิลลิกรัม (กราฟ D) ให้ค่าความไวในการตรวจวัดของอิเลคโทรดต่ำที่สุด คือ 479 นาโนแอม培رت่อไมโครโมลาร์ จากนั้นค่าความไวในการตรวจวัดของอิเลคโทรดจะเพิ่มสูงขึ้น เมื่อปริมาณเอนไซม์เมทิลพาราไนโตรเลสสูงขึ้น ก่อตัวคือที่ปริมาณเอนไซม์เมทิลพาราไนโตรเลส 1.260 มิลลิกรัม (กราฟ C) ให้ค่าความไวในการตรวจวัดของอิเลคโทรดเท่ากับ 469 นาโนแอมเบร็ตต่อไมโครโมลาร์ และที่ปริมาณเอนไซม์เมทิลพาราไนโตรเลส 1.788 มิลลิกรัม (กราฟ A) ให้ค่าความไวในการตรวจวัดของอิเลคโทรดสูงที่สุด คือ 697 นาโนแอมเบร็ตต่อไมโครโมลาร์ ในขณะที่ปริมาณเอนไซม์เมทิลพาราไนโตรเลส 2.235 มิลลิกรัม (กราฟ B) ให้ค่าความไวในการตรวจวัดของอิเลคโทรดลดลงเท่ากับ 596 นาโนแอมเบร็ตต่อไมโครโมลาร์



ภาพที่ 60 กราฟเทียบมาตรฐาน (calibration curve) จากการตอบสนองสัญญาณทางไฟฟ้าของ MPH-immobilized CNT บนกลาสซีคาร์บอนอิเลคโทรด ที่ปริมาณอนไซม์ต่างๆ

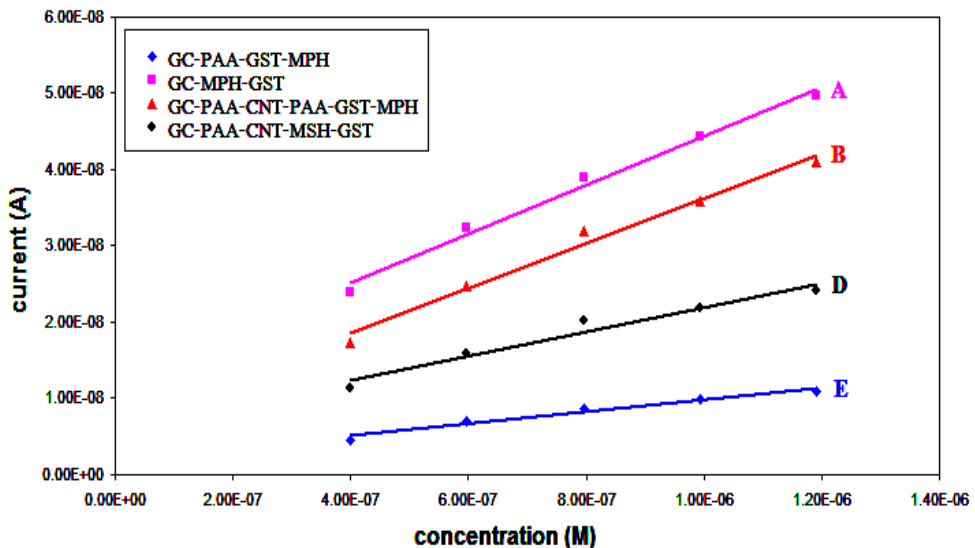
### 5.2.2 การเปรียบเทียบวิธีการตรึงเอนไซม์เมทชิลพาราไนโซนไฮโดรเลสบนกลาส

ซีคาร์บอนอิเลคโทรด

#### 5.2.2.1 วิธีการตรึงเอนไซม์ด้วยวิธี layer by layer electrostatic self

assembly immersion technique

ทำการเปรียบเทียบวิธีการตรึงเอนไซม์บนกลาสซีคาร์บอนอิเลคโทรดด้วยวิธี layer by layer electrostatic self assembly immersion technique จะได้โมดิฟายด์กลาสซีคาร์บอนอิเลคโทรด 4 ชนิด คือ GC-PAA-GST-MPH, GC-PAA-CNT-PAA-GST-MPH, GC-MPH-GST และ GC-PAA-CNT-MSH-GST โมดิฟายด์อิเลคโทรดจากการทดสอบเพื่อหาค่าการตอบสนองสัญญาณทางไฟฟ้าต่อม ethylparanitrophenol ที่ศักยไฟฟ้าคงที่ 0.93 โวลต์ จากภาพที่ 61 พบว่า GC-MPH-GST โมดิฟายด์อิเลคโทรด (กราฟ A) ให้ค่าความไวในการตรวจวัดของอิเลคโทรด สูงที่สุด คือ 32.1 นาโนแอมแปร์ต่อไมโครโตร์ด ซึ่ง GC-PAA-CNT-PAA-GST-MPH โมดิฟายด์อิเลคโทรด (กราฟ B) ให้ค่าความไวในการตรวจวัดของอิเลคโทรดเท่ากับ 29.6 นาโนแอมแปร์ต่อไมโครโตร์ด และ GC-PAA-CNT-MSH-GST โมดิฟายด์อิเลคโทรด (กราฟ D) ให้ค่าความไวในการตรวจวัดของอิเลคโทรด ต่ำที่สุด คือ 7 นาโนแอมแปร์ต่อไมโครโตร์ด

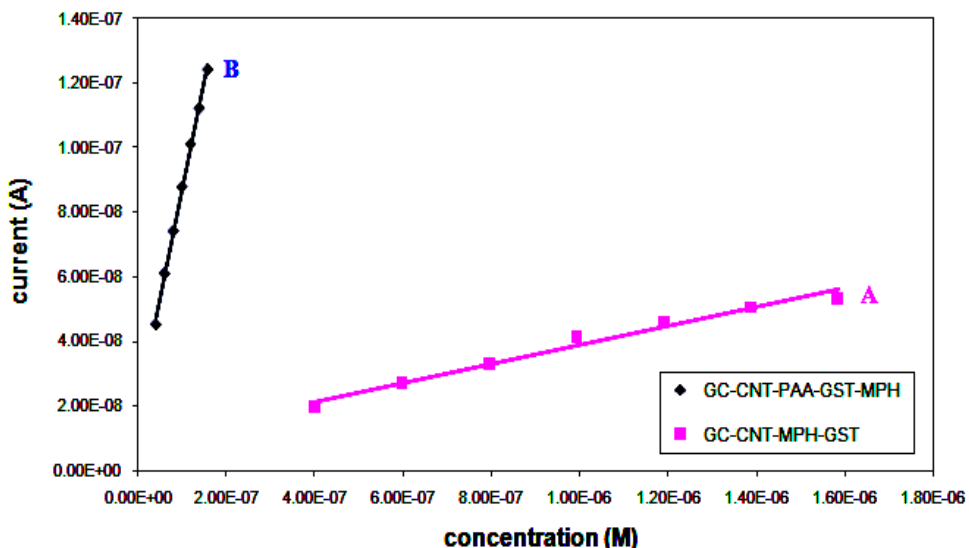


ภาพที่ 61 กราฟเทียบมาตรฐานจากการเปรียบเทียบการตอบสนองสัญญาณทางไฟฟ้าของเอนไซม์ เมทัลโลpara-ไชโอนไฮโดรเจสท์ริงบนกลาสซีคาร์บอนอิเลคโทรดด้วยวิธี layer by layer electrostatic self assembly immersion technique

## มหาวิทยาลัยเทคโนโลยีราชมงคลธัญบุรี

### 5.2.2.2 วิธีการตระหง่าน ไชม์บันกลาสซีคาร์บอนอิเลคโทรด ด้วยวิธี layer by layer electrostatic self assembly drop dry technique

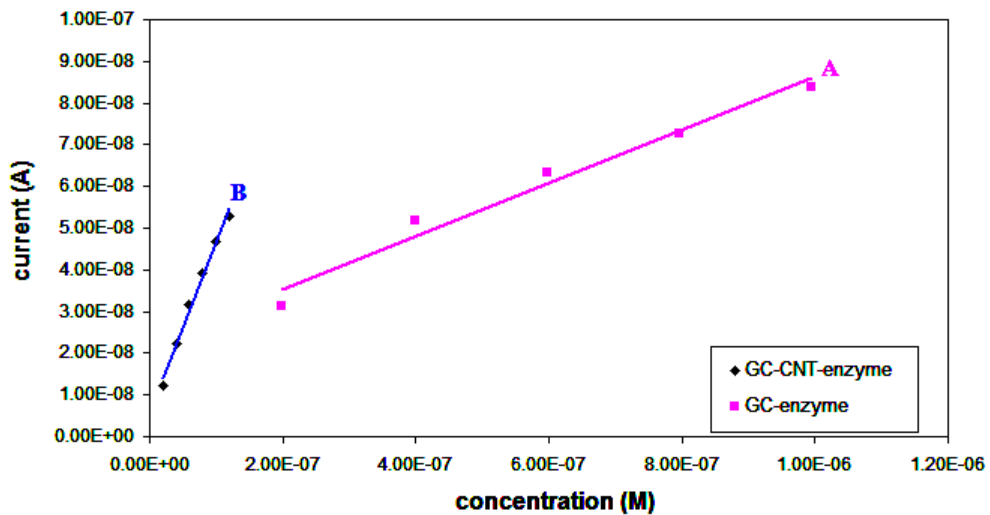
ทำการเปรียบเทียบการตระหง่าน ไชม์บันกลาสซีคาร์บอนอิเลคโทรด ด้วยวิธี layer by layer electrostatic self assembly drop dry technique จะได้โมดิฟายด์ กลาสซีคาร์บอนอิเล็กโทรด 2 ชนิด คือ GC-CNT-PAA-GST-MPH, GC-CNT-MPH-GST โมดิฟายด์อิเล็กโทรด จากการทดสอบหาค่าการตอบสนองสัญญาณทางไฟฟ้าต่อเอนไซม์para-ไชโอน ที่สักยีไฟฟ้าคงที่ 0.93 โวลต์ จากภาพที่ 62 พนวจว่า GC-CNT-PAA-GST-MPH โมดิฟายด์อิเล็กโทรด (กราฟ B) ให้ค่าความไวในการตรวจวัดของอิเลคโทรดสูงกว่า คือ 660 นาโนแอมแปร์ต่อไมโครโมลาร์ ในขณะที่ GC-CNT-MPH-GST โมดิฟายด์อิเล็กโทรด (กราฟ A) ให้ค่าความไวในการตรวจวัดของอิเลคโทรดต่ำกว่า คือ 29 นาโนแอมแปร์ต่อไมโครโมลาร์



ภาพที่ 62 กราฟเทียบมาตรฐานจากการเปรียบเทียบการตอบสนองสัญญาณทางไฟฟ้าของเอนไซม์ เมทัลโลpara-ไชโอนไฮโดรเจสที่ตรึงบนกลาสซีการ์บอนอิเล็กโทรดด้วยวิธี layer by layer electrostatic self assembly drop dry technique

### มหาวิทยาลัยราชภัฏราษฎร์บูรณะ มหาวิทยาลัยราชภัฏเชียงใหม่

5.2.2.3 วิธีการตรึงเอนไซม์ด้วยวิธี drop dry ทำการเปรียบเทียบการตรึงเอนไซม์บนกลาสซีการ์บอนอิเล็กโทรดด้วยวิธี drop dry จะได้โนดิฟายด์กลาสซีการ์บอนอิเล็กโทรด 2 ชนิด คือ GC-enzyme และ GC-CNT-enzyme โนดิฟายด์อิเล็กโทรด จากการทดสอบหาค่าการตอบสนองสัญญาณทางไฟฟ้าต่อเมทัลโลpara-ไชโอน ที่ศักย์ไฟฟ้าคงที่ 0.93 โวลต์ จากภาพที่ 63 พบว่า GC-CNT-enzyme โนดิฟายด์อิเล็กโทรด (กราฟ B) ให้ค่าความไวในการตรวจวัดของอิเล็กโทรดสูงกว่า คือ 409.8 นาโนแอมเปร์ต่อไมโครโมลาร์ ในขณะที่ GC-enzyme โนดิฟายด์อิเล็กโทรด (กราฟ A) ให้ค่าความไวในการตรวจวัดของอิเล็กโทรดต่ำกว่า คือ 63.6 นาโนแอมเปร์ต่อไมโครโมลาร์

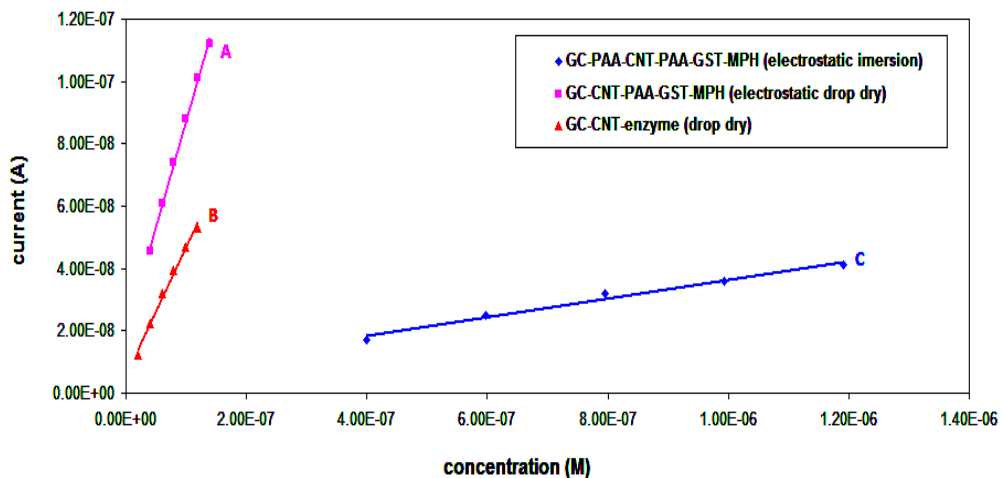


ภาพที่ 63 กราฟเทียบมาตรฐานจากการเปรียบเทียบการตอบสนองสัญญาณทางไฟฟ้าของเอนไซม์ เมทัลโลพาราไธอ่อน ไชโครเลสที่ตั้งบนกัลตาซีคาร์บอนอิเลคโทรดด้วยวิธี drop dry

#### 5.2.2.4 เปรียบเทียบวิธีการตั้งเอนไซม์ด้วยวิธี electrostatic drop dry

technique, วิธี electrostatic immersion technique และวิธี drop dry

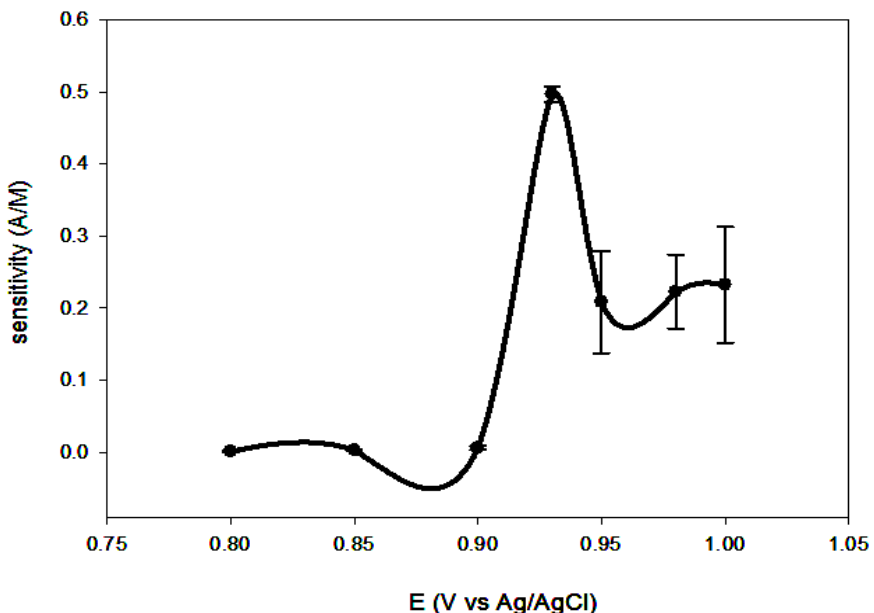
ทำการเปรียบเทียบการตั้งเอนไซม์บนกัลตาซีคาร์บอนอิเลคโทรด ระหว่างวิธี electrostatic drop dry technique, วิธี electrostatic immersion technique และวิธี drop dry จากราฟที่ 64 พบว่าวิธี electrostatic drop dry technique (กราฟ A) ให้ค่าความไวในการตรวจวัดของอิเลคโทรดเท่ากับ 675.7 นาโนแอมแปร์ต่อไมโครโอมาร์ ซึ่งสูงกว่าทั้งวิธี electrostatic immersion technique (กราฟ C) และวิธี drop dry (กราฟ B) ที่มีค่าความไวในการตรวจวัดของอิเลคโทรดเท่ากับ 29.6 และ 409.8 นาโนแอมแปร์ต่อไมโครโอมาร์ ตามลำดับ



ภาพที่ 64 กราฟเทียบมาตรฐานจากการเปรียบเทียบการตอบสนองสัญญาณทางไฟฟ้าของเอนไซม์ เมทัลโลpara-ไธโอลอนไ索ไดเรสท์ที่ตั้งบนกลาสซีการ์บอนอิเลคโทรดด้วยวิธี electrostatic drop dry technique, วิธี electrostatic self assembly immersion techniques และวิธี drop dry

5.2.3 การศึกษาหาค่าศักย์ไฟฟ้าที่สูงที่สุดสำหรับการเกิดปฏิกิริยาออกซิเดชันของพาราไนโตรฟีโนล

ทำการเบรียบเทียบค่าความต่างศักย์ไฟฟ้าต่างๆ สำหรับการเกิดปฏิกิริยาออกซิเดชันของพาราไนโตรฟีโนล จากภาพที่ 65 พบว่าเมื่อความต่างศักย์ไฟฟ้าเพิ่มสูงขึ้น ค่าความไวในการตรวจวัดของอิเลคโทรดจะสูงขึ้นด้วย จนกระทั่งที่ความต่างศักย์ 0.93 โวลต์ ให้ค่าความไวในการตรวจวัดของอิเลคโทรดที่สูงที่สุด เท่ากับ 497 นาโนแอมแปร์ต่อไมโครโมลาร์ ซึ่งเป็นศักย์ไฟฟ้าที่เหมาะสมที่สุดสำหรับการใช้ตรวจวัดยาฆ่าแมลง และที่ความต่างศักย์ที่สูงกว่า 0.93 โวลต์ ค่าความไวในการตรวจวัดของอิเลคโทรดจะลดลง



ภาพที่ 65 กราฟไฮโอดร ไดนามิกโอลแทนโนมแกรมสำหรับวัดการเกิดออกซิเดชันของพาราไนโตรฟีโนล

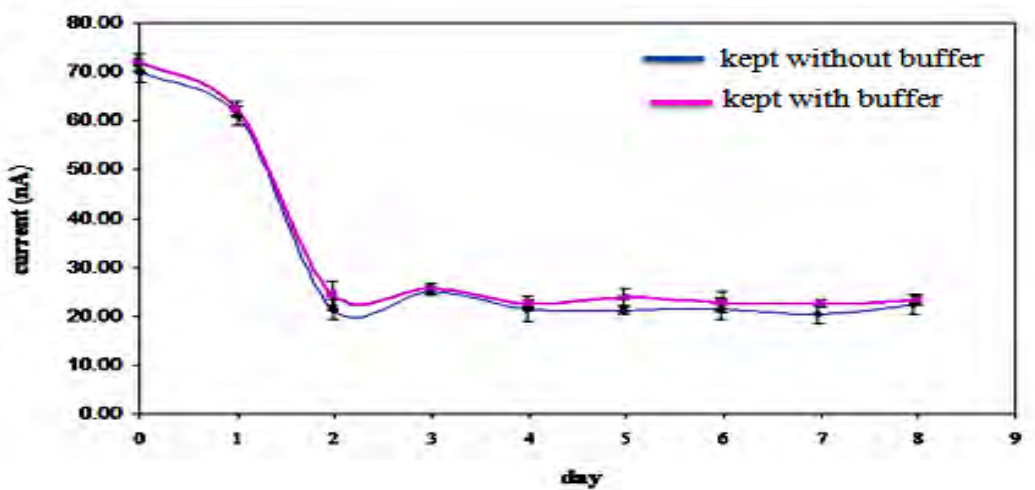
### 5.3 การศึกษาคุณลักษณะของเมทิลพาราไนโตรโลสอิเลคโทรด

หลังจากที่เมทิลพาราไนโตรโลสอิเลคโทรด (MPH electrode) ถูกสร้างตาม

สภาพที่เหมาะสมดังกล่าวข้างต้นแล้ว จึงนำมาศึกษาคุณลักษณะต่างๆ ดังนี้

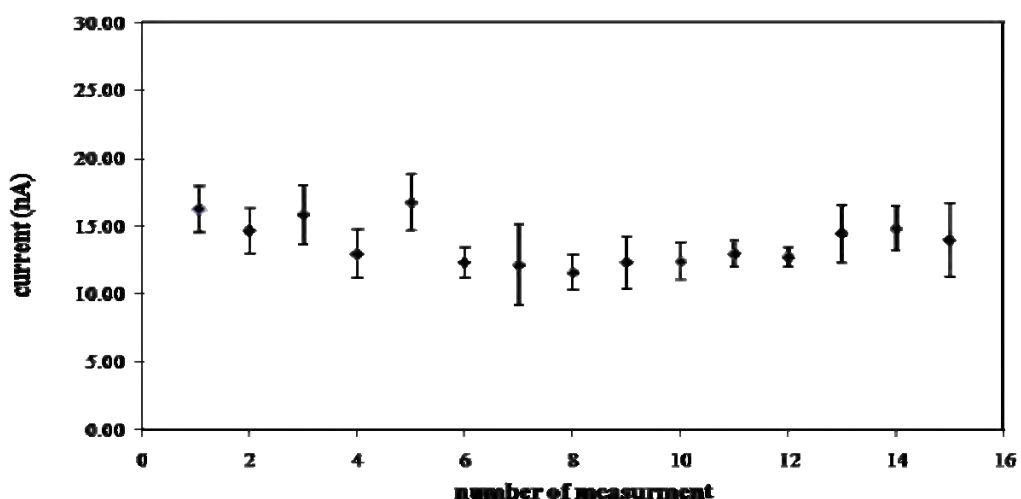
#### 5.3.1 การศึกษาหาค่าความเสถียรของอิเลคโทรด

หลังจากที่ทำการสร้างเมทิลพาราไนโตรโลสอิเลคโทรด แล้วทำการวัดการตอบสนองสัญญาณทางไฟฟ้าที่ระยะเวลาต่างๆ จากภาพที่ 66 พบร่วมกับระยะเวลาผ่านไปเพียง 1 วัน ประสิทธิภาพในการตรวจวัดยาฆ่าแมลงจะลดลงเล็กน้อย โดยให้ทำการตอบสนองสัญญาณทางไฟฟ้า เท่ากับ 70 นาโนแอมป์ เมื่อที่ระยะเวลาผ่านไป 2 วัน ประสิทธิภาพของอิเลคโทรดจะลดลงอย่างรวดเร็ว ซึ่งให้การตอบสนองสัญญาณทางไฟฟ้า เท่ากับ 20 นาโนแอมป์ จากนั้นเมื่อระยะเวลาผ่านไปประสิทธิภาพของอิเลคโทรดจะไม่มีการเปลี่ยนแปลง (กราฟสีฟ้า) และเมื่อทำการเปรียบเทียบอิเลคโทรดที่ถูกแซ่บในบัฟเฟอร์ฟอสเฟต pH อะซ 8 ที่อุณหภูมิ 4 องศาเซลเซียส พบร่วมกับไม่แตกต่างกัน (กราฟสีชมพู)



ภาพที่ 66 แสดงผลการวัดความเสถียรของเมทธิลparaไฮดรอลิกโดยเก็บอิเลคโทรดไว้ที่อุณหภูมิ 4 องศาเซลเซียส ซึ่งแช่ในบฟเฟอร์ (กราฟสีชมพู) และไม่แช่ในบฟเฟอร์ (กราฟสีฟ้า)

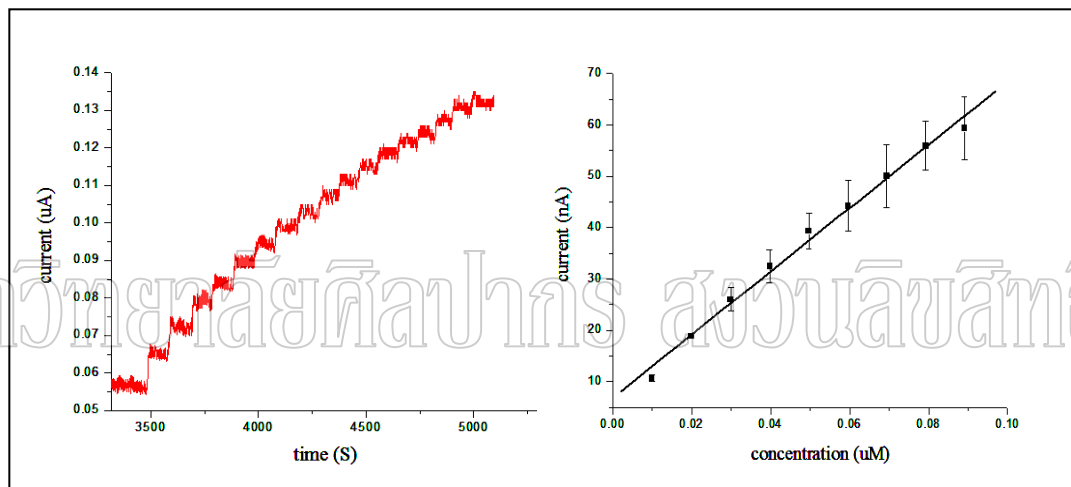
5.3.2 การศึกษาหาค่าความสามารถในการวัดซ้ำย่างต่อเนื่องของอิเลคโทรดหลังจากที่ทำการสร้างเมทธิลparaไฮดรอลิกโดยเก็บอิเลคโทรด ทำการวัดซ้ำ 15 ครั้ง ด้วยอิเลคโทรดเดิม จากภาพที่ 67 พบว่าอิเลคโทรดนี้สามารถทำการวัดซ้ำได้ โดยเมื่อคำนวณหาค่าร้อยละ relative standard deviation (%RSD) ได้เท่ากับ 9.19 เปอร์เซ็นต์  $\pm 3.49\%$



ภาพที่ 67 แสดงความสามารถในการตรวจวัดซ้ำได้อย่างต่อเนื่องของเมทธิลparaไฮดรอลิกโดยเก็บอิเลคโทรด

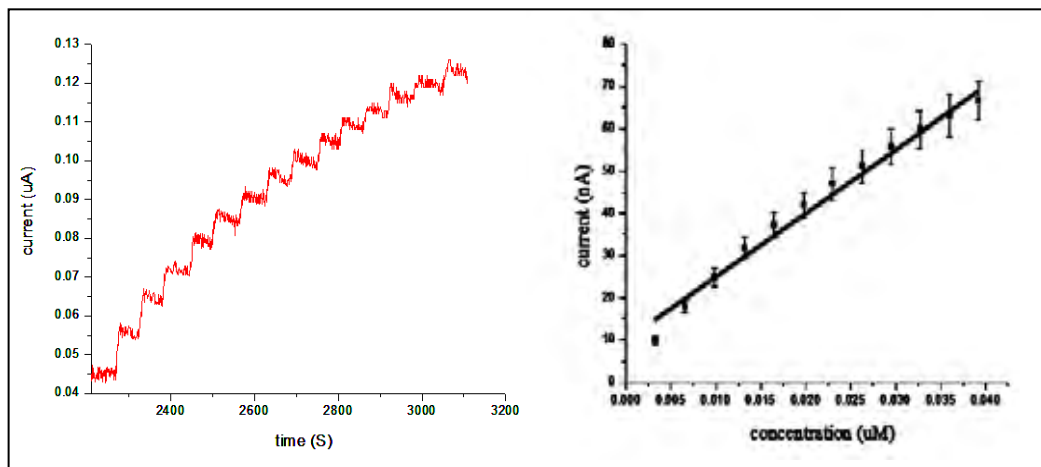
5.3.3 การศึกษาหาค่าพิสัยเชิงเส้นของการวัด, ค่าความไวในการตรวจวัดของอิเลคโทรด และค่าความเข้มข้นต่ำสุดที่ระบบสามารถวัดได้

จากการศึกษาการตอบสนองสัญญาณทางไฟฟ้าของปฏิกิริยาไฮโดรไอลซิสของเมทธิลพาราไฮroxอนโดยอ่อนใช้มีแมทชิลพาราไฮroxอนไฮโครเลส เมื่อทำการใส่เมทธิลพาราไฮroxอนที่ความเข้มข้น 5 นาโนโมลาร์ลงในบัฟเฟอร์อย่างต่อเนื่อง จากภาพที่ 68 พบว่าให้ค่าความไวในการตรวจวัดของอิเลคโทรดสูงถึง 616 นาโนแอมแปร์ต่อไมโครโมลาร์ และเมื่อคำนวณหาค่าความเข้มข้นต่ำที่สุดที่ระบบสามารถทำการวัดได้ จากสัดส่วนของสัญญาณต่อแบคกราวด์ที่เท่ากับ 3 (signal-to-noise characteristics; S/N = 3) ได้เท่ากับ 5.4 นาโนโมลาร์ โดยให้ค่าพิสัยเชิงเส้นของการวัดอยู่ในช่วง 10-90 นาโนโมลาร์



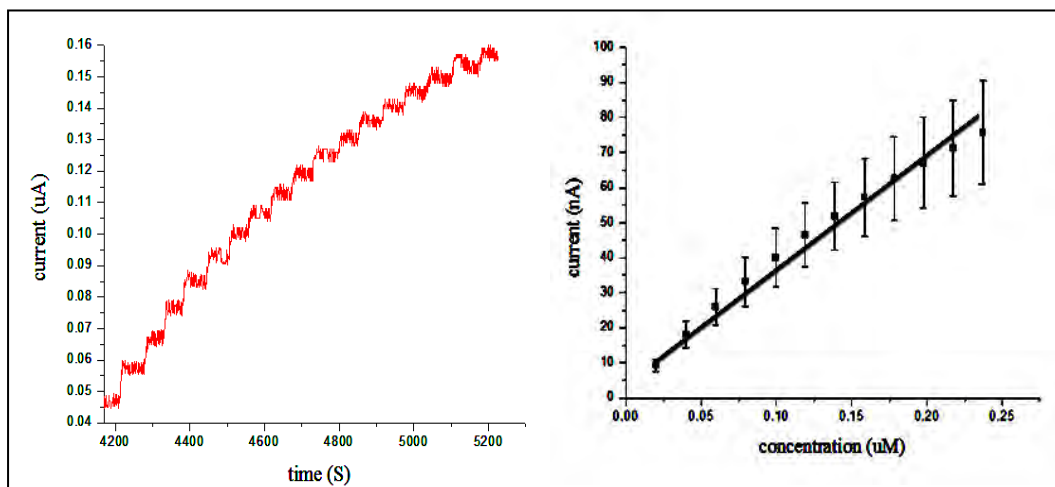
ภาพที่ 68 グラฟการตอบสนองต่อสัญญาณไฟฟ้า (ภาพซ้าย) และกราฟมาตรฐานของเมทธิลพาราไฮroxอน (ภาพขวา)

สำหรับการตอบสนองสัญญาณทางไฟฟ้าของปฏิกิริยาไฮโดรไอลซิสของพาราออกซอน โดยใส่พาราออกซอนที่มีความเข้มข้น 1 นาโนโมลาร์ลงในบัฟเฟอร์อย่างต่อเนื่อง จากภาพที่ 69 พบว่าให้ค่าความไวในการตรวจวัดของอิเลคโทรดสูงถึง 1547 นาโนแอมแปร์ต่อไมโครโมลาร์ และเมื่อคำนวณหาค่าความเข้มข้นต่ำที่สุดที่ระบบสามารถทำการวัดได้ (limit of detection; LOD) จากสัดส่วนของสัญญาณต่อแบคกราวด์ที่เท่ากับ 3 (signal-to-noise characteristics; S/N = 3) ได้เท่ากับ 0.86 นาโนโมลาร์ โดยให้ค่าพิสัยเชิงเส้นของการวัดอยู่ในช่วง 3.3-40 นาโนโมลาร์



ภาพที่ 69 กราฟการตอบสนองต่อสัญญาณไฟฟ้า (ภาพซ้าย) และกราฟมาตรฐานของพาราไซโอน (ภาพขวา)

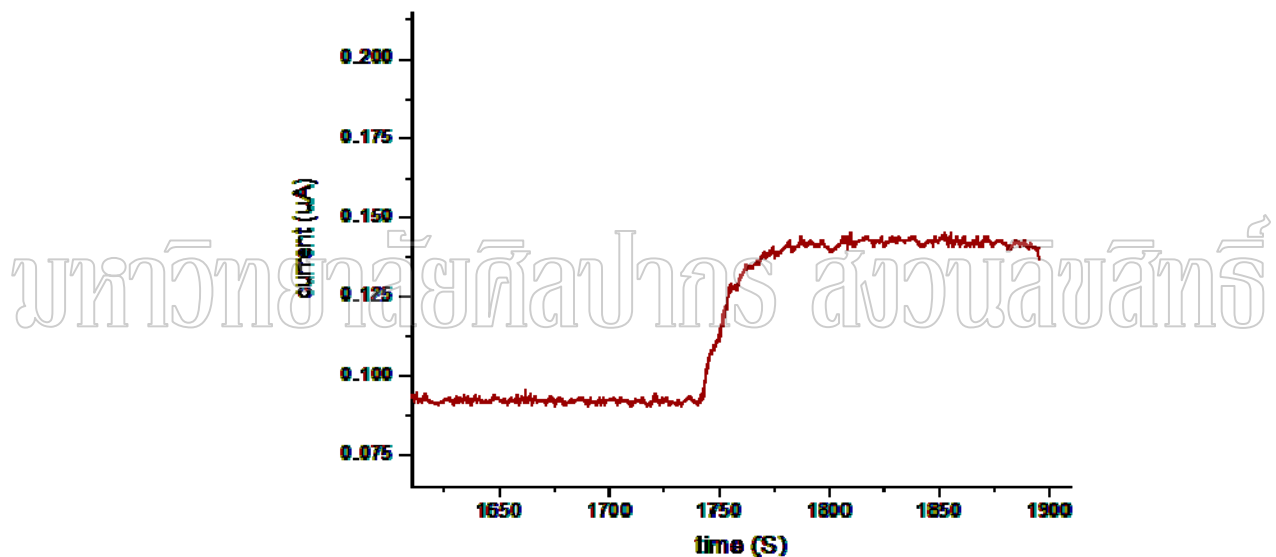
สำหรับการตอบสนองสัญญาณทางไฟฟ้าของปฏิกิริยาไฮโดรไลซิสของพาราไซโอน โดยใช้พาราไฮออยด์ที่มีความเข้มข้น 10 นาโนโมลาร์ ลงในบัฟเฟอร์อย่างต่อเนื่อง จากภาพที่ 70 พบว่าให้ค่าความไวในการตรวจวัดของอิเลคโทรดสูงถึง 301 นาโนแอมป์ร์ต่อนาโนโมลาร์ และเมื่อคำนวณหาค่าความเข้มข้นต่ำที่สุดที่ระบบสามารถทำการวัดได้ (limit of detection; LOD) จากสัดส่วนของสัญญาณต่อแบคกราวด์ที่เท่ากับ 3 (signal-to-noise characteristics; S/N = 3) ได้เท่ากับ 0.86 นาโนโมลาร์ โดยให้ค่าพิสัยเชิงเส้นของการวัดอยู่ในช่วง 20-240 นาโนโมลาร์



ภาพที่ 70 กราฟการตอบสนองต่อสัญญาณไฟฟ้า (ภาพซ้าย) และกราฟมาตรฐานของพาราไฮออยด์ (ภาพขวา)

#### 5.4 การนำเมทชิลพาราไฮดรอเจสติคเอนไซม์ตรวจทดสอบตัวอย่างจริง

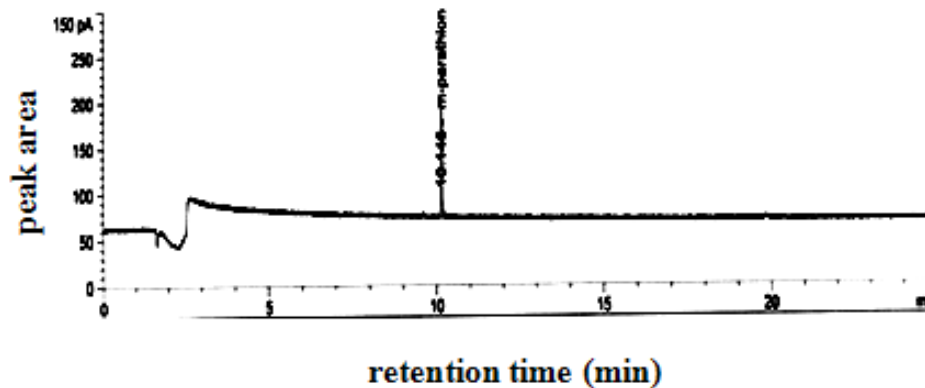
เมื่อนำเมทชิลพาราไฮดรอเจสติคเอนไซม์ตรวจทดสอบตัวอย่างจริง โดยนำน้ำตัวอย่างที่เก็บมาจากแหล่งน้ำที่บริเวณบางขุนเทียนมาใส่ (spike) ยาฆ่าแมลงเมทชิลพาราไฮดรอเจสติคเอนไซม์ความเข้มข้น 200 ไมโครโมลาร์ จากนั้นทำการเจือจางน้ำตัวอย่างให้มีความเข้มข้น 40 ไมโครโมลาร์ แล้วนำน้ำตัวอย่างที่มียาฆ่าแมลงปนเปื้อนใส่ลงในบัฟเฟอร์ให้มีความเข้มข้นสุดท้ายเท่ากับ 76.84 นาโนโมลาร์ ทำการวัดการตอบสนองสัญญาณทางไฟฟ้าของปฏิกิริยาไฮโดรไลซิสจากภาพที่ 71 พบว่าได้สัญญาณเท่ากับ 12.4 นาโนแอมป์ เมื่อคำนวณหาความเข้มข้นจากการมาตราฐานเมทชิลพาราไฮดรอเจสติคได้เท่ากับ 66.34 นาโนโมลาร์ โดยได้ค่าร้อยละผลผลิต (% recovery) เท่ากับ 86.33 เปอร์เซ็นต์  $\pm 1.37\%$



ภาพที่ 71 กราฟการตอบสนองต่อสัญญาณไฟฟ้าในการนำเมทชิลพาราไฮดรอเจสติคเอนไซม์ตรวจตัวอย่างจริง

#### 6. การนำไปใช้ยานฆ่าแมลงในน้ำตัวอย่างโดยวิธีแก๊สโครม่าโกรกราฟี

เมื่อนำน้ำตัวอย่างที่เก็บมาจากแหล่งน้ำที่บริเวณบางขุนเทียนมาใส่ยาฆ่าแมลงเมทชิลพาราไฮดรอเจสติค (spike) ให้มีความเข้มข้น 15 นาโนกรัมต่อมิลลิลิตร จากนั้นทำการสกัด และวิเคราะห์ปริมาณยาฆ่าแมลงโดยวิธีแก๊สโครม่าโกรกราฟี จากราฟที่ 72 พบว่าระยะเวลาที่ใช้ในการแยกวิเคราะห์เมทชิลพาราไฮดรอเจสติค (retention time) ประมาณ 10 นาที



ภาพที่ 72 กราฟโคมาร์กอต์แกรมจากการวิเคราะห์ด้วยวิธีแก๊สโคมาร์กอต์แกรม

และเมื่อคำนวณค่าพื้นที่ได้กราฟ เปรียบเทียบกับกราฟมาตรฐานเมทิลพาราไโซอนพบว่าความเข้มข้นที่คำนวณได้เท่ากับ 14.245 นาโนกรัมต่อมิลลิลิตร เพาะะจะนั้นจึงได้ค่าร้อยละของผลผลิตเท่ากับ 94.97 เปอร์เซ็นต์  $\pm 7.76\%$

# มหาวิทยาลัยศิลปากร สงวนลิขสิทธิ์

## บทที่ ๕

### สรุปผลการวิจัย

การโคลนยืนที่สร้างເອນໄไซม์เมทธิลพาราໄໂຮອອນໄไซໂໂໂຣເລສ ແລະການສຶກຍາກາຮແສດງອອກຂອງຢືນດັກລ່າວ ໂດຍທຳການ ໂຄລນຍິນທີ່ສຶກງເອນໄไซມໍດັກລ່າວ ໃນພລາສມືດ pGEX-4T-2 ແລ້ວດ່າຍໂອນຮົກອມບີແນນທີ່ພລາສມືດທີ່ໄດ້ເຂົ້າສູ່ເຈົ້າບ້ານທີ່ເໜີມະສົມ ພບວ່າສາມາດທຳການ ໂຄລນໄດ້ສຳເຮົ່ງແລະມີກາຮແສດງອອກຂອງຢືນທີ່ສຶກງເອນໄไซມໍເມທົລພາຣາໄໂຮອອນໄไซໂໂໂຣເລສໃນພລາສມືດດັກລ່າວ ໂດຍໃຫ້ຊ່ອໂຄລນເປັນ BpGT ຜົ່ງກືອ *E.coli* BL21 ທີ່ມີ pGEX-4T-2 :: *mpd* gene ແລະຜົລຈາກກາຮທຳ SDS-polyacrylamide gel electrophoresis ພບວ່າ ຮົກອມບີແນນທີ່ BpGT ມີກາຮແສດງອອກຂອງຢືນໃນປົກມາພື້ນຖານທີ່ສູງມາກ

ໃນການສຶກຍາກາຮພລິຕແລະແຢກບຣຸທົກີ່ເອນໄไซມໍເມທົລພາຣາໄໂຮອອນໄไซໂໂຣເລສຈາກຮົກອມບີແນນທີ່ໂຄລນ BpGT ພບວ່າເອນໄไซມໍທີ່ພລິຕໄດ້ນັ້ນມີທັງສ່ວນຂອງເໜລວທີ່ລະລາຍນໍາໄດ້ ແລະ ສ່ວນທະກອນຈຶ່ງໃນກາຮປິ່ນເໜວຍງຈະຕກລົງພຣັອມມາກັບເໝຍເໜລົດ ໂດຍສ່ວນໃໝ່ເອນໄໄຊມໍຈະອູ້ໃນສ່ວນທີ່ໄມ່ລະລາຍນໍາ ຈາກກາຮຕຽບສອບພລຂອງ SDS-polyacrylamide gel electrophoresis ສາເຫຼຸ້າ ນ້າຈະເນື່ອງມາຈາກເກີດກາຮພລິຕ ໂປຣຕິນຂຶ້ນກາຍໃນເໜລົດເປັນຈຳນວນນັກ ເອນໄໄຊມໍຈຶ່ງເກີດກາຮຮວມຕ້ວກັນ ໂປຣຕິນແລະຕກຕະກອນໃນລັກຍົມະທີ່ເຮີຍກວ່າ inclusion body ນອກຈາກນີ້ເອນໄໄຊມໍເມທົລພາຣາໄໂຮອອນໄไซໂໂຣເລສໜີດນີ້ໃນຮຽມໝາດຕິຈະຕິດອູ້ທີ່ພັນຈັງເໜລົດຂອງຈຸລິນທຣີຢ່ ໃນລັກຍົມະທີ່ເປັນ membrane protein (Keprasertsup, 2001) ຜົ່ງໃນກາຮແຢກບຣຸທົກີ່ເອນໄໄຊມໍໃນສ່ວນຂອງເໜລວ

สามารถนำตัวอย่างไปกรองแล้วผ่านคอลัมน์ (GSTPrep FF column) ได้โดย แต่ในส่วนของ เอนไซม์ที่อยู่ในรูปของตะกอนนั้น ต้องนำตัวอย่างไปละลายด้วยญี่เรีย และทำไคลซิส เพื่อ ค่อยๆ กำจัดญี่เรียออก เพื่อให้โปรดีนเกิดการ refold ก่อน จึงจะทำการแยกบริสุทธิ์ด้วยคอลัมน์ เมื่อเอนไซม์ผ่านคอลัมน์แล้วพบว่ามีความบริสุทธิ์สูง แต่มีกิจกรรมเอนไซม์สำหรับการย่อย สารอาหาร-ไธอ่อนที่ต่ำ สาเหตุน่าจะเนื่องมาจากเอนไซม์ที่อยู่ในรูปของตะกอนที่ไม่ ละลายน้ำ จะถูกทำให้เสียสภาพด้วยญี่เรีย ซึ่งแม่จะทำการไคลซิสกำจัดญี่เรีย เพื่อให้โปรดีน เกิดเป็นโครงสร้าง 3 มิติ แต่โครงสร้าง 3 มิติแล้วก็ตาม แต่เอนไซม์ส่วนใหญ่ อาจยังไม่ refold ในรูปแบบที่มีกิจกรรมได้ ทำให้ยังคงสูญเสียกิจกรรมเอนไซม์ส่วนใหญ่ไป

ดังนั้น จึงได้ทำการศึกษาหาสภาวะที่เหมาะสมในการผลิตรีคอมบิแนนท์เอนไซม์ เมทชิลพาราไธอ่อนไสโตรเลสที่ให้กิจกรรมจำเพาะของเอนไซม์สูงที่สุด ซึ่งภายหลังจากที่ ทำการศึกษาหาสภาวะที่เหมาะสมในการผลิตรีคอมบิแนนท์เอนไซม์เมทชิลพาราไธอ่อน- ไสโตรเลสแล้ว พบว่าเมื่อทำการเลี้ยงเชื้อรีคอมบิแนนท์โคลน และทำการเหนี่ยวน้ำด้วย IPTG ที่ความเข้มข้น 1 มิลลิโมลาร์แล้ว เติมสารละลาย  $\text{CoCl}_2$  ที่ความเข้มข้น 0.5 มิลลิโมลาร์ จำนวนน้ำ ทำการเลี้ยงเชื้อต่อที่อุณหภูมิ 18 องศาเซลเซียส เป็นเวลา 6 ชั่วโมง รีคอมบิแนนท์เอนไซม์ที่ พลิกได้ที่สภาวะตั้งกล่าวข้างบนนี้จากเดิมที่ส่วนใหญ่อยู่ในรูปตะกอนที่ไม่ละลายน้ำเปลี่ยนมาอยู่ใน ส่วนที่ละลายน้ำได้ และมีส่วนน้อยที่อยู่ในรูปของตะกอน ซึ่งอาจมีสาเหตุเนื่องจากการเลี้ยง เชื้อเพื่อผลิตรีคอมบิแนนท์เอนไซม์ที่อุณหภูมิ 18 องศาเซลเซียส ปรากฏว่ารีคอมบิแนนท์ เอนไซม์ที่ผลิตได้ที่สภาวะดังกล่าวนั้นส่วนใหญ่จะเปลี่ยนมาอยู่ในส่วนที่ละลายน้ำได้ และมี

เพียงส่วนน้อยเท่านั้นที่อยู่ในรูปของตะกอน ทั้งนี้อาจมีสาเหตุมาจากการเลือยเชื้อเพื่อผลิต รีคอมบิแนนท์เอนไซม์เลือยที่อุณหภูมิ 18 องศาเซลเซียส ซึ่งเป็นสภาพที่ไม่เหมาะสมในการเจริญเติบโตของเซลล์จุลินทรีย์ ทำให้มีการผลิตโปรตีนอื่นทั่วๆ ไปที่จำเป็นต่อเจริญเติบโตภายในเซลล์น้อย ดังนั้นรีคอมบิแนนท์โกลนนี้จึงทำการผลิตเฉพาะรีคอมบิแนนท์เอนไซม์ เมทัลโลฟาราไซด์เอนไซม์ ไมโครเลสเป็นส่วนใหญ่ เนื่องจากมีการเหนี่ยวนำให้ยังคงสร้างเอนไซม์ เมทัลโลฟาราไซด์เอนไซม์ พบร่วงกิจกรรมของรีคอมบิแนนท์เอนไซม์ที่ถูกแยกบริสุทธิ์ รีคอมบิแนนท์เอนไซม์ พบร่วงกิจกรรมของรีคอมบิแนนท์เอนไซม์ที่ถูกแยกบริสุทธิ์นี้เพิ่มสูงขึ้น สาเหตุน่าจะเป็นเพราะเอนไซม์ที่ส่วนใหญ่ละลายนำได้นี้ สามารถนำมาผ่านคอลัมน์ได้โดยตรง โดยไม่ต้องทำให้เอนไซม์เสียสภาพด้วยyuเริก่อน นอกจากนี้รายงานว่าโคงอลคลอไรด์ที่เติมลงไว้ในขณะที่เหนี่ยวนำรีคอมบิแนนท์โกลนด้วย IPTG ยังช่วยทำให้เอนไซม์มีการสร้างเป็นโครงสร้าง 3 มิติ ที่สมบูรณ์ ซึ่งมีผลทำให้โครงสร้างของเอนไซม์เสถียร จึงมีส่วนช่วยทำให้กิจกรรมของเอนไซม์สูงขึ้น (Manavathi *et al.*, 2005)

จากนั้นนำรีคอมบิแนนท์เอนไซม์ที่แยกบริสุทธิ์แล้ว ไปศึกษาหาคุณลักษณะต่างๆ ของเอนไซม์ พบร่วงเอนไซม์ทำงานได้ดีที่สุด ที่อุณหภูมิ 25 องศาเซลเซียส ใน 50 mM Tris-HCl buffer pH 9.0 นอกจากนี้รีคอมบิแนนท์เอนไซม์นี้มีความเต็มขึ้นเมื่อเทียบกับเอนไซม์ที่อุณหภูมิ 4 องศาเซลเซียส ใน 50 mM phosphate buffer pH 6.0 ในขณะที่โคงอลคลอไรด์เอนไซม์ และแอดเมียโนโอดอน สามารถเหนี่ยวนำให้เอนไซม์ทำงานได้ดีขึ้น โดยมีค่ากิจกรรมของ

เอนไซม์เพิ่มสูงขึ้น แต่ DTT, EDTA และ SDS จะมีผลในการยับยั้งการทำงานของเอนไซม์ ซึ่งสรุปได้ในตารางที่ 12

ตารางที่ 12 สรุปผลของไอออนของโลหะและสารเคมีต่อ กิจกรรมของเอนไซม์

Metal ions and chemical reagents	$\text{Cr}^{2+}$	$\text{Ni}^{2+}$	$\text{Zn}^{2+}$	$\text{Cu}^{2+}$	$\text{Ca}^{2+}$	$\text{Mg}^{2+}$	$\text{Cu}^{2+}$	$\text{Pb}^{2+}$	$\text{Mn}^{2+}$	DTT	EDTA	SDS
Relativity activity (%)	131	100	128	226	99	91	100	96	101	87	86	46

จากการศึกษาค่าพารามิเตอร์ทางจนপস্তৰของเอนไซม์ โดยรีคอมบিনันท์ เอนไซม์มาทำปฏิกิริยากับยาฆ่าแมลงที่ความเข้มข้นต่างๆ สรุปได้ในตารางที่ 13 ซึ่งพบว่า พาราออกซอนมีค่า  $V_{max}$  และ  $k_{cat}$  สูงที่สุด และมีค่า  $K_m$  ต่ำที่สุด โดยค่า  $V_{max}$  เป็นค่าบ่งบอกถึง อัตราเร็วสูงสุดของปฏิกิริยา และคงว่าปฏิกิริยาระหว่างรีคอมบิแนนท์เอนไซม์เมทัลฟารา-ไธโอนไไฮโดรเจนและพาราออกซอนเกิดได้เร็วกว่าชั้บสเตรทตัวอื่นๆ ส่วนค่า  $K_m$  เป็นค่าคงที่ ของปฏิกิริยา ซึ่งแสดงถึงปริมาณของเอนไซม์ที่สามารถจับกับชั้บสเตรทแล้วเปลี่ยนชั้บสเตรท ให้กลายเป็นผลิตภัณฑ์ 1 โมล ในขณะที่  $k_{cat}$  เป็นค่าที่บ่งบอกถึงปริมาณความเข้มข้นของ ชั้บสเตรทที่สูงที่สุดที่สามารถเปลี่ยนเป็นผลิตภัณฑ์ ใน 1 หน่วยเวลา (ค่า  $k_{cat}$  คำนวณมาจาก  $V_{max} / [E]$ ) และเมื่อคำนวณหาค่า catalytic efficiency ( $k_{cat} / K_m$ ) ซึ่งเป็นค่าที่บ่งบอกว่าเอนไซม์ มีความจำเพาะกับชั้บสเตรทตัวใดมากที่สุด พบว่ารีคอมบิแนนท์เอนไซม์เมทัลฟารา-ไธโอน

ไฮโดรเลสนีมีความจำเพาะต่อพาราออกซอน > เมทิลพาราไชโอน > พาราไชโอน > เฟนิโลพาราไชโอน > คลอร์ไพริฟอส > คูมาฟอส > มาลาไชโอน ตามลำดับ ที่เป็นเห็นนี้ น่าจะเนื่องมาจาก การที่โครงสร้างของพาราออกซอนที่บริเวณตำแหน่งพันธะฟอสโฟไฟโอดีสเทอเร (phosphodiester bond)นั้น หมู่ฟอสเฟต (phosphate) จะจับกับอะตอมของออกซิเจน (O) แทนที่จะเป็นชัลเฟอร์ (S) ดังในสารออร์กานิฟอสเฟตตัวอื่นๆ ซึ่งออกซิเจนมีค่าอิเลคโทรเนกาติวิตี้ (electronegativity\*) สูงกว่าชัลเฟอร์ จึงทำให้ดึงดูดอิเลคตรอนเข้าหาตัวเองได้ดีกว่า ส่งผลให้ พันธะฟอสโฟไฟโอดีสเทอเรระหว่างหมู่ฟอสเฟตกับออกซิเจนแตกได้ง่ายกว่าพันธะระหว่างหมู่ฟอสเฟตกับชัลเฟอร์ ส่งผลทำให้ปฏิกิริยาระหว่างรีคอมบิแนนท์เอนไฮเมทิลพาราไชโอน ไฮโดรเลสกับพาราออกซอนเกิดได้ดีกว่าสารออร์กานิฟอสเฟตตัวอื่นๆ ดังนั้นพาราออกซอน จึงเป็นชับสเตรทที่มีความจำเพาะกับรีคอมบิแนนท์เอนไฮเมทิลพาราไชโอนกับพาราไชโอน จะเห็นว่าที่บริเวณตำแหน่งพันธะฟอสโฟไฟโอดีสเทอเร หมู่ฟอสเฟตจับกับชัลเฟอร์เหมือนกัน แต่หมู่แอลกิล (alkyl group) ที่อยู่ในโครงสร้างของเมทิลพาราไชโอนเป็นหมู่เมทธิล (methyl group) ในขณะที่ใน โครงสร้างของพาราไชโอนเป็นหมู่เอทธิล (ethyl group) แต่โดยที่หมู่เอทธิลนี้มีโครงสร้างใหญ่กว่าหมู่เมทธิล ทำให้รีคอมบิแนนท์เอนไฮเมทิลพาราไชโอน ไฮโดรเลสเข้ามาขึ้นได้มากกว่า จึงส่งผลให้ MP มีความจำเพาะกับรีคอมบิแนนท์เอนไฮเมทิลพาราไชโอนมากกว่าพาราไชโอน

ตารางที่ 13 สรุปผลของการหาค่าทางจลนพอกศาสตร์ของเอนไซม์

Substrate	$V_{max}$ (mM/min)	$K_m$ (mM)	$k_{cat}$ (min <sup>-1</sup> )	catalytic efficiency (M <sup>-1</sup> min <sup>-1</sup> )
Methyl parathion	2.305	0.089	76.31	855.54
Paraoxon	2.371	0.086	78.51	917.16
Parathion	2.294	0.101	75.94	752.49
Fenitrothion	1.496	0.085	49.54	582.91
Coumaphos	0.212	0.077	7.02	91.04
Chlopyriphos	0.213	0.046	7.05	153.85
Malathion	0.041	0.030	1.36	45.82

(\*electronegativity; En เป็นค่าที่แสดงถึงความสามารถในการดึงดูดอิเลคตรอนของอะตอมคู่ที่เกิดพันธะที่จะรวมกันเป็นโมเลกุล โดยธาตุใดมีค่าอิเลคโโทรเนกติกวิตี้สูง จะมีความสามารถในการดึงดูดหรือรับอิเลคตรอนได้ดี ได้แก่ พวกโลหะ ส่วนธาตุใดที่มีค่าอิเลคโโทรเนกติกวิตี้ต่ำ จะดึงดูดหรือรับอิเลคตรอนได้ไม่ดี ได้แก่ พวกลोหะ)

จากการน้ำรีคอมบินันท์เอนไซม์เมทธิลพาราไธโอนไฮโดรเลสามาส์ร่างไบโอดีเซอร์เพื่อใช้ในการตรวจวัดยาฆ่าแมลงในกลุ่มօร์กานอฟอสฟेट ได้มีการนำสารบอนนาโนทิวบ์ (carbon nanotubes; CNTs) ซึ่งมีคุณสมบัติเป็นสารกึ่งตัวนำ (semiconductor) มาใช้เพื่อช่วยในการขยายสัญญาณทางไฟฟ้า และยังช่วยลดการเกิดการสะสม

สารผลิตภัณฑ์ที่ผิวน้ำของอิเลคโทรด (surface fouling) อิกด้วย เมื่อทำการตรึงรีคอมบิแนนท์ เอนไซม์เมทชิลพาราไธอ่อน ไฮโดรเลสลงบนคาร์บอนนาโนทิวป์โดยเทคนิค layer by layer electrostatic self assembly drop dry technique นั้น พบว่าเมื่อปริมาณเอนไซม์เพิ่มขึ้น ค่าความไวในการตรวจวัดของอิเลคโทรดจะเพิ่มสูงขึ้น โดยเอนไซม์เมทชิลพาราไธอ่อน ไฮโดรเลสที่ปริมาณ 1.788 มิลลิกรัม เป็นปริมาณที่เหมาะสมที่สุด แต่เมื่อปริมาณเอนไซม์สูงขึ้นกว่านี้ ค่าความไวในการตรวจวัดจะลดลง สาเหตุเนื่องจากผิวน้ำของอิเลคโทรดมีความหนามากเกินไป ทำให้เกิดการขัดขวางการเคลื่อนที่ของอิเลคตรอน ไปยังอิเลคโทรด จากการศึกษาหาค่าความต่างศักย์ไฟฟ้าที่เหมาะสมสำหรับวัดการเกิดการออกซิเดชั่นของพาราไนโตรฟีนอล พบว่าค่าความศักย์ไฟฟ้า 0.93 โวลต์ เป็นค่าที่เหมาะสมที่สุด โดยค่าความต่างศักย์ไฟฟ้าที่สูงกว่า 0.93 โวลต์ จะให้ค่าการตอบสนองต่อสัญญาณทางไฟฟ้าลดลง เนื่องจากที่ความต่างศักย์ที่สูงกว่านี้ จะทำให้แก๊สออกซิเจนสามารถเกิดปฏิกิริยาได้ดี โดยจะไปรับอิเลคตรอนจากอิเลคโทรด และเกิดการสะสมของแก๊สออกซิเจนที่ผิวน้ำของอิเลคโทรด ดังนั้นพาราไนโตรฟีนอลจึงไม่สามารถเกิดปฏิกิริยาออกซิเดชั่นเพื่อที่จะให้อิเลคตรอนแก้อิเลคโทรดได้

ใน ไอเซนเซอร์นี้สามารถทำการวัดซ้ำได้ โดยเมื่อทำการวัดตัวอย่างซ้ำทั้งหมด 15 ครั้ง ได้ค่า RSD = เท่ากับ 9.19 เปอร์เซ็นต์ แต่เมื่อทำการเก็บ ใบไอเซนเซอร์ที่อุณหภูมิ 4 องศาเซลเซียส เมื่อระยะเวลาผ่านไปเพียง 3 วัน พบว่าประสิทธิภาพของใบไอเซนเซอร์จะลดลงอย่างรวดเร็ว ทั้งที่ทำการเก็บใบไอเซนเซอร์ในบaffle เฟล์ สาเหตุเนื่องมาจากการเปลี่ยนแปลงของสภาพแวดล้อม ดังนั้นการต้องรักษาอุณหภูมิของใบไอเซนเซอร์ที่ทำการตรวจเอนไซม์เมทชิลพาราไธอ่อน ไฮโดรเลสกับการบันทุนนาโนทิวป์ แล้วทำการละลาย

เอนไซม์ดังกล่าวคือวิถีน้ำที่ปราศจากไฮอ่อน แทนที่จะละลายด้วยบัฟเฟอร์ ส่งผลทำให้เอนไซม์ไม่เสถียร จึงสูญเสียค่ากิจกรรมเอนไซม์ แม้ว่าจะเก็บเอนไซม์ที่ถูกต้องแล้วที่อุณหภูมิ 4 องศาเซลเซียสก็ตาม อย่างไรก็ตาม หากละลายเอนไซม์ที่ตรึงกับคาร์บอนนาโนทิวป์ด้วยบัฟเฟอร์ก็จะเกิดปัญหาอื่นตามมา เพราะเมื่อละลายเอนไซม์ด้วยบัฟเฟอร์แล้วหยดลงบนอิเลคโทรด เมื่อทิ้งไว้ให้แห้งจะเกิดเกลือขึ้นที่ผิวน้ำของอิเลคโทรด ซึ่งส่งผลให้เกิดการขัดขวางการเคลื่อนที่ของอิเลคโทรอนไปยังอิเลคโทรด ทำให้ค่าความไวในการตรวจวัดของอิเลคโทรดลดลง

เมื่อนำใบโอดเซนเซอร์ที่สร้างขึ้นนี้ มาทดลองตรวจวัดยาฆ่าแมลง 3 ชนิด ได้ผลดังแสดงในตารางที่ 14 โดยพบว่าเมื่อทำการตรวจพาราออกซอนจะให้ค่าความเข้มข้นต่ำที่สุดที่ระบบสามารถทำการตรวจวัดได้ต่ำที่สุด และค่าความไวในการตรวจสูงที่สุด เพราะเนื่องจากพาราออกซอนมีความจำเพาะต่อเอนไซม์เมทธิลพาราไฮอ่อน ใช้ครุเลสมากที่สุด ดังที่ได้อธิบายแล้วข้างต้น

ตารางที่ 14 สรุปผลของการหาค่าลักษณะเมทธิลพาราไฮอ่อน ไฮดรอลอสอิเลคโทรด

Property	Methyl parathion	Paraoxon	Parathion
detection limit (nM)	5.4	0.86	7.4
sensitivity (nA/uM)	616	1547	301
linear range (nM)	10-90	3.3-40	20-240

ตารางที่ 15 เปรียบผลการหาค่าลักษณะเมทธิลพาราไนโตรเลสอิเลคโทรดกับงานวิจัยก่อนหน้านี้

OPs Biosensor	Pesticide	LOD	Sensitivity	Linear range	Reference
OPH/SPE/ <u>nafion</u>	paraoxon	90 nM	1.67 nA/uM	2-40 uM	Mulchansani, <i>et al.</i> , (1999)
	methyl parathion	70 nM	2.83 nA/uM		
OPH/CNT/GC/ <u>nafion</u>	paraoxon	150 nM	25 nA/uM	2-10 uM	Deo, <i>et al.</i> , (2005)
	methyl parathion	800 nM	6 nA/uM	2-10 uM	
OPH/CNT/GC/ <u>glutaraldehyde</u>	paraoxon	500 nM	17.29 nA/uM	0.5-2.5 uM	Laothanachareon, <i>et al.</i> , (2008)
	methyl parathion	120 nM	198 nA/uM	0.2-8 uM	
This Work	methyl parathion	5.4 nM	616 nA/uM	10-90 uM	
	paraoxon	0.86 nM	1547 nA/uM	3.3-40 uM	
	parathion	7.4 nM	301 nA/uM	20-240 uM	

จากตารางที่ 15 เมื่อเปรียบเทียบผลจากการศึกษาคุณลักษณะของในโอดเซนเซอร์ที่สร้างขึ้นนี้ พบว่าความเข้มข้นต่ำที่สุดที่ระบบสามารถวัดได้ ของยาฆ่าแมลงทั้ง 3 ชนิด จะให้ค่าที่ต่ำกว่า และค่าความไวในการตรวจวัดของในโอดเซนเซอร์นี้จะสูงกว่า

เมื่อนำไปโอเซนเซอร์นีมาทดลองวิเคราะห์ตัวอย่างจริงโดยนำน้ำตัวอย่างที่เก็บมาจากแหล่งน้ำที่บริเวณบางขุนเทียนมาใส่ (spike) ยาฆ่าแมลงเมธิลพาราไซดอน พบว่าได้ค่าร้อยละผลผลิตเท่ากับ 86.33 เปอร์เซ็นต์ โดยเมื่อนำน้ำตัวอย่างนี้มีวิเคราะห์ด้วยวิธีแก๊สโคลโนมโทรกราฟฟี่ พบว่าได้ค่าร้อยละผลผลิตเท่ากับ 94.97 เปอร์เซ็นต์ ซึ่งทั้ง 2 วิธีนี้ มีเปอร์เซ็นต์ความแตกต่างกันเท่ากับ 6.84 เปอร์เซ็นต์ แสดงว่าไปโอเซนเซอร์นี้ สามารถใช้การวิเคราะห์ปริมาณยาฆ่าแมลงในกลุ่มของรากไม้ฟอสเฟตได้ และผลที่ได้ไม่แตกต่างจากวิธีทั่วไปที่ใช้กันอยู่ คือ วิธีแก๊สโคลโนมโทรกราฟมากนัก ไปโอเซนเซอร์ที่สร้างขึ้นนี้จึงมีประโยชน์ในการนำไปประยุกต์ใช้ต่อไปในอนาคต

## มหาวิทยาลัยศิลปากร สงวนลิขสิทธิ์

## บรรณานุกรม

- กรรมควบคุมมลพิษ. กองจัดการสารอันตรายและการของเสีย. ฝ่ายสารอันตรายจากสาธารณสุข (2541) เอกสารชุดสารเคมีเฉพาะเรื่อง (Monograph) เมทธิลพาราไซโอน (Methyl parathion); โรงพิมพ์กรมควบคุมมลพิษ, กรุงเทพมหานคร, 180
- กรมวิชาการเกษตร. กองวัตถุนิพิษการเกษตร (2537) รายงานผลการกันครัววิจัยฉบับเต็มประจำปี 2537; กรมวิชาการเกษตร, กรุงเทพมหานคร, 35
- กรมวิชาการเกษตร. กองวัตถุนิพิษการเกษตร (2538) การประชุมวิชาการกองวัตถุนิพิษการเกษตร ครั้งที่ 1; กรมวิชาการเกษตร, กรุงเทพมหานคร, 100-102
- เจมภูวรวรรณ วิจิตรเวชการ, บุญศรี จงเสรีจิตต์ และวันเพ็ญ แย้มขุนทอง (2543) การศึกษาขั้นต้นของ การวิเคราะห์ในระดับยีนของเชื้อ *Pseudomonas* sp. ที่สามารถย่อยสลายยาฆ่าแมลงเม ทพาราไซโอน; การประชุมวิทยาศาสตร์และเทคโนโลยีแห่งประเทศไทยครั้ง ที่ 26, กรุงเทพมหานคร
- เจมภูวรวรรณ วิจิตรเวชการ และบุญศรี จงเสรีจิตต์ (2544) การศึกษาขั้นต้นของการวิเคราะห์ในระดับ ยีนของเชื้อ *Pseudomonas* sp. ที่สามารถย่อยสลายยาฆ่าแมลงเมทธิลพาราไซโอน; รายงานการวิจัยพัฒนาและวิศวกรรมน้ำมันสมนูรณ์ที่เสนอต่อสำนักงานพัฒนา วิทยาศาสตร์และเทคโนโลยีแห่งชาติ ศูนย์พันธุ์วิศวกรรมและเทคโนโลยีชีวภาพ แห่งชาติ, นครปฐม, 30-34
- พาลาภ สิงหเสนี (2531) พิษของยาฆ่าแมลงต่อผู้ใช้และสิ่งแวดล้อม; สำนักพิมพ์จุฬาลงกรณ์ มหาวิทยาลัย, กรุงเทพมหานคร, 25-65
- พรพิมล เจริญส่ง (2533) เมทธิลพาราไซโอน; เอกสารเผยแพร่องค์ความรู้ทางวิชาการ, สำนักงาน คุณภาพการสิ่งแวดล้อมแห่งชาติ, กรุงเทพมหานคร, 14
- ดีพร้อม ไชยวงศ์เกียรติ (2527) ยาฆ่าแมลง; ชั้นเรียนถ่ายทอดเทคโนโลยีการเกษตร มก. บางเขน, กรุงเทพมหานคร, 55-71
- นวลศรี ทวยพัชร (2541) ปัญหาสารพิษทางการเกษตรในประเทศไทย; รายงานวิชาการ, กรม วิชาการเกษตร, กรุงเทพมหานคร, 13-41
- วิรุพ ศุภลักษณ์นารี (2549) การบ่งชี้ การศึกษาลักษณะและการศึกษาการแสดงออกของยีนในวิถีการ ย่อยสลายยาฆ่าแมลงเมทธิลพาราไซโอนของเชื้อ *Burkholderia cepacia*; วิทยานิพนธ์ ปริญญาโท, มหาวิทยาลัยศิลปากร, นครปฐม

สาขาวิชาเทคโนโลยีชีวภาพ. คณะทรัพยากรชีวภาพและเทคโนโลยี. สถาบันเทคโนโลยีพระจอมเกล้าธนบุรี (2535) เอกสารประกอบการสัมมนาเชิงปฏิบัติการเรื่อง ไบโอดเซนเซอร์ (biosensor); โรงพิมพ์สถาบันพัฒนาและฝึกอบรมโรงงานด้านแบบ, กรุงเทพมหานคร, 1-20

เสาวลักษณ์ วงศ์เทียนหลา (2547) การชี้ง่และการศึกษาคุณลักษณะของยีน methyl parathion hydrolase จากเชื้อ methyl parathion-degrading *Burkholderia cepacia*; วิทยานิพนธ์ ปริญญาโท, มหาวิทยาลัยศิลปากร, นครปฐม  
โภสกา กลินจันทร์ (2554) ไบโอดเซนเซอร์กับการประยุกต์ใช้; วารสารทางวิชาการพระจอมเกล้าพระนครเหนือ, 11(4): 62-64

Abou-Donia, M. B. (2003) Organophosphorus ester-induced chronic neurotoxicity. Arch Environ Health 58, 484-497.

Altschul, S. F., Madden, T. L., Schäffer, A. A., Zhang, J., Zhang, Z., Miller, W., and. Lipman, D. J. (1997) Gapped BLAST and PST-BLAST: a new generation of protein database search program. Nucleic Acid Research, 17(25): 3389-3402.

Ausubel, F. A., Brent, R., Kingston, R. E., Moore, D. D., Seidman, J. G., Smith, J. A. and Struhl, K. (1997) Current protocols in molecular biology. New York: John Wiley & Sons, Inc.

Casse, F., Boucher, C., Julliot, J. S., Michel, M., and Denarie, J. (1979) Identification and characterization of large plasmids in *Rhizobium meliloti* using agarose gel electrophoresis. Journal of General Microbiology, (113): 229-242.

Chaudhry, G. R., Ali, A. N., and Wheeler, W. B., (1988) Isolation of a methyl parathion-degrading *Pseudomonas* sp. that possesses DNA homologous to the *opd* gene from a *Flavobacterium* sp. Applied and Environmental Microbiology, 2(54): 288-293.

Cheng, T. C., Steven, P. H., and Grace, L. C. (1996) Cloning and expression of a gene encoding a bacterial enzyme for decontamination of organophosphorus nerve agents and nucleotide sequence of the enzyme. Applied and Environmental Microbiology, 5(62): 1636-1641.

- Cho, C. M. H., Mulchandani, A. and Chen, W. (2002) Bacterial cell surface display of organophosphorus hydrolase for selective screening of improved hydrolysis of organophosphate nerve agents. *Applied and Environmental Microbiology*. 4(68): 2026-2030.
- Choi, J. W., Min, J., Jung, J. W., Rhee, H. W. and Lee W. H. (1998) Fiber-optic biosensor for the detection of organophosphorus compounds using AChE-immobilized viologen LB films. *Thin Solid Films*, 327-329: 676-680.
- Deo, R. P., Wang, J., Block, I., Mulchandani, A., Joshi, K. A., Trojanowicz, M., Scholz, F., Chen, W. and Lin, Y. (2005) Determination of organophosphate pesticides at a carbon nanotube/organophosphorus hydrolase electrochemical biosensor. *Analytica Chimica Acta*, 530(2): 185-189.
- Du, D., Cai, J., Song, D. and Zhang, A. (2007) Rapid determination of triazophos using acetylcholinesterase biosensor based on sol-gel interface assembling multiwall carbon nanotubes. *Journal of Applied Electrochemistry*, 37: 893-898.
- Daughton, Christian, G. and Dennis P. H. (1977) Parathion utilization by bacterial symbionts in a chemostat. *Applied and Environmental Microbiology*, (34): 175-184.
- Elashvili, I., Defrank, J. J. and Culotta, V. C. (1998) *phn E* and *glp T* genes enhance utilization of organophosphates in *Escherichia coli* K-12. *Applied and Environmental Microbiology*, 7 (64): 2601-2608.
- Fu, G., Cui, Z., Huang, T. and Li, S. (2004) Expression, purification, and characterization of a novel methyl parathion hydrolase. *Protein Expression Purification*, 36(2): 170-176.
- Govan, J. R. W. and Vandamme, P. (1998) Agricultural and medical microbiology: a time for bridging Gaps. *Microbiology*, (144): 2373-2375.
- Guoping, F., Zhongli, C., Tingting, H. and Shunpeng, L. (2004) Expression, purification and characterization of novel methyl parathion hydrolase. *Protein Expression and Purification*. 36: 170-176.
- Harper, L. L., McDaniel, C. S., Miller, C. E. and Wild, J. R. (1988) Dissimilar plasmids isolated from *Pseudomonas diminuta* MG and a *Flavobacterium* sp. (ATCC 27551) contain identical opd genes. *Applied and Environmental Microbiology*, 54(10): 2586-2589.

- Hayatsu, M., and Nagata, T. (1993) Purification and characterization of carbaryl hydrolase from *Blastobacter* sp. strain M501. *Applied and Environmental Microbiology*, 7(59): 2121-2125.
- Hayatsu, M., and Nagata, T. (1999) Involvement of two plasmids in the degradation of carbaryl by *Arthrobacter* sp. strain RC100. *Applied and Environmental Microbiology*, 3(65): 1015-1019.
- Hayatsu, M., Hirano, M. and Tokuda, S. (2000) Involvement of two plasmids in fenitrothion degradation by *Burkholderia* sp. strain NF100. *Applied and Environmental Microbiology*, 4 (66): 1737-1740.
- Horne, I., Sutherland, T. D., Harcourt, R. L., Russell, R. J. and Oakeshott, J. G. (2002) Identification of an *opd* (Organophosphate Degradation) gene in an *Agrobacterium* Isolate. *Applied and Environmental Microbiology*, 7(68): 3371-3376.
- Kado, C. I., and Liu, S. T. (1981) Rapid procedure for detection and isolation of large and small plasmids. *Journal of Bacteriology*, 3(145): 1365-1373.
- Katsuhiko, N., Tanakak, K. and Miyagawa, M. (2001) Determination of pesticides using negative chemical ionization gas chromatography-mass spectrometry. *Analytical Sciences*, 17.
- Keprasertsup, C. (1995) Degradation of methyl parathion in an aqueous medium by soil bacteria; Master Degree of Science (Environmental Biology), Mahidol University, 45.
- Keprasertsup, C., Upatham, S., Sukhapanth, N. and Premree, P. (2001) Degradation of methyl parathion in an aqueous medium by soil bacteria. *Science Asia*, (27): 261-270.
- Konstantinou, I. K., Hela, D. G. and Albanis, T. A. (2006) The status of pesticide pollution in surface waters (rivers and lakes) of Greece. Part I. Review on occurrence and levels. *Environmental Pollution*, 141(3): 555-570.
- Laohanachareon, T., Champreda, V., Sritongkham, P., Somasundrum, M. and Surareungchai, W. (2008) Cross-linked enzyme crystals of organophosphate hydrolase for electrochemical detection of organophosphorus compounds. *World Journal of Microbiology and Biotechnology*, 24(12): 3049-3055.
- Laurie, A. D., and G. L. Jones (1999) The *phn* Genes of *Burkholderia* sp. strain RP007 constitute a divergent gene cluster for polycyclic aromatic hydrocarbon. *Journal of Bacteriology*, 2(181): 531-54.

- Lee, J. H., Park, J. Y., Min, K., Cha, H. J., Choi, S. S. and Yoo, Y. J. (2009) A novel organophosphorus hydrolase-based biosensor using mesoporous carbons and carbon black for the detection of organophosphate nerve agents. *Biosensors and Bioelectronics* 25(7): 1566-1570.
- Liu, H., Zhang, J. J., Wang, S. J., Zhang, X. E. and Zhou, N. Y. (2005) Plasmid-borne catabolism of methyl parathion and p-nitrophenol in *Pseudomonas* sp. strain WBC-3. *Biochemistry Biophysics Research Communication*, 334(4): 1107-1114.
- Manavathi, B., Pakala, S. B., Gorla, P., Merrick, M. and Siddavattam, D. (2005) Influence of zinc and cobalt on expression and activity of parathion hydrolase from *Flavobacterium* sp. ATCC27551. *Pesticide Biochemistry and Physiology*, 83: 37-45.
- Mulbry, W. W., Karns, J. S., Kearney, P. C., Nelson, J. O., McDaniel, C. S. and Wild, J. R. (1986) Identification of a plasmid-borne parathion hydrolase gene from *Flavobacterium* sp. By southern hybridization with *opd* from *Pseudomonas diminuta*. *Applied and Environmental Microbiology*, 5(51): 926-930.
- Mulbry, W. W. and Karns, J. S. (1989) Purification and characterization of three parathion hydrolases from gram-negative bacterial strains. *Applied and Environmental Microbiology*, 2(55): 289-293.
- Mulbry, W. W., Kearney, P. C., Nelson, J. O. and Karns, J. S. (1987) Physical comparison of parathion hydrolase plasmid from *Pseudomonas diminuta* and *Flavobactrium* sp. *Applied and Environmental Microbiology*, 2(18): 173-177.
- Mulchandani, A., Chen, W., Mulchandani, P., Wang, J. and Rogers, K. R. (1999) Amperometric thick-film strip electrodes for monitoring organophosphate nerve agents based on immobilized organophosphorus hydrolase. *Analytical Chemistry*, 71(11): 2246-2249.
- Mulchandani, P., Mulchandani, A., Kaneva, I. and Chen, W. (1999) Biosensor for direct determination of organophosphate nerve agents. 1. Potentiometric enzyme electrode. *Biosensors and Bioelectronics*, 14(1): 77-85.
- Mulchandani, P., Chen, W., Mulchandani, A., Wang, J. and Chen, L. (2001) Biosensors for direct determination of organophosphate pesticides. *Biosensors and Bioelectronics*, 16(4-5): 225-230.

- Munge, B., Liu, G., Collins, G. and Wang, J. (2005) Multiple enzyme layers on carbon nanotubes for electrochemical detection down to 80 DNA copies. *Analytical Chemistry*, 77(14): 4662-4666.
- Munnecke, D. M., and Hsieh, D. P. H. (1974) Microbial decontamination of parathion and *p*-nitrophenol in aqueous media. *Applied and Environmental Microbiology*, 2(28): 212-2217.
- Pearson, W. R. and Lipman, D. J. (1988) Improved tools for biological sequence comparison. *Proceeding of the National Academy of Sciences of the United States of America*, (85): 2444-2448.
- Pearson, W. R. (1990) Rapid and sensitive sequence comparison with FASTP and FASTA methods in enzymology. *Proceeding of the National Academy of Sciences of the United States of America*, (87): 63-98.
- Pedrosa, V. A., Paliwal, S., Balasubramanian, S., Nepal, D., Davis, V., Wild, J., Ramanculov, E. and Simonian, A. (2010) Enhanced stability of enzyme organophosphate hydrolase interfaced on the carbon nanotubes. *Colloids and Surfaces B: Biointerfaces*, Vol. In Press, Corrected Proof.
- Perry, A., Yamamoto, S. I., Ishaaya, I. and Perry, R. Y. (1998) Insecticides in agriculture and environment retrospects and prospects; Narosa Publishing House, New Dehli, 61.
- Reese, M. G. and Eeckman, F. H. Novel neural network algorithms for improved eukaryotic promoter site recognition. Accepted Talk for the Seventh International Genome Sequencing and Analysis Conference, Hyatt Regency, Hilton Head Island, South
- Sambrook, J., Fritsch, E. F. and Maniatis, T. (1989) Molecular cloning: a laboratory manual 2<sup>nd</sup> ed.; Cold spring harbor laboratory, New York.
- SchÖning, M. J., Krause, R., Block, K., Musahmeh, M., Mulchandani, A. and Wang, J. (2003) A dual amperometric/potentiometric FIA-based biosensor for the distinctive detection of organophosphorus pesticides. *Sensors and Actuators B: Chemical*, 95(1-3): 291-296.
- Schulze, H., Schmid, R. D. and Bachmann, T. T. (2002) Rapid detection of neurotoxic insecticides in food using disposable acetylcholineesterase-biosensors and simple sovent extraction. *Analytical and Bioanalytical Chemistry*, 372: 268-272.

- Serdar, C. M., Gibson, D. T. Munnecke, D. M. and Lancaster, J. H. (1982) Plasmid involvement in parathion hydrolysis by *Pseudomonas diminuta*. Applied and Environmental Microbiology, 1(44): 246-249.
- Serrano, R., LÓpez, F. J. and Hernández, F. (1999) Multiresidue determination of persistent organochlorine and organophosphorus compounds in whale tissues using automated liquid chromatographic clean up and gas chromatographic-mass spectrometric detection. Journal of Chromatography A, 855(2): 633-643.
- Siddavattam, D., Khajamohiddin, S., Manavathi, B., Pakala, S. B. and Merrick, M. (2003) Transposon-like organization of the plasmid-borne organophosphate degradation (opd) gene cluster found in *Flavobacterium* sp. Applied and Environmental Microbiology, 69(5): 2533-2539.
- Simon, B. P., Campas, M., Andreescu, S. and Marty, J. L. (2006) Trends in flow-based biosensing systems for pesticide assessment. Sensors, 6: 1161-1186.
- Simonian, A. L., Efremenko, E. N. and Wild, J. R. (2001) Discriminative detection of neurotoxins in multi-component samples. Analytica Chimica Acta, 444(2): 179-186.
- Simonian, A. L., Good, T. A., Wang, S. S. and Wild, J. R. (2005) Nanoparticle-based optical biosensors for the direct detection of organophosphate chemical warfare agents and pesticides. Analytica Chimica Acta, 534: 69–77.
- Schöning, M. J., Krause, R., Block, K., Musahmeh, M., Mulchandani, A. and Wang, J. (2003) A dual amperometric/potentiometric FIA-based biosensor for the distinctive detection of organophosphorus pesticides. Sensors and Actuators B: Chemical, 95(1-3): 291-296.
- Spain, J. C. and Gilson. D. T. (1991) Pathway for biodegradation of *p*-Nitrophenol in a *Moraxella* sp. Applied and Environmental Microbiology, 3(57): 812-819.
- Tatusova, T. A. and Modden, T. L. (1999) Blast 2 sequences a new tool for comparing protein and nucleotide sequences. FEMS Microbiology Letters, 2(174): 247-250.
- Tethgatuk, P., Jinsart, W. and Arnold, P. (2001) Determination of organophosphate pesticides in vegetable farm drained water using solid phase extraction followed by high performance liquid chromatography. Journal Science Research Chulalongkorn University, 26(1): 35-47.

- Thompson, J. D., Higgins, D. G. and Gibson, T. J. (1994) ClustalW. Nucleic Acids Research, (22): 4673-4680.
- Vale, J. A. (1998) Toxicokinetic and toxicodynamic aspects of organophosphorus (OP) insecticide poisoning. Toxicology Letters, 102-103: 649-652.
- Galan-Vidal, C. A., Munoz, J., Dominguez, C. and Alegret, S. (1998) Glucose biosensor strip in a three electrode configuration based on composite and biocomposite materials applied by planar thick film technology. Sensors and Actuators B: Chemical, 52(3): 257-263.
- Viveros, L., Paliwal, S., McCrae, D., Wild, J. and Simonian, A. (2006) A fluorescence-based biosensor for the detection of organophosphate pesticides and chemical warfare agents. Sensors and Actuators B: Chemical, 115(1): 150-157.
- Wang, J., Krause, R., Block, K., Musameh, M., Mulchandani, A. and Schöning, M. J. (2003) Flow injection amperometric detection of OP nerve agents based on an organophosphorus-hydrolase biosensor detector. Biosensors and Bioelectronics, 18 (2-3): 255-260.
- Waibel, A. H., Hanazawa, T., Hinton, G., Shikano, K. and Lang, K. J. (1989) Phoneme recognition using time-delay neural networks. IEEE Transactions on Acoustic, Speech, and Signal Processing, (37) 328-339.
- Zhongli, C., Shunpeng, L. and Guoping, F. (2001) Isolation of methyl parathion-degrading strain M6 and cloning of the methyl parathion hydrolase gene applied and environmental. Microbiology, 10 (67) 4922-4925.

# มหาวิทยาลัยศิลปากร ศูนย์ขีดสีทารี'

ภาคผนวก ก

## อาหารเลี้ยงเชื้อแบคทีเรีย

### 1. อาหารเหลว Luria-Bertani (LB broth)

Tryptone 10 กรัม

Yeast extract 5 กรัม

Sodium chloride 10 กรัม

นำส่วนประกอบทั้งหมดละลายในน้ำปริมาตร 1 ลิตร จนเป็นเนื้อเดียวกัน แบ่งใส่ภาชนะตามต้องการ นำไปนึ่งฆ่าเชื้อด้วยความร้อน 121 องศาเซลเซียส ความดัน 15 ปอนด์ต่อตารางนิวตัน นาน 15 นาที

### 2. อาหารแข็ง Luria-Bertani (LB agar)

Tryptone 10 กรัม

Yeast extract 5 กรัม

Sodium chloride 10 กรัม

Agar 14 กรัม

นำส่วนประกอบทั้งหมดละลายในน้ำปริมาตร 1 ลิตร นำไปนึ่งฆ่าเชื้อด้วยความร้อน

121 องศาเซลเซียส ความดัน 15 ปอนด์ต่อตารางนิวตัน นาน 15 นาที ตั้งทิ้งไว้จนกระ挺ของเหลวมีอุณหภูมิประมาณ 55-60 องศาเซลเซียส แบ่งใส่ภาชนะตามต้องการในสภาพปะลอดเชื้อ

### 3. อาหารเหลว basal mineral medium ที่มี methyl parathion ความเข้มข้น 50 ไมโครกรัมต่อ

#### มิลลิลิตร (BMM+MP broth)

$K_2HPO_4$  4.8 กรัม

$KH_2PO_4$  1.2 กรัม

$NH_4NO_3$  1.0 กรัม

$MgSO_4 \cdot 7H_2O$  0.25 กรัม

$CaCl_2$  0.04 กรัม

$FeSO_4 \cdot 7HO_2$  0.005 กรัม

0.5 mg/ml filter sterile methyl parathion 100 ไมโครลิตร

นำส่วนประกอบทั้งหมดยกเว้น filter sterile methyl parathion ละลายในน้ำปริมาตร 1 ลิตร ในขวดวัดปริมาตร (volumetric flask) ผสมจนเป็นเนื้อเดียวกัน แบ่งใส่ภาชนะตามต้องการ นำไปนึ่งฆ่าเชื้อด้วยความร้อน 121 องศาเซลเซียส ความดัน 15 ปอนด์ต่อตารางนิวตัน นาน 15 นาที ตั้งทิ้งไว้ให้เย็นที่อุณหภูมิห้อง เติม filter sterile methyl parathion ผสมให้เข้ากัน

#### 4. อาหารแข็ง BMM+MP

$K_2HPO_4$	4.8	กรัม
$KH_2PO_4$	1.2	กรัม
$NH_4NO_3$	1.0	กรัม
$MgSO_4 \cdot 7H_2O$	0.25	กรัม
$CaCl_2$	0.04	กรัม
$FeSO_4 \cdot 7HO_2$	0.005	กรัม
Agar	14	กรัม

0.5 mg/ml filter sterile methyl parathion 100 ไมโครลิตร

นำส่วนประกอบทั้งหมดยกเว้น agar และ filter sterile methyl parathion ละลายในน้ำปริมาตร 1 ลิตร ในขวดวัดปริมาตร ผสมจนเป็นเนื้อเดียวกัน จากนั้นถ่ายสารละลายใส่ขวดอาหารเรียง เชือ แล้วใส่ agar ผสมให้เข้ากัน นำไปนึ่งฆ่าเชื้อด้วยความร้อน 121 องศาเซลเซียส ความดัน 15 ปอนด์ต่อตารางนิวตัน นาน 15 นาที ตั้งทิ้งไว้จนกระทั่งของเหลวมีอุณหภูมิประมาณ 55-60 องศาเซลเซียส เติม filter sterile methyl parathion ผสมให้เข้ากัน แบ่งใส่ภาชนะตามต้องการ

# มหาวิทยาลัยศิลปากร สจวบลีขสิทธิ์

ภาคพนวก ๑

## สารเคมี

### 1. Tris-HCl/EDTA pH 8.0 (TE buffer)

Tris	40	มิลลิโตร์
EDTA	2	มิลลิโตร์

นำส่วนประกอบทั้งหมดผสมให้เข้ากัน แล้วปรับพีเอช 8.0 ด้วยกรด HCL นำไปนึ่งฆ่าเชื้อ ด้วยความร้อน 121 องศาเซลเซียส ความดัน 15 ปอนด์ต่อตารางนิวตัน นาน 15 นาที

### 2. lysing solution

Tris	50	มิลลิโตร์
SDS	3	เปอร์เซ็นต์ (w/v)

เตรียม Tris ความเข้มข้น 50 มิลลิลิตร แล้วปรับพีเอช 12.6 ด้วย NaOH ความเข้มข้น 2 โอมาร์ นำไปนึ่งฆ่าเชื้อด้วยความร้อน 121 องศาเซลเซียส ความดัน 15 ปอนด์ต่อตารางนิวตัน นาน 15 นาที

### 3. สารละลาย sodium dodecyl sulfate (SDS solution)

ละลาย SDS ในน้ำที่อุณหภูมิ 68 องศาเซลเซียส ปรับพีเอช 7.2 ด้วยกรด HCL เข้มข้น ทำให้ปลดปล่อยโดยกรองผ่านมมเบรนขนาด 0.2 ไมครอน

### 4. glucose/Tris/EDTA pH 8.0 (GTE buffer)

glucose	50	มิลลิโตร์
Tris	25	มิลลิโตร์ พีเอช 8.0
EDTA	10	มิลลิโตร์ พีเอช 8.0

นำส่วนประกอบทั้งหมดผสมให้เข้ากัน แล้วนำไปนึ่งฆ่าเชื้อด้วยความร้อน 121 องศาเซลเซียส ความดัน 15 ปอนด์ต่อตารางนิวตัน นาน 15 นาที เก็บสารละลายที่ 4 องศาเซลเซียส

### 5. Tris-acetate pH 8.0 (TAE buffer)

Tris	0.04	โมลาร์
EDTA	0.001	โมลาร์

นำส่วนประกอบทั้งหมดผสมให้เข้ากัน ปรับพีเอช 8.0 ด้วย glacial acetic acid และวนนำไปปั่นจนผ่าเฉือนด้วยความร้อน 121 องศาเซลเซียส ความดัน 15 ปอนต์ต่อตารางนิวตัน นาน 15 นาที

### 6. 6X gel-loading buffer

bro โมลาร์ ophenol blue	0.25	เปอร์เซ็นต์
xylene cyanol FF	0.25	เปอร์เซ็นต์
sucrose in water	40	เปอร์เซ็นต์ (w/v)
เก็บสารละลายน้ำ 4 องศาเซลเซียส		

### 7. isopropylthio-β-D-galactoside (IPTG)

เตรียม stock solution ความเข้มข้น 0.1 มิลลิโตร์ โดยละลาย IPTG 1.1915 กรัม ในน้ำกลั่นมาตรฐานเชื่อม 50 มิลลิลิตร กรองผ่านแมมเบรนขนาด 0.2 ไมครอน เก็บสารละลายน้ำอุณหภูมิ -20 องศาเซลเซียส

\* ใช้ที่ความเข้มข้นสุดท้ายคือ 0.1-1 มิลลิโตร์ต่อ มิลลิลิตร

### 8. Ampicillin

เตรียม stock solution ความเข้มข้น 10 มิลลิกรัมต่อมิลลิลิตร โดยการซั่ง ampicillin 1 กรัม ละลายในน้ำกลั่นผ่าเฉื่อย 100 มิลลิลิตร จากนั้ngrองผ่านแมมเบรนขนาด 0.2 ไมครอน เก็บสารละลายน้ำอุณหภูมิ -20 องศาเซลเซียส

\* ใช้ที่ความเข้มข้นสุดท้ายคือ 100 ไมโครกรัมต่อมิลลิลิตร

### 9. Phosphate buffer saline (PBS buffer) พีเอช 7.4

ซั่ง  $\text{Na}_2\text{HPO}_4$  1.44 กรัม,  $\text{KH}_2\text{PO}_4$  0.24 กรัม, NaCl 8 กรัม และ KCl 0.2 กรัม ละลายน้ำกลั่น 1000 มิลลิลิตร ปรับพีเอชให้ได้เท่ากับ 7.4 ด้วย NaOH

**10. สารละลาย chloroform : isoamyl alcohol (24 : 1)**

เตรียม chloroform ปริมาตร 96 มิลลิลิตร และ isoamyl alcohol ปริมาตร 4 มิลลิลิตร ผสมสารละลายให้เข้ากัน

**11. สารละลาย phenol : chloroforโมลาร์ : isoamyl alcohol (25 : 24 :1)**

เตรียม phenol ปริมาตร 50 มิลลิลิตร, chloroform 48 มิลลิลิตร และ isoamyl alcohol ปริมาตร 2 มิลลิลิตร ผสมสารละลายให้เข้ากัน

**12. สารละลาย 1 โมลาร์ Tris-HCl, พีอีช 8.0**

ผสม Tris base 15.76 กรัม ปรับปริมาตรให้ได้ 100 มิลลิลิตร และปรับพีอีชให้ได้เท่ากับ 8.0 เล็กน้อยไปนิ่งๆ แล้วนำไปนึ่งๆ ด้วยความร้อน 121 องศาเซลเซียส ความดัน 15 ปอนด์ต่อตารางนิวตัน นาน 15 นาที

**13. Ethidium bromide**

เตรียม ethidium bromide ความเข้มข้น 0.5 มิลลิกรัมต่อมิลลิลิตร โดยชั่ง ethidium bromide มา 0.05 กรัม ละลายด้วยน้ำกลั่นๆ ก่อนในขวดสีชา หุ้มด้วยกระดาษ foil และเก็บให้พ่นแสง

**14. สารละลาย 30 เปอร์เซ็นต์ (w/v) Bis-Acrylamide**

ชั่ง acrylamide 30 กรัม และ bis- acrylamide 0.8 กรัม ละลายด้วยน้ำกลั่นปริมาตร 100 มิลลิลิตร

**15. สารละลาย 10 เปอร์เซ็นต์ (w/v) Amonium persulfate**

ชั่ง amonium persulfate 0.5 กรัม ละลายในน้ำกลั่น 5 มิลลิลิตร เก็บไว้ในที่เย็น

**16. Electrophoresis buffer, pH 8.3**

ชั่ง Tris-base 9.0 กรัม, glycine 43.2 กรัม และ SDS 3.0 กรัม ละลายด้วยน้ำกลั่นปริมาตร 400 มิลลิลิตร ปรับพีอีชด้วย 1 N NaCl ให้ได้ประมาณ 8.3 ปรับปริมาตรด้วยน้ำกลั่นให้ได้เป็น 600 มิลลิลิตร

**17. Stain solution**

ชั่ง Coomassie brilliant blue 0.5 กรัม และ methanol 200 มิลลิลิตร, acetic acid 50 มิลลิลิตร ละลายด้วยน้ำกลั่น 500 มิลลิลิตร

### 18. Destain solution I

เตรียมเมทานอลปริมาตร 500 มิลลิลิตร acetic acid ปริมาตร 100 มิลลิลิตร และน้ำกลั่นปริมาตร 400 มิลลิลิตร ผสมสารละลายให้เข้ากัน

### 19. Destain solution II

เตรียมเมทานอล methanol ปริมาตร 50 มิลลิลิตร, acetic acid 70 มิลลิลิตร และน้ำกลั่นปริมาตร 880 มิลลิลิตร ผสมสารละลายให้เข้ากัน

### 20. สารละลายในการทำ refolding protein โดยวิธี dialysis

PBS buffer, pH 7.4	0.1	โมลาร์
DTT	0.1	โมลาร์
ZnSO <sub>4</sub>	50	ไมโครโมลาร์
urea	8.0	โมลาร์

เตรียมสารละลายโดยความเข้มข้น 8 โมลาร์ โดยชังญี่รียามา 240 กรัม แล้วเติม PBS buffer pH 7.4 ปริมาตร 250 มิลลิลิตร, 0.1 โมลาร์ DTT ปริมาตร 0.5 มิลลิลิตร ปรับปริมาตรให้ได้ 500 มิลลิลิตร แล้วเติม ZnSO<sub>4</sub> 0.01 กรัม (ประมาณ 50 ไมโครโมลาร์) จากนั้นเตรียมสารละลายโดยเรียกที่ความเข้มข้น 6, 4, 2 และ 0 โมลาร์ โดยชังญี่รียามา 180, 120, 60 และ 0 กรัม ตามลำดับ แล้วเติมสารละลายอื่นๆ ตามวิธีข้างต้น

### 21. Binding Buffer สำหรับการแยกบริสุทธิ์โปรตีน

NaCl	140	มิลลิโมลาร์
KCl	2.7	มิลลิโมลาร์
Na <sub>2</sub> HPO <sub>4</sub>	10	มิลลิโมลาร์
K <sub>2</sub> HPO <sub>4</sub>	1.8	มิลลิโมลาร์
DTT เข้มข้น	1.0	มิลลิโมลาร์

ชัง Na<sub>2</sub>HPO<sub>4</sub> 1.44 กรัม, KH<sub>2</sub>PO<sub>4</sub> 0.24 กรัม, NaCl 8 กรัม และ KCl 0.2 กรัม ละลายด้วยน้ำกลั่น 1000 มิลลิลิตร ปรับ pH ให้ได้เท่ากับ 7.4 ด้วย NaOH จากนั้นกรองผ่านเมมเบรนขนาด 0.2 ไมครอน

**22. Elution Buffer สำหรับการแยกบริสุทธิ์โปรตีน**

Tris-HCL, pH 8.0	50	มิลลิโมลาร์
reduced glutathione	10	มิลลิโมลาร์
DTT	1.0	มิลลิโมลาร์

Tris-HCL ความเข้มข้น 50 มิลลิโมลต่อลิตร pH 8.0 ที่มี reduced glutathione เข้มข้น 10 มิลลิโมลต่อลิตร และ DTT เข้มข้น 1.0 มิลลิโมลต่อลิตร

**23. Thrombin solution สำหรับการแยกบริสุทธิ์โปรตีน**

ละลายน้ำมั่นทรมอบิน (GE Healthcare, USA) 500 ยูนิต ด้วย PBS buffer pH 7.4 ปริมาตร 500 ไมโครลิตร (1 ยูนิตต่อ 1 ไมโครลิตร) คนเบาๆ แล้วแบ่งเก็บใส่ในหลอดไมโครทิวป์ที่อุณหภูมิ -80 องศาเซลเซียส

มหาวิทยาลัยศิลปากร สงวนลิขสิทธิ์

# มหาวิทยาลัยศิลปากร สงวนลิขสิทธิ์

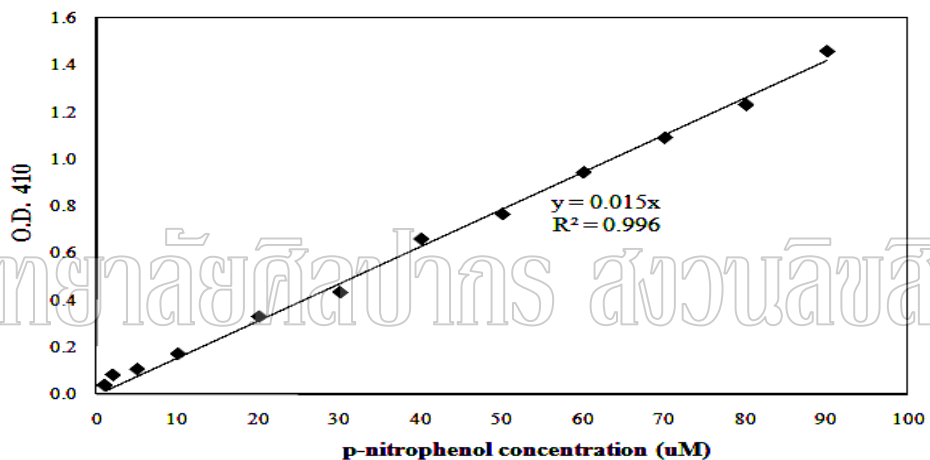
ภาคผนวก C

## การคำนวณค่าพารามิเตอร์ต่างๆ

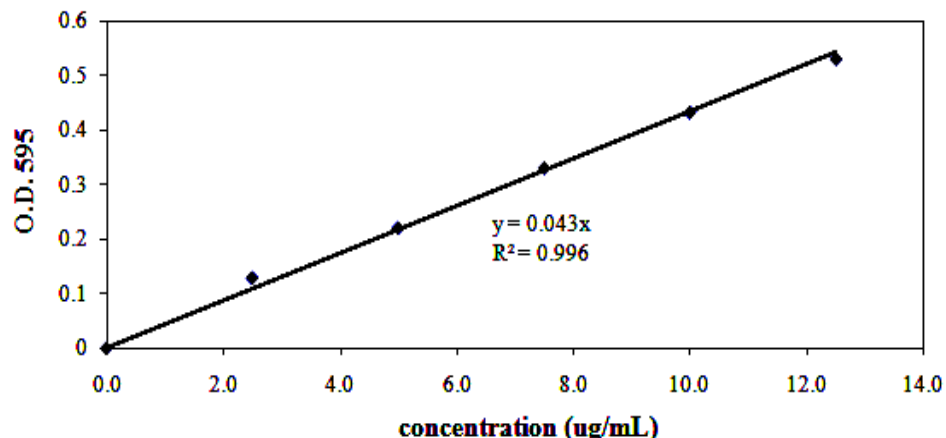
### 1. การคำนวณหาค่าต่างๆ ของเอนไซม์ (enzyme assay)

#### 1.1 การหาปริมาณของพาราไนโตรฟีโนลจากวิธีสเปกโตรโฟโตเมตรี

เทคนิคนี้จะถูกใช้ในการคำนวณหากิจกรรมของเอนไซม์โดยจะแบร์พันตรงกับผลิตภัณฑ์ที่เกิดขึ้น นั่นคือพาราไนโตรฟีโนลซึ่งเกิดจากเมทิลพาราไนโตรอนุญาตด้วยเอนไซม์ เมทิลพาราไนโตรอนิโไฮโดรเลส แล้วทำการวัดค่าการดูดกลืนแสงที่ความยาวคลื่น 410 นาโนเมตร ดังภาพที่ 73



ภาพที่ 73 กราฟมาตรฐานของพาราไนโตรฟีโนล



ภาพที่ 74 กราฟมาตรฐานของโปรตีน

การคำนวณหาความเข้มข้นของโปรตีน (total protein concentration; mg/ml) โดยใช้สูตรดังต่อไปนี้

$$= \left[ \frac{A_{595} \text{ of sample}}{\text{slope}} \times \frac{1000 \text{ (ul)}}{\text{amount of sample}} \right] \times 1000 \times \text{total volume of sample}$$

การคำนวณหาความค่ากิจกรรมเอนไซม์ทั้งหมด (total activity; umole) โดยใช้สูตรดังต่อไปนี้

$$= \left[ \frac{A_{410} \text{ of sample}}{\text{slope}} \times \frac{10^{-3} \times 1000 \text{ (ul)}}{\text{amount of sample}} \right] \times \text{total volume of sample}$$

การคำนวณหาค่ากิจกรรมเอนไซม์จำเพาะ (specific activity; unit/mg protein) โดยใช้สูตรดังต่อไปนี้

$$\text{มหาวิทยาลัยศิริปักษ์ สุราษฎร์ธานี}$$

$$= \frac{\text{total activity}}{\text{total protein concentration}}$$

การคำนวณหาร้อยละของผลผลิต (% recovery) โดยใช้สูตรดังต่อไปนี้

$$= \frac{\text{specific activity}}{\text{initial specific activity}}$$

การคำนวณหาร้อยละของผลผลิต (% recovery) โดยใช้สูตรดังต่อไปนี้

$$= \frac{\text{total activity}}{\text{initial total activity}}$$

# มหาวิทยาลัยศิลปากร สงวนลิขสิทธิ์

ภาคผนวก ง

## คำย่อ

คำย่อ	คำอธิบาย
AchE	acetylcholinesterase
BMM	basal mineral medium
bp	base pair
BSA	bovine serum albumin
CE	counter electrode
CNTs	carbon nanotubes
CTAB	cetyltrimethyl ammoniumbromide
CV	cyclic voltammogram
DTT	1,4-Dithiothreitol
EDTA	ethylene diamine tetraacetic
FPLC	fast protein in liquid chromatography
GCE	glassy carbon electrode
GSE	gas selection electrode
GSH	reduced glutathion
GSSG	oxidized glutathion
GST	glutathion-S-transferase
HPLC	high pressure liquid chromatography
IPTG	isopropanol thiogalactosidase
ISE	ion selection electrode
kb	kilobase
LB	Luria Bertani
LC	lethal concentration
LD	lethal dose
MP	methyl parathion
<i>mpd</i> gene	methyl parathion-degrading gene

คำย่อ	คำอธิบาย
MPH	methyl parathion hydrolyzing enzyme
MFO	mixed-function oxidase
MWCNTs	multiwall carbon nanotubes
<i>opa</i> gene	organophosphorus acid anhydrolase gene
<i>opd</i> gene	organophosphate-degrading gene
OPH	organophosphate hydrolyzing enzyme
PAA	poly (allylamine hydrochloride)
PAH	polycyclic aromatic hydrocarbon
PCR	polymerase chain reaction
pI	isoelectric point
PNP	para-nitrophenol
ppb	part per billion
ppm	part per million
RE	reference electrode
SDS	sodium dodecyl sulfate
WE	working electrode
X-gal	5-bromo-4-chloro-3-indolyl-β-D-galactopyranoside

### ประวัติผู้วิจัย

ชื่อ-สกุล	นายอนิรุทธิ์ เอกคุณธารม Mr. Anirut Ekkhuntham
วัน เดือน ปีเกิด	17 มิถุนายน 2527
ที่อยู่	59/182 หมู่ที่ 10 ช. 13 ต. พระราม 2 แขวงบางนาด เขตจอมทอง จ. กรุงเทพมหานคร 10150

### ประวัติการศึกษา

พ.ศ.2546	สำเร็จการศึกษาในระดับมัธยมปลายจากโรงเรียนรัตนโกสินทร์สมโภชนะ บุนเทียน แขวงแสมดำ เขตบางบุนเทียน จ.กรุงเทพมหานคร
พ.ศ. 2546	วิทยาศาสตร์บัณฑิต (เทคโนโลยีชีวภาพ) คณะเทคโนโลยีอุตสาหกรรม มหาวิทยาลัยศิลปากร พระราชวังสนามจันทร์ นครปฐม
พ.ศ. 2550	ศึกษาต่อในระดับปริญญาโทบัณฑิต สาขาเทคโนโลยีชีวภาพ มหาวิทยาลัยศิลปากร

## มหาวิทยาลัยศิลปากร สจวบฯ ชีวศึกษา

วิทยานิพนธ์

ระดับปริญญาตรี	การโคลนนิ่งและการศึกษาคุณสมบัติของยีนที่สร้างฮอร์โมน GnRH ในกุ้งก้ามกราม <i>Macrobrachium rosenbergii</i>
ระดับปริญญาตรี	การพัฒนาใบไอเซ็นเชอร์ เพื่อตรวจวัดยาฆ่าแมลง โดยใช้เอนไซม์เมทธิล- พาราไธโอนไฮโดรเลสจากโคลน mpd ลูกผสม

### การนำเสนอผลงานวิชาการ

Poster presentation

พ.ศ. 2550	Purification and characterization of methyl parathion hydrolase from cloned mpd gene (33 <sup>rd</sup> Congress of Science and Technology of Thailand (STT) ครั้ง ที่ 33)
พ.ศ. 2551	Optimization of expression conditions for recombinant methyl parathion hydrolase production in <i>Escherichia coli</i> (34 <sup>th</sup> Congress of Science and Technology of Thailand (STT) ครั้งที่ 33)

- พ.ศ. 2552 Characterization of recombinant methyl parathion hydrolase capable of degrading methyl parathion insecticide (The 21st Annual Meeting and International Conference of Thai Society for Biotechnology (TSB) ครั้งที่ 21)
- Oral presentation
- พ.ศ. 2553 Development of biosensor for pesticide detection using methyl parathion hydrolase from recombinant MPD clone (Pure and Applied Chemistry International Conference (PACCON2010))
- พ.ศ. 2553 Development of biosensor for pesticide detection using methyl parathion hydrolase from recombinant MPD clone (การประชุมวิชาการโครงการทุนวิจัยมหาบัณฑิต สกอ. สาขาวิชาศาสตร์และเทคโนโลยี ครั้งที่ 4)

# มหาวิทยาลัยศรีปทุม សจว.สข.สกธ.